

東海大学大学院平成28年度博士論文

剛性可変機構を有する
多関節グリップングハンド
に関する研究

指導 小金澤 鋼一 教授

東海大学大学院総合理工学研究科
総合理工学専攻

玉本 拓巳

目次

目次	i
第1章 序論	1
1.1 災害対応ロボットへの取り組み	1
1.2 求められるロボットハンド	3
1.2.1 ロボットハンドのエンドエフェクタ	3
1.2.2 包み込み把持に特化したロボットハンド	6
1.3 本研究の目的	10
1.4 本論文の構成	12
第2章 グリッピングハンド機構の提案	13
2.1 はじめに	13
2.2 求められる関節機構	14
2.3 差動歯車機構	15
2.3.1 差動機構の概要	15
2.3.2 差動機構を利用したロボットハンド	17
2.3.3 提案する差動機構	19
2.4 多関節列駆動機構への応用	22
2.5 剛性可変機構	25
2.6 ピンチングのための指先機構	26
2.7 まとめ	28
第3章 動力学シミュレーションの導入	29
3.1 はじめに	29
3.2 対象とする運動モデル	30

3.3	運動方程式の導出	31
3.3.1	リンク機構の運動方程式の導出	31
3.3.2	モータの運動方程式の導出	34
3.3.3	把持物の運動方程式の導出	34
3.3.4	柔軟な把持物の運動方程式の導出	35
3.4	モデル同士の接触処理	35
3.4.1	接触判定	35
3.4.2	接触反力の反映	37
3.5	数値計算の手順	38
3.6	基礎動作の検証	40
3.7	まとめ	45
第4章 実験およびシミュレーションによる評価		46
4.1	はじめに	46
4.2	実機および制御系	47
4.2.1	1指モデルの概要	47
4.2.2	多指モデルの概要	49
4.2.3	ベースギア角度測定用のエンコーダ	51
4.2.4	接触力測定用の圧力センサ	52
4.2.5	制御系	54
4.3	物体形状になじむ包み込み把持	56
4.4	関節の剛性可変機構の効果	65
4.5	力覚システムの評価	69
4.6	関節剛性パターンに伴う把持力の分布	75
4.7	ピンチングから包み込み把持への移行	79
4.8	まとめ	81
第5章 結論		82

5.1	本論文のまとめ	82
5.2	本研究の成果	83
5.3	本研究の展望	84
	謝辞	85
	参考文献	86
	付録	91
	付録 A : Mathematica によるプログラム - シミュレーションベース部分 -	92
	付録 B : Mathematica によるプログラム - シミュレーション実行例 -	157

第 1 章

序論

1.1 災害対応ロボットへの取り組み

1995年に発生した阪神淡路大震災をきっかけに、日本国内では地震や津波などの自然災害による被害に対してロボットを活用しようとする動きが大きくなり、レスキューロボットの開発が本格的に開始した [1]。災害現場では、火災や家屋の倒壊、さらには水害や土砂崩れなど、二次災害の発生する可能性が非常に大きく、救助者には危険が付きまとう。ロボットを救助活動に活用することで、人がこのような二次災害に巻き込まれる可能性を排除し、さらに人には進入不可能な経路を通ることで、迅速に、より広範囲に活動ができるという利点がある。

また 2011年に発生した東日本大震災と呼ばれる地震と、それに伴う津波によりもたらされた福島第一原子力発電所事故は、災害現場にロボットを投入する必要性をさらに強く認識させた [2]。これらのことから、レスキューロボットに求められる作業は単なる人命救助のみでなく、密閉空間の調査や危険物処理など多岐に渡るようになり、災害対応ロボットと呼ばれるようになる [3]。特に国外では、軍事やテロ対策の手段としても注目されている。

文部科学省は 2002～2006 年にかけて、「首都圏や京阪神などの大都市圏において大地震が発生した際の、人的・物的被害を大幅に軽減するための科学・技術基盤の確立」を目的とした、大都市大震災軽減化特別プロジェクト (大大特) を実施した [4]。そのプロジェクト内で、「レスキューロボット等次世代防災基盤の開発」が課題の一つとして挙げられている [5]。また現在進行中のプロジェクトとして、内閣府の革新的研究開発推進プログラム (ImPACT) で実施されている、タフ・ロボティクス・チャレンジが挙げられる [6]。これは、「極限の災害現場でも、へこたれず、タフに仕事ができる遠隔自律ロボットの実現」を目的とし、屋外ロボットに必要な基盤技術を発展させるためのプロジェクトである。これらのことから、災害対応ロボットに対して国がいかに力を入れているかを理解することができる。

実際に国内で運用されている災害対応ロボットをいくつか紹介する。図 1.1 は東京消防庁に配備されている、遠隔操作タイプのレスキューロボット「ロボキュー」である [7]。二つのマニピュレータを操作することで、服を掴むことで救助者をロボット内へ収容したり、危険物の回収などを行うことができる。コントローラにマニピュレータが受けた力をフィードバックさせることができるが、その感覚を利用して作業をこなすには高い熟練度が必要である。図 1.2 は株式会社テムザックが開発した、遠隔操作可能なレスキューロボット「援竜」である [8]。ロボキューと同様、二つのマニピュレータを有している。コントローラは操縦者の動きに同期するような機能を持ち、直感的な操作を実現することで、長時間にわたる救助活動でも負担が小さくなるという特長がある。これらに代表される災害対応ロボットにおいて、調査以外に何かしらの作業を目的に持つ場合、その成功率や作業効率は、操縦者の熟練度およびマニピュレータ・ハンドの性能に大きく依存するといえる。



図 1.1 救出ロボット：ロボキュー [7]



図 1.2 レスキューロボット：T-53 援竜 (左), T-52 援竜 (右) [8]

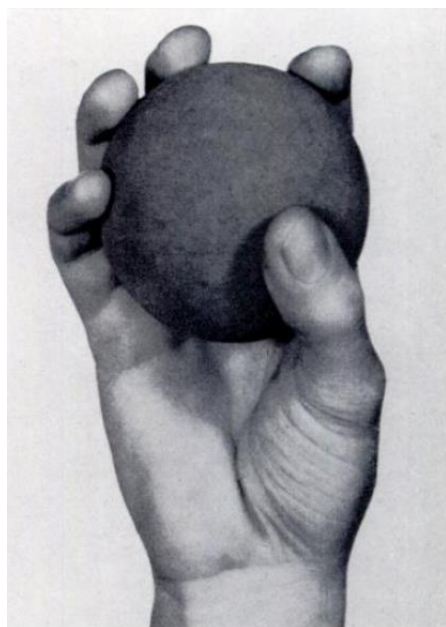
1.2 求められるロボットハンド

1.2.1 ロボットハンドのエンドエフェクタ

現場で作業を行う災害対応ロボットにおいて、最も基本となる作業の一つに瓦礫の撤去や要救助者の運搬などが挙げられることから、エンドエフェクタには把持を行うことを主目的とするハンドが選択されるのが一般的である。

ロボットハンドによる把持は図 1.3 に示すように、その形態から大きく指先把持と包み込み把持に分類することができ、Napier の二大分類として知られている [9]。指先把持はその後の器用な操作へ繋げることを前提とした把持形態であり、精密把持 (precision grip) とも呼ばれる。一方、包み込み把持は頑丈な把握を目的とする把持形態であり、握力把持 (power grip) とも呼ばれる。マニピュレーションに関する研究は、主にこの分類を元に議論されている。

ロボットハンドの研究開発として、1979 年に電総研 (現産総研) から発表された、3 指で合計 11 自由度を持つ多指ロボットハンド [10] を皮切りに、4 指で合計 16 自由度を持つ The Utah/MIT Hand [11]、5 指で合計 12 自由度を持つ Robonaut hand [12,13]、同じく 5 指で合計 20 自由度を持つ Gifu Hand [14,15] など、多指多自由度を持ち、巧みな把持操作を行うロボットハンドの研究が盛んになった [16]。

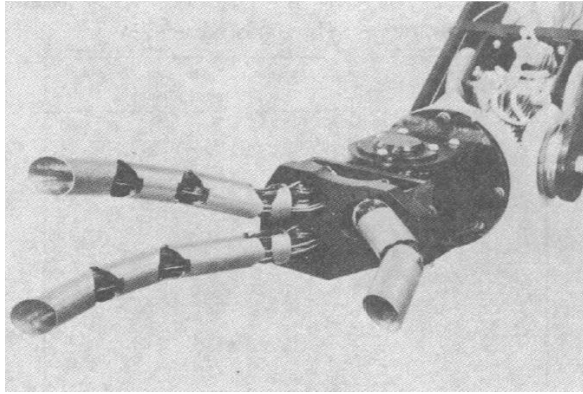


(a) 指先把持

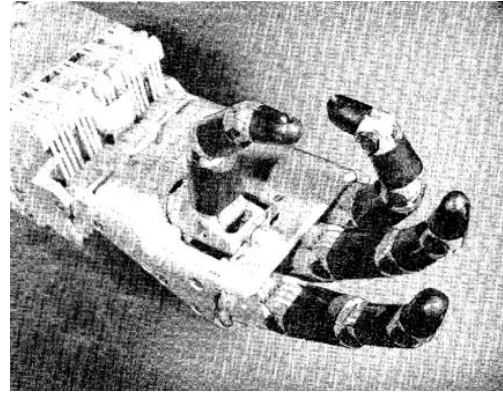


(b) 包み込み把持

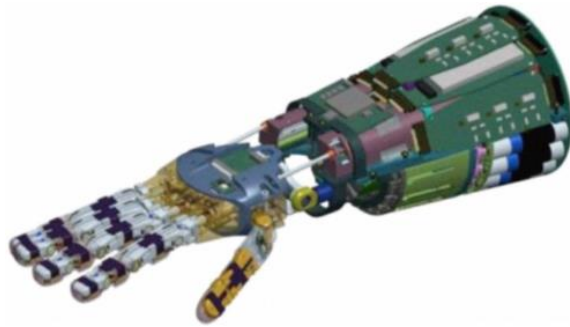
図 1.3 Napier の二大分類 [9]



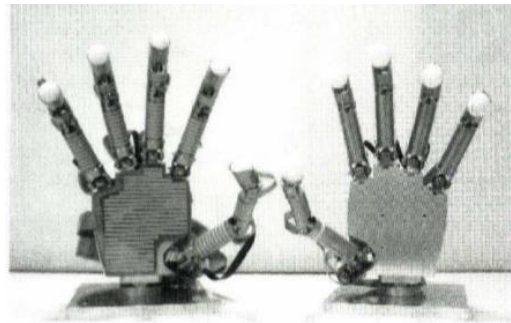
(a) 電総研のハンド



(b) The Utah/MIT Hand



(c) The Robonaut 2 hand



(d) Gifu Hand III

図 1.4 さまざまな多指ロボットハンド [10, 11, 13, 15]

こうしたロボットハンドの研究が活発になった当初、マニピュレーションに関する研究は指先把持を中心に展開されてきた [17–19].

一方、包み込み把持に関しては Salisbury により、多関節指のリンク部分と対象物の接触を許容することにより、接触点数を増やすことでアクチュエータへの負荷を軽減させ、さらに外乱に対するロバスト性を得ることなどが報告された [20]. また Trinkle ら [21] がこの把持形態に対して Envelope Grasp (包み込み把持) と呼称し、この呼び名が定着した. その後、包み込み把持の研究は、把持のロバスト性に関する研究が主流となっている [22–26].

このように、包み込み把持は対象物との多点接触という特徴を持ち、対象物にある程度の外乱が働いても把持し続けることが可能である. また指先把持と比較して、対象物の形状やサイズも厳密に認識している必要はない. これらのことは多くの研究により報告されており、災害対応ロボットのように屋外で作業するロボットにおいては非常に重要なメリットと考えられる. よって災害対応ロボットのエンドエフェクタとしては、包み込み把持の機能性が高いハンドが適していると考えられる.

リンクが剛体であると仮定すれば，関節数が多いほど接触点数は多くなる．その特徴を活かした包み込み把持に特化した多関節ロボットハンド，グリップングハンド（またはグリッパとも呼ぶ）をエンドエフェクタとして採用した例がある [27,28]．図 1.5 は，大大特プロジェクトで開発された災害対応ロボット「HELIOS VIII」および搭載されているグリッパ機構を示している．このロボットに搭載されているグリッパ機構は，次節で触れるソフトグリッパ機構をベースとしており，把持対象物の形状や材質に対する適応性が高く，多様な目標物を把持することができる．つまり，対象物の形状に沿った柔らかい把持を可能とし，そのことにより把持力の分散などが期待できる．

このような柔らかい把持は，人を搬送する場合や危険物の回収時など，把持対象に過度なダメージを与えてはいけない場合に非常に有効であり，現在運用されている災害対応ロボットに備わっていない特徴でもある．まだ運用実績はないようだが，今後の活躍が期待できる試みであると共に，災害対応ロボットが備えるべきエンドエフェクタの形の提唱として，有意義な研究である．

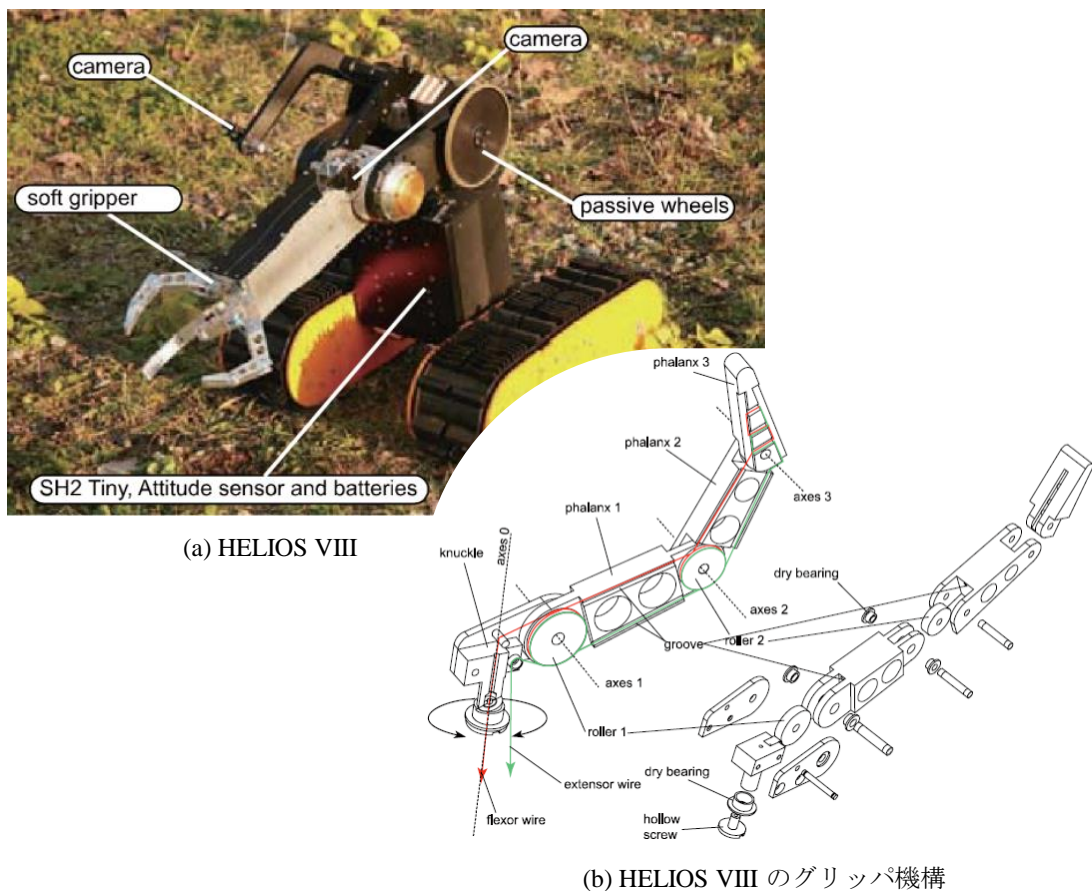
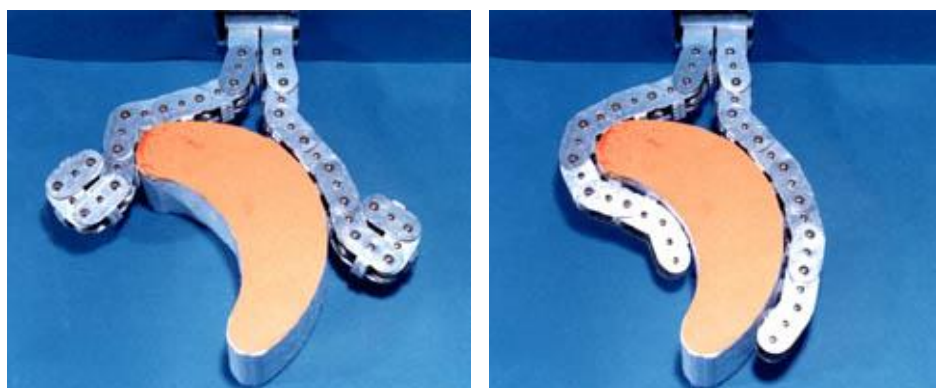


図 1.5 大大特プロジェクトで開発された HELIOS VIII およびグリッパ機構 [28]

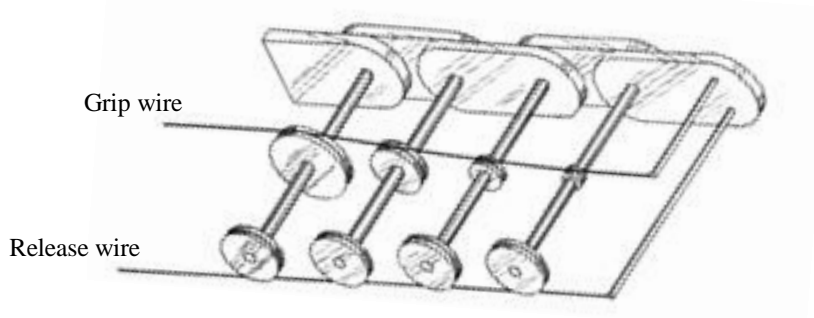
1.2.2 包み込み把持に特化したロボットハンド

前節で紹介した HELIOS VIII に搭載されているグリッパ機構のベースとなっている Soft Gripper [29,30] は、広瀬らによって開発され、この分野におけるパイオニアとしてよく知られている。

図 1.6 は、Soft Gripper の包み込み把持の様子と内部の機構を示している。動作には根元から先端まで張られた 2 本のワイヤを用いており、Grip wire を牽引することで、各関節に把持方向に屈曲するトルクが発生し、包み込み把持を行う。また Release wire を牽引することで、逆方向のトルクが発生し、物体を解放する。Release wire の張力は各関節に等しいトルクを与えるが、Grip wire の張力は、各関節の回転中心からワイヤまでの距離 (モーメントアーム) を変化させることで、関節ごとに与えるトルクが異なる。図 1.6(b) では、指先に近づくに従い、ワイヤを通してのプーリ径が小さくなる様子が確認できる。よって、Release wire に一定の張力を与えた状態で Grip wire の牽引力を徐々に大きくすると、第 1 関節が最初に把持方向に屈曲するよう設計されている。なお、各ワイヤに対しそれぞれモータ 1 基を使用している。



(a) 包み込み把持の様子



(b) 内部の機構

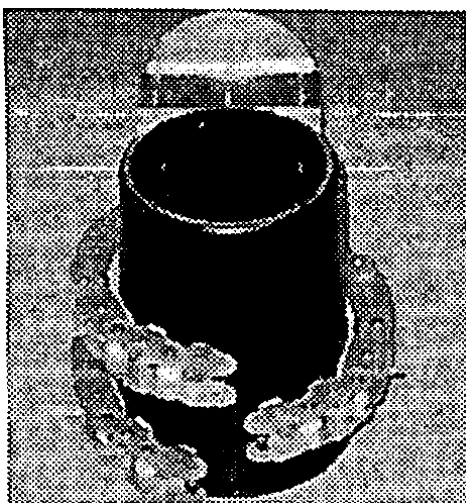
図 1.6 Soft Gripper

Soft Gripper に代表される，テンドンシステム (腱駆動方式) を用いたグリッパでは多くの場合，根元側の関節に発生するトルクを大きくすることで，対象物と非接触時には関節の屈曲動作が根元から起きるように設計されている．そして物体と接触した場合は，接触点よりも根元側の関節に屈曲を妨げるトルクが発生するため，接触点より先端の関節が屈曲する．この原理により，図 1.6 のような物体形状になじむ包み込み把持を可能としている．

このモーメントアームを調節するテンドンシステムの発想は多くの研究に採用されており [31–35]，先に紹介した災害対応ロボットのみならず，図 1.7 に示す，吉田らによる深海探査ロボット TAKO gripper [36] や，多賀らによるデブリの捕獲を目的としたグリッパ [37] などがある．

TAKO gripper の基本構造は Soft Gripper と同じであり，把持用と解放用の 2 本のベルトを，根元に設置したアクチュエータにより制御することで包み込み把持を行う．ただし，アクチュエータはモータ 1 基のみで動作させており，一方のベルトの牽引と同時に，もう一方のベルトの繰り出しを行う仕組みを取っている．

デブリ捕獲用グリッパは，根元から先端までワイヤを 1 本のみ通しており，把持方向の屈曲にはこのワイヤを牽引することでトルクを発生させ，解放方向には各関節に設置したトーションバネによりトルクを発生させている．多賀らによるこのグリッパは，Soft Gripper に基づく機構としては最も単純なものであると考えられ，また，その簡素さを生かしたグリッパ自体の収納性に注力しており，非常にコンパクトに折りたたむことが可能という特徴を持つ．



(a) TAKO gripper



(b) デブリ捕獲用グリッパ

図 1.7 テンドンシステムを利用したグリッパ [36, 37]

このように多岐に渡るフィールドで求められる機構となっているが、その理由は主に以下の3点の特徴を持つためだと考えられる。

- 物体形状へなじむ柔らかい把持が可能である。
- 多自由度に対して劣駆動で動作可能である。
- センシングを必要としないシンプルな機構である。

特に3つ目の項目に関して、宇宙や深海、そして災害現場などの極限環境下では、衝撃や熱、電磁波といった電気/電子機器にとっての危険因子が多く存在する(図1.8)。圧力センサなどを用いた力覚システムを利用して対象物の手繰りや把持力を制御することはよくある手法だが、基礎機能である把持をそれらのセンサに依存していた場合、センサの故障により把持物に危険が生じてしまう恐れがある。それに対し、紹介したテンドンシステムのグリッパは、どれもセンサに依存することなく包み込み把持の機能を十分に果たしている。つまり、本質的な安全を確保することが出来ているといえる。

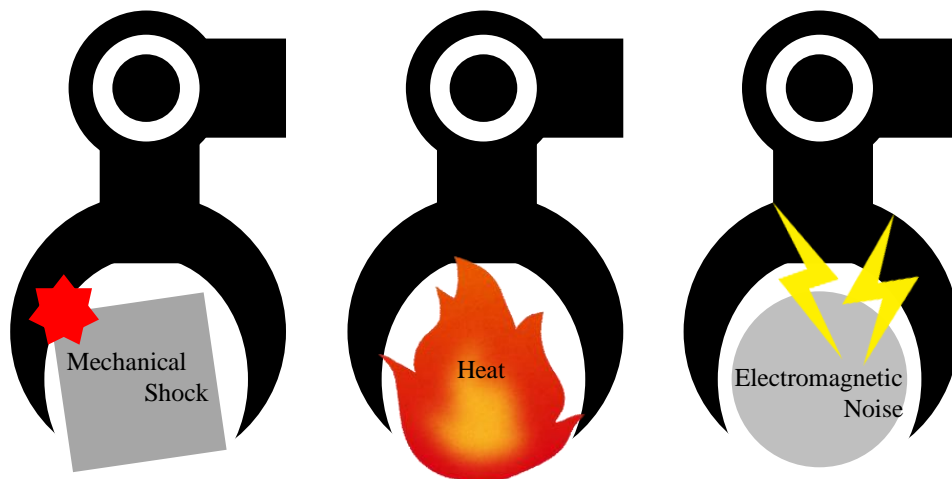


図 1.8 災害現場などで想定される事態

このように、いくつかの特筆すべき利点を備えているが、これらを運用するに当たり問題となる点が大きく二つ存在する。

一つ目は、姿勢の不安定性である。例えばモータによりワイヤを牽引しているとして、モータが一定角度回転した場合を考える。物体と非接触時でかつ水平状態であれば、あらかじめ設計した、最も大きなトルクが発生する関節が一定角度屈曲する。しかし、把持対象物以外の物体との接触が発生したり、あらかじめ決めた姿勢でアプローチできなかった場合に、設計した関節以外が屈曲してしまう事態が起こ

りえる。これはモータの回転力が各関節に分配されるシステムであるがために起きる問題である。つまり、モータの回転力という1つの入力、各関節の回転という複数の出力に繋がっているためである。このことはさらに、各関節間で角度・トルクが相互作用していると解釈することもできる。

このテンドンシステム概念をチャンバとシリンダを用いて図1.9に示す。錘は全て均一の重さであり、その質量により各関節のシリンダが可動域下限 (Release 方向) にある状態を基準とする。モータのシリンダを下に押し込めば、最も大きな力が発生する第1関節がGrip方向へ動く。ここで、シリンダの動きは関節の屈曲、シリンダ直径をモーメントアームの大きさ、チャンバ内圧力により発生する力が屈曲用のワイヤ牽引により発生するトルク、錘による力はSoft Gripperに当てはめるならRelease wireが発生するトルクとみなせる。この図からも分かるとおり、各シリンダはチャンバを介して力を伝達することができ、いずれかの関節がGrip方向への変位を持っている場合、それらが相互作用することは容易に想像できる。

二つ目は、床や壁に密着している物体に対して、アプローチ可能な角度が限定されてしまうことである。ピンチング動作を想定した機構ではないため、対象物の裏側に障害物がある場合、把持を達成する術を持たないことが原因である。ピンチング動作を行えない理由は、指先が接触した後にモータの回転力を伝達しようとする、そのトルクは指先ではなく負荷の小さい他の関節へ伝わってしまうためである。

これらの理由から、従来提案されてきたテンドンシステムでは災害対応ロボットとして不十分である。また包み込み把持を行うハンドとして、材質そのものを柔らかくしたハンドに関して報告が多数されている [38-42]。しかし、これらに関しては災害現場で使用するには最大把持力や損傷といったアクシデントが懸念されるため、そのような場面では頑丈な骨格を持ったハンドが望まれる。

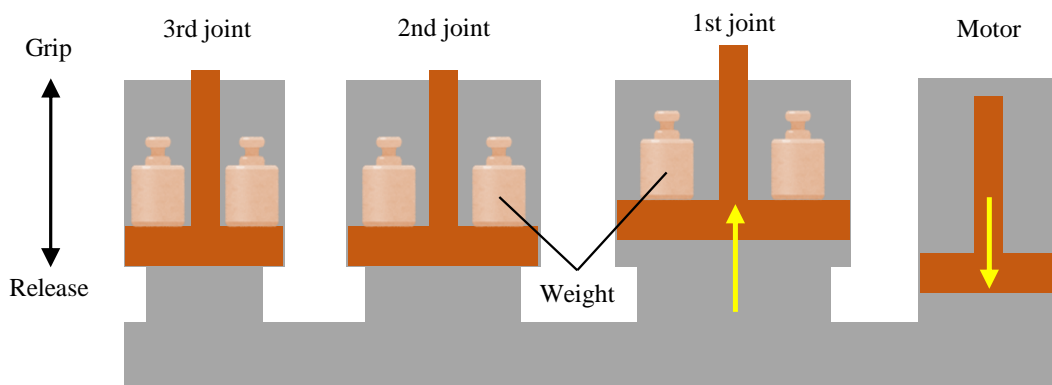


図 1.9 一般的なテンドンシステム概念

1.3 本研究の目的

本研究では、災害対応ロボットに取り付けるエンドエフェクタとして有効であると考えられる、多関節グリップングハンドの開発を目的とする。既に述べたように、従来提案されてきた包み込み把持に特化した多関節グリップングハンドは、多関節であることと劣駆動であることを両立させるため、関節間で変位や力の相互作用が存在した。それが原因となり、姿勢を把握できなくなる状態が存在することを示唆した。またこうしたハンドに適応可能で、災害現場などの極限環境下で有効なセンシング手法についてもあまり議論されてこなかった。遠隔操作や人工知能で運用される可能性が高い災害対応ロボットおよびそのハンドにおいては、人の目視に頼ることができないため、ある程度のセンシングが必要であると考えられる。

よって本研究では、従来のグリップングハンドが有している利点を引き継ぎつつ、これらの課題をクリアするハンド機構を提案する。既に述べた内容と重複する部分もあるが、本論文で提案する多関節グリップングハンドが満たすべき要件について、以下のように5つの項目を設定する。

- ・ 物体形状に沿った柔らかい把持を可能とする

災害対応ロボットはしばしば、人の搬送や危険物の回収など、把持対象に過度な衝撃や負荷を与えてはいけな場面遭遇する。物体形状になじむ把持は接触点数を増やし、把持対象物にかかる負荷の軽減が可能であることから、重要な特徴であるといえる。本項目は従来の提案機構で既に達成されている特徴であり、継承すべきである。

- ・ シンプルな制御で動作可能な劣駆動機構である

災害現場などの極限環境下では、衝撃や熱、電磁波といった、センシングに必要な電気/電子部品にとっての危険因子が多く存在する。よって、それらの影響を受けやすい機器に頼らず動作可能であることで、本質的な安全を確保できる。本項目はそのために必要であり、また前の項目と同様に、従来の提案機構で既に達成されている特徴であり、継承すべきである。

- ・ 状況に応じて関節剛性の制御を可能とする

把持対象物がある程度の未知情報を持っている災害現場において、把持している対象物から受ける力は、ハンドが壁や床と接触することで生じる力、不整地を走行する際の振動および重力によって受ける力などと、機構上では同

質の力として認識され、メカニカルに区別することは現実的ではない。しかし、柔らかい把持を実現するには、把持対象物から受ける力に対しては柔軟な関節が必要であり、把持するためにアプローチする段階では、正確な動作を阻害する力に対して頑丈でなくてはならない。よって、現在の状況によって、関節剛性を調節する必要があることを提唱する。ロボットの剛性可変機構に関しては様々な研究が行われているが [43]- [45]、包み込み把持に特化したグリップングハンドに適応させることに関しては、これまで議論はあまりされてきていない。

- ・ **本質安全を確保した力覚システムを有する**

災害対応ロボットは、遠隔操作や人工知能によるオートでの制御で運用される可能性が高いので、人の目視に頼ることができない。よってある程度のセンシングが必要であると考えられるが、上で述べたように本質的な安全を損なってはならない。例えば、指部表面に圧力センサを設置して対象物にかかる負荷を制御することなどは、一般的なセンサの運用方法であるが、センサに不備が生じた場合は対象物に危険が生じてしまう。そこで、外界接触部にセンサを取り付けないという条件に基づく力覚システムの必要性を提唱する。こうしたセンサの運用方法については、これまで議論がほとんどされてきていないが、必要な特徴であると考ええる。

- ・ **包み込み把持に加えピンチングを可能とする**

様々な場面で対象物を確実に把持するためには、時にピンチングを要求される場面がある。対象物が床や壁に密着しており、かつアプローチ可能な角度が限定されてしまうような場合である。ワイヤ・プーリを用いたテンドンシステムに代表される従来の提案機構では、多関節という特徴を際立たせた場合、ピンチング動作を行うことができない。ピンチングが可能であることは必要な特徴であり、かつその後の包み込み把持への移行をスムーズに行えることが望ましい。

これら5項目を満たすことで、災害対応ロボットとして、瓦礫の撤去・要救助者の搬送、危険物の除去など、把持を必要とする作業をより効果的に達成することができると思われる。

1.4 本論文の構成

本論文は「剛性可変機構を有する多関節グリッピングハンドに関する研究」と題し、全5章によって構成されている。各章の概要については以下の通りである。

第1章では研究目的までを示した。国の災害対応ロボットへの取り組みを紹介し、それらのロボットが備えるべきエンドエフェクタについて考察した。そこから多関節グリッピングハンドが有効であるという結論に至り、従来のグリッピングハンドの問題点を明らかにした。また、それらを踏まえて目指すべきハンドのコンセプトを目的として挙げた。

第2章は、本研究の基礎となるグリッパ機構について説明する。本研究では2入力1出力の差動機構を重要な要素として使用している。差動機構を利用したロボットハンドの研究例から、それらの利点、また本研究への応用方法について説明し、この差動機構を用いた1関節の駆動原理、剛性可変機構、連鎖駆動についてそれぞれ説明する。

第3章では、2章で提示したグリッパ機構の動力学シミュレーション手法について述べる。物体把持を行うシミュレーションについて、運動要素として挙げられるリンク機構、モータ、把持物の運動方程式の導出および計算手法について述べる。また把持物とハンド機構の接触処理について述べた上で、最も基礎的な機能である包み込み把持のシミュレーションを行い、考察する。

第4章では実際に製作した実験機の概要、実験に必要な各種センサの扱い、制御系についてまず述べ、そして実験と動力学シミュレーションによる評価について論じる。評価は1章で挙げた目的に沿って、物体形状へなじむ包み込み把持および把持力の分散、剛性可変機構、力覚システム、ピンチング能力についてそれぞれ行う。

第5章では本研究の結論を述べると共に、今後の展望について述べる。

第 2 章

グリッピングハンド機構の提案

2.1 はじめに

本章では，序論で述べた要件を満たすような関節機構について提案する．差動歯車機構というシステムを用いるが，その概要および差動歯車機構を利用している研究について紹介し，それらの利点を示すと共に，本研究にどのように応用するのかを説明する．

また，提案した関節機構を劣駆動で運用するためのシステムについても検討し，最終的に，少数のアクチュエータで駆動し，関節剛性の調節も可能な，多関節グリッピングハンド機構について提案する．

また機構としては常時搭載ではなく拡張的なものになるが，ピンチングから包み込み把持への移行をスムーズに行うための指先機構についても提案する．

2.2 求められる関節機構

序論で定めた、多関節グリッピングハンドが満たすべき要件を再度掲げる。

- (a) 物体形状に沿った柔らかい把持を可能とする
- (b) シンプルな制御で動作可能な劣駆動機構である
- (c) 状況に応じて関節剛性の制御を可能とする
- (d) 本質安全を確保した力覚システムを有する
- (e) 包み込み把持に加えピンチングを可能とする

これらを基に関節機構について検討するが、はじめに1関節について詳細に考察する。前提条件として、序論で述べたように各関節の変位およびトルクが相互作用しないような機構を提案する。

まず (a) を満たすために、関節はバックドライバビリティを持つ必要がある。ここで (b) にあるように劣駆動であることを考慮すれば、関節数よりも少数であるアクチュエータの特性や制御に依存して再現されるものではなく、関節毎に独立した機構により再現されることが望まれる。例えば、図 2.1 は入力軸 (モータ) と出力軸 (関節) の間に弾性体であるバネを用いることで、その機能を再現している。モータ・バネを合わせて、バックドライバビリティを有するアクチュエータと見なすことができる。しかし、バックドライバビリティの機能を再現しているのはバネであるので、単一のモータに対してバネ・関節機構を並列に接続すれば、関節毎に独立したバックドライバビリティを有する多関節機構を構成することができる。

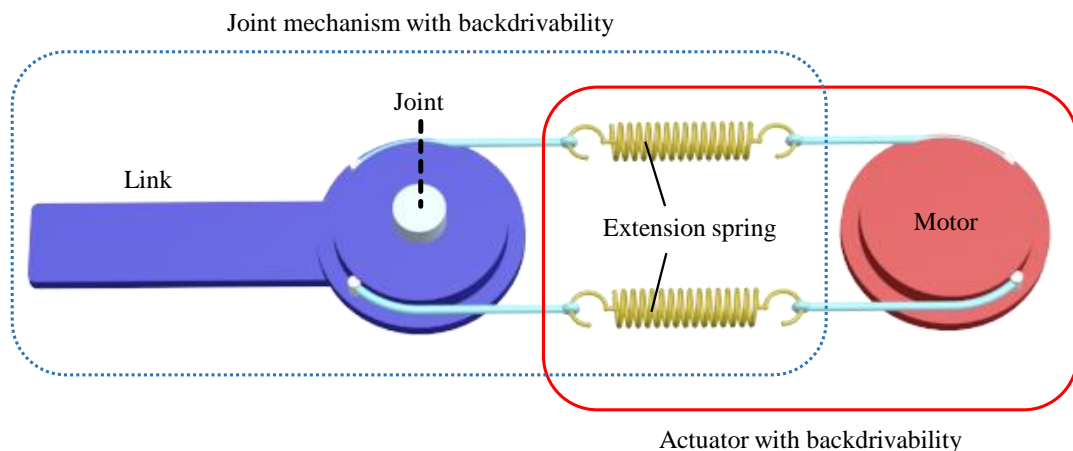


図 2.1 バックドライバビリティを持つ関節機構

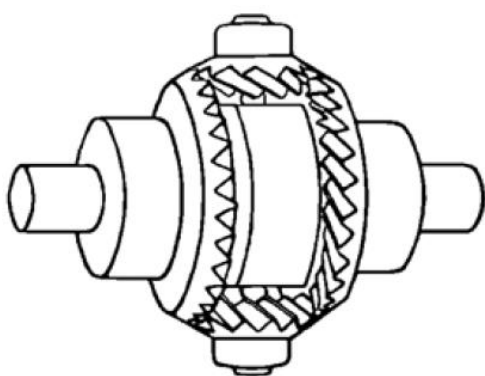
(d) の力覚システムは、バックドライブ量，図 2.1 ならばバネの伸び量を計測することで，現在の関節角度および外部負荷によりリンクに発生しているトルクを知ることができる．これは，バックドライブバリエーションを再現する部分がアクチュエータから切り離されていることで得られる利点である．対象物との接触部に圧力センサなどを用いたシステムと等価な効果を得ることが期待でき，また計測部分の保護もそれらに対して容易であるため，センサの故障などを予防することが可能である．

重要なのは (c) の関節剛性の制御であり，(d) のピンチング動作の実現はこの可否に依存するものである．(c) を満たすためには 1 関節の出力に対して「角度の制御」と「関節剛性の制御」という 2 つの入力が必要である．図 2.1 で再現するならば，モータと関節の軸間距離を制御する必要があるが，そのような機構はシステムの複雑化を招き，また新たな問題を引き起こしかねないので好ましくない．その他の 2 入力 1 出力の機構が望まれる．

2.3 差動歯車機構

2.3.1 差動機構の概要

2 入力 1 出力の機構として有名なのが，差動歯車機構 [46] である．差動機構やデフとも呼ばれ，よく知られている用途として，自動車がカーブを曲がる場合に左右の車輪に回転速度の差が生じるが，エンジンからの動力を左右の車輪，2 種類の回転速度に振り分ける役割を担っている．自動車の例ではかさ歯車を利用した機構であり，その他にも減速機としてよく用いられる遊星歯車機構やハーモニックドライブ [47] も差動歯車機構の 1 つである．



(a) かさ歯車を利用した差動機構



(b) ハーモニックドライブ

図 2.2 差動歯車機構の例 [46, 47]

いずれも3つの軸を持ち、それらの軸に入力されるトルクにより1つの状態が定まる。2入力1出力と述べたが、最も回転しやすい軸が出力となるため、その時々により入力・出力軸は切り替わる。

遊星歯車機構を例にその関係を考察する。図2.3に機構の構成およびチャンバとシリンダを用いた動作の概念図を示す。遊星歯車機構で注目すべき3つの軸は、太陽歯車 (S: Solar gear), 内歯車 (I: Inner gear), 遊星歯車 (P: Planetary gear) の公転と同期するキャリア (C: Carrier) である。動作の関係式は次のようになる。

$$(Z_S)\theta_S = (Z_S + Z_I)\theta_C - (Z_I)\theta_I \quad (2.1)$$

ここで θ および Z は、それぞれ添え字の要素の回転角度および歯数を表す。3つのシリンダ (= 軸) に対しそれぞれ入力があり、歯数によって定まる係数がかけられ、圧力 (= 入力の大きさを比較できる数値) が得られる。ここで最も圧力の小さいシリンダが出力方向への変位量を持つ。仮に1つのシリンダが完全に固定されている場合、残り2つのシリンダの入出力変位は比例関係となる。

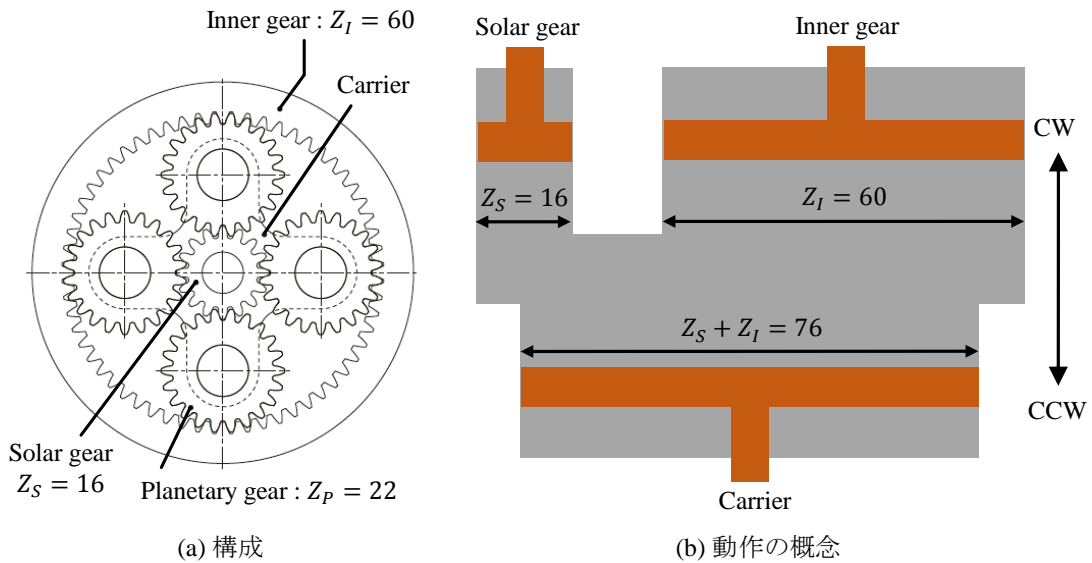


図 2.3 遊星歯車機構の構成 [48] と動作の概念

2.3.2 差動機構を利用したロボットハンド

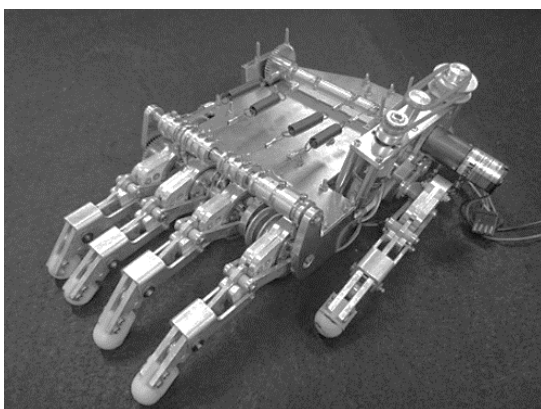
遊星歯車機構をロボットハンドに利用した研究として、人間と同等の機構自由度を持つが劣駆動で動作する、竹田らの指関節機構 [49] や、その内転外転方向の自由度を無くした指機構を用いた、佐藤らの5指ハンド [50,51] があり、図 2.4 に示す。これらは遊星歯車機構の要素の1つである太陽歯車にモータからの動力を与え、内歯車およびキャリアを指の第1関節、第2関節に連結している。キャリアの回転をバネにより拘束することで第1関節(=内歯車)から屈曲し、物体との接触などにより屈曲が阻害されると、第2関節(=キャリア)が屈曲を開始する。

この機構は1つの遊星歯車機構の動作が複数の関節に影響を及ぼすことから、その関節間で変位およびトルクの相互作用が発生することが予想できる。人の指を模した機構として一定の効果を得られているようだが、さらに多関節化した場合に、ワイヤ・プーリを用いたテンドンシステムと本質的には同様の問題を持っている。

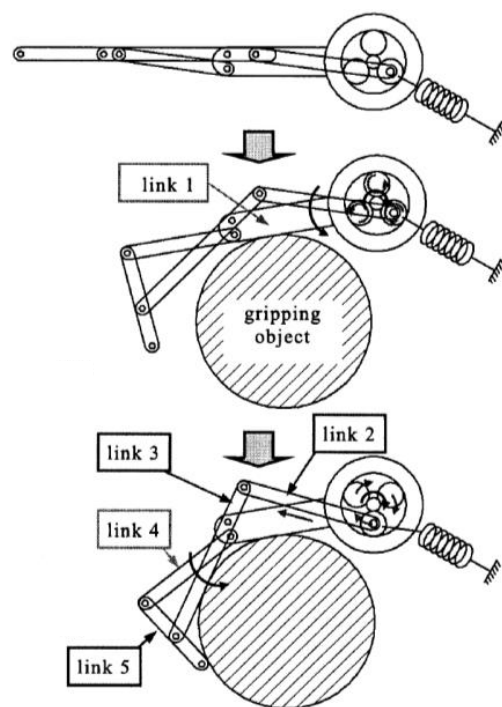
しかし、第1関節のみに焦点を当てると、キャリア、つまり第2関節がバックドライバビリティの出力先として機能していると解釈することができる。その結果に注目すると、遊星歯車機構はバックドライバビリティを持つ関節機構の要素として期待が持てる。



(a) 指関節機構



(b) 5指ハンド

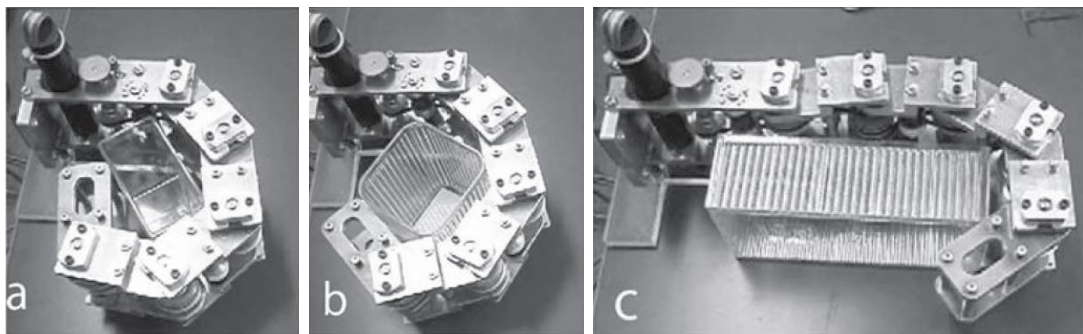


(c) 指関節機構

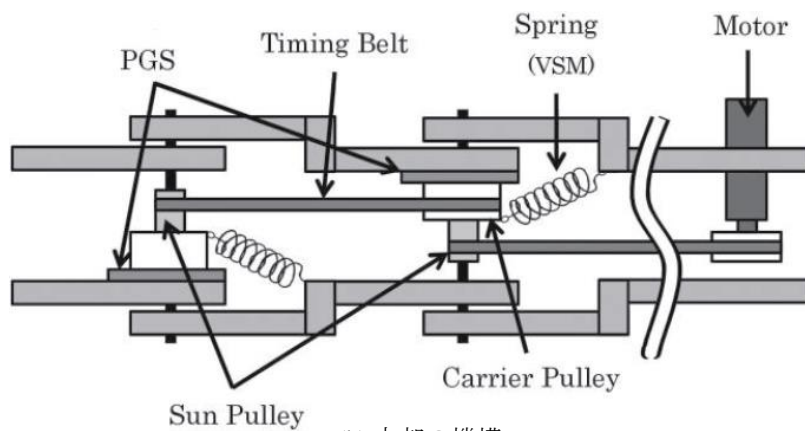
図 2.4 遊星歯車機構を利用した指関節機構および5指ハンド [49-51]

これに対し内田らは、遊星歯車機構を各関節に配置した多関節グリッパ [52] について報告し、また下野らによって、関節の剛性可変機構を搭載した改良機 [53] が報告された。これは、第 1 関節の太陽歯車へモータの動力を伝え、先端側リンクを内歯車に接続し、キャリアがバネを介して根本側リンクと接続されている。基本的にキャリアの回転が拘束されるため、内歯車 (= 先端側リンク) が回転する。仮に内歯車の回転が阻害された場合は、キャリアが回転し、それがバックドライバビリティとしての機能を果たす。内歯車とキャリアに生じる相対角度を、先端側関節の太陽歯車へ入力することで、劣駆動を成立させている。バックドライバビリティの機能を果たすバネが各関節付近に設置されていることから、目的とするような力覚システムの搭載は難しいと予想されるが、多関節グリッピングハンドとしてのその他の機能を構造的には満たしている。

しかし報告によれば、根本側の関節角度の影響をわずかに受けることで、物体を把持している場合には指先関節へトルクが伝わりづらくなるのが理論上避けられない点や、機構の複雑さから 1 関節が持つ質量が肥大化し、水平状態でしか動作がままならない点などの問題が指摘された。



(a) 包み込み把持の様子



(b) 内部の機構

図 2.5 遊星歯車機構を用いた多関節グリッパおよび機構概要 [52, 53]

2.3.3 提案する差動機構

前項で示した複数の研究例より，差動歯車機構は目的とする関節機構に対し十分な効果を発揮できると予想する．しかし遊星歯車機構では，歯数比の選択肢が狭いことや，各関節の遊星歯車機構の間で動力を伝達する時に，必ず何か別の伝達要素を経由しなければならず，機構の肥大化が避けられない．そこで，極めてシンプルな差動歯車機構である，図 2.6 に示すような 2 段の減速機構を提案する．以降，差動歯車機構とは本機構を指すものとする．動作の関係式を次に示す．

$$(Z_l^2 - Z_s^2) \theta_L = (Z_l^2) \theta_C - (Z_s^2) \theta_A \quad (2.2)$$

ここで θ_L , θ_A , θ_C は，それぞれリンク，歯車 A，歯車 C の角度を示す． Z_l , Z_s は，差動歯車機構を 2 種類の歯数で構成した場合の大小それぞれの歯数である．よって，各歯車 (A, C, E1, E2) の歯数に対して次の式が成り立つ．

$$Z_A = Z_{E1} = Z_s = 20 \quad (2.3)$$

$$Z_C = Z_{E2} = Z_l = 30 \quad (2.4)$$

ここで歯数をそれぞれ 20 と 30 と置いたが，これは後の章で実際に使用している歯数である．しかし，差動歯車機構の動作の特徴を説明する上で，厳密な歯数は必要としない．ただし $Z_s = Z_l$ の場合は，式 (2.2) 左辺の値が 0 となり，いかなる場合でもリンクが回転しなくなってしまうため，必ず $Z_s \neq Z_l$ を満たす必要がある．

式 (2.2) において，歯数は設計変数であり既知であるので，未知数は各 θ の 3 つとなる．これは遊星歯車機構と同じであり，その構造と照らし合わせると，歯車 A を太陽歯車，歯車 C を内歯車，リンクをキャリア，また歯車 E (E1 と E2 による段歯車) を遊星歯車とみなすことができる．

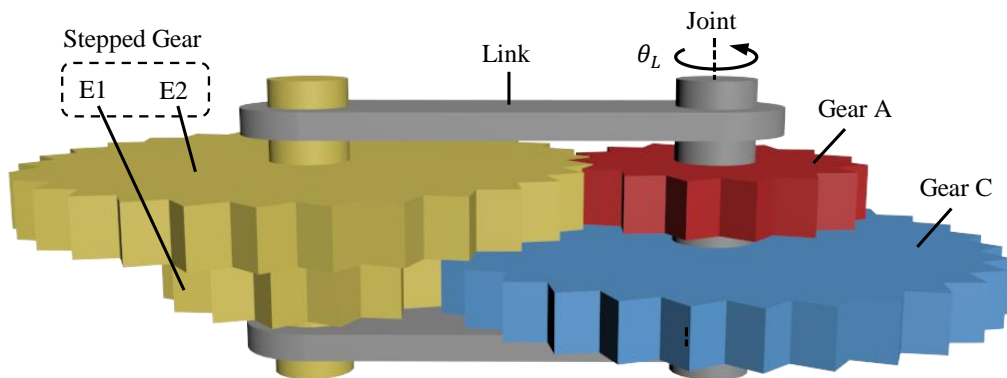


図 2.6 差動歯車機構

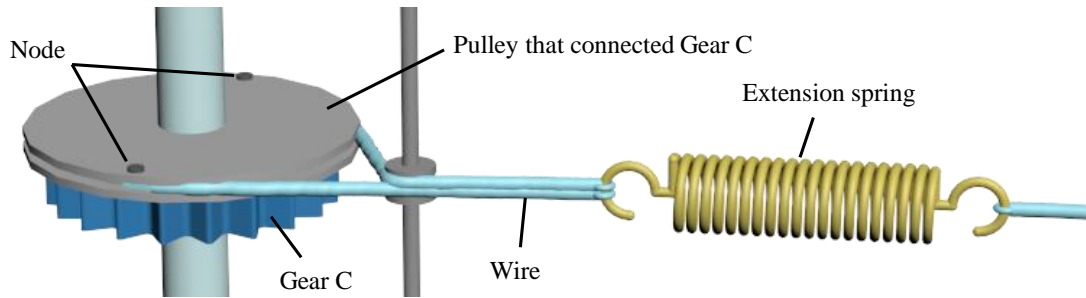


図 2.7 バックドライバビリティ生成機構

関節機構としては、歯車 A にモータからの動力を伝え、歯車 C へ引張バネからの力を伝える。なお、引張バネは図 2.7 に示すように回転を拘束する力として作用させる。リンクは重力や慣性力、外部との接触力といった力を受ける。設計条件として、モータからの入力最大値が、予想されるバネ力やリンクへ与えられる外力の入力値よりも大きな値をとるようにすることで、モータを角度制御することにより歯車 A は任意の角度を得るものとする。つまり、リンクおよび歯車 C への入力的大小によって、動作モードを概略的に分けることができる。動作モードは大きく 3 つ存在し、図 2.8 に示す。各動作の説明は次の通りである。

Motion1 歯車 A をモータにより回転させ、「リンクへの入力 < 歯車 C への入力」の場合の動作である。リンクに重力や外部との接触力といった環境外乱が働かない、またはその力が小さい場合、リンクへの入力が最も小さくなり、歯車 A の変位は全てリンクへと伝達される。

Motion2 歯車 A をモータにより回転させ、「歯車 C への入力 < リンクへの入力」の場合の動作である。何かしらの外力によりリンクの回転が阻害されており、その入力が、歯車 C と繋がるバネからの入力よりも大きい場合、歯車 A の変位は全て歯車 C へ伝わる。歯車 C の回転に伴い、バネには変位量に応じたポテンシャルエネルギーが蓄えられる。

Motion3 歯車 A の回転を停止させた場合の動作である。リンクに何かしらの外力が働きトルクが生じた場合や、バネが歯車 C を回転させるポテンシャルエネルギーを蓄えている場合、それらの大小により、リンク・歯車 C の一方が出力となり動作する。力が釣り合う場合は停止状態となる。

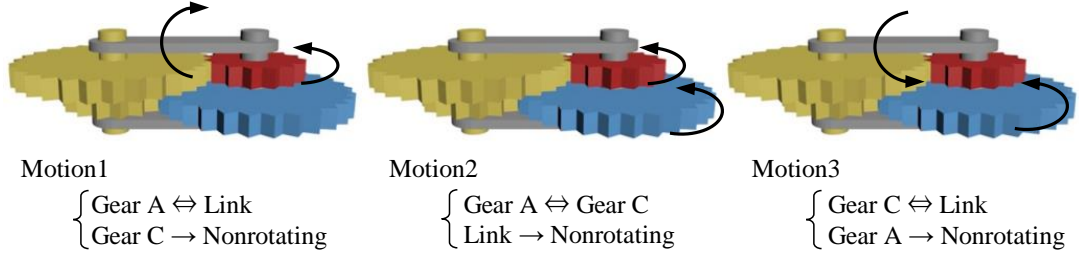


図 2.8 差動歯車機構の動作モード

この機構は歯車 C と繋がるバネがバックドライバビリティとして機能しており、このバネ力を制御することで、関節剛性の制御も可能である。バネの一端が自由であり機構的な拡張が可能であることから、提案する関節機構として必要な機能を満たせることが見込まれる。

また、差動歯車機構の動作の関係式として既に示した次の式について、その導出過程を説明する。

$$(Zl^2 - Zs^2) \theta_L = (Zl^2) \theta_C - (Zs^2) \theta_A \quad (2.2)$$

まず、噛み合っている 2 つの歯車の組み合わせ (A と E2, C と E1) について、それぞれ以下の式を立てることができる。

$$\theta_{E1} = \frac{Z_C}{Z_{E1}} (\theta_L - \theta_C) \quad (2.5)$$

$$\theta_{E2} = \frac{Z_A}{Z_{E2}} (\theta_L - \theta_A) \quad (2.6)$$

ここで、 θ_{E1} , θ_{E2} は歯車 E1, E2 の角度を、 Z は各添え字の歯車における歯数を表す。E1 と E2 は段歯車であることから、

$$\theta_{E1} = \theta_{E2} \quad (2.7)$$

が成立する。この式に式 (2.5), 式 (2.6) を代入することにより、次の式を得る。

$$(Z_{E2}Z_C - Z_{E1}Z_A) \theta_L = (Z_{E2}Z_C) \theta_C - (Z_{E1}Z_A) \theta_A \quad (2.8)$$

先に示した式 (2.2) は歯数を 2 種類しか使用しないという仮定の下で成り立つ式であり、式 (2.8) が一般化された式である。

2.4 多関節列駆動機構への応用

提案した差動歯車機構は，多関節の劣駆動機構へ発展されなければならない．基本的には，各関節に差動歯車機構を用いた関節機構を配置すれば良いのだが，ここで重要なのが，バックドライバビリティを再現しているバネの設置場所である．力覚システムとして応用するのであれば，このバネの伸縮量を計測しなければならない．衝撃・熱・電磁波といった因子に影響を受けにくいシステムのためには，実際に駆動し，物体と接触する指部ではなく，第1関節よりも根元側である基部に設置されるべきである．これらのことから，差動歯車機構の要素である歯車 A・歯車 C に対して (図 2.6 参照)，それぞれ基部から，モータの動力・バネによる動力を伝達する必要がある．

そこで，根元側に位置する関節角度の影響を受けない，動力の伝達機構について検討する．次の式は差動歯車機構の関係式である，式 (2.2) を変形させたものである．ここで，添え字の i は根元から数えた関節番号を意味する．

$$\theta_{Li} = \frac{Zl^2}{Zl^2 - Zs^2} \theta_{Ci} - \frac{Zs^2}{Zl^2 - Zs^2} \theta_{Ai} \quad (2.9)$$

根元側の関節角度の影響を受けないということは，根元側の関節が回転した場合においても $\theta_{Li} = 0$ を維持する．そこで，例として第3関節のみの屈曲動作について焦点を当て，図 2.9 に示すような歯車列を構成する．図に示した歯車列は大小2種類の歯数の歯車のみで構成されているものとする．第3関節の歯車 A(A3) に直接動力を伝達する歯車を A3'，また歯車 C(C3) のそれを C3' とする．歯車 C3' に段歯車を用いれば，第1関節から A3'・C3' 両歯車へ至る歯数の並びを図のように揃えることが可能となる．よって第1関節，第2関節の屈曲により各歯車に回転が生

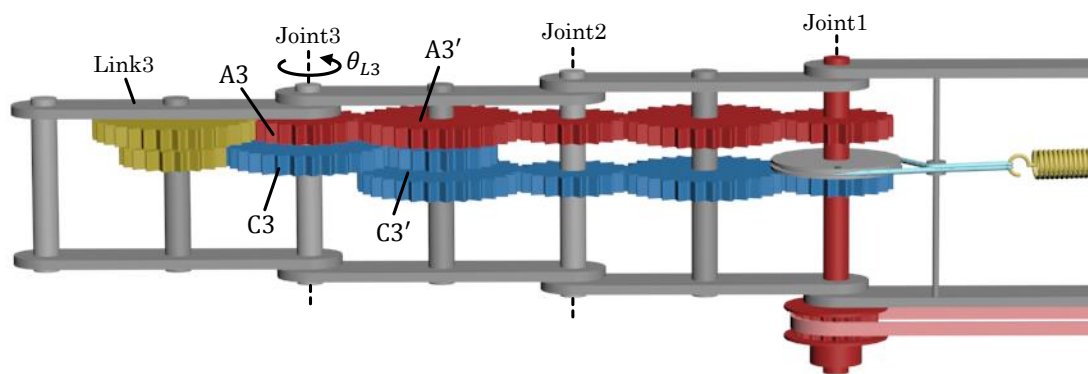


図 2.9 各差動歯車機構への動力伝達

じても、そのことに起因する $A3' \cdot C3'$ の相対角度は常に 0° となる。この両歯車の角度を θ_x と置くと、差動歯車機構の歯車 A 及び C への伝達は次のように求められる。

$$\theta_{A3} = -\frac{Z_l}{Z_s} \theta_x \quad (2.10)$$

$$\theta_{C3} = -\frac{Z_s}{Z_l} \theta_x \quad (2.11)$$

これらを差動歯車機構の式 (2.9) に代入すると、

$$\theta_{L3} = 0 \quad (2.12)$$

となる。このことから、第3関節のリンク角度は、第1関節に位置する2つの歯車の相対角度によって決定するといえる。

この機構を3関節分の動作に拡張したモデルを図 2.10 に示す。図中の同軸上で

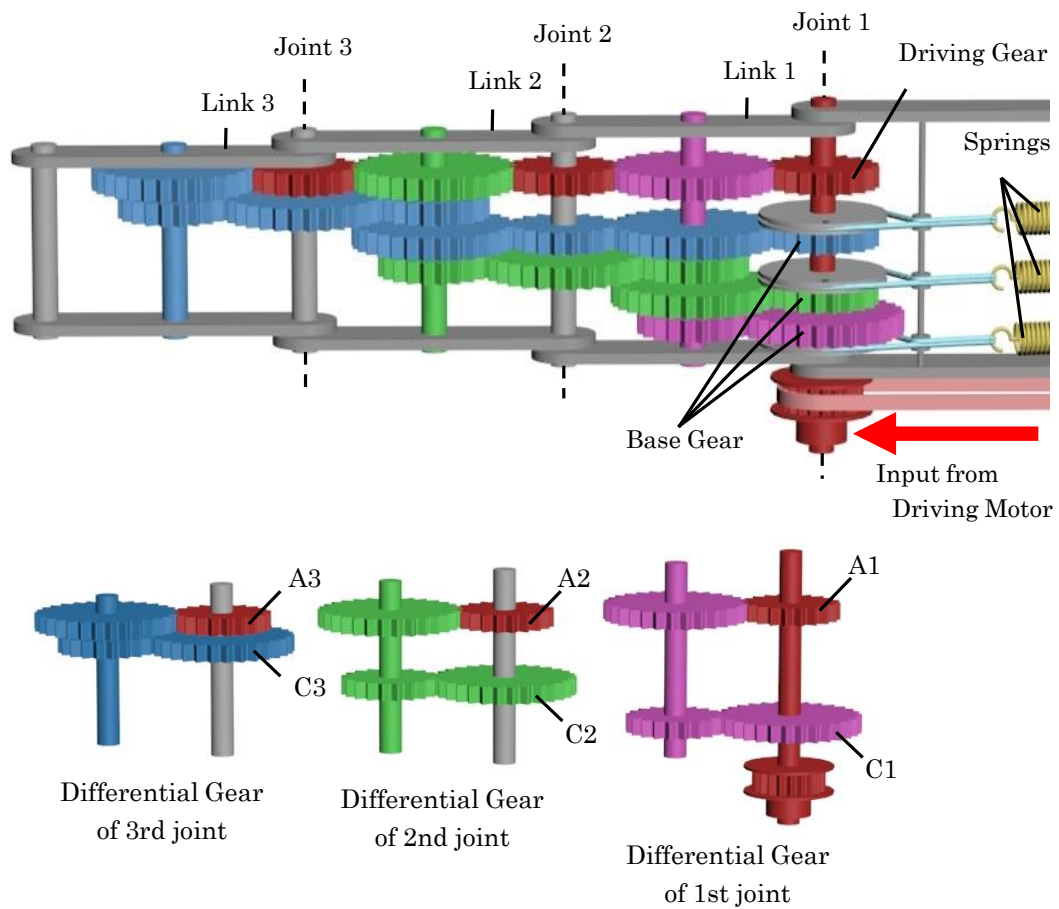


図 2.10 3 関節の機構モデル

同色で示された要素は連結していることを意味する。また、同図には理解の一助のために各関節の差動歯車機構を抜き出したものも示している。第1関節に位置し、各差動歯車機構の歯車 A へ動力を伝達する歯車をドライビングギアと呼び、同じく第1関節に位置し、各歯車 C へ動力を伝達する歯車をベースギアと呼ぶものとする。ドライビングギアは1つのみであり、屈曲動作を行うためのモータ(ドライビングモータ)の動力を第1関節から順に、全ての関節へと伝達する。ベースギアは関節ごとに独立して存在し、それぞれ引張バネで回転を拘束するような作用を受けている。

リンク角度は、ドライビングギアとベースギア角度によって求めることができ、その式は次のようになる。

$$\theta_{L1} = \frac{Zl^2}{Zl^2 - Zs^2}\theta_{B1} - \frac{Zs^2}{Zl^2 - Zs^2}\theta_D \quad (2.13)$$

$$\theta_{Li} = \frac{Zs^2}{Zl^2 - Zs^2}\theta_{Bi} - \frac{Zs^2}{Zl^2 - Zs^2}\theta_D \quad (i > 1) \quad (2.14)$$

ここで、 θ_{Bi} は各関節に対応するベースギア角度、 θ_D はドライビングギア(またはドライビングモータ)の角度である。

図 2.10 から分かる通り、第1関節の式(2.13)は式(2.9)で示した差動歯車機構の式そのものである。第2関節以降は、ベースギアから歯車 C への伝達で段歯車を介しているため、ベースギアの項が異なっている。よって、リンクに重力や外部との接触力といった外力が発生しておらず、全てのベースギア角度 θ_{Bi} が 0 である場合、同じ式になることが確認できる。

これらのことから、全関節の基準となる屈曲角度はドライビングギアの角度によって決まり、それは全ての関節において同一角度であると言える。

2.5 剛性可変機構

第1関節より根本側である基部について、図 2.11 に示す。モータは1指につき2基使用する。屈曲動作用のドライビングモータの動力は、ベルトとプーリを介し、ドライビングギアへと伝達する。

もう一方のVSMモータは関節剛性を制御するモータである。VSMとは、Variable Stiffness Mechanism (剛性可変機構)の略である。VSM軸を回転させることで、ワイヤとプーリを介して、バックドライバビリティを再現している引張バネのもう一端の位置を制御する。

このシステムによりベースギアに発生するトルクは非線形となる。VSMモータで制御する変位量を基準バネ伸び量とし、例として、その量が2[mm]と8[mm]の場合のベースギア角度と生じるトルクについての関係を図 2.12 に示す。なお、バネ係数は1[N/mm]とする。これらの剛性値 S は、角度の微小変化とトルクの微小変化の比、

$$S = \Delta T_B / \Delta \theta_B \quad (2.15)$$

で表され、角度の微小変化を $0 \rightarrow 5[\text{deg}]$ とすれば、2[mm] の場合は $S = 1.88[\text{Nmm/deg}]$, 8[mm] の場合は $S = 6.68[\text{Nmm/deg}]$ となり、基準伸び量に伴い関節剛性が制御される。

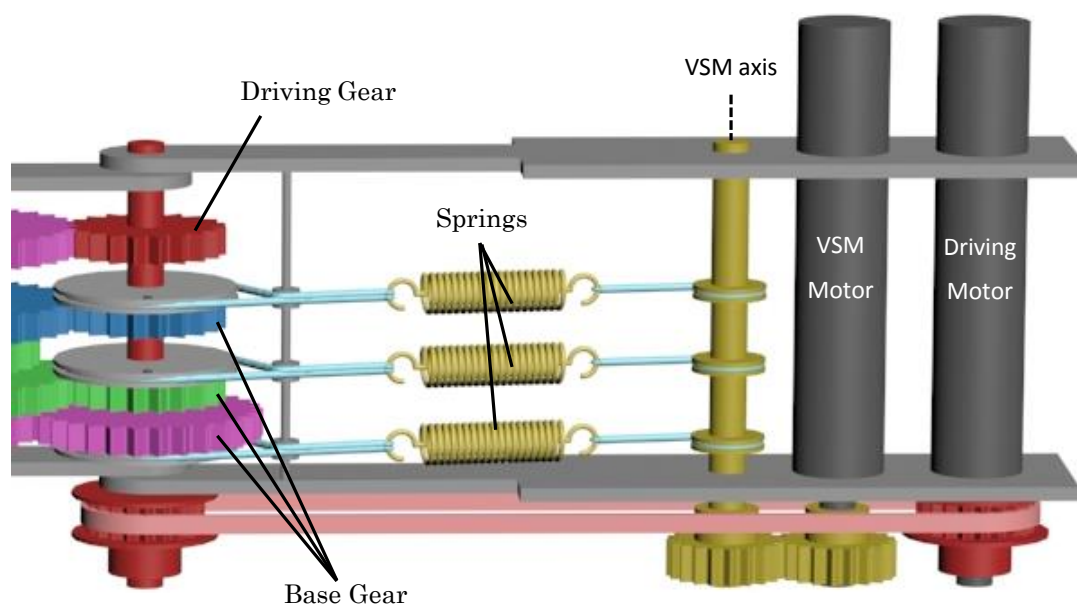


図 2.11 剛性可変機構

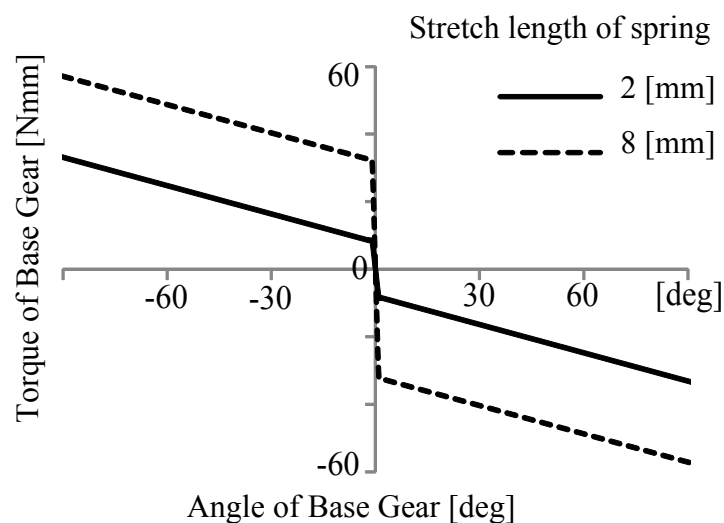


図 2.12 ベースギア角度と発生するトルクの関係

2.6 ピンチングのための指先機構

複数の指機構を運用する場合、指先でつまみあげるピンチングが可能となる。ピンチングは地面に接している物体を上から拾い上げるなど、屋外で運用するには必須の機能であると考えられる。しかし本機構は、器用なハンドリングではなく包み込み把持を行うことを重視しているため、ピンチングから包み込み把持へいかにスムーズに移行するかが重要である。手練りによりそれを達成する研究は存在するが、本研究では機構的にその機能を備えることを目指す。

図 2.13 にその機構の概要を示す。提案した劣駆動機構は、各関節の差動歯車機構の要素を直列につなぐことで、モータの動力を各関節へ伝えている。つまり、先端関節の差動歯車機構からさらに先へ、モータの動力を伝えることが可能であることを意味する。図 2.6 で示した歯車 E の動力をプーリとベルトを介して、自由に回転するよう取り付けられたローラへ伝える。リンクが屈曲動作中はこのローラは同方向へ回転するため、結果的に物体を内側へ引き寄せる働きをする。またモータからベースギアへ動力が伝わる場合は必ず歯車 E を経由するため、ドライビングモータが物体を包み込む方向へ駆動している場合は、リンクが停止しているか屈曲しているかに関わらず内側へ引き寄せる働きをする。

この機構により、ピンチングから包み込み把持への移行がスムーズに行えることが期待できる。また本機構は実験的なものであり、ピンチングの機能を評価する場合のみ搭載する機構とする。

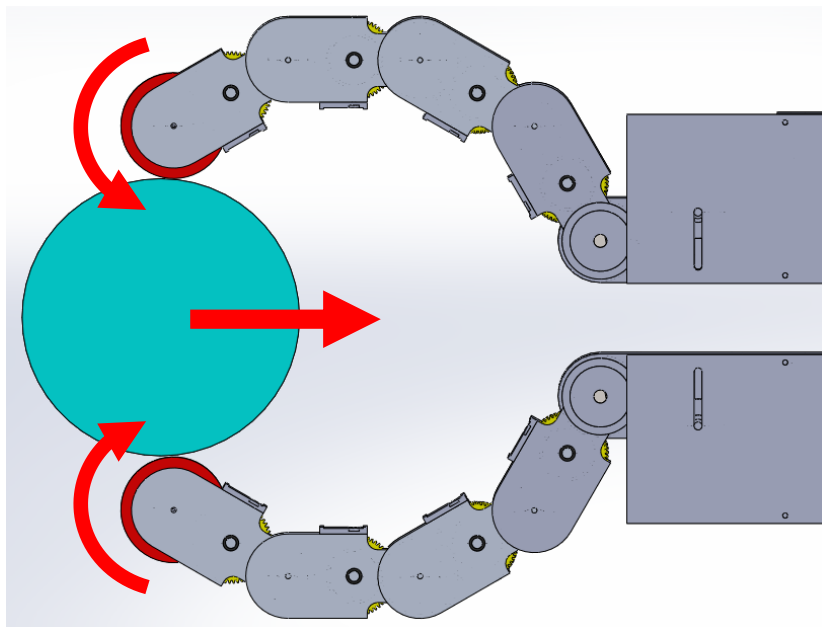
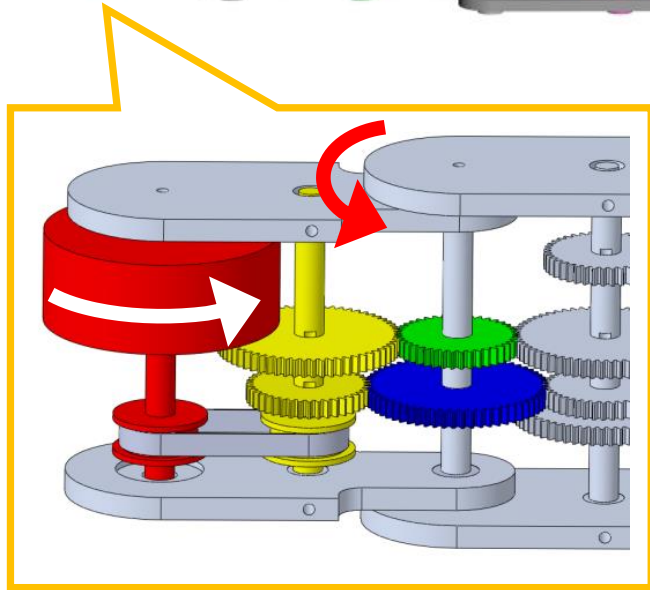
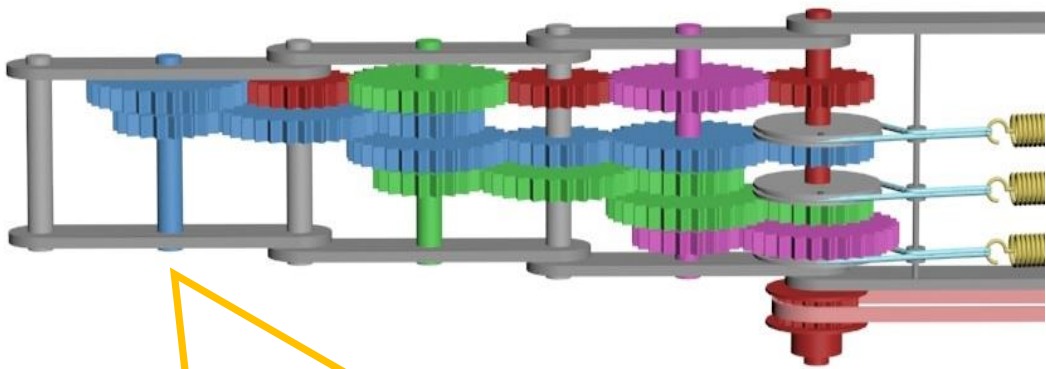


図 2.13 指先ローラ機構

2.7 まとめ

本章では，序論で述べた多関節グリッピングハンドが満たすべき以下の要件に沿った関節機構の提案を行った．

- (a) 物体形状に沿った柔らかい把持を可能とする
- (b) シンプルな制御で動作可能な劣駆動機構である
- (c) 状況に応じて関節剛性の制御を可能とする
- (d) 本質安全を確保した力覚システムを有する
- (e) 包み込み把持に加えピンチングを可能とする

一関節に求められる機能は，角度を制御可能であることと剛性を制御可能であることの2つである．この2入力の要求を満たすため，差動歯車機構を導入した．使用する差動機構は2入力1出力という特徴を持ち，入力の一つはモータからのトルクを与え，もう一方はバネによる受動的なトルクを与える．能動的な角度制御を行う場合はモータトルクがそのまま関節へ出力されるが，関節が外部との干渉により固定された，または過剰に回転した場合に，バネにエネルギーを蓄えるように動作する．バネの復元力が外部干渉に対する抵抗力となり，バネ力を制御することで関節剛性を可変とする．本機構は劣駆動で多関節に拡張可能であり，目的とする要件を満たす機構の提案を行った．

第3章

動力学シミュレーションの導入

3.1 はじめに

本章では、提案した機構について評価するためのシミュレーション手法についての説明と、最も基礎となる動作である屈曲動作と包み込み把持のシミュレーションについて述べる。

動力学シミュレーションを導入する理由は、実機を用いての実験では、接触力など厳密な測定が困難な情報が存在し、それらの予測のためや、またバネ係数などのパラメータ設定に役立てるためである。本章では評価は基礎的な動作のみにとどめ、詳細なシミュレーションによる評価は、後の章で実機による実験と比較しながら示すものとする。

シミュレーション手法に関しては、運動方程式の導出には基本的にラグランジュ法を用いており、各運動要素に関してその導出過程を示す。また、運動要素同士の接触などといった干渉の扱いについても説明する。

3.2 対象とする運動モデル

図 3.1 に 1 指および 2 指のシミュレーションモデルを示す．シミュレーションにおける運動要素として，指部であるリンク機構，モータ，把持物が挙げられ，それらをモデル化した図である． $\theta_1 \sim \theta_i$ は基部側リンクに対する各リンクの相対角度， θ_D ， θ_{VSM} はそれぞれドライビングモータ，VSM モータ角度， G_x ， G_y ， θ_G は物体座標および角度である．モータは数値のみで表現され，またリンク機構および把持物は，点・円・直線のいずれかの要素の組み合わせで構成される．

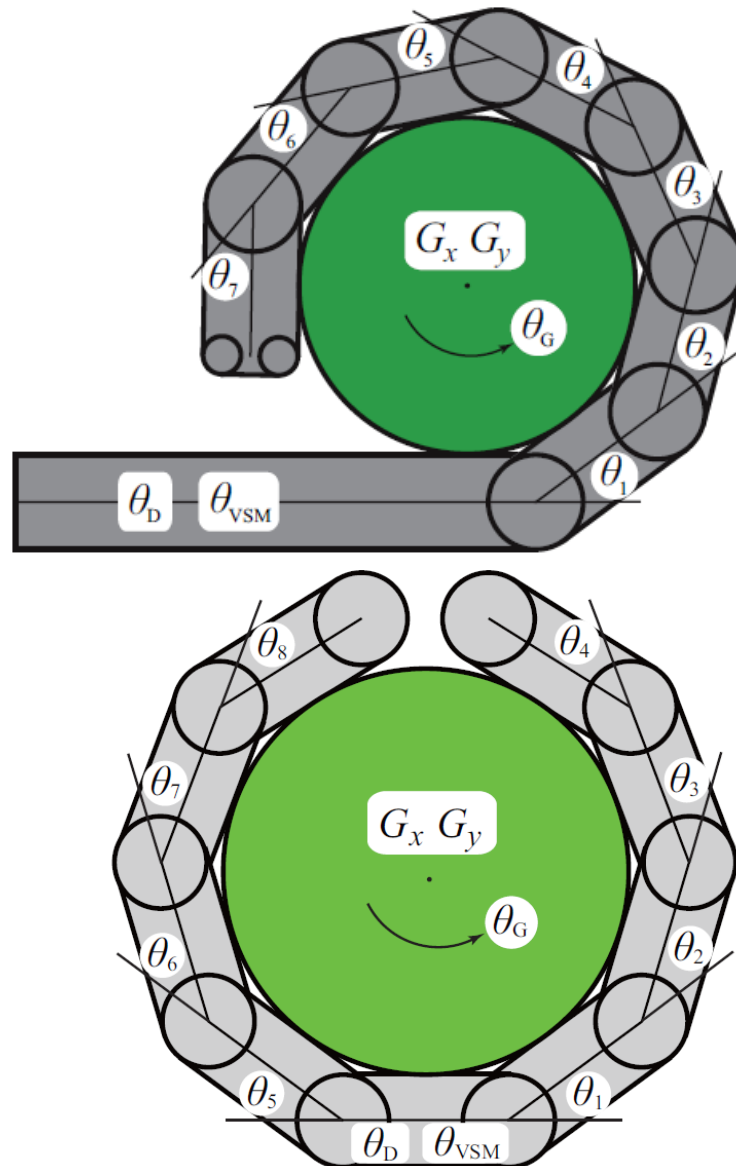


図 3.1 シミュレーションモデルと運動学的変数

3.3 運動方程式の導出

3.3.1 リンク機構の運動方程式の導出

以下、指部の運動方程式の導出について説明する。使用するパラメータ記号について次に示す。なお、 i は関節角度を意味する。

l_i	リンク長	P_i	リンク重心座標
m_i	リンク質量	\dot{P}_i	リンク並進速度
I_i	リンク慣性モーメント	c	リンク回転散逸係数
J_i	関節座標	d	リンク並進散逸係数

本モデルは、直交座標系よりも極座標系を用いることで問題が簡単になるため、このような場合に利点があり導出が容易なラグランジュ（Lagrange）の運動方程式を用いる。指の相対角度を表す一般化座標 $\theta_1 \sim \theta_7$ を q 、それに対応する一般化力を Q とし、関節座標 J_i 、リンク重心座標 P_i およびその並進速度 \dot{P}_i を求める。

$$q = [\theta_1 \ \theta_2 \ \theta_3 \ \theta_4 \ \theta_5 \ \theta_6 \ \theta_7]^T \quad (3.1)$$

$$Q = [Q_1 \ Q_2 \ Q_3 \ Q_4 \ Q_5 \ Q_6 \ Q_7]^T \quad (3.2)$$

$$J_1 = [x_0 \ y_0]^T \quad (3.3)$$

$$J_i = J_{i-1} + l [\cos\theta_{i-1} \ \sin\theta_{i-1}]^T \quad (2 \leq i) \quad (3.4)$$

$$P_i = J_{i-1} + l [\cos\theta_{i-1} \ \sin\theta_{i-1}]^T / 2 \quad (3.5)$$

$$\dot{P}_i = \partial P_i / \partial t \quad (3.6)$$

ここで x_0 , y_0 は任意の定数である。また、すでに説明した通り指機構はバネを有しており、バネのポテンシャルエネルギーが存在する。しかし使用している引張バネには初期張力が存在し、理論上バネにより発生しているトルクが不連続に変化する（BaseGear が $0[\text{deg}]$ 付近の場合）がある。このような不連続に変化するエネルギーを数式で表現することは困難なため、バネにより発生している力は外力 Q として計算に含めることにする。その計算手順については本項最後に説明する。

続いて、運動エネルギー T 、ポテンシャルエネルギー U 、散逸エネルギー V 及びラグラ

ンジアン L を求める。 T はリンク慣性力を， U は $-Y$ 軸方向の重力を， V は並進と回転の減衰力を含む。尚， L は運動エネルギー T とポテンシャルエネルギー U により与えられるパラメータである。

$$T = \sum_{i=1}^7 \left\{ \frac{m_i}{2} (\dot{P}_{xi}^2 + \dot{P}_{yi}^2) + \frac{I_i}{2} \dot{\theta}_i^2 \right\} \quad (3.7)$$

$$U = \sum_{i=1}^7 mgP_{yi} \quad (g = 9.81) \quad (3.8)$$

$$L = T - U \quad (3.9)$$

$$V = \sum_{i=1}^7 \left\{ \frac{d}{2} (\dot{P}_{xi}^2 + \dot{P}_{yi}^2) + \frac{c}{2} \dot{\theta}_i^2 \right\} \quad (3.10)$$

求めた L 及び V をラグランジュの運動方程式である式 (3.11) 代入する。具体的には式 (3.12) のような形になる。

$$\frac{d}{dt} \left(\frac{\partial L}{\partial \dot{\mathbf{q}}} \right) - \frac{\partial L}{\partial \mathbf{q}} + \frac{\partial V}{\partial \dot{\mathbf{q}}} = \mathbf{Q} \quad (3.11)$$

$$\begin{bmatrix} \frac{d}{dt} \left(\frac{\partial L}{\partial \dot{\theta}_1} \right) - \frac{\partial L}{\partial \theta_1} + \frac{\partial V}{\partial \dot{\theta}_1} \\ \vdots \\ \frac{d}{dt} \left(\frac{\partial L}{\partial \dot{\theta}_7} \right) - \frac{\partial L}{\partial \theta_7} + \frac{\partial V}{\partial \dot{\theta}_7} \end{bmatrix} = \begin{bmatrix} Q_1 \\ \vdots \\ Q_1 \end{bmatrix} \quad (3.12)$$

この式において，左辺の各成分第 1 項には加速度行列 $\ddot{\mathbf{q}} = [\ddot{\theta}_1 \cdots \ddot{\theta}_1]$ の成分が含まれており，これを解く形に変形する。まず， $\ddot{\mathbf{q}}$ 成分の係数で構成される行列である，慣性項（システム）行列 M を導く。 M_{ni} を式 (3.12) 左辺の第 n 成分における $\ddot{\theta}_i$ の係数とすると，次のように表現できる。

$$M = \begin{bmatrix} M_{11} & \cdots & M_{17} \\ \vdots & \ddots & \vdots \\ M_{71} & \cdots & M_{77} \end{bmatrix} \quad (3.13)$$

上式により，式 (3.12) を次のように表現できる。

$$M\ddot{\mathbf{q}} + H_q = \mathbf{Q} \quad (3.14)$$

$$\ddot{\mathbf{q}} = M^{-1}(\mathbf{Q} - H_q) \quad (3.15)$$

ここで H_q は式 (3.12) の左辺各要素の \ddot{q} 成分を含まない項をまとめた行列である。数値計算ではこの運動方程式を利用する。

また、バネによる外力 Q の計算手順について説明する。図 2.11 において、 i 関節に対応するベースギアとそれに接続されたプーリ角度および発生しているトルクを θ_{Bi} , T_{Bi} とし、プーリ径は一律で r_B とする。また VSM 軸とそれに接続されているプーリ角度を θ_V とし、プーリ径は一律で r_V とする。バネ係数を k_i とすれば、ベースギアの回転により生じるトルクは次の式で表される。

$$T_{Bi} = -r_B k_i (r_B \theta_{Bi} + r_V \theta_V) \quad (3.16)$$

上式で求めたベースギアに発生するトルクを各リンクに発生するトルクへと変換する式は、ベースギアとリンク角度の関係を表す式 (2.13), 式 (2.14) より、次のように表される。

$$Q_1 = \frac{Zl^2 - Zs^2}{Zl^2} T_{B1} \quad (3.17)$$

$$Q_i = \frac{Zl^2 - Zs^2}{Zs^2} T_{Bi} \quad (i > 1) \quad (3.18)$$

3.3.2 モータの運動方程式の導出

導出過程はリンクと同じであるため、式をいくつか示すだけにとどめる。一般化座標及び一般化力、各エネルギーは次の通りである。なお、説明の混乱を避けるため、同じ性質を示すパラメータは前項と同じ記号を用いている。

$$q = [\theta_D \ \theta_{VSM}]^T \quad (3.19)$$

$$Q = [Q_D \ Q_{VSM}]^T \quad (3.20)$$

$$T = \frac{I}{2}(\dot{\theta}_D^2 + \dot{\theta}_{VSM}^2) \quad (3.21)$$

$$U = 0 \quad (3.22)$$

$$V = \frac{c}{2}(\dot{\theta}_D^2 + \dot{\theta}_{VSM}^2) \quad (3.23)$$

この後の過程は式 (3.11)-(3.15) に示した通りである。尚、2つのモータは運動方程式の上では互いに干渉しないため、慣性項行列 M は対角行列となる。

3.3.3 把持物の運動方程式の導出

剛体の場合の運動方程式の導出はリンク、モータと同様であるため、こちらも式をいくつか示すだけにとどめる。一般化座標及び一般化力、各エネルギーは次の通りである。同じ性質を示すパラメータは前項と同じ記号を用いている。

$$q = [G_x \ G_y \ G_\theta]^T \quad (3.24)$$

$$Q = [Q_x \ Q_y \ Q_\theta]^T \quad (3.25)$$

$$T = \frac{m}{2}(\dot{G}_x^2 + \dot{G}_y^2) + \frac{I}{2}\dot{G}_\theta^2 \quad (3.26)$$

$$U = mgG_y \quad (3.27)$$

$$V = \frac{d}{2}(\dot{G}_x^2 + \dot{G}_y^2) + \frac{c}{2}\dot{G}_\theta^2 \quad (3.28)$$

把持物に関しても、一般化座標の3つの要素は互いに干渉しないため、慣性項行列 M は対角行列である。

3.3.4 柔軟な把持物の運動方程式の導出

続いて弾性物体の場合について説明する．運動方程式の導出には非線形有限要素法を用いる．ここでいう非線形とは形状的非線形のことであり，物体の変形に伴い，剛性マトリクスが時間経過と共に変化することを指す．

$$M\ddot{U} + C\dot{U} + KU = F \quad (3.29)$$

$$D = \frac{E}{(1+\nu)(1-2\nu)} \begin{bmatrix} 1-\nu & \nu & 0 \\ \nu & 1-\nu & 0 \\ 0 & 0 & 0.5-\nu \end{bmatrix} \quad (3.30)$$

$$K = S \cdot B^T \cdot D^T \cdot B \quad (3.31)$$

$$M = \rho \cdot N^T \cdot N \quad (3.32)$$

$$C = \alpha M + \beta K \quad (3.33)$$

上式で表現され， U は節点座標， $M \cdot C \cdot K$ はそれぞれ質量マトリクス・散逸マトリクス，剛性マトリクスである． F は各節点を受けるXおよびY方向の外力である．これら3つのマトリクスは要素ごとに計算された後に合成される．まず各要素の節点座標を基に要素内の物理量を表す形状関数を定義し，そのパラメータによりNマトリクス (N) を計算する．次にNマトリクスからBマトリクスを導く．これはひずみと変位を結びつけるマトリクスである．続いて，物体特性からDマトリクス (D) を計算する．これは応力とひずみを結びつけるマトリクスである．剛性マトリクス，質量マトリクスはこれらの値を利用して計算される．

減衰マトリクスである C は，計算の安定化に優れたレイリー減衰により求める．レイリー減衰は質量マトリクス・剛性マトリクスの固有値から計算されるパラメータを使用することとする．なお，減衰率の指定が必要であり，0.9 とした．

3.4 モデル同士の接触処理

3.4.1 接触判定

物体とリンクの接触判定について説明する．図 3.2 はその過程を表す．リンクを構成する辺の基準点 O_i を原点とし，その辺の長手方向が X 軸となるようにモデルを回転させ，回転後の物体座標 G' により接触の有無を評価する．以下の2式を

満たす場合は接触状態にあると判断する。尚, l_i は辺の長さ, r は物体半径を意味する。

$$0 < G'_x < l_i \tag{3.34}$$

$$G'_y < r \tag{3.35}$$

式 (3.34) は, 接触位置がリンクの長さ以内に収まっているかを評価する。式 (3.35) は, 物体とリンクの距離が接触する距離であるかを評価する。この評価を各辺につき行う。

先端リンクの頂点が物体と接触した場合を, 図 3.3 に示す。この場合は, 次の 1 式を満たす場合に接触状態にあると判断する。尚, r_t はリンク先端の丸み半径を意味する。

$$r_t + r < l_x \tag{3.36}$$

物体が多角形である場合, 物体を構成する各頂点に対して同様の評価を行う。この場合, r は各頂点の丸み半径を意味する。

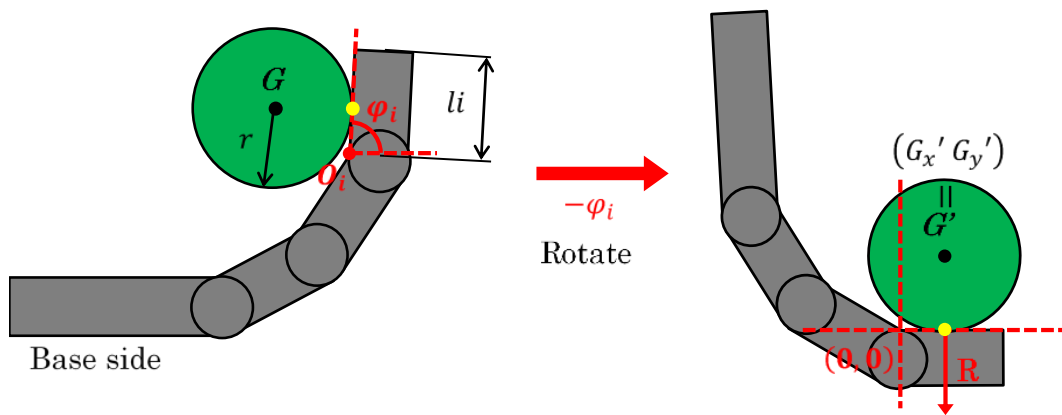


図 3.2 接触処理

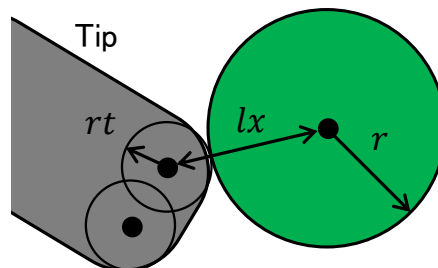


図 3.3 指先の接触処理

また、多角形の物体は構成要素に辺を持つことになり、辺がリンク先端の頂点と接触することが想定される。その場合は図 3.2 に示した接触処理と同様に考える。まず物体を構成する辺の基準点を中心に、辺の長手方向が X 軸となるようモデルを回転する。その際のリンク先端の丸み半径の中心座標により判断する。それは式 (3.34)-(3.36) と同じように、接触位置が辺の長さ以内に収まっているか、物体とリンクの距離が接触する距離であるかを評価する。これらの手法を用いることで、直線と円より構成させる物体形状に対して接触判定を行うことが可能である。

3.4.2 接触反力の反映

接触判定により接触していると判断される場合の反力については、ペナルティ法 (Penalty method) を用いる。ペナルティ法とは物体を弾性体とみなす手法であり、物体への貫入を許容して、反力 R はその量に比例した力となる。以下に式を示す。

$$|R| = kd \quad (3.37)$$

d は物体への貫入量であり、長さである。これは接触判定で用いたパラメータから計算可能である。 k は物体のヤング率であるが、実際の材料定数を用いると数値計算を行うには過大であるため、経験と試行に基づき計算が安定する値を用いる。

R の方向については、辺と頂点の接触である場合は辺と直交するベクトルであり、頂点と頂点の接触である場合は 2 つの座標を結ぶベクトルである。ここで求めた接触反力は、既に示した運動方程式における一般化力 Q に含める。 Q は各リンクへのトルクを要素に持つ行列であるため、接触反力 R から各リンクに発生するトルクを計算する必要がある。次に示すように、外積により求める。

$$Q_{i+} = P_{ci} \times R \quad (1 \leq i \leq i_c) \quad (3.38)$$

$$Q_{i+} = 0 \quad (i_c < i) \quad (3.39)$$

P_{ci} は J_i (i 番目の関節座標) から接触点までのベクトルであり、 i_c は接触したリンク番号である。この計算を各接触点につき行う。 $Q_{i+} =$ となっているように、接触以外の外力が働いている場合や接触点が複数ある場合は、加算していく必要があることに注意しなければならない。

物体についても同様に、運動方程式における一般化力に含める。

3.5 数値計算の手順

数値積分法には4次のルンゲクッタ法 (Runge-Kutta method) を用いた。以下に式を示す。

$$k1 = f([q_i \ \dot{q}_i]^T) \quad (3.40)$$

$$k2 = f([q_i \ \dot{q}_i]^T + k1/2) \quad (3.41)$$

$$k3 = f([q_i \ \dot{q}_i]^T + k2/2) \quad (3.42)$$

$$k4 = f([q_i \ \dot{q}_i]^T + k3) \quad (3.43)$$

$$[q_{i+1} \ \dot{q}_{i+1}]^T = \Delta t(k1 + k2 + k3 + k4)/6 \quad (3.44)$$

Δt は刻み時間である。 $f(x)$ は関数であり、一般化座標及び速度 $([q_i \ \dot{q}_i]^T)$ を引数とし、速度と加速度 $([\dot{q}_i \ \ddot{q}_i]^T)$ を返す。速度に関しては与えられた値をそのまま返し、加速度は運動方程式により得た解を返す。

計算のフローチャートを次に示す。

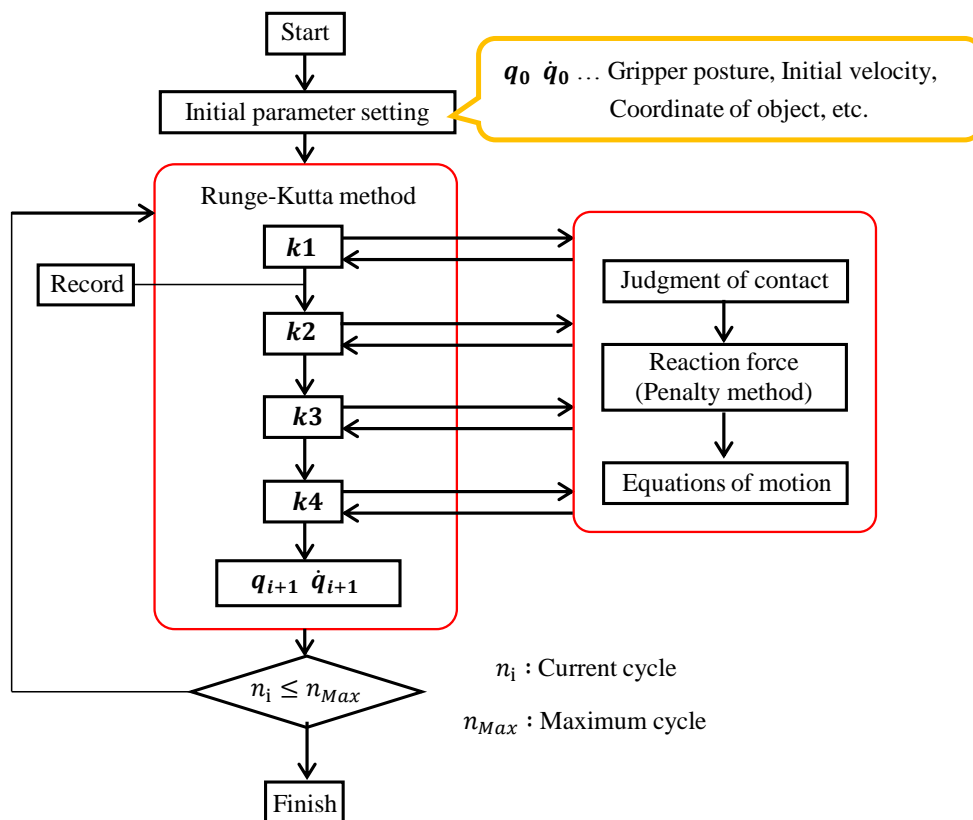


図 3.4 数値計算の流れ

3.6 基礎動作の検証

最も基本的な動作である屈曲動作および包み込み把持のシミュレーションを行った。シミュレーションに用いたグリッパのパラメータを表 3.1 に示す。

屈曲動作について、ドライビングモータを 50[deg] まで回転させた場合の結果を図 3.5 に示す。水平状態における動作では、リンクに作用する外力が存在しないため、モータの動力がほぼ全てリンクへと伝わっている。リンク自体が持つ慣性力のみが屈曲を妨げる力として働き、このシミュレーションにおけるベースギアの最大回転角度は 0.1[deg] に収まっており、なじみ動作はほぼ起きていないと言える。

包み込み把持のシミュレーションを 3 種類の形状に対して行った結果を、図 3.6 から図 3.8 に示す。またシミュレーションパラメータを表 3.2 に示す。各時刻における把持の様子と、リンクおよびドライビングモータ角度の推移、そしてベースギア角度の推移を示している。なお、図中の矢印は接触力を表している。物体と接触するまではベースギアはほぼ回転しておらず、物体と接触後に回転を始める。そしてそのタイミングで、リンクの角度変位が収束していることが確認できる。その後、ドライビングモータの目標角度到達に合わせてベースギアの変化も収まる。示した 3 種類の実験結果については、物体形状になじむような把持が達成できている。

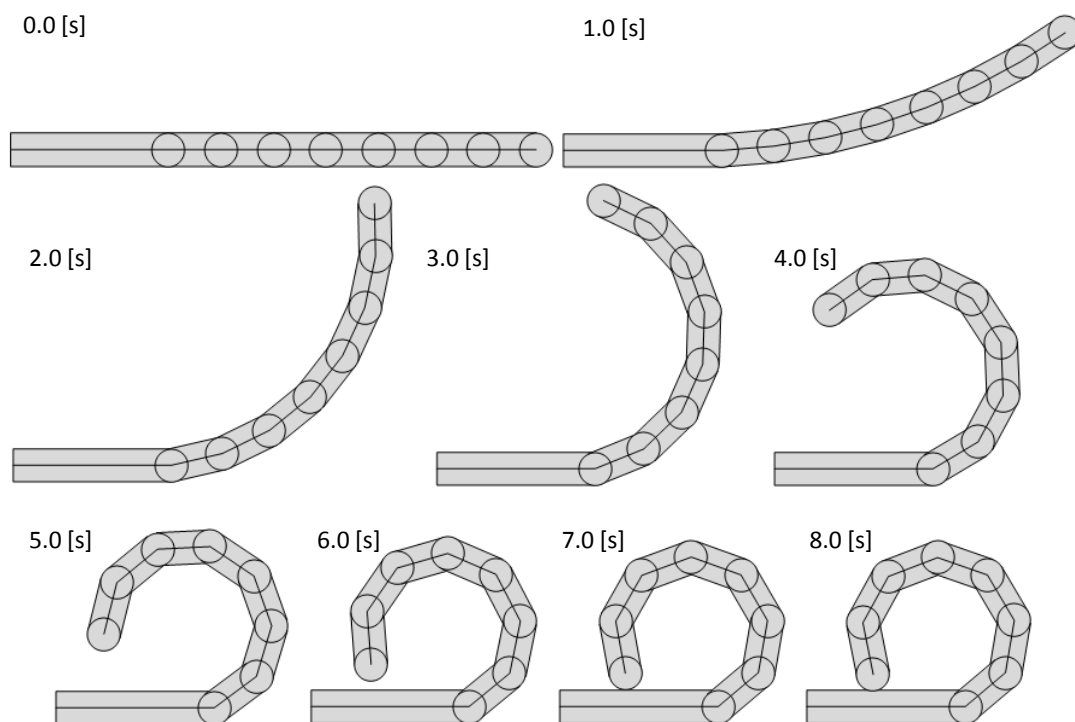


図 3.5 シミュレーション結果：7 関節モデル-基本動作

表 3.1 シミュレーションにおけるグリッパ機構のパラメータ

DOF	7
Length of link	50[mm]
Width of link	30[mm]
Weight of link	100[g]
Moment of inertia	$50 \times 10^{-6}[kgm^2]$
Damping of rotation	0.03
Teeth number of Gears	30 & 20

表 3.2 シミュレーションパラメータ

Simulation time	10[s]
Calculation step / sec.	1200
Weight of Object	100[g]
Driving Motor	0→70[deg]
VSM Motor	20[deg]

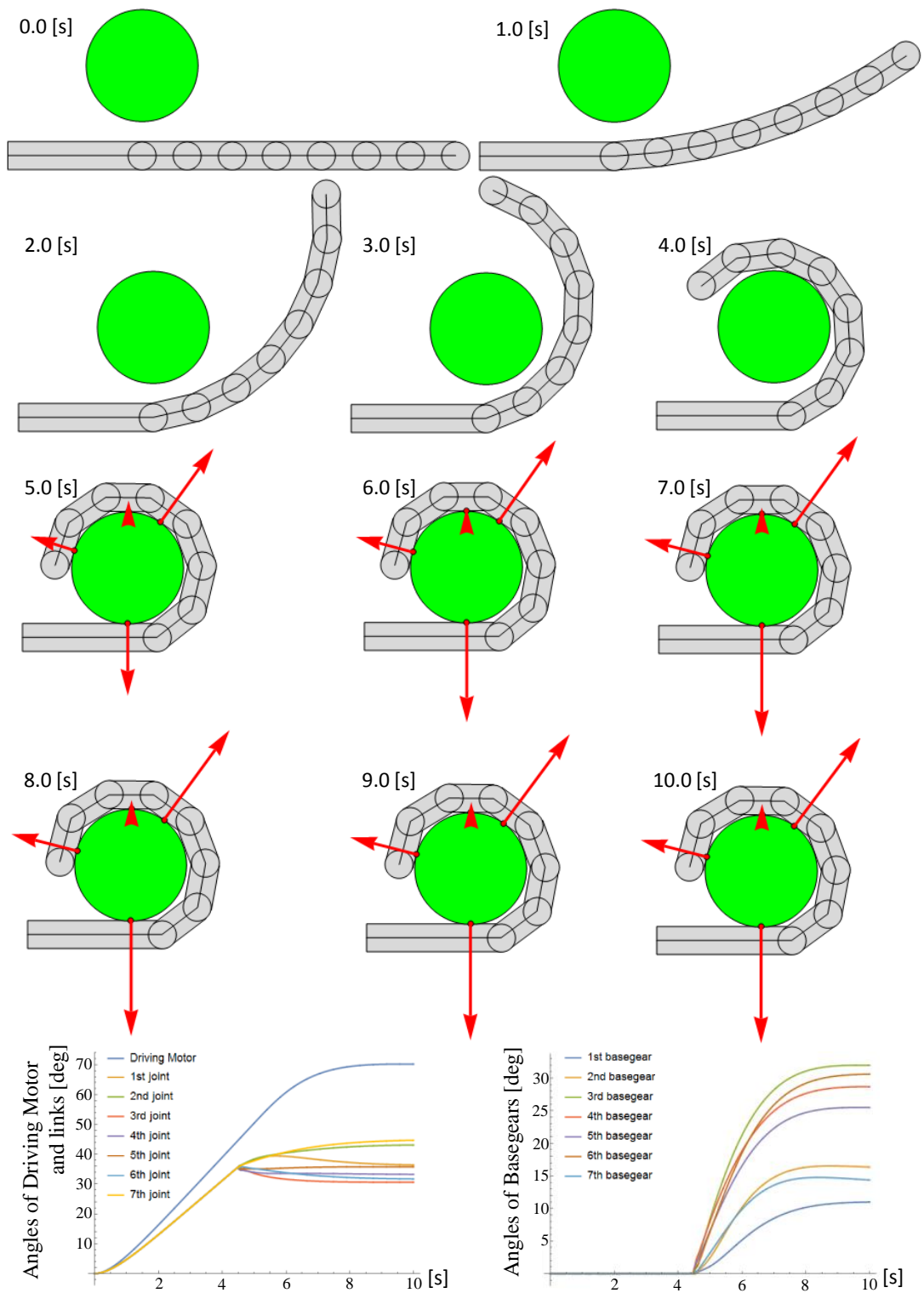


図 3.6 シミュレーション結果：7 関節モデル-円形物体

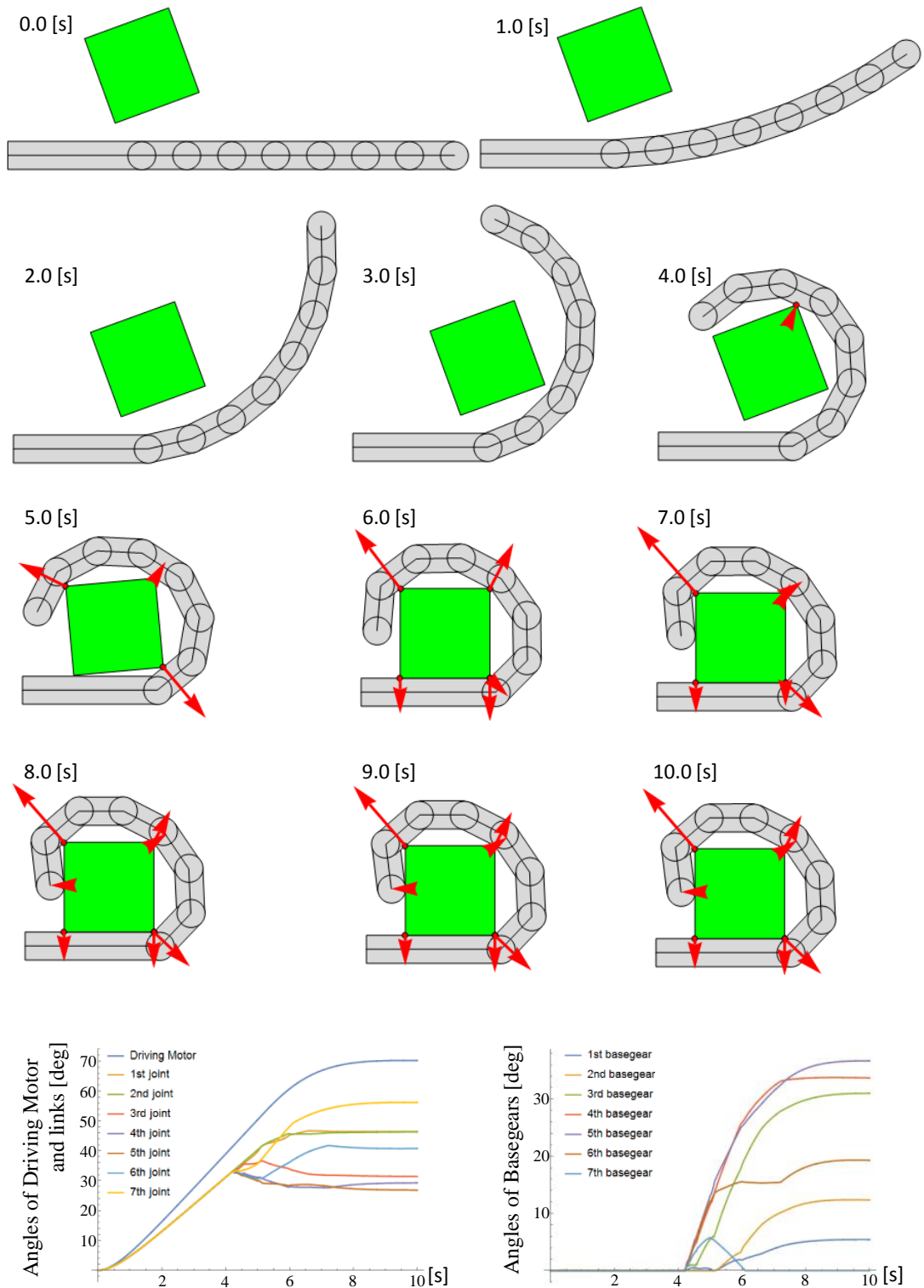


図 3.7 シミュレーション結果：7 関節モデル-正方形物体

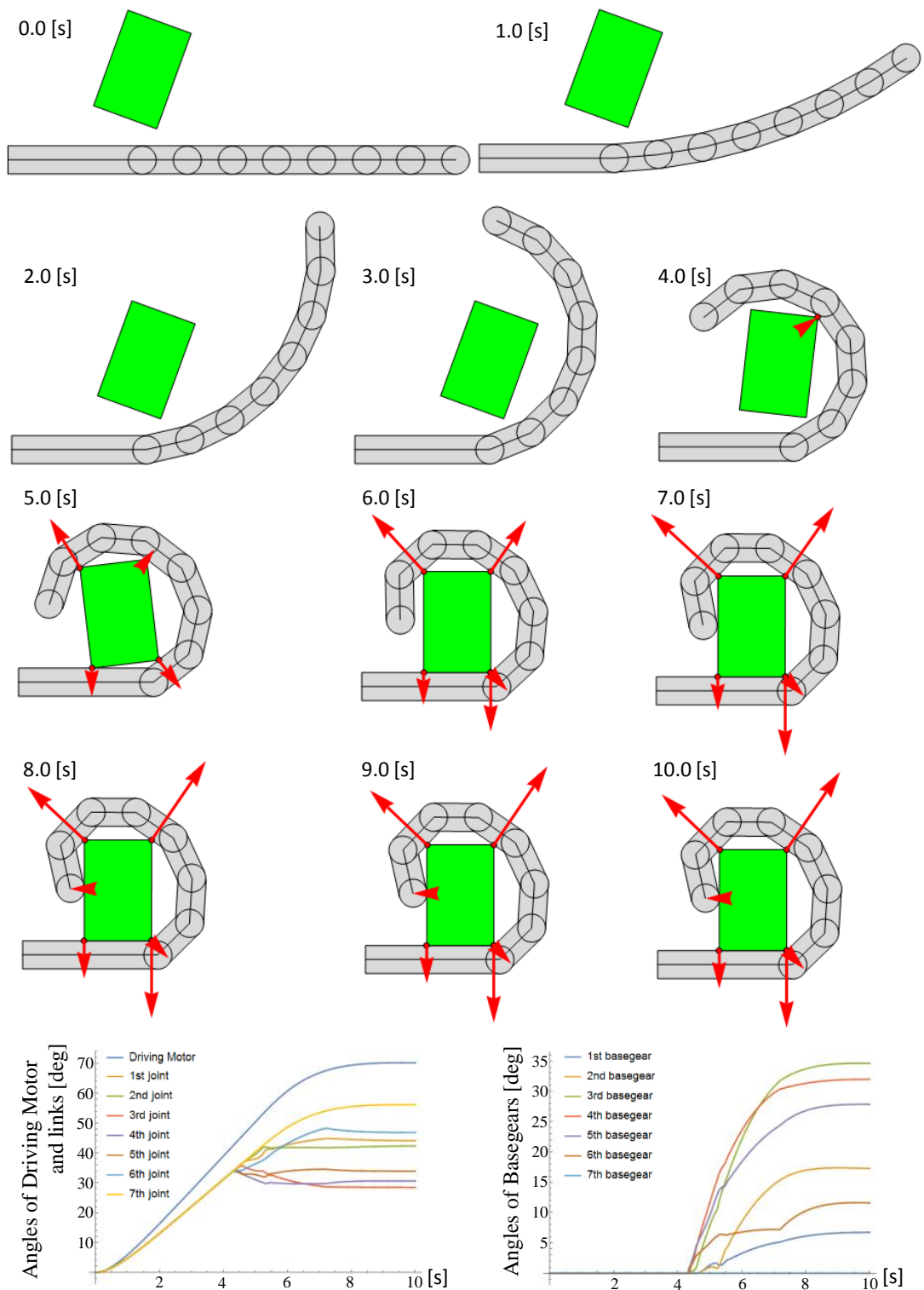


図 3.8 シミュレーション結果：7 関節モデル-長方形物体

3.7 まとめ

本章では、動力学シミュレーション手法の説明を主に行った。各運動要素である、リンク機構、モータ、把持物の運動方程式の導出過程を示し、また把持物とリンクの接触という要素同士の干渉について、その扱いを示した。

運動方程式の導出にはラグランジュ法を主に用い、弾性物体に関しては非線形有限要素法を用いる。接触処理には、判定を行う要素間に発生している貫入量に比例する反力が生じる、ペナルティ法を用いる。

これらの手法を元に、前章で示したグリッピングハンド機構による基礎的な動作の評価を行った。評価は単純な屈曲動作と、いくつかの形状に対する包み込み把持である。シミュレーション結果から、非常に単純な制御で物体形状になじむ包み込み把持が達成できることが確認された。

第4章

実験およびシミュレーションによる評価

4.1 はじめに

本章では、これまでに説明した機構を基に設計したハンドの概要についてまず述べる。本機構は、包み込み把持に関しては1指でも十分に機能を満たせるものと見込まれる。そこで、1指モデルについてまず製作した。その後、ピンチングなど多指モデルならではの動作を目指して、2または3本の指を組み合わせたモデルを製作した。これらの実機について説明した後、ベースギア角度の測定や接触力測定、それらを統合した制御系について説明する。

実験を行うための環境について一通り述べた後で、序論での目的に沿って評価を行う。まずシミュレーションでは既に試みた基本的な屈曲動作および包み込み把持について検証する。その後、剛性可変機構、ベースギアを測定することによる力覚システムについて評価し、関節剛性のパターンと把持力の分布について検討する。最後に、指先機構によるピンチングからの包み込み把持について考察する。

4.2 実機および制御系

4.2.1 1指モデルの概要

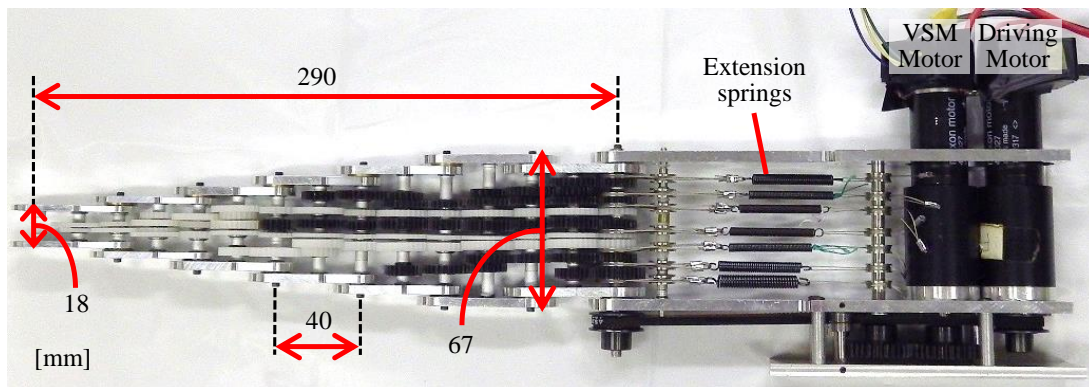
1本指で運用するモデルとして、7関節を持つ実機を製作した。表4.1に各設計パラメータを、図4.1に実機概要を示す。関節間距離は40[mm]、指部全長は290[mm]、指部重量は680[g]である。モータは、ドライビングモータ、VSMモータ共に20[W]のDCモータを用い、246分の1のギアヘッドを取り付けている。センサは、基本的にはモータ回転角の計測のみに用いられ、分解能500のロータリエンコーダをモータに直結させている。

また、各関節剛性に影響を与える引張バネのバネ係数は、実験内容により異なるパターンを用いることもあるが、表4.1に示した並びを基本のパターンとする。このバネ係数のパターンは、通常の屈曲動作時にリンク慣性力の影響を受けやすい基部側の関節ほど、より関節剛性が大きくなるようにしたものである。このバネ係数パターンにおける屈曲動作の様子を図4.1(b)に示している。素早い屈曲動作となるよう制御しているが、全ての関節がほぼ同一角度を保っていることを確認でき、自らの慣性力によるなじみ動作を引き起こさずに屈曲している。

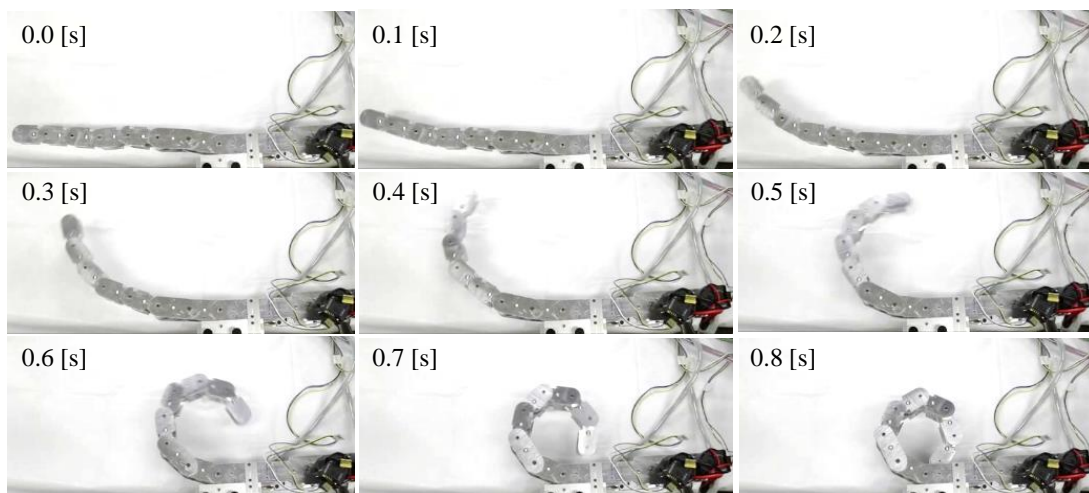
また、図4.1(c)にVSMモータによる関節剛性を変化させている様子を示しているが、本実験機においてバネの基準伸び量の最大値は、およそ15[mm]である。

表 4.1 1指モデルの指機構設計パラメータ

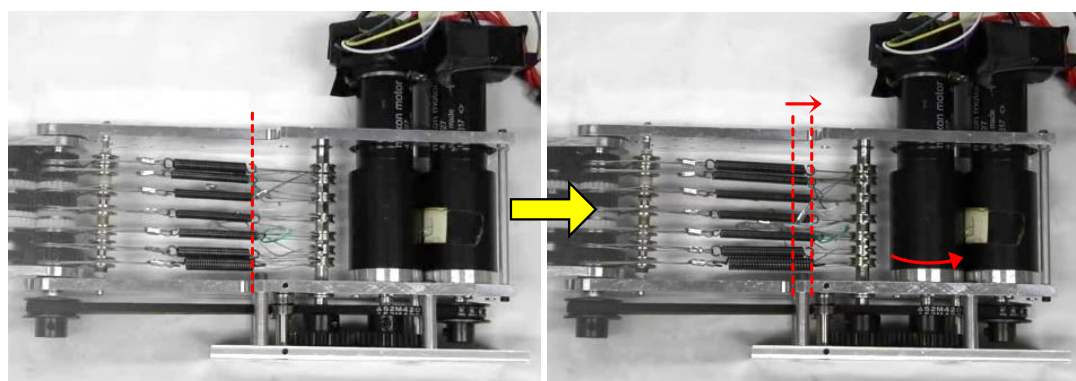
Number of joint	7
Teeth number of Gears	20, 30
Length of finger part	290 [mm]
Length of between the joint	40 [mm]
Width of finger part	26 [mm]
Height of finger part	18~67 [mm]
Weight of finger part	680 [g]
Motor	Maxon RE25×2 (Blushless 20W) Gear head GP32A (246:1)
Encoder	Maxon HEDS5540 (Resolution:500)
Spring modulus	1st: 3.50 2nd: 1.99 3rd: 1.99 4th: 1.50 5th: 1.50 6th: 0.98 7th: 0.98 [N/mm]



(a) 機体側面



(b) 屈曲動作の様子



(c) 関節剛性を調節する様子

図 4.1 1 指モデルの実機概要

4.2.2 多指モデルの概要

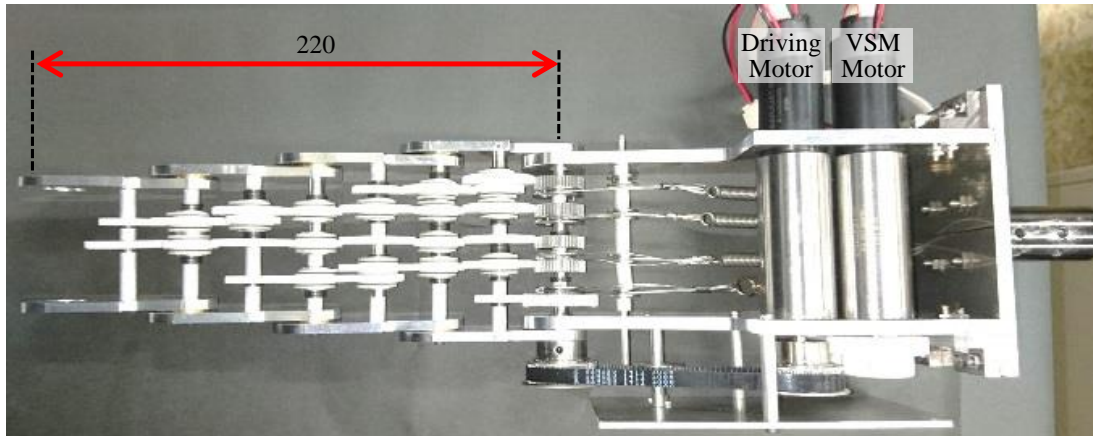
複数本の指で運用するモデルとして、4関節を持つ実機を製作した。表 4.2 に各設計パラメータを、図 4.2 に実機概要を示す。本論文では、多指モデルとしては主に図 4.2(d) に示すような 2 指モデルについて議論する。その他のモデルとして、図 4.2(e) に示すような 3 指モデルを組むことができるが、簡単な包み込み把持の実験を示すにとどめる。

設計パラメータは、指部全長 220[mm]、指部重量 450[g] である。また 1 指モデルと同じく 20[W] の DC モータを用い、基本的なバネ係数のパターンは、基部側の関節ほど関節剛性が大きくなるものとする。

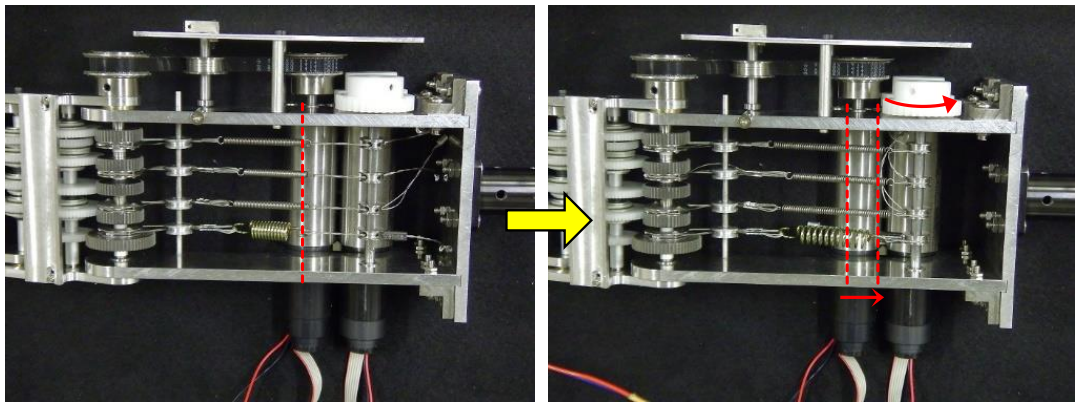
複数の指を組み合わせる場合は、図 4.2(a) における右端が固定板であり、土台となるフレームに接続する。取り付ける際の角度などは手動で調節できる仕組みとなっている。

表 4.2 多指モデルの指機構設計パラメータ

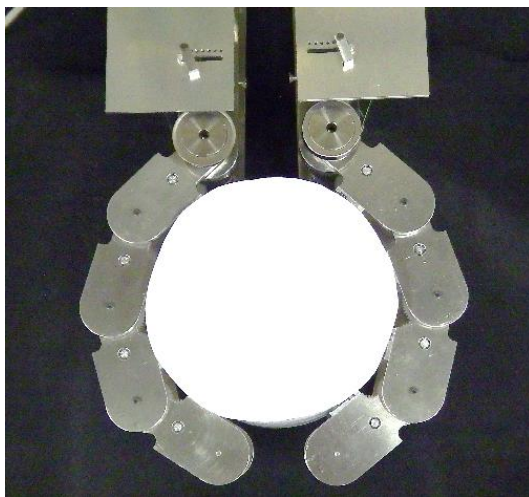
Number of joint	4
Teeth number of Gears	20, 30
Length of finger part	220 [mm]
Length of between the joint	50 [mm]
Width of finger part	30 [mm]
Height of finger part	50~85 [mm]
Weight of finger part	450 [g]
Motor	Faulhaber×2 (Brushless 20W) Gear head (415:1)
Encoder	Faulhaber (Resolution:500)
Spring modulus	1st : 3.50 2nd : 0.90 3rd : 0.50 4th : 0.30 [N/mm]



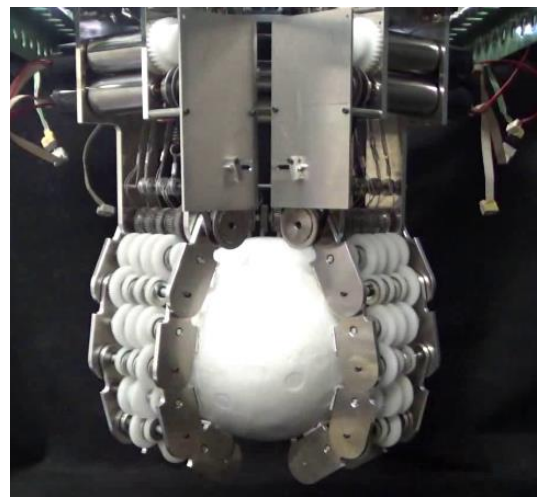
(a) 機体側面



(b) 関節剛性を調節する様子



(d) 2指モデルによる包み込み把持



(e) 3指モデルによる包み込み把持

図 4.2 多指モデルの実機概要

4.2.3 ベースギア角度測定用のエンコーダ

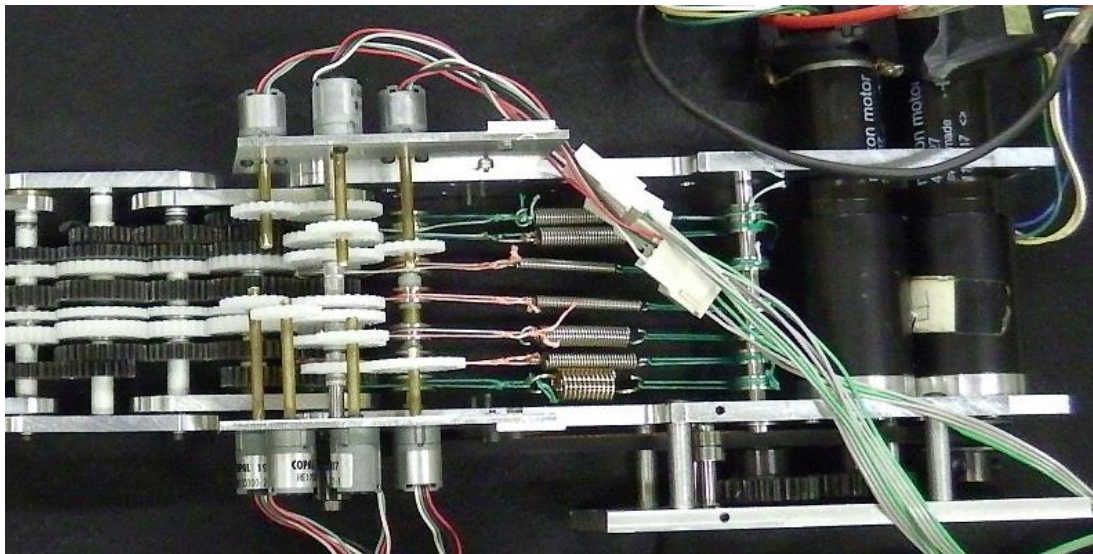
主に力覚システムの実験を行う際に、各関節が引き起こしているなじみ動作を計測するため、ベースギアをロータリエンコーダにより測定する。エンコーダおよびその設置方法を図 4.3 に、仕様を表 4.3 に示す。COPAL 社製の RE12D を用いる。第 1 関節付近にエンコーダ用のフレームを設置し、関節数に等しい数を取り付ける。ベースギアの角度は歯車を経由して測定される。

表 4.3 ロータリエンコーダの仕様：COPAL 社製 RE12D

Output waveform	Square wave
Output phase	A, B
Resolution	300
Maximum response frequency	10kHz
Output signal	4.5V minimum / 0.5V maximum



(a) ロータリエンコーダ：COPAL RE12D



(b) エンコーダをベースギアへ接続する様子

図 4.3 ベースギア角度計測用のロータリエンコーダ

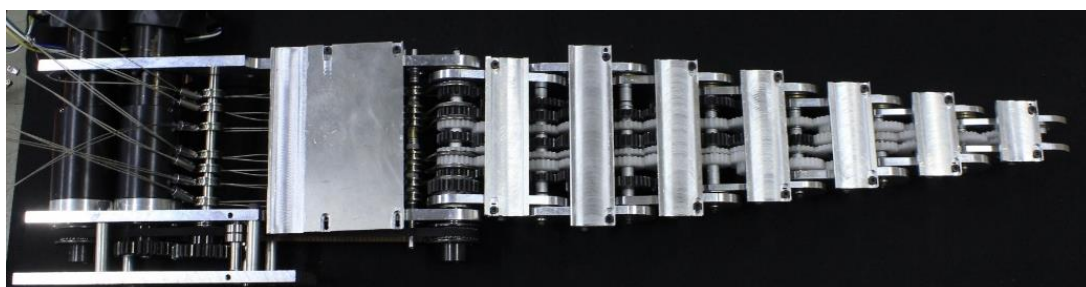
4.2.4 接触力測定用の圧力センサ

把持物との接触力を測定するために、圧力センサを利用する。センサおよび設置方法について図 4.4 に示す。取り付けには、図 4.4(a) に示すようにリンク側面に圧力センサが収まる溝を掘った接触版を設置し、その上に貼り付ける。センサの感圧部には、できるだけ均等に力がかかるように、その形状に沿うように厚さ 1[mm] の樹脂材の円板を貼り付けている。

圧力センサは SparkFun 製 FlexiForce A201-1 を用いる。圧力により抵抗値が変化するタイプのセンサで、無負荷時はおおよそ 20[MΩ]、最大荷重 (0.453[kg]) 時は 20[kΩ] となる。仕様の詳細を表 4.4 に示す。また、抵抗値の変化を電圧値で読み取る回路を用い、それを図 4.5 に示す。これにより、おおよそ 0 ~ 400[g] の荷重を 0 ~ 10[V] の出力として計測することが出来る。



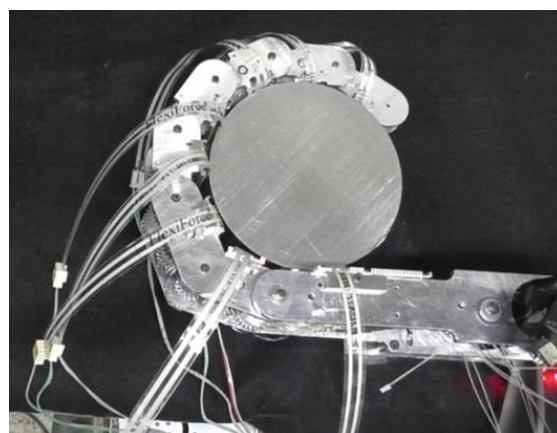
(a) 圧力センサ



(b) リンクへの接触板の取り付け



(c) 接触板への圧力センサの取り付け

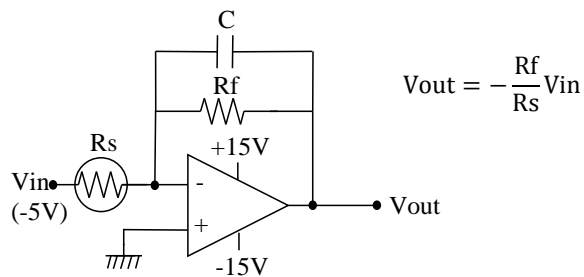


(d) 接触力測定の様子

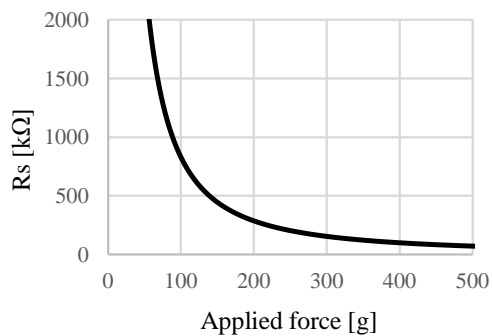
図 4.4 接触力測定用の圧力センサ

表 4.4 圧力センサの仕様：SparkFun 製 FlexiForce A201-1

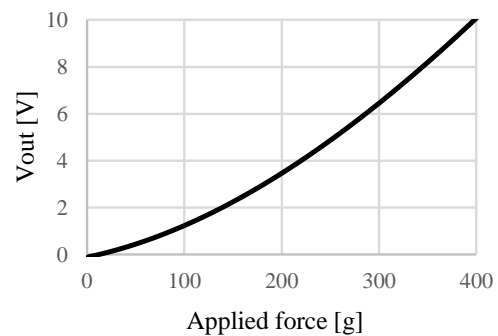
Length	184[mm]
Width	14[mm]
Thickness	0.08[mm]
Diameter of measuring surface	9[mm]
Connecting pin	3pin(Middle pin is open)
Linearity error	±5%
Response time	5[μs]
Resistance value with no-load	20[MΩ]
Resistance value with maximum load	20[kΩ]
Resistance value with overload	5[kΩ]



(a) 圧力測定用回路



(b) 荷重に伴うセンサ抵抗値



(c) 荷重に伴う出力電圧

図 4.5 接触力測定用回路

4.2.5 制御系

ここまで取り上げてきた，モータ，ロータリエンコーダ，圧力センサなどを使用するための制御系について説明する．フローチャートを図 4.6 に示す．制御プログラムは，PC の Windows 上で動作するプログラムを作成した．制御プログラムを基点に考えると，大きな流れとして，モータへの出力，ロータリエンコーダからの入力，圧力センサからの入力の 3 つに分けられる．それぞれの流れについて，図 4.6 に沿って説明する．

まず，モータへの出力について説明する．USB-シリアル変換モジュールである FTDI 社の FT232RL(秋月電子版) を USB 接続することにより，SPI 通信が可能となる．SPI 信号を Linear Technology 社のシリアル D/A コンバータ LTC1660CN に入力することで，任意のアナログ電圧へと変換される．ここで，PIC マイコンである PIC16F1503 に，アナログ電圧を PWM へ変換するプログラムを組んでおく．モータへ直接出力するモータドライバ IC である，東芝セミコンダクター社の TB6643KQ は，PWM 駆動方式に対応しており，デューティ比によりモータの回転速度を制御することが出来る．これらの流れによりモータの駆動は達成される．

次に，エンコーダからの入力について説明する．プログラム上でパルスをカウントするために，PC に Interface 社のカウンタボードである PCI-6205C を搭載している．このカウンタボードは差動入力である必要があるため，エンコーダからの信号をラインドライバ IC などを利用して変換しなくてはならない．本カウンタボードでは，ノット回路を用いることでラインドライバ IC の代替とすることが出来る．図 4.6 中にも示しているが，エンコーダから出力される A 相，B 相の信号 (High/Low) を A+，B+ にそのまま出力し，反転した信号を A-，B- へ出力すれば良い．カウンタボードはこれら 4 つの信号を受け取ることで，正確にパルスをカウント可能である．

最後に，圧力センサからの入力について説明する．既に説明した圧力センサを用いた回路により，測定値は電圧へと変換されている．PC に A/D 変換ボードである Interface 社の PCI-3133 を搭載しており，これを利用することで，プログラム上で電圧値を読み取ることができる．

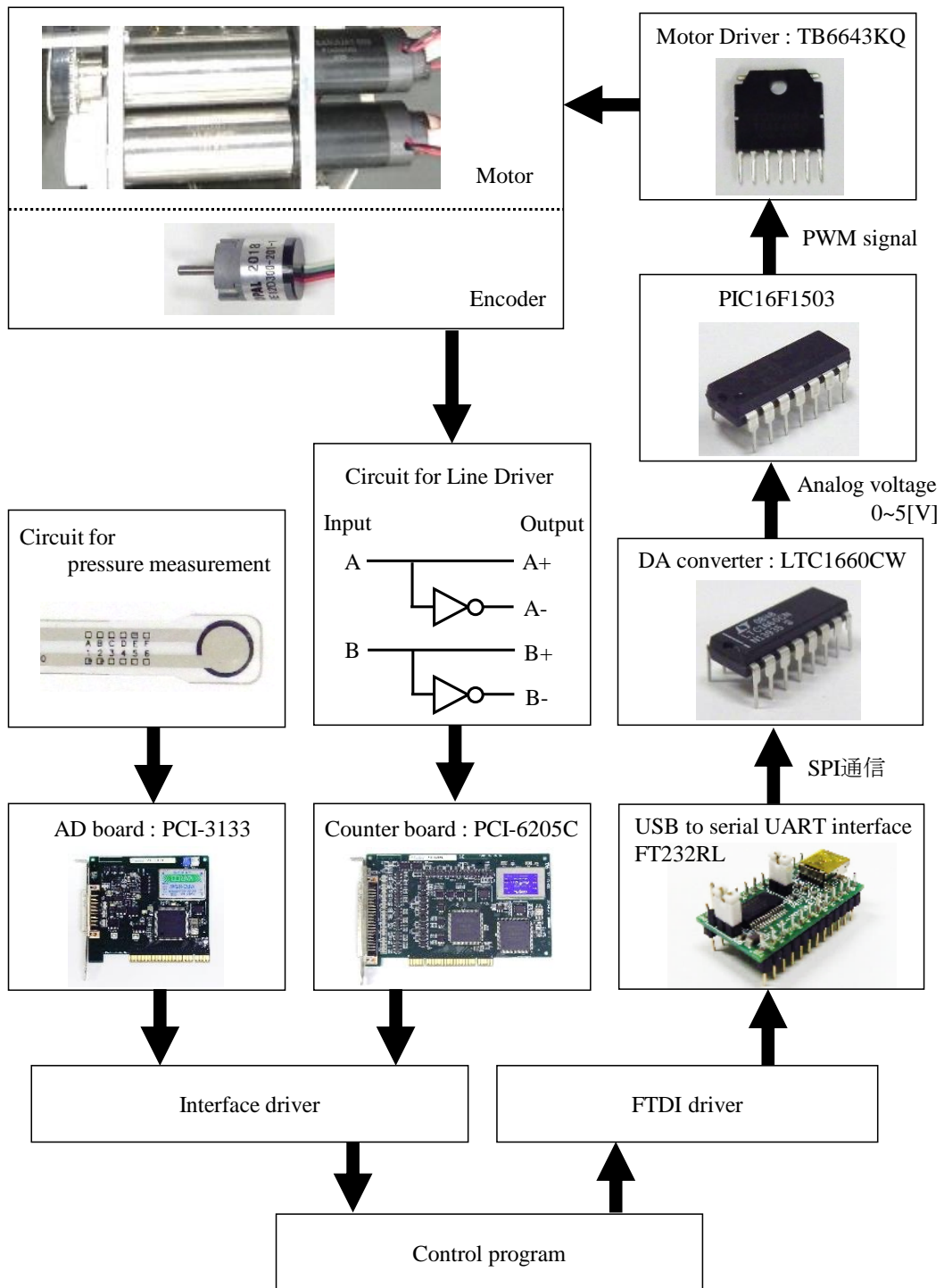


図 4.6 制御系のフローチャート

4.3 物体形状になじむ包み込み把持

製作した実験機を用いて、実際に物体形状へなじむ包み込み把持を試みた。いくつかの対象物に対し同一の制御で把持を試みる。

初めに1指モデルについて報告する。VSM モータは 20[deg] を維持するよう終始一定で駆動させ、ドライビングモータは 70[deg] まで駆動させる。この際、モータの制御には PD 制御を用いるが、最大電圧を指定することで最大各速度を制限している。把持物のパラメータを表 4.5 に示し、それぞれの把持物に対する実験結果を図 4.7 から図 4.12 に示す。

表 4.5 把持物パラメータ

(a)	12 [g]	$\phi 90$ [mm]	plastic
(b)	50 [g]	70 × 70 [mm]	plastic
(c)	145 [g]	140 × 60 [mm]	aluminum
(d)	30 [g]	120 × 90 [mm]	plastic
(e)	20 [g]	$\phi 85$ [mm]	sponge
(f)	20 [g]	90 × 90 [mm]	sponge

実験結果では、動力学シミュレーションと同じく物体形状になじむ把持を理論通りに行えることが確認できた。図 4.7 では (a) の円形物体を把持している。通常の屈曲動作でも指部は円形に近い姿勢をとるため、スムーズになじむことができている。図 4.8 から図 4.10 では正方形または長方形の物体を把持している。それぞれ物体形状に合わせて姿勢が変化しているが、特に (c) の物体を把持している図 4.9 では、接触後に第 1 関節の屈曲が停止し、それにより基部付近の関節が直線に沿って把持が出来ていると言える。また図 4.11, 図 4.12 はそれぞれ柔らかい物体を把持した場合の結果である。円形物体の場合はもちろん、正方形の物体に対しても、極端な変形を生じさせずに把持を行えている。この実験により、物体形状になじむ包み込み把持が非常に簡単な制御で実現できていると言える。

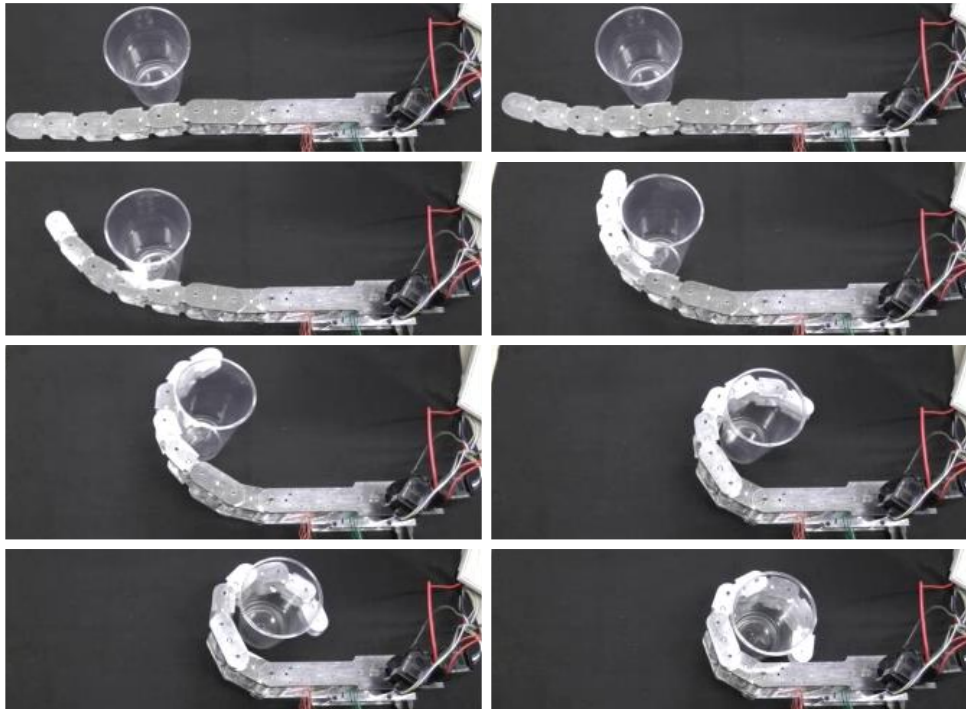


図 4.7 包み込み把持：1 指モデル - 把持物パラメータ (a)

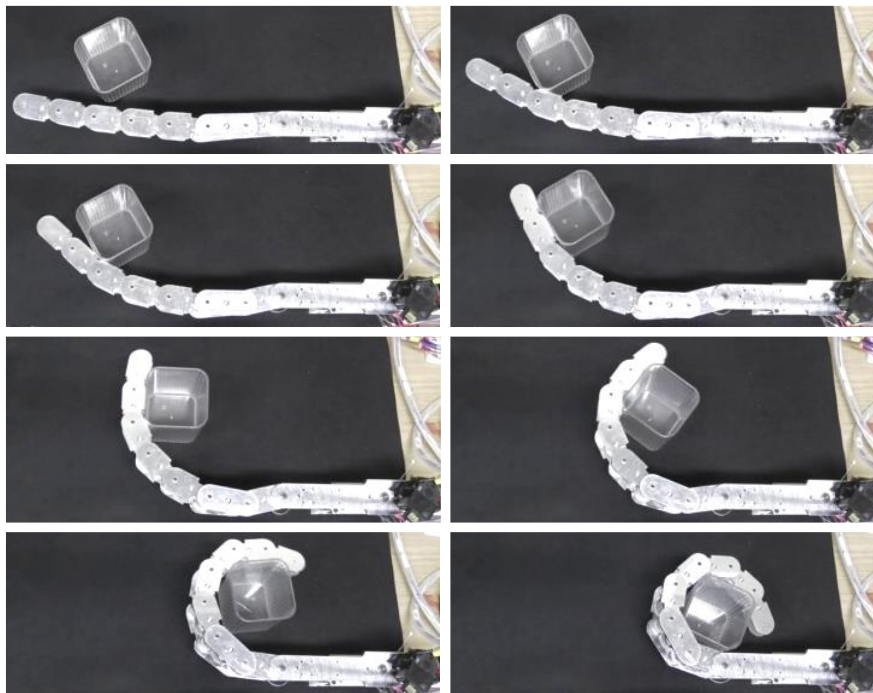


図 4.8 包み込み把持：1 指モデル - 把持物パラメータ (b)

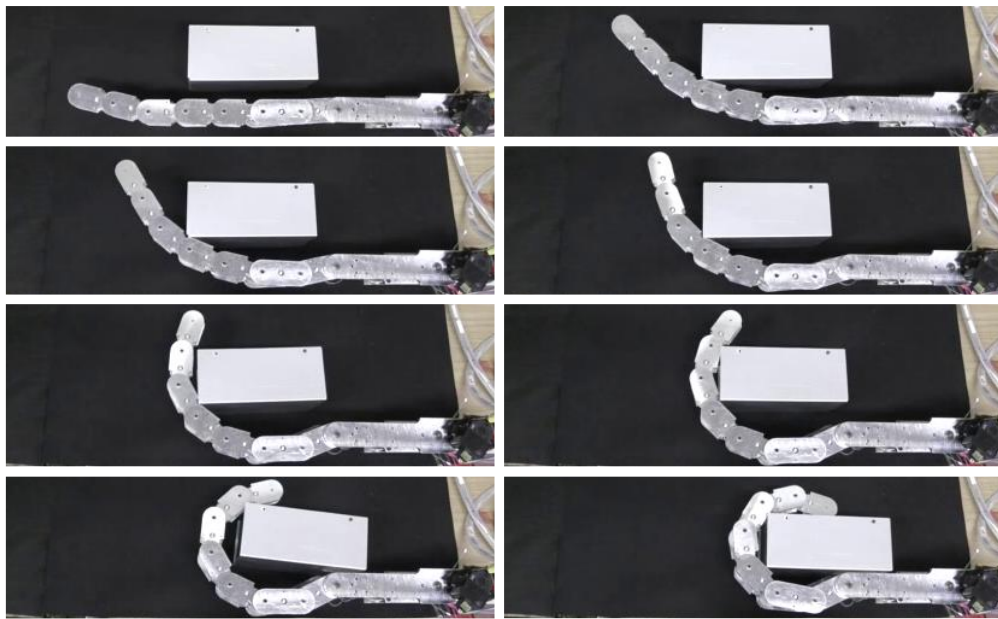


図 4.9 包み込み把持：1 指モデル - 把持物パラメータ (c)

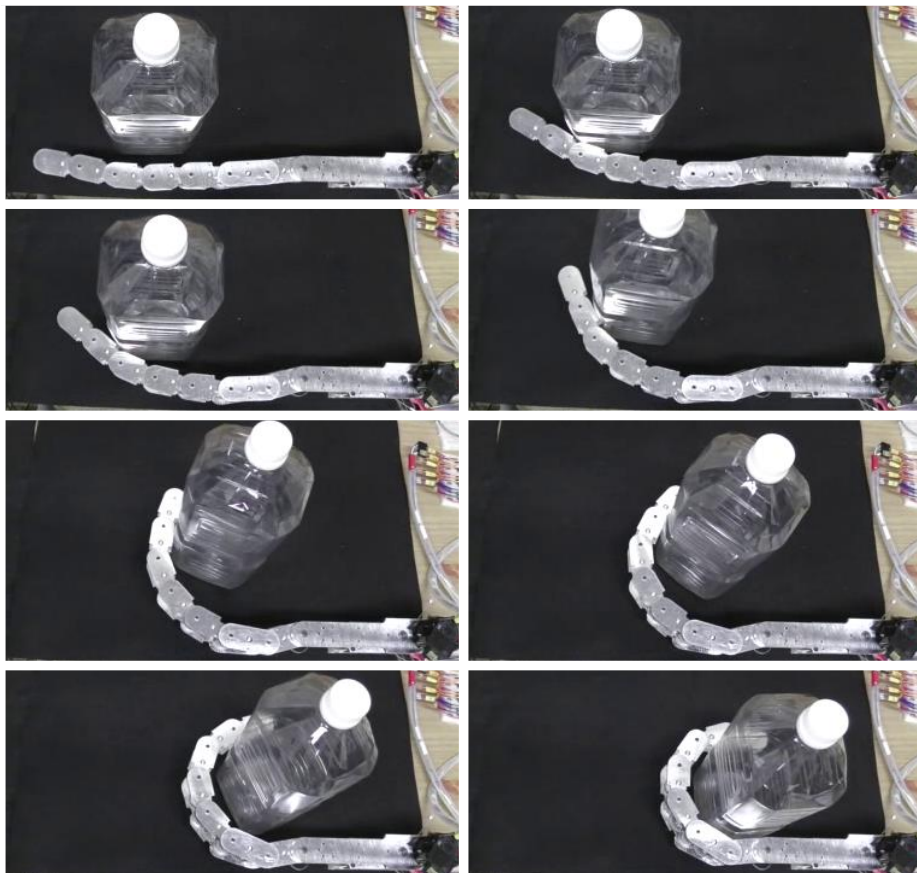


図 4.10 包み込み把持：1 指モデル - 把持物パラメータ (d)

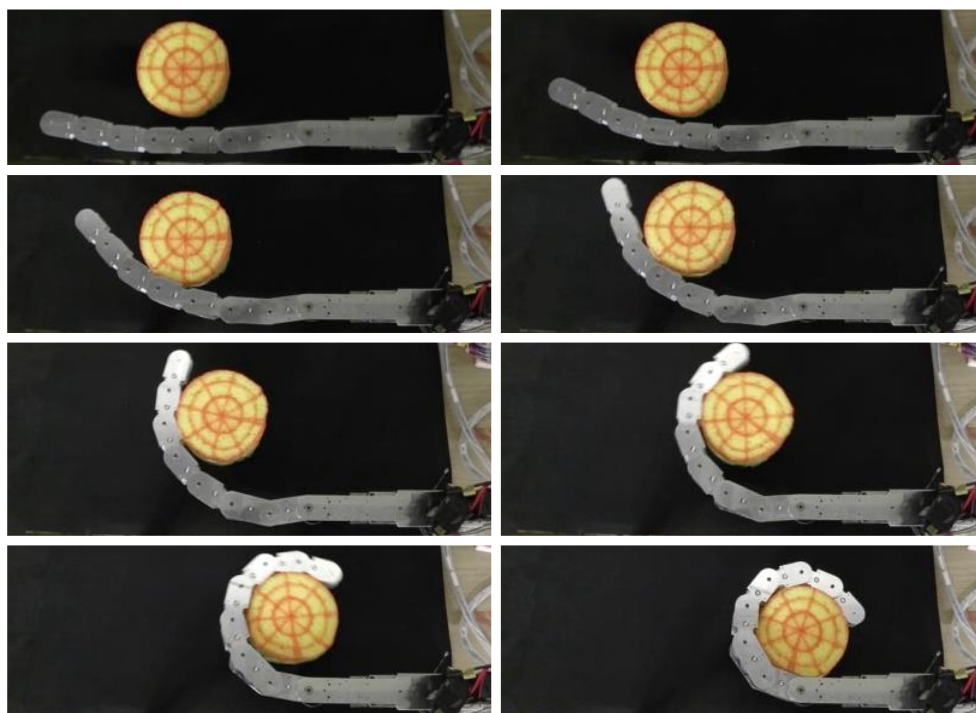


図 4.11 包み込み把持：1 指モデル - 把持物パラメータ (e)

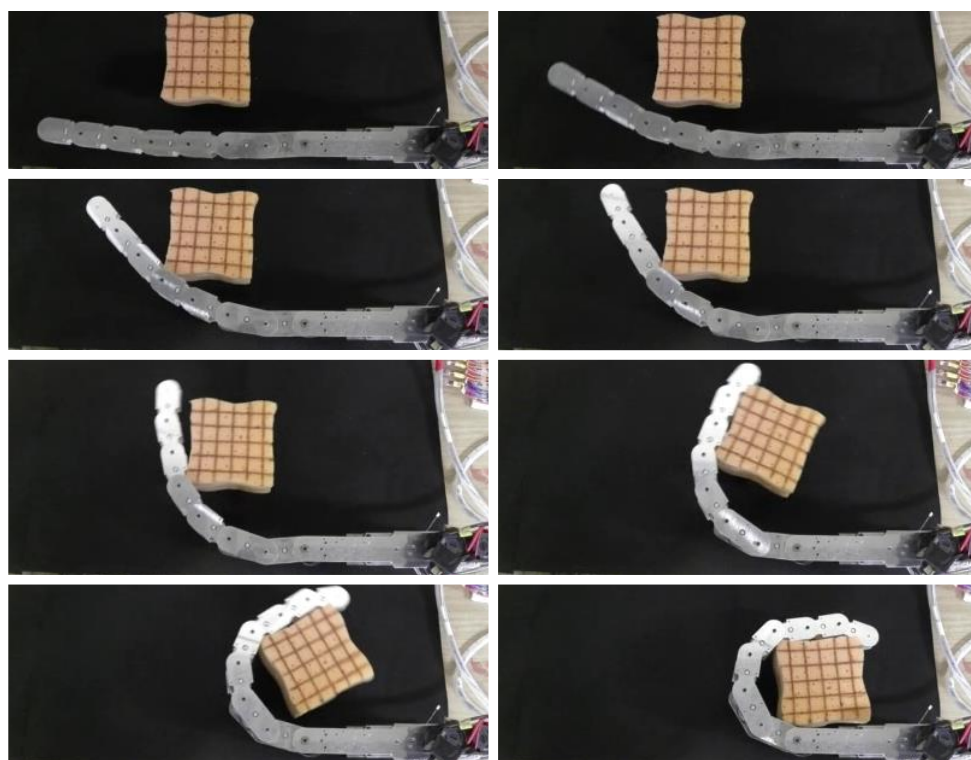


図 4.12 包み込み把持：1 指モデル - 把持物パラメータ (f)

次に2指モデルについて報告する。いくつかの形状に対して把持を行い、その結果を図4.13から図4.16に示す。VSMモータは20[deg]を維持するよう終始一定で駆動させ、ドライビングモータを適宜制御する。モータ制御にはPD制御を用いている。また把持物のパラメータを表4.6に示す。

表 4.6 把持物パラメータ

(g)	35 [g]	$\phi 150$ [mm]	styrofoam
(h)	75 [g]	230×50 [mm]	carton
(i)	300 [g]	$\phi 80$ [mm]	mug

図4.13は2指により球状の物体を把持した様子である。1指モデルと同様、円形状の物体に対しては順調になじむことが確認できる。図4.14は同じく2指により長方形の物体を把持した様子である。これら2種類の把持は、ドライビングモータに左右の指に対して同一の目標角度、60[deg]を与えているのみである。そのような制御でも、大きく形状が異なる物体に対して、それぞれの形状になじむ把持を達成している。

図4.15は2指で丁度包み込むには小さいサイズの物体を把持する様子である。先に片方の指で手繰り寄せ、後からもう一方の指で逆の指ごと把持している。この把持は操作者が目視により状態を確認しながら行ったものである。1指でもある程度の手繰り寄せや把持が行える構造だからこそ、このような把持が可能であるといえる。

図4.16は3指による動作であり、摘み上げから包み込み把持へ移行する様子を示している。こちらの制御も操作者が目視により確認しながら行っているものである。リンクと把持物の間に大きな摩擦が働かなければ、単純な目標角度を与えるだけの制御でも同様のことが可能である。

これらの結果より、本機構は物体形状に沿った柔らかい把持が達成されていることを確認したが、ここまで示した結果はいずれもVSMモータを20[deg]としている。関節剛性を変えた場合の効果も確認する必要がある。そこで次節では剛性可変機構について検証する。

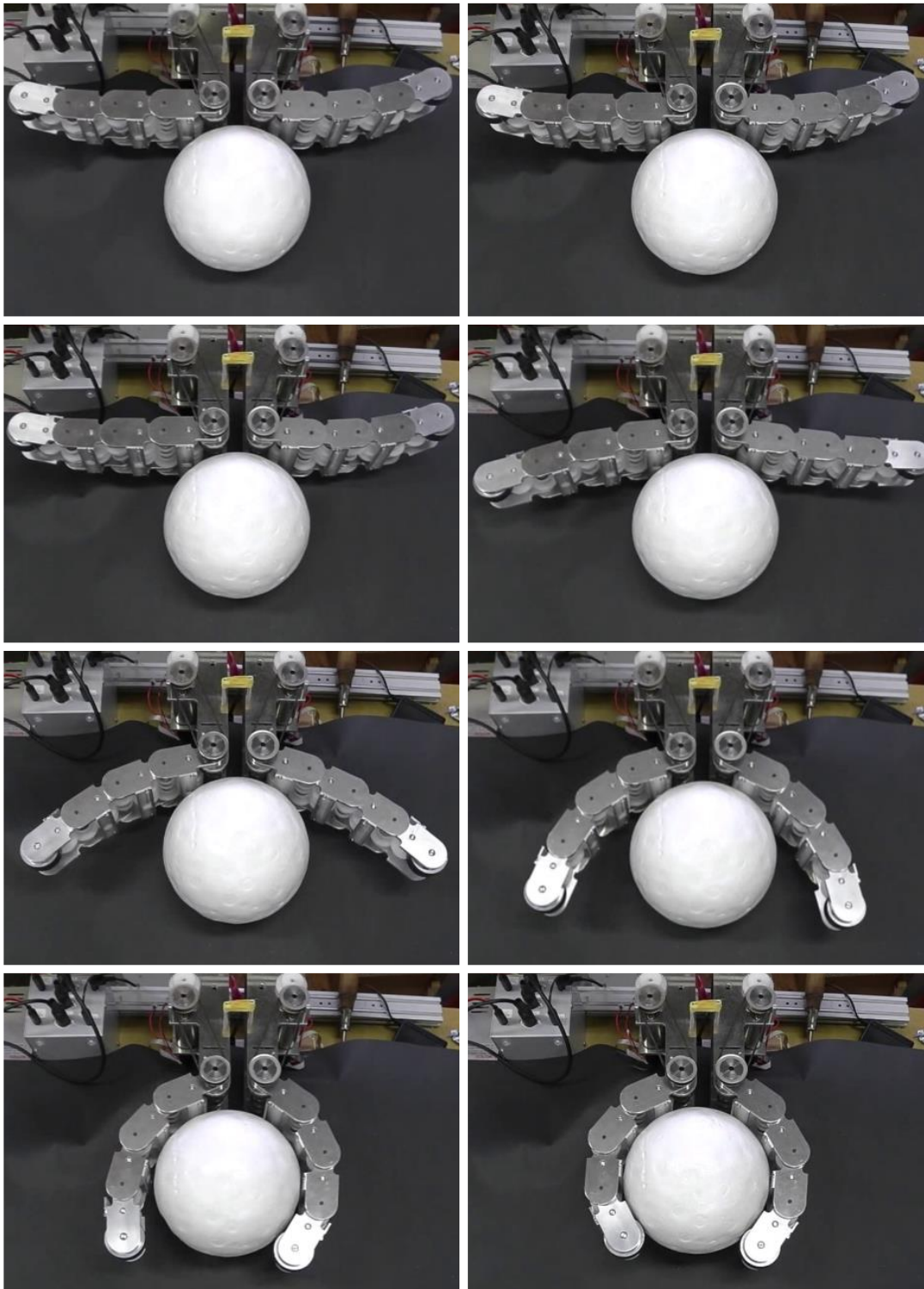


図 4.13 包み込み把持：2 指モデル - 把持物パラメータ (g)

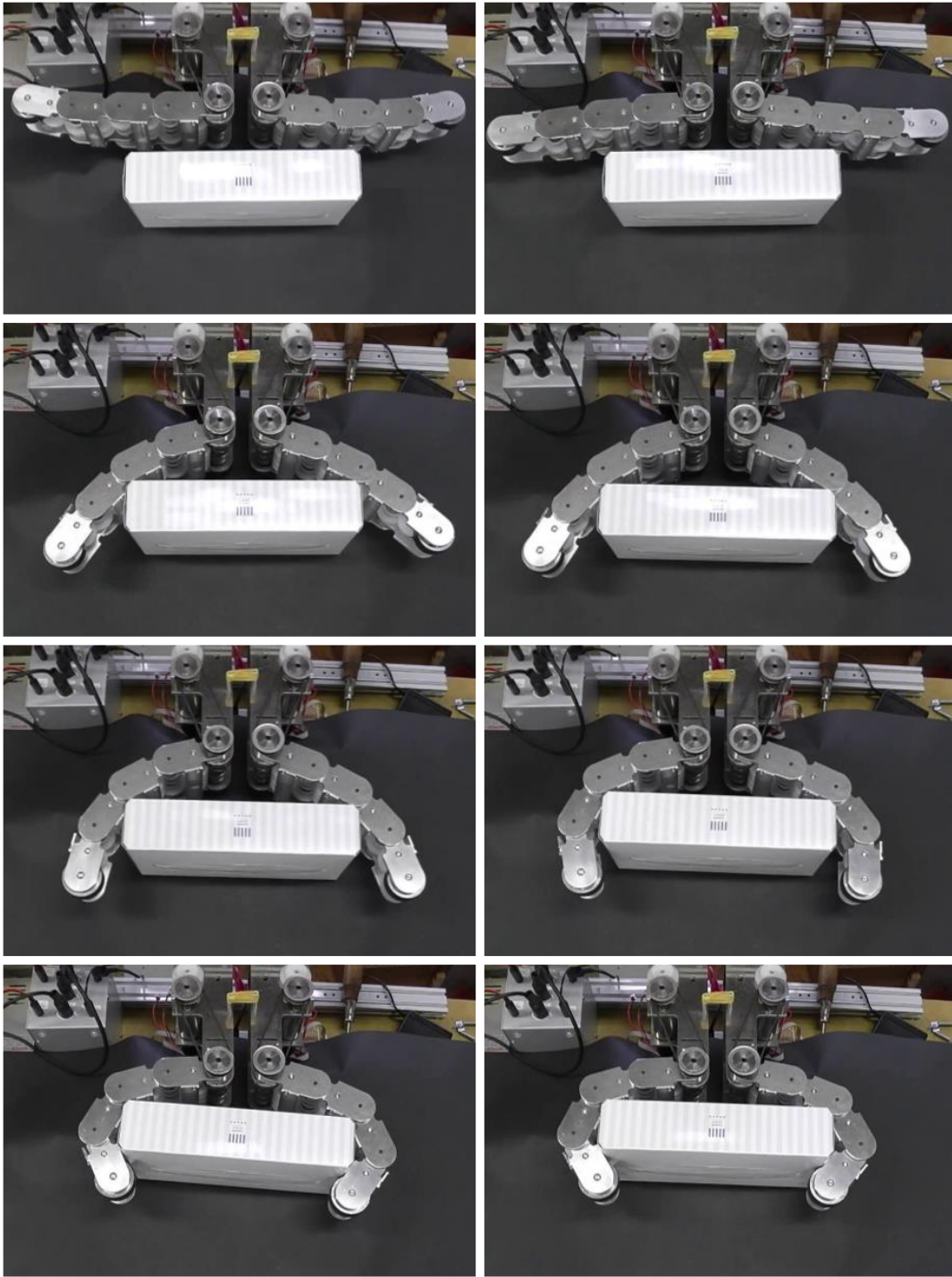


図 4.14 包み込み把持：2 指モデル - 把持物パラメータ (h)

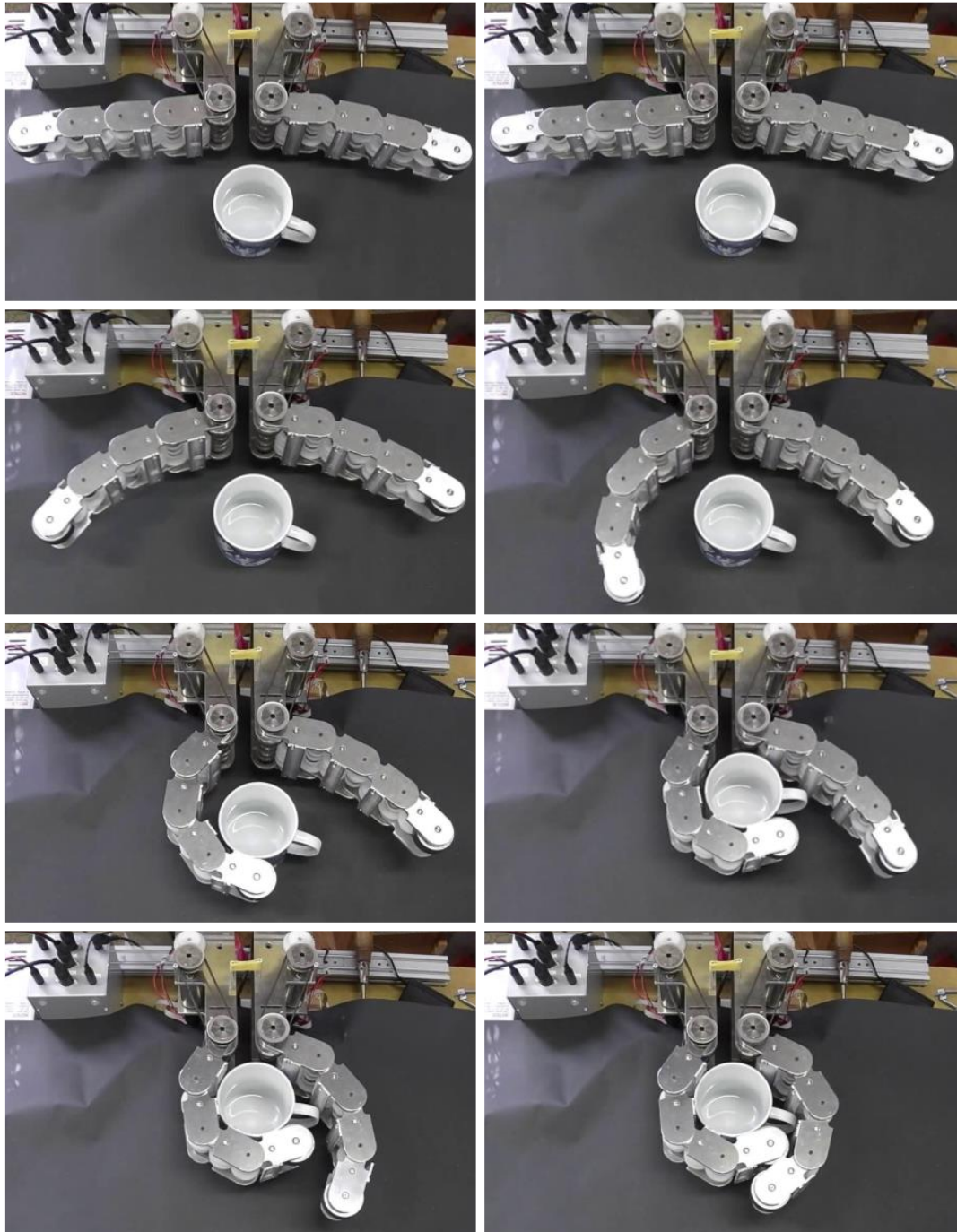


図 4.15 包み込み把持：2 指モデル - 把持物パラメータ (i)

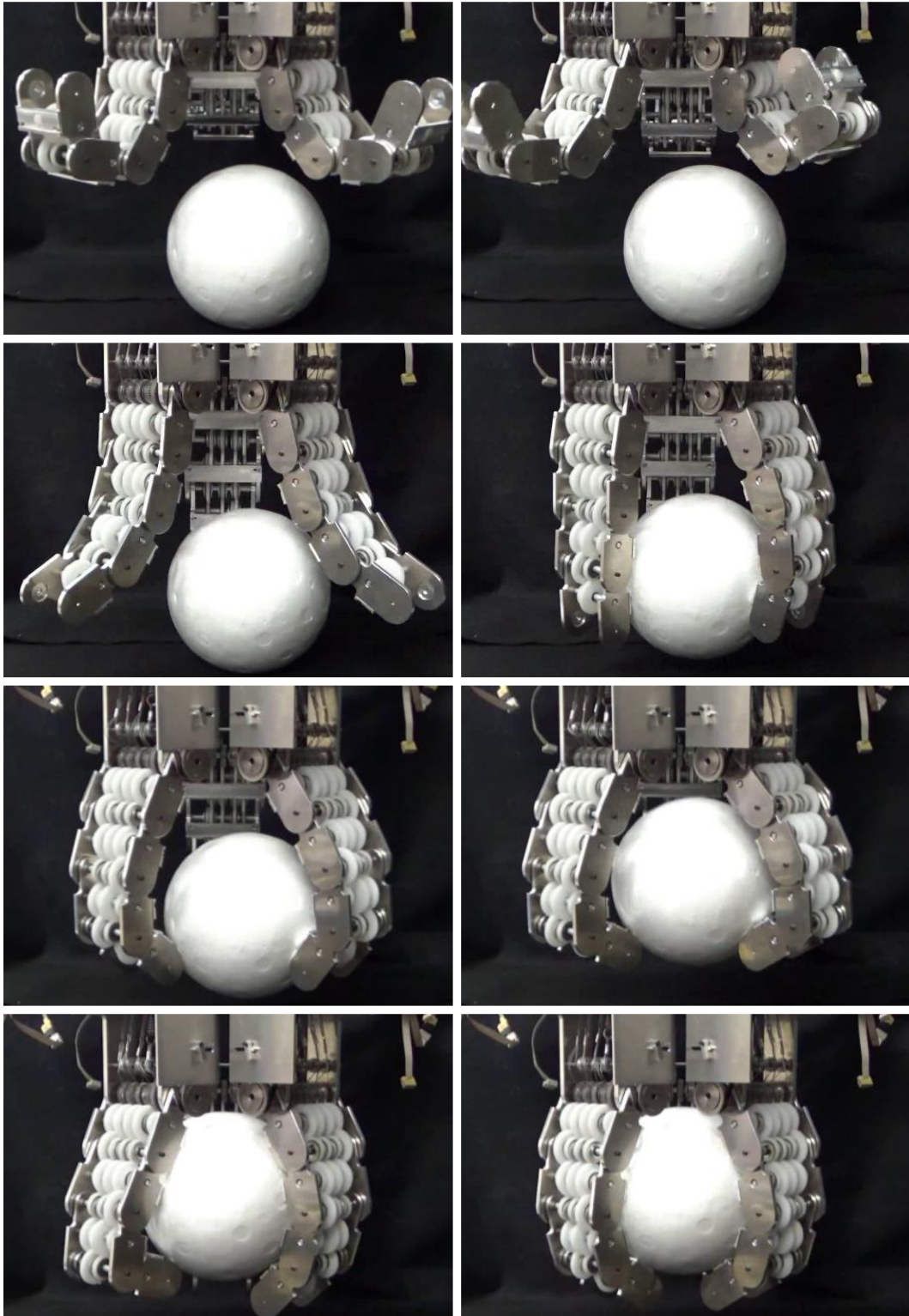


図 4.16 包み込み把持：3 指モデル - 把持物パラメータ (g)

4.4 関節の剛性可変機構の効果

関節の剛性可変機構により意図した効果が得られるかどうかを確認するために、2つの実験について低剛性時と高剛性時における結果を比較した。一方は指部を重力方向に垂らした状態でのすくう動作であり、もう一方は柔軟物体の把持である。両実験共、ドライビングモータは同一の角度制御を行い、VSMモータにより剛性を変化させた際の比較を行う。

まず、すくう動作の実験について、物体の重量は320[g]とし、剛性は駆動直後から一定に保つ。VSMモータ角度は、低剛性時が20[deg]、高剛性時が80[deg]とした。低剛性時の結果を図4.17に、高剛性時の結果を図4.18に示す。尚、実験結果はそれぞれの動作における各時間の状態を表したものである。

図4.17で示した低剛性時の把持では、物体重量を支えきれずに落としてしまう結果となった。また屈曲後、指部重心が左方向へ移動することにより根本側の関節に反時計回りのモーメントが発生し、指示した角度とは逆に曲がっていることが分かる。図4.18で示した高剛性時の把持では、物体をすくう形での把持を成功させ、根本側関節が逆方向へ回転する傾向も小さくなっていることが確認できる。この結果より、リンクに重力によるトルクが作用する中でも、屈曲動作及び物体把持を行えるだけの剛性を持たせられることが確認できた。

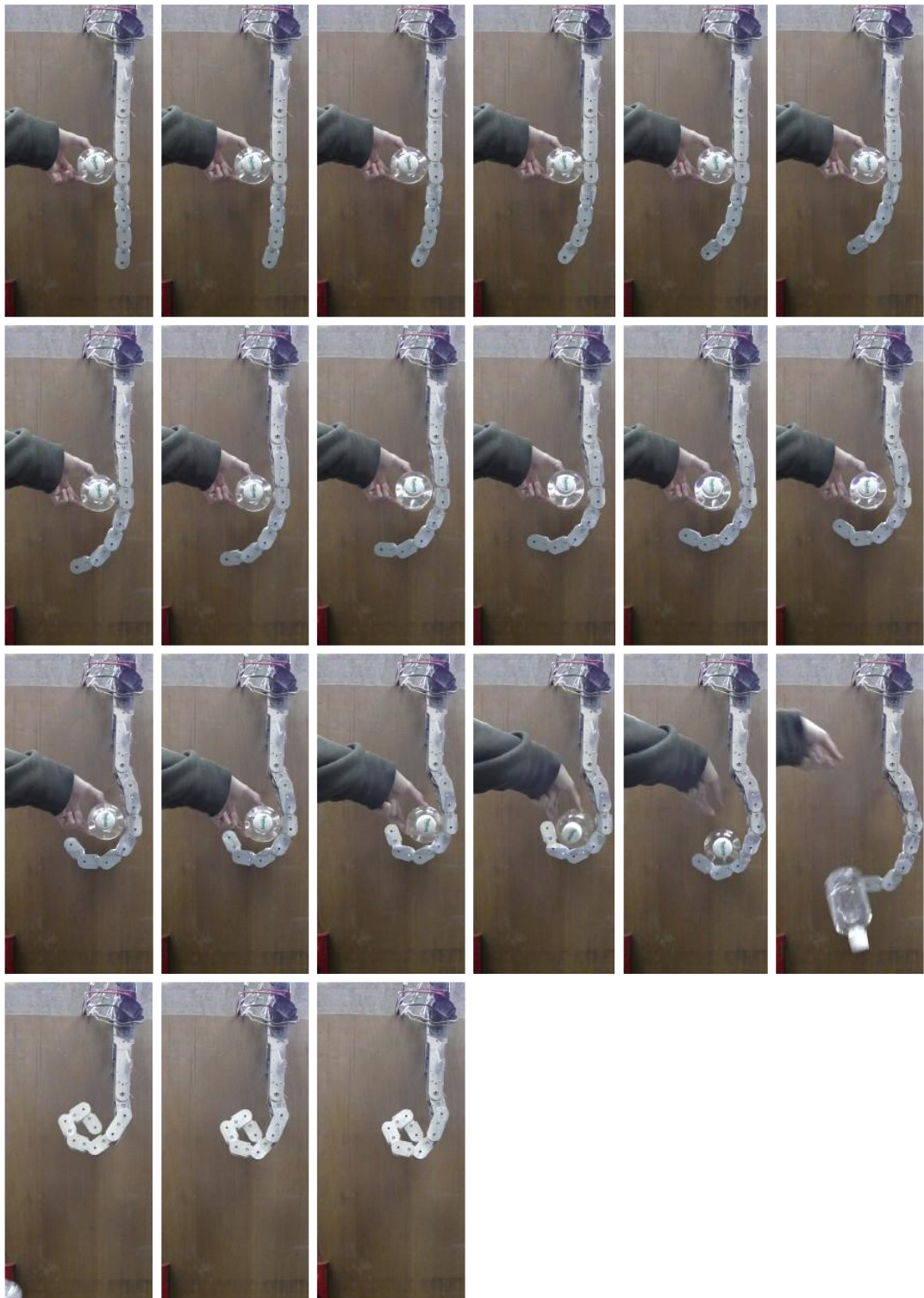


図 4.17 すくい動作：7 関節モデル-低剛性

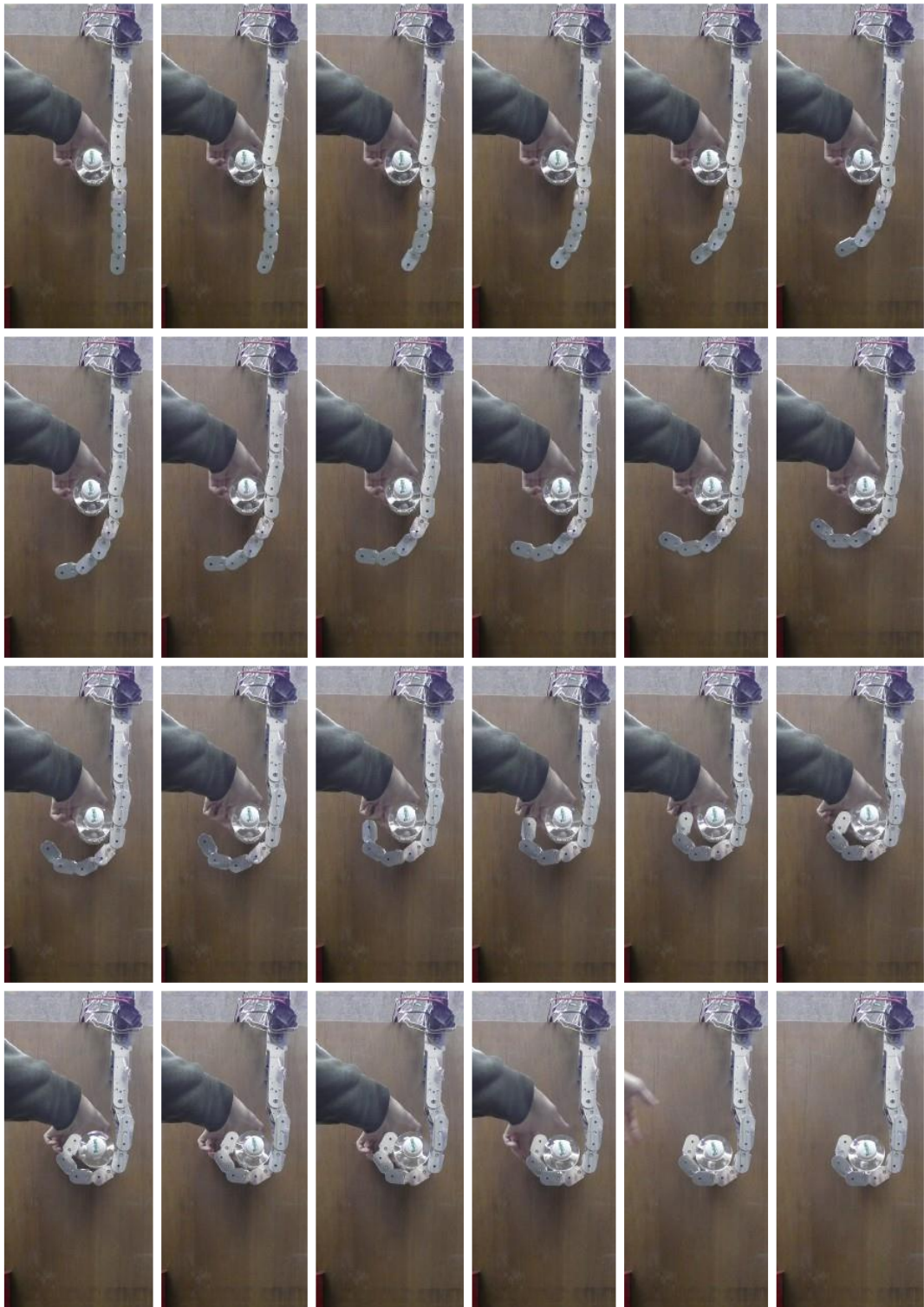


図 4.18 すくい動作：7 関節モデル-高剛性

次に柔軟物体の把持について、低剛性と高剛性それぞれの結果を確認した。まず低剛性で把持した状態から、駆動モータを同角度に維持したまま剛性のみ変化させる。把持対象はスポンジとし、剛性変化前と変化後におけるそれぞれの状態を図4.19に示す。

実験結果より、低剛性時にほとんど潰さずに把持できていた物体に対し、高剛性時では変形を引き起こしてしまっていることが分かる。図中の枠で囲んだ部分のスポンジとリンクの接触面積や、指先リンクとベースリンクの距離等からそのことが確認できる。これは高剛性の状態は関節剛性が大きく、グリップの姿勢は物体との接触力の影響を受けにくくなっている為である。この結果より、低剛性時には、弾性物体に対して柔軟な把持が可能であることが確認できた。

これら2つの実験より、剛性可変機構の有効性を示すことができた。それは、リンクに外部からのトルクが発生する中では高剛性にすることで安定した動作を可能とし、弾性物体を把持する際には低剛性にすることで柔軟な把持を可能とする。これらを状況に合わせて調整することで臨機応変な動作を実現できることである。

本実験において、ドライビングモータとVSMモータの制御角度は、操縦者の目視により経験的に決めている。グリップ単体で状況に合わせて最適な把持動作をとろうとする場合、接触を検知するシステムを有する等、何かしらのフィードバックが必要になると言えるだろう。

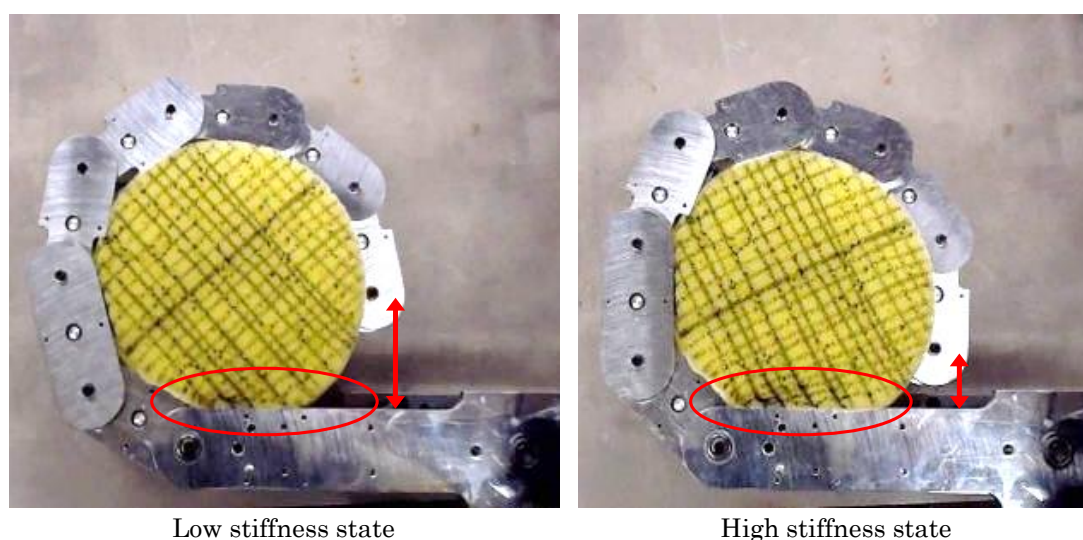


図 4.19 柔軟物体把持：7 関節モデル

4.5 力覚システムの評価

最適な把持動作を得るためにフィードバックを利用する手法として、ベースギアの回転角を計測することを提案する。ベースギアは、外部からの力によりリンクに対してトルクが発生していない場合には、バネによりその回転が拘束されている。この角度を読み取ることにより、各関節が外部から与えられるトルクに対して引き起こしているなじみ動作をある程度予測することが可能となる。その結果、物体との接触や把持状況の把握につながるのではないかと期待する。角度の計測には関節数分のロータリエンコーダを使用し、設置方法については既に説明した通りである。実際に把持を行う際にはエンコーダと干渉しない方向へ屈曲させるものとする。本節では、物体を指部中腹へ配置した場合と基部近辺に配置した場合について、実験結果とシミュレーション結果を示す。それぞれを配置 A、配置 B とする。

まず配置 A、指部中腹へ物体を配置した場合について、実験結果を図 4.20 に、シミュレーション結果を図 4.21 に示す。それぞれ、計測中の各時間における状態、実際に計測したベースギアとドライビングモータ角度の時間変化を表すグラフを示している。ドライビングモータを駆動させた時刻を 0[s] とする。動画の記録より、この実験では 1.2[s] で物体と接触し、3.8[s] で包み込み把持が完了したことが確認できた。ベースギアの推移を表したグラフより、接触タイミングの 1.2[s] で第 1 関節がなじみ動作を引き起こしている。このことから新たな外力が働いたと推測でき、対象物と接触したと分かる。続いて、3.8[s] から全関節のベースギアが一斉に回転を始める。これは、本来リンクへ伝わるはずだった動力がほぼ全てベースギアへ伝わっている状態であり、リンクが屈曲方向へ姿勢を変化できない状態であることを示している。よって、包み込み把持が完了したと推測できる。その後モータが停止するまで、さらになじみ動作を引き起こしている。また、図 4.21 に示したシミュレーション結果では、およそ 0.5[s] で物体と接触し、それと同時に第 1 関節のベースギアが回転を始めている。そして、およそ 2.5[s] に包み込み把持が完了しており、そのタイミングで全関節のベースギアが回転を始めている。各タイミングの時刻は異なるが、接触時に第 1 関節がなじみ動作を引き起こし、把持完了のタイミングで全関節が一斉になじみ動作を引き起こす。その後モータ停止まで増加し続けるという点で、実験結果とシミュレーション結果が一致することを確認できた。実験結果とシミュレーション結果の間に生じているタイミングのずれは、機構上の摩擦やバックラッシュが原因で実験結果に遅延が起きていると考えられる。

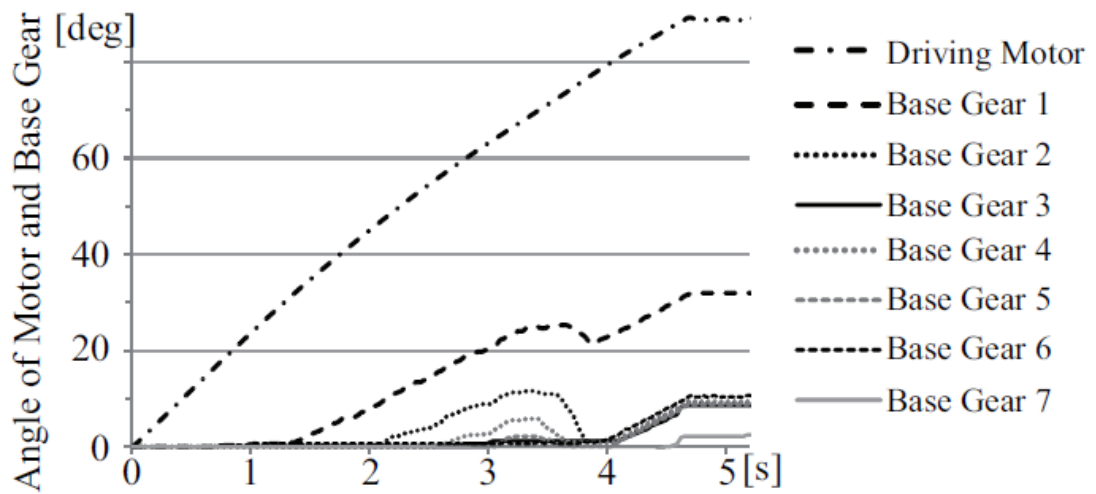
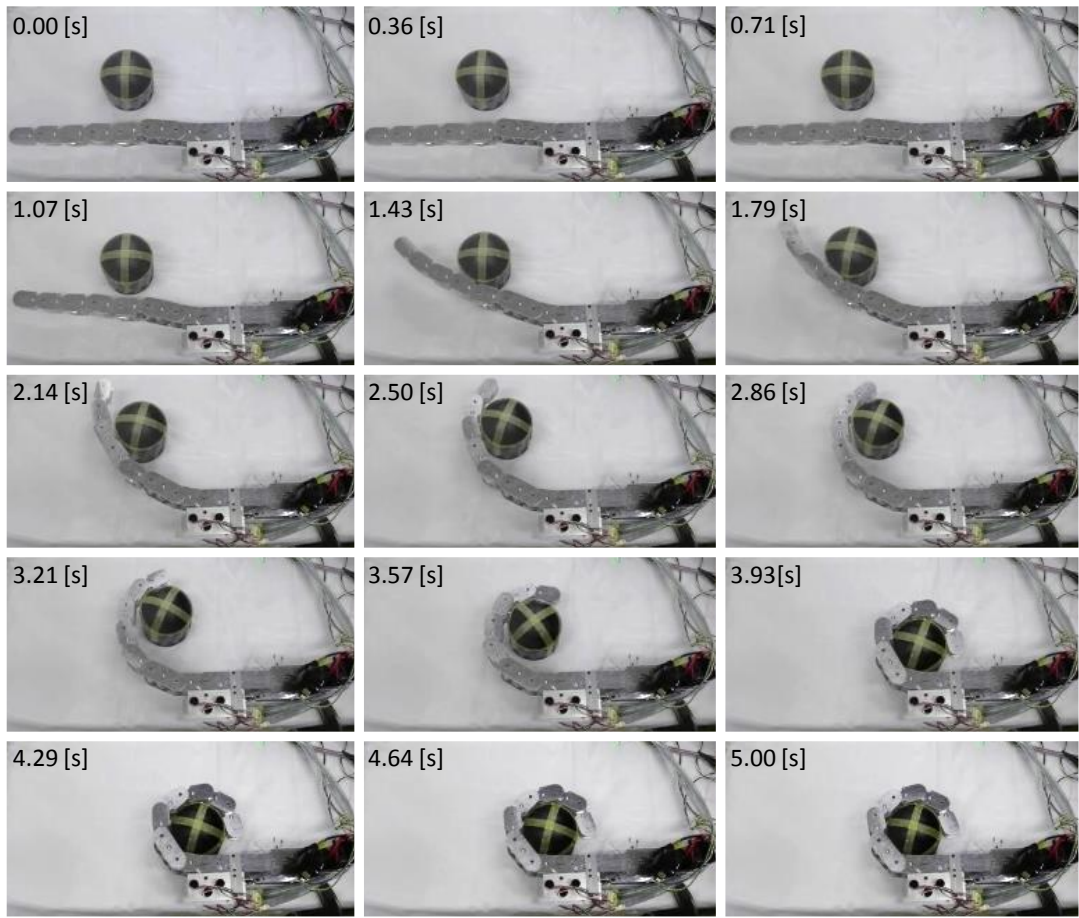


図 4.20 接触情報の検出：配置 A の実験結果

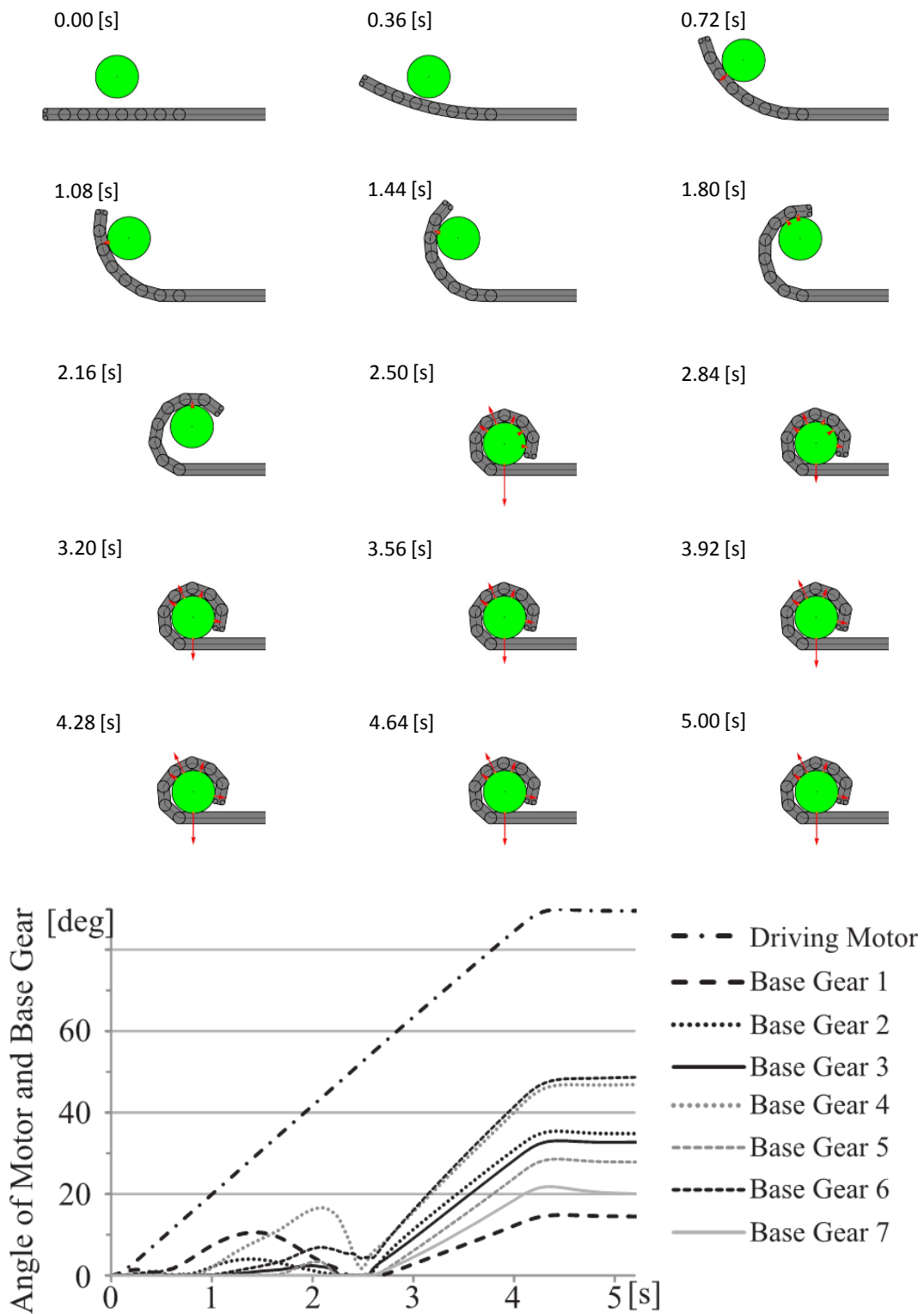


図 4.21 接触情報の検出：配置 A のシミュレーション結果

続いて、把持物を配置 B、第 1 関節付近へ配置した場合について、実験結果を図 4.22 に、シミュレーション結果を図 4.23 に示す。

先ほどと同じくドライビングモータを駆動させた時刻を 0[s] とする。動画の記録より、3.5[s] で物体と接触するのとほぼ同時に包み込み把持が完了したことが確認できた。ベースギアの推移を表したグラフより、およそ 3.5[s] で全関節のベースギアが一斉に回転を始めていることから、包み込み把持が完了し、リンクがそれ以上屈曲できない状態であると分かる。2.5[s] で第一関節がなじみ動作を引き起こしているが、これは摩擦が動作に影響を及ぼしており、第一関節が一定角度以上になると回転を妨げる様に作用してしまうことが確認されている。

図 4.23 に示したシミュレーションにおいては、接触及び把持完了のタイミングはおよそ 2.5[s] である。なお、配置 B でも実験結果とシミュレーション結果の間にタイミングのずれが生じているが、配置 A と同様に、機構上の摩擦やバックラッシュが原因で実験結果に遅延が起きていると考えられる。

以上の結果及び考察より、接触及び包み込み把持完了のタイミングといった現在の把持状況の把握は、各関節に対応するベースギア角度を測定することにより可能であると言える。また、それぞれのタイミングを得るだけであれば、ロータリエンコーダのような高精度なセンサではなく、ひずみゲージなどを用いて引張バネの伸び量を監視すれば達成できるものと思われる。よって提案した力覚システムは、今後よりコンパクトになり実装しやすくなるものであると期待する。

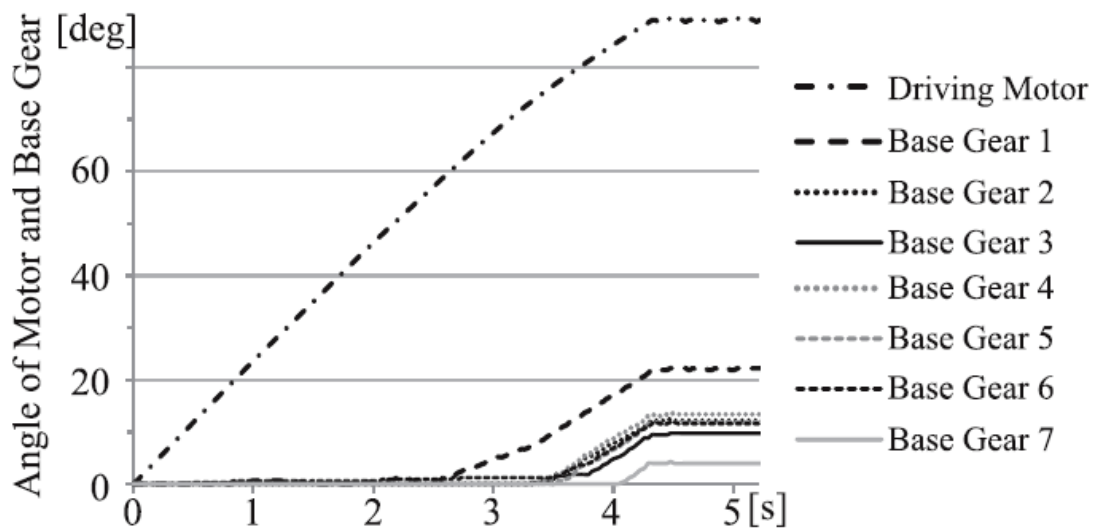
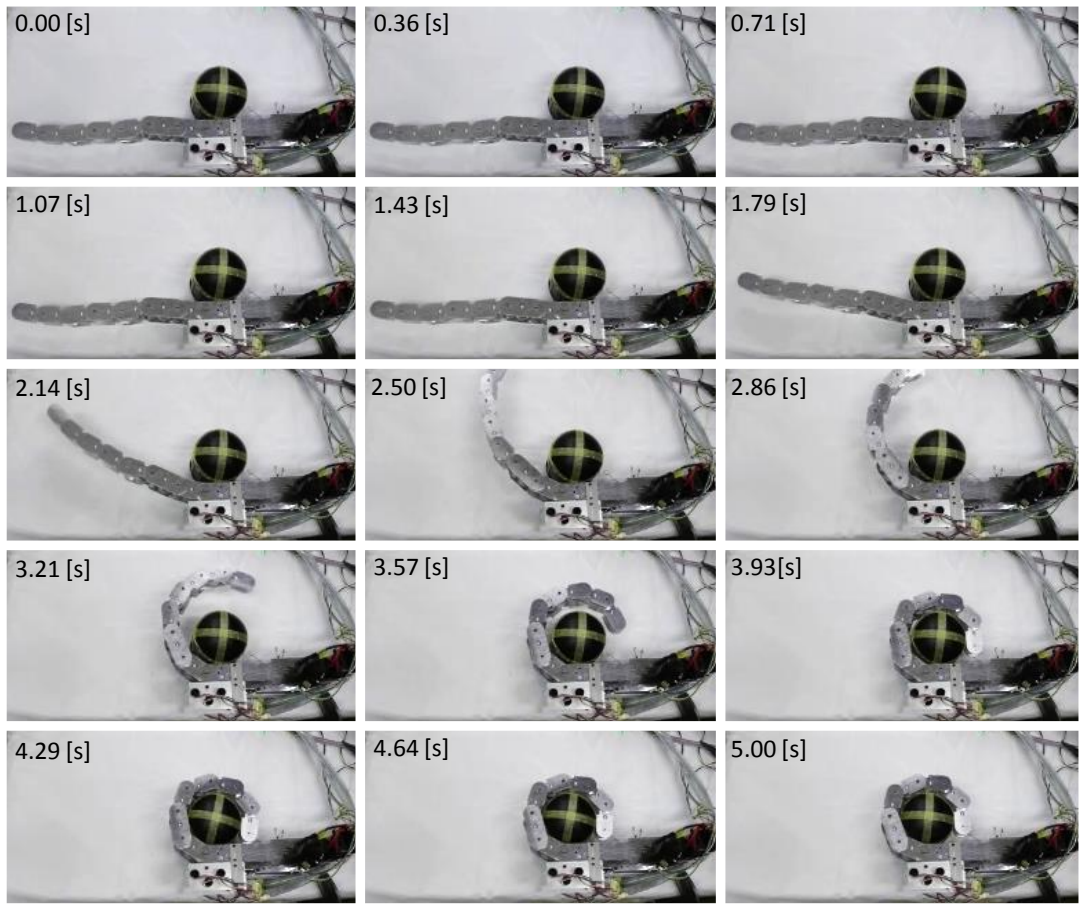


図 4.22 接触情報の検出：配置 B の実験結果

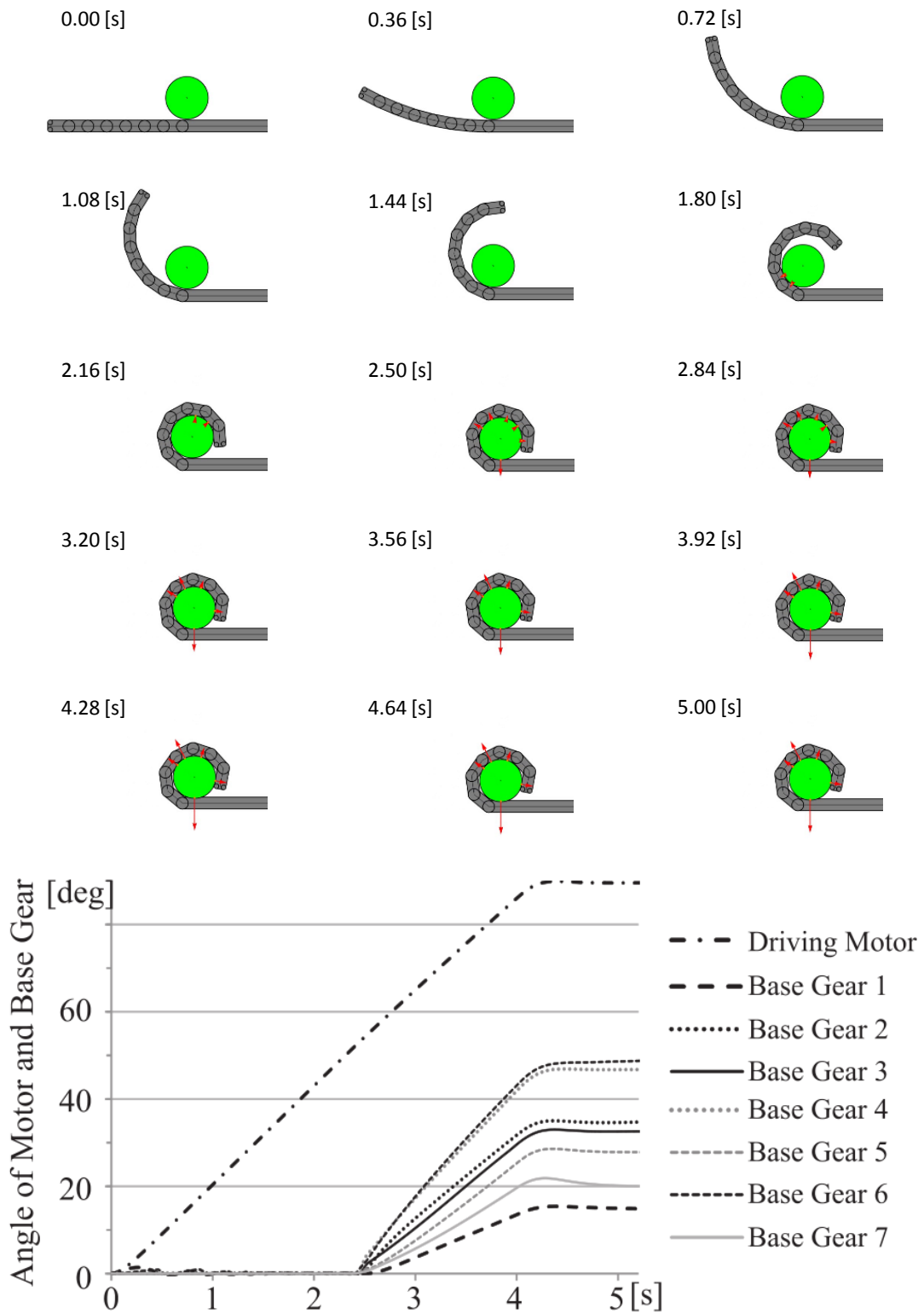


図 4.23 接触情報の検出：配置 B のシミュレーション結果

4.6 関節剛性パターンに伴う把持力の分布

包み込み把持を行う際，その把持力は多くの場合において複数の均等に分散されていたほうが良い．把持力，つまり接触力の分布は，本機構においては関節剛性のバランスに依存する．つまり，ベースギアを拘束している引張バネのバネ係数の並びに大きく左右される．

そこで，以下の2種類のバネ係数パターンについて検討する．パターン(1)は，表4.2でも示した基本となるバネ係数パターンである．これは高速で屈曲動作を行う場合や，重力影響下で動作する場合に，慣性力や重力といった外力の影響を受けやすい関節ほど，大きい剛性を持つパターンである．パターン(2)は，ピンチングのための指先機構無しでもある程度引き寄せを行えるパターンである．指先の関節剛性を高めることは，ピンチング時の引き寄せや，1指で引っ掛けての手繰り寄せなどに対して有効な手段である．そこでパターン(2)は，パターン(1)を元に指先2関節のバネ係数を変更したものとした．

表 4.7 バネ係数パターン [N/mm]

	1st joint	2nd joint	3rd joint	4th joint
(1)	3.50	0.90	0.50	0.30
(2)	3.50	0.90	0.90	1.50

図4.24に剛体とみなせる物体の接触力について，実験結果とシミュレーション結果を示している．図中の矢印は接触力を表している．いずれの結果も左右の指のドライビングモータを60[deg]まで回転させ，VSMモータは20[deg]を維持した場合のものである．パターン(1)では指部の全てのリンクで接触し，接触力もある程度均等に分散しているのに対し，パターン(2)では4点接触となり，物体が受ける力が偏ってしまっている．

図4.25に柔軟物体を把持した場合の変形と，有限要素法による応力分布をシミュレーションした結果を示す．物体の各要素の色は応力の大きさを表現しており，赤色に近いほど大きい応力が発生しており，黄色に近いほど無負荷状態に近い状態である．これらの結果から，パターン(2)では大きな応力が発生するポイントが存在するのに対し，パターン(1)ではよく分散していることが分かる．また，物体全体に生じている変形からも，その傾向を見て取ることができる．

これらの実験およびシミュレーションの結果から、2指により挟み込むような形での包み込み把持による把持力の分散には、基部側の関節剛性が大きいパターン(1)のようなバランスが最も効果的であるといえる。

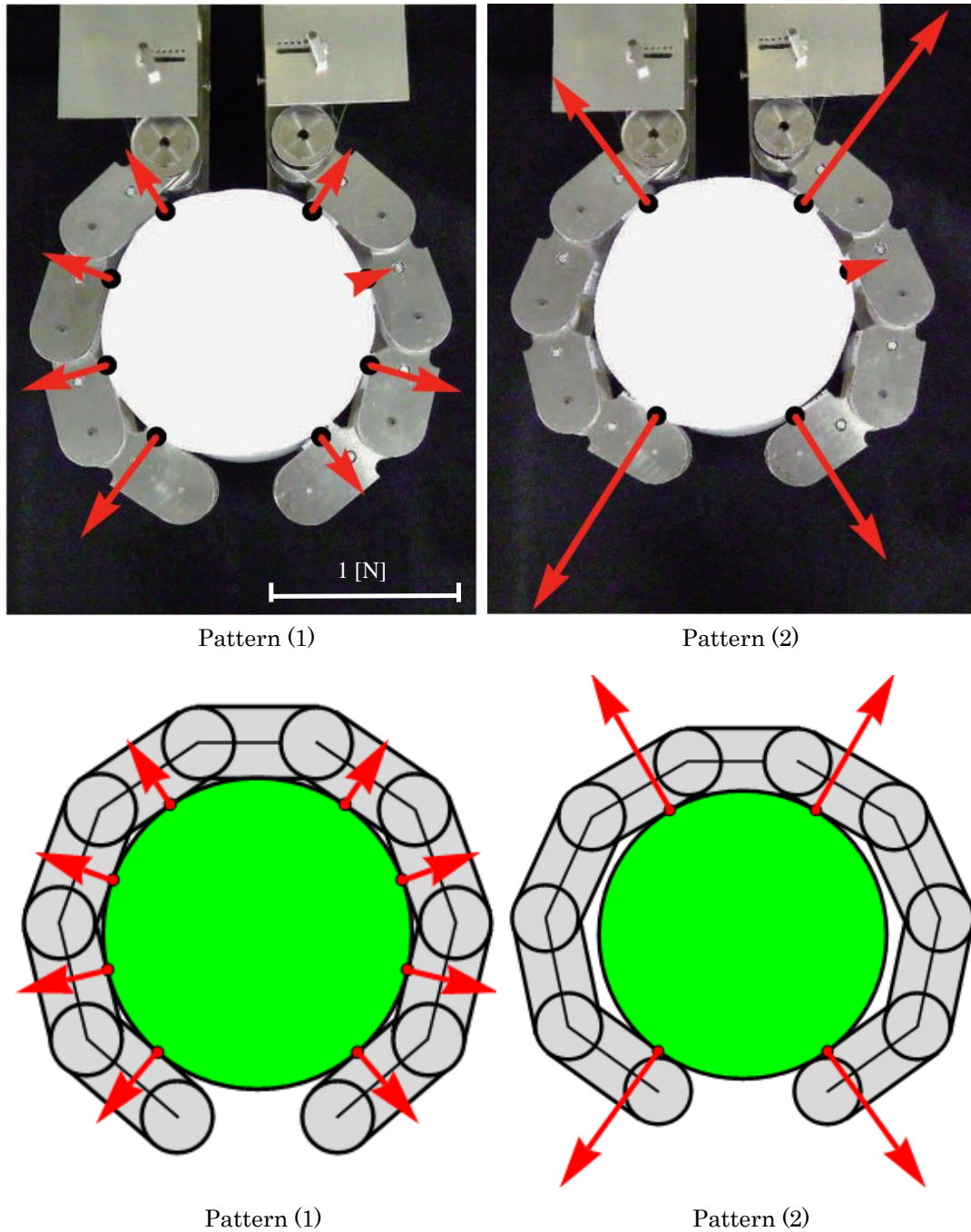
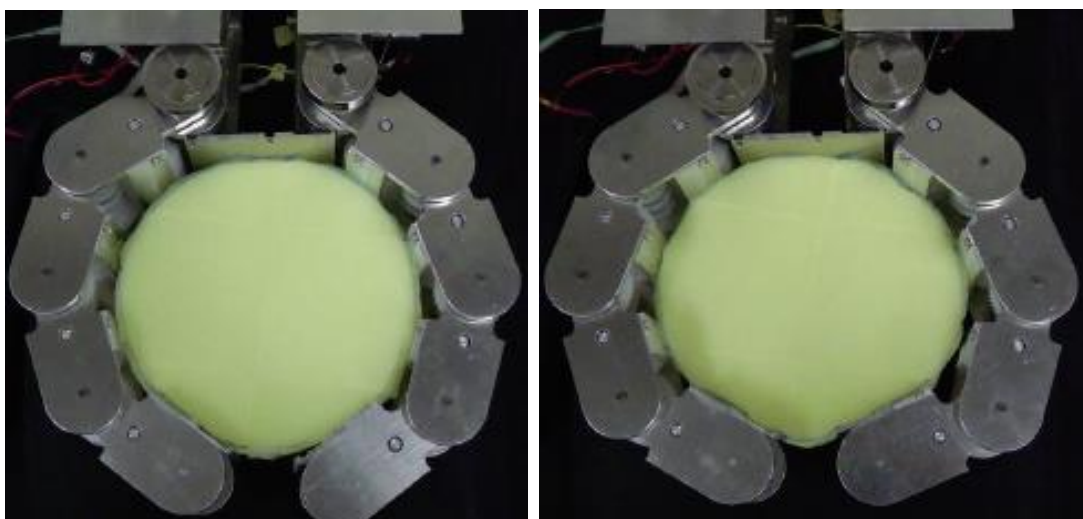
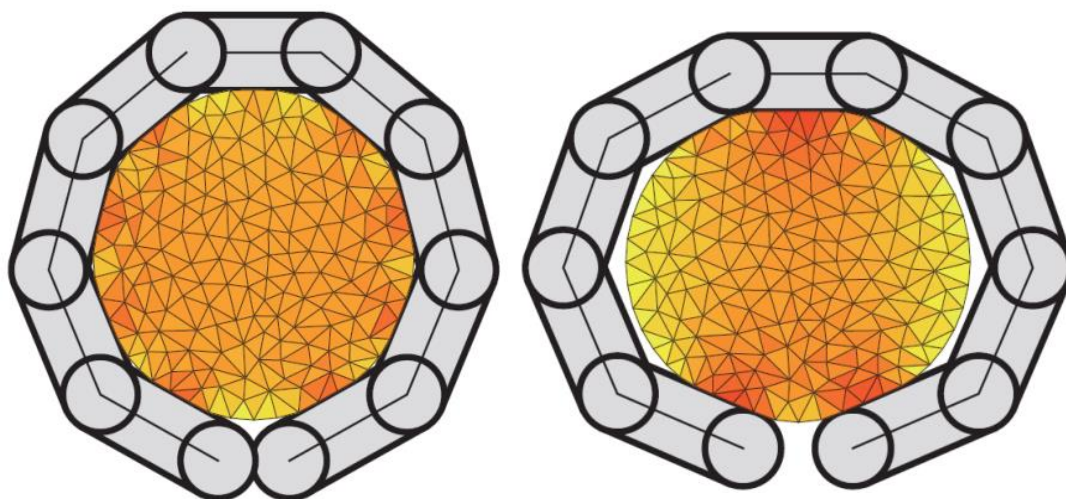


図 4.24 剛体の場合の接触力分布



Pattern (1)

Pattern (2)

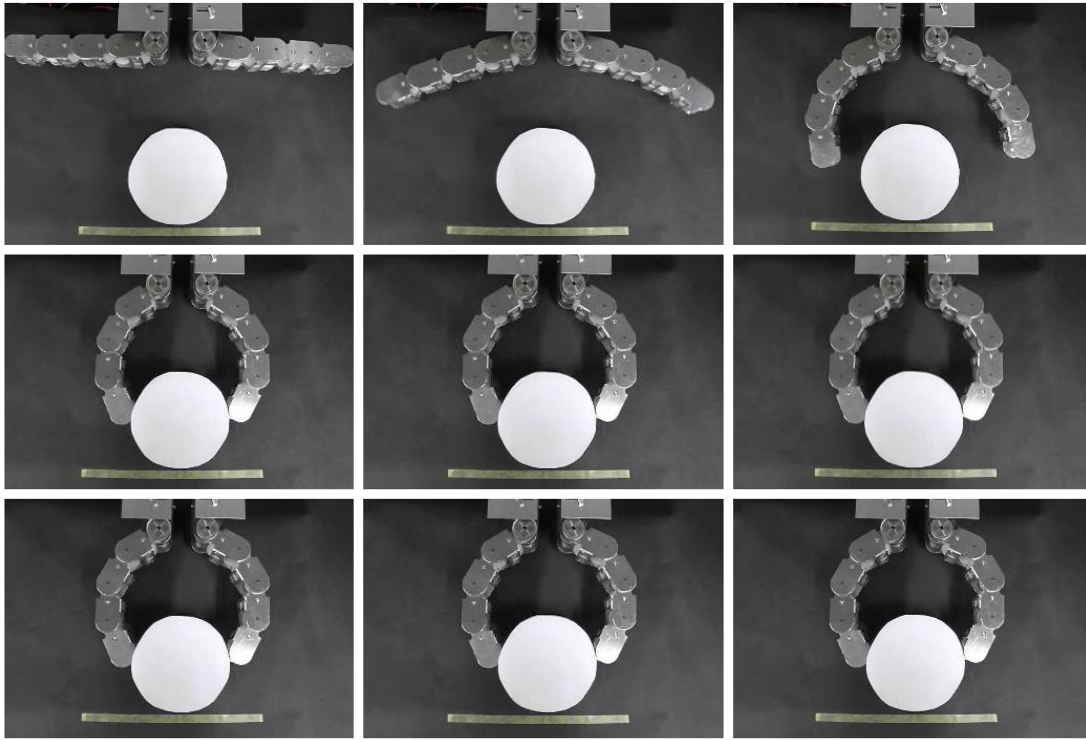


Pattern (1)

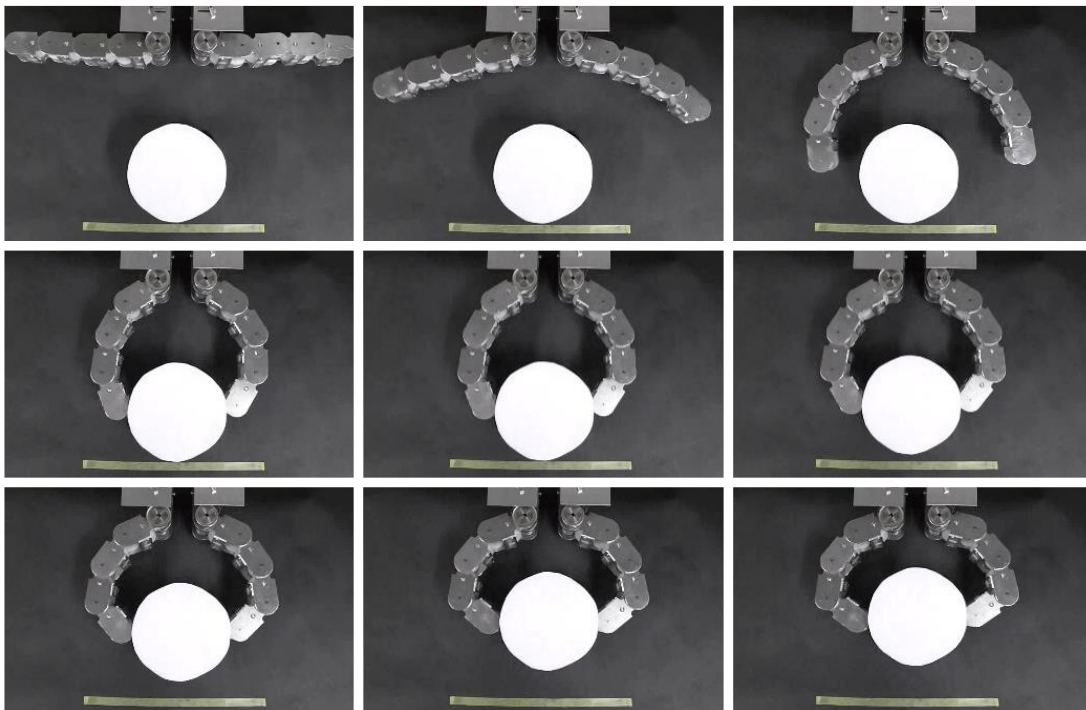
Pattern (2)

図 4.25 弾性体の場合の応力分布

また、2種類のパネ係数パターンでピンチングによる引き寄せを試みた場合、どのような違いが生じるかを示す。図 4.26 にそれらの結果を示す。共にドライビングモータには一定の目標角度を与えただけの制御だが、パターン (1) では指先が触れてから物体の位置がほとんど変化していないのに対し、パターン (2) では基部側へ大きく引き寄せられていることが確認できる。しかし、指先と把持物がすべらないと仮定すると、この状態から包み込み把持へ移行するには何かしらのハンドリングが必要になる。このことから、前に述べたピンチング時に物体の引き寄せをスムーズに行う指先機構が望まれる。



Pattern (1)



Pattern (2)

図 4.26 ピンチングによる引き寄せ動作

4.7 ピンチングから包み込み把持への移行

本節では、ピンチング時に物体の引き寄せをスムーズに行う指先機構について評価する。実際に指先にローラを取り付けて把持を行った結果を図 4.27 に示す。なお、バネ係数はパターン (1) による動作である。

指先機構を搭載していない結果である図 4.26 では、ピンチング後に物体を動かすことができていなかったが、本結果ではピンチング後に物体を引き寄せ包み込み把持まで行えることを確認した。さらに、これらのピンチング、引き寄せ、包み込み把持に至る一連の動作をドライビングモータの単純な制御で実現できているといえ、期待に沿った効果が得られた。

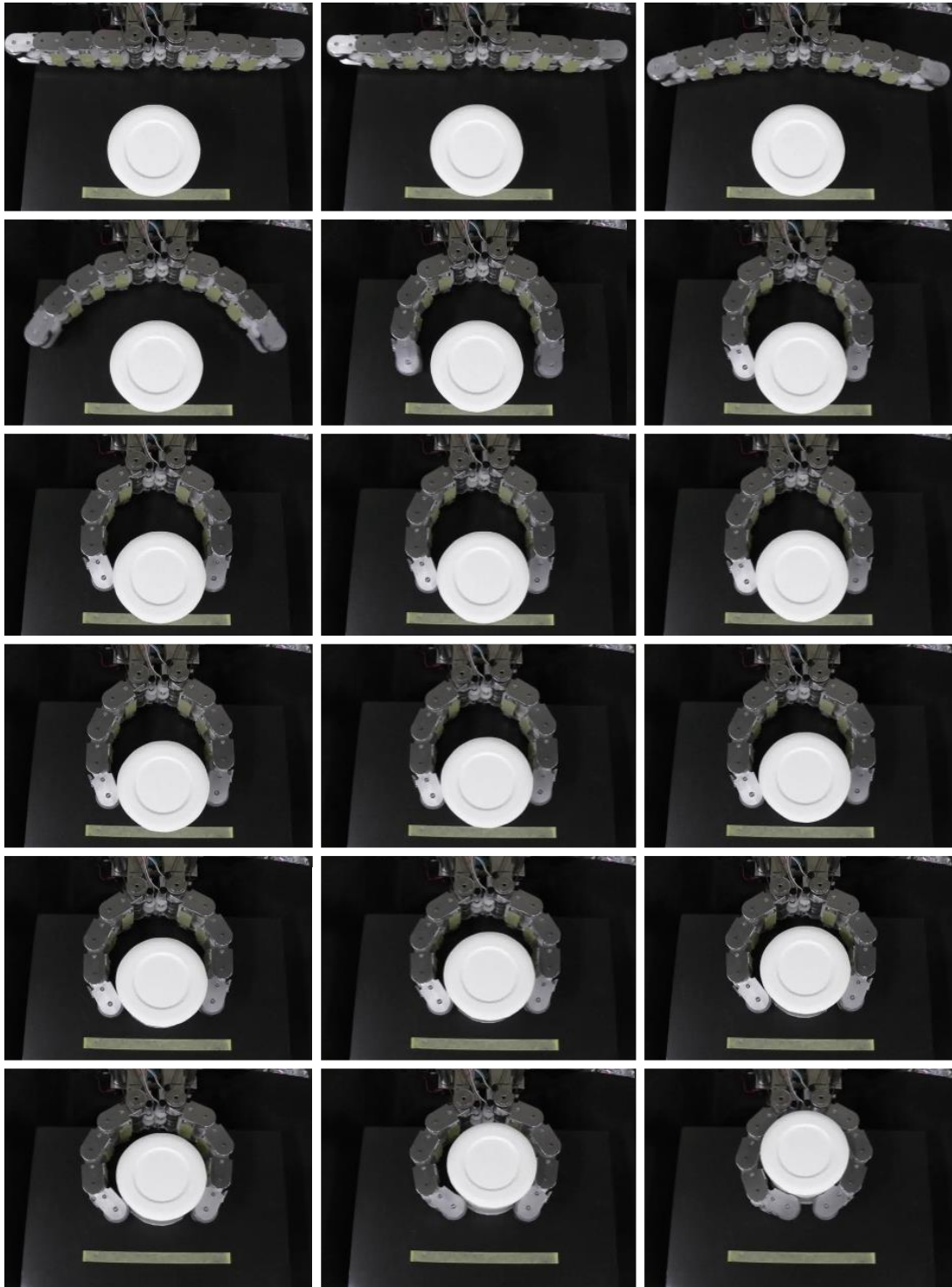


図 4.27 指先ローラ機構によるピンチングと引き寄せ動作

4.8 まとめ

本章では、実際に製作した実験機とシミュレーションによる評価を行った。序論で示した目的のうち、「物体形状に沿った柔らかい把持を可能とする」という項目に関して、1指モデル、2指モデルによる実験により、それぞれ達成できていることを確認した。「本質安全を確保した力覚システムを有する」という点に関して、現在の把持状況を、第1関節に位置するベースギアの角度を測定することで、把握可能であることを確認した。「包み込み把持に加えピンチングを可能とする」という項目に関して、指先にローラを設置する機構を実際に運用し、その効果によりピンチングから物体を引き寄せ、また包み込み把持にスムーズに移行することを確認した。「状況に応じて関節剛性の制御を可能とする」という項目に関して、重力の影響下にある場合の把持や柔軟物体の包み込み把持実験から、低剛性、高剛性それぞれに有利な点があることを示し、剛性可変機構の有効性を示した。

第 5 章

結論

5.1 本論文のまとめ

本研究は、「剛性可変機構を有する多関節グリップングハンドに関する研究」と題し、災害現場で救助や搜索活動などを行う災害対応ロボットに搭載することを目指したグリップングハンドの開発を目的とした。

第 1 章では、現在運用されている災害対応ロボットを紹介し、その作業内容から包み込み把持という把持形態が適していると論じた。これは把持対象物との接触を、指先だけでなくリンクに対しても積極的に許容することで、接触点数を増やし、より確実な把持が達成される。そして、この包み込み把持を主目的に持つハンドを災害対応ロボットのツールとして利用する場合の利点及び課題を示した。それらのことから、本研究で開発するグリップングハンドが満たすべき項目を 5 つ挙げ、次のように定めた。「物体形状に沿った柔らかい把持を可能とする」、「シンプルな制御で動作可能な劣駆動機構である」、「状況に応じて関節剛性の制御を可能とする」、「本質安全を確保した力覚システムを有する」、「包み込み把持に加えピンチングを可能とする」。

第 2 章では、第 1 章で定めた項目を満たすようなハンド機構の提案を行った。1 関節に求められる機能は、角度を制御可能であることと剛性を制御可能であることの 2 つである。この 2 入力の要求を満たすため、差動歯車機構を導入した。使用する差動機構は 2 入力 1 出力という特徴を持ち、入力の一つはモータからのトルクを与え、もう一方はバネによる受動的なトルクを与える。能動的な角度制御を行う場合はモータトルクがそのまま関節へ出力されるが、関節が外部との干渉により固定された、または過剰に回転した場合に、バネにエネルギーを蓄えるように動作する。バネの復元力が外部干渉に対する抵抗力となり、バネ力を制御することで関節剛性を可変とする。本機構は劣駆動で多関節に拡張可能であり、目的とする要件を満たす機構の提案を行った。

第3章では提案したグリッピングハンド機構の動力学シミュレーション手法について論じた。動力学シミュレーションは、実機では厳密な測定が困難な接触力の予測や、バネ係数などのパラメータ設計に役立てることを主な目的とし、導入した。各運動要素である、リンク機構、モータ、把持物の運動方程式の導出過程を示し、また把持物とリンクの接触という要素同士の干渉について、その扱いを示した。運動方程式の導出にはラグランジュ法を主に用い、弾性物体に関しては非線形有限要素法を用いる。接触処理には、判定を行う要素間に発生している貫入量に比例する反力が生じる、ペナルティ法を用いる。これらの手法を元に、基礎となる屈曲動作および包み込み把持のシミュレーション結果をいくつか提示し、非常に単純な制御で物体形状になじむ包み込み把持が達成できることを確認した。

第4章では、まず実験システムについて説明した。製作した実機として、7関節を持つ1指モデルと、4関節を持つ2指または3指モデルを提示し、専用の実験で使用する各種センサの取り付け方法、制御プログラムと実機を繋いでいる制御系について説明した。実験およびシミュレーションによる評価を行い、物体形状になじむ柔らかい包み込み把持が可能であること、またそれがシンプルな制御で達成されていること、剛性可変機構および力覚システムの有効性、さらにピンチングが達成可能であることを確認した。

5.2 本研究の成果

本論文では多関節グリッピングハンドの機構を新たに提案し、その評価を行った。提案した多関節グリッピングハンドの新規性は、関節ごとに独立して物体形状になじむことが可能であり、さらに関節剛性を制御する機構を有することで、従来の研究では両立することが困難であった、物体形状になじむ柔らかい把持と、安定した姿勢の維持が必要なすくう動作やピンチングといった把持形態を達成したことにあたる。また、本質的な安全を有する力覚システムの実現も、この分野においては新たな取り組みであるといえる。

製作したハンドは災害現場など、対象物の形状が未知であり、またハンドに対して様々な外力が加わる可能性の高い場所での使用において有効であることが示唆された。このことは、従来これらのフィールドで実用的な動作を行うには不十分であった、多関節グリッピングハンドを使用するための道筋を示した。

5.3 本研究の展望

本研究の成果について示したが、実際に運用するには提案したハンドはまだいくつかの課題を持っている。

一つは、指部表面に関する議論を行っておらず、実際の運用にあたってはその柔軟性、摩擦特性などの議論が必須であると考えられ、今後率先して取り組むべき課題である。

また、把持対象物の多様化も挙げられる。本論文では、グリップングハンドのサイズに対して、おおむね丁度収まる大きさの対象物を取り上げてきた。しかし、摩擦などを利用して大きな物体を把持することや、板や紙のように薄い物体を把持することを達成すれば、より実用的なハンドとなるだろう。それらの実現の手段として、関節剛性のパターンを調節することなどが考えられ、今後の拡張の一つの案として挙げられる。

謝辞

本研究を行うにあたり，また，学部・修士に在籍時から御指導・御鞭撻をして頂きました本学工学部機械工学科・小金澤鋼一教授に心より厚く御礼申し上げます。

本論文をまとめるにあたり，本学工学部・奥山淳教授，山本佳男教授，甲斐義弘教授，本学情報理工学部・稲葉毅教授には，研究内容および論文に対するご意見を頂きまして，心より厚く御礼申し上げます。

実機製作時において，加工について御指導して頂きました先生方に心より厚く御礼申し上げます。

これまで研究および学生生活を送る上で，様々な面でサポートして頂きました，本学工学部機械工学科の先生方に心より厚く御礼申し上げます。

学部在籍時に先輩として様々なことを教えてくださった下野さんに，心より厚く御礼申し上げます。

そして，研究において同班として共に研究を築いてきた，佐山君，野村君，多くのメンバーに心より感謝致します。また，様々な面で御支援下さいました小金澤研究室の先輩・同輩・後輩の全ての皆様に心より感謝致します。

参考文献

- [1] 松野文俊, 阪神淡路大震災を振り返って, 日本ロボット学会誌, Vol.28, No.2, pp.138-141, 2010.
- [2] 田所諭, レスキューロボットと福島第一原発事故, 日本ロボット学会誌, Vol.30, No.10, pp.1017-1021, 2012.
- [3] 徳田献一, レスキューロボットに見る災害対応の取り組み, 和歌山大学防災研究教育センター紀要, Vol.1, pp.21-26, 2015.
- [4] 文部科学省, 大都市大震災軽減化特別プロジェクト, http://www.mext.go.jp/a_menu/kaihatu/jishin/04031203.htm, アクセス 2016/10/1.
- [5] 田所諭, 大大特プロジェクトの目的と概要, 日本ロボット学会誌, Vol.22, No.5, pp.544-545, 2004.
- [6] 革新的研究開発推進プログラム (ImPACT), タフ・ロボティクス・チャレンジ, <http://www.jst.go.jp/impact/program/07.html>, アクセス 2016/10/1.
- [7] 東京消防庁, ロボキュー, <http://www.tfd.metro.tokyo.jp/ts/soubi/robo/05.htm>, アクセス 2016/10/1.
- [8] 株式会社テムザック, 新型レスキューロボット, http://www.tmsuk.co.jp/lineup/t53_enryu/index.html, アクセス 2016/10/1.
- [9] J.R.Napier, The prehensile movements of the human hand, The Journal of Bone and Joint Surgery, Vol.38, No.4, pp.902-913, 1956.
- [10] Okada.T, Object-Handling System for Manual Industry, IEEE Transactions on Systems, Man, and Cybernetics, Vol.9, No.2, pp.79-89, 1979.
- [11] S.Jacobsen, E.Iversen, D.Knutti, R.Johnson, K.Biggers, Design of the Utah/M.I.T. Dextrous Hand, Proceedings of the IEEE International Conference on Robotics and Automation, pp.1520-1532, 1986.
- [12] C.S.Lovchik, M.A.Diftler, The Robonaut hand: a dexterous robot hand for space, Proceedings of IEEE International Conference on Robotics and Automation, pp.907-912, 1999.
- [13] L.B.Bridgwater, C.A.Ihrke, M.A.Diftler, M.E.Abdallah, N.A.Radford, J.M.Rogers, S.Yayathi, R.S.Askew, D.M.Linn, The Robonaut 2 hand - designed to do work with tools, Proceedings of IEEE International Conference on Robotics and Automation, pp.3425-3430, 2012.

- [14] H.Kawasaki, T.Komatsu, K.Uchiyama, Dexterous anthropomorphic robot hand with distributed tactile sensor: Gifu hand II, IEEE/ASME Transactions on Mechatronics, Vol.7, No.3, pp.296-303, 2002.
- [15] 川崎, 毛利, 伊藤, 下村, 松波, 花田, 東, 人間型ロボットハンド Gifu Hand III, 日本ロボット学会誌, Vol.22, No.1, pp.55-56, 2004.
- [16] 下条誠, 人工の手の研究開発動向, バイオメカニズム学会誌, Vol.38, No.1, pp.3-10, 2014.
- [17] 松岡, 長谷川, 本田, 桐下, 作業状態観測と評価に基づく多関節多指ハンド物体操作システム, 日本ロボット学会誌, Vol.17, No.5, pp.696-703, 1999.
- [18] 並木, 石川, 視覚フィードバックを用いた最適把握行動, 日本ロボット学会誌, Vol.18, No.2, pp.103-111, 2000.
- [19] 横小路, 坂本, 吉川, カメラ画像を併用した多指ハンドにより操られる物体の位置姿勢推定法-ソフトフィンガー型ハンドによる操り制御への適用-, 日本ロボット学会誌, Vol.18, No.3, pp.401-410, 2000.
- [20] 金子真, 包み込み把握 Enveloping Grasp, 日本ロボット学会誌, Vol.18, No.6, pp.782-785, 2000.
- [21] J.Trinkle, J.Abel, R.Paul, Enveloping, frictionless, planar grasping, Proceedings of IEEE International Conference on Robotics and Automation, pp.246-251, 1987.
- [22] M.Kaneko, Y.Tanaka, T.Tsuji, Scale-dependent grasp, Proceedings of IEEE International Conference on Robotics and Automation, pp.2131-2136, 1996.
- [23] 八島, 山口, 久保, 多指ハンドのリンク内接触による操り, 日本機械学会論文集 C 編, Vol.64, No.622, pp.2074-2080, 1998.
- [24] 小俣, 永田, 多指ハンドによるパワーグラスプの力学的特性, 日本ロボット学会誌, Vol.13, No.4, pp.525-531, 1995.
- [25] 金子, 東森, 辻, 包み込み把握の遷移安定性, 日本ロボット学会誌, Vol.16, No.5, pp.712-720, 1998.
- [26] 原田, 金子, 古寺, 辻, 複数対象物の Active Force Closure, 日本ロボット学会誌, Vol.17, No.8, pp.1158-1166, 1999.
- [27] 田所諭, III-4 レスキューロボット等次世代防災基盤技術の開発, 大都市大震災軽減化特別プロジェクト総括成果報告書, 文部科学省, pp.189-228, 2007.

- [28] M.Guarnieri, I.Takao, E.F.Fukushima, S.Hirose, HELIOS VIII search and rescue robot: Design of an adaptive gripper and system improvements, Proceedings of IEEE/RSJ International Conference on Intelligent Robots and Systems, pp.1775-1780, 2007.
- [29] 広瀬茂男, 生物機械工学, 工業調査会, pp.191-199, 1987.
- [30] S.Hirose, Y.Umetani, The development of soft gripper for the versatile robot hand, Mechanism and machine theory, Vol.13, No.3, pp.351-359, 1987.
- [31] 東森, 金子, 単一ワイヤ駆動ロボットハンドの Dynamic Preshaping, 日本ロボット学会誌, Vol.22, No.8, pp.997-1003, 2004.
- [32] N. Dechev. W. L. Clegjhorn, S. Naumann, Multiple Finger, Passive Adaptive Grasp Prosthesis Hand, Mechanism Machine Theory, Vol.36, No.10, pp.1157-1173, 2001.
- [33] B. Massa, S. Roccella, M. C. Carrozza, P. Dario, Design and Development of an Underactuated Prosthetic Hand, Proceedings of IEEE International Conference on Robotics and Autom, pp.3374-3379, 2002.
- [34] N. Yamano, S. Takamuku, K. Hosoda, Development of Underactuated Humanoid Robot Hand for Adaptable Grasp, Proceeding of the 2008 JSME Conference on Robotics and Mechatronics, pp.—, 2008.
- [35] M. Wassink, R. Carloni, S. Stramigioli, Port-Hamiltonian Analysis of a Novel Robotic Finger Concept for Minimal Actuation Variable Impedance Grasping, Proceedings of IEEE International Conference on Robotics and Automation, pp.771-776, 2010.
- [36] 吉田, 安孫子, OTA, 水中作業ロボット用多関節グリッパの開発, 日本機械学会論文集 C 編, Vol.68, No.675, pp.3373-3380, 2008.
- [37] 多賀, 中西, 小田, 高収納効率と広い把持範囲を持つワイヤ駆動型把持機構の検討, 日本機械学会ロボティクス・メカトロニクス講演会予稿集, 2A2-04a7, 2016.
- [38] 井上, 平井, 柔軟指による把持物体の姿勢制御, 日本機械学会論文集 C 編, Vol.75, No.757, pp.2537-2546, 2009.
- [39] 井上, 平井, 柔軟指による物体把持と操作における力学の実験的解明, 日本ロボット学会誌, Vol.25, No.6, pp.951-959, 2007.
- [40] 天瀬, 西岡, 安田, 螺旋状巻付き型極軽量ソフトアクチュエータの開発: 多様な螺旋形状の生成方法の提案, ロボティクス・メカトロニクス講演会講演概要集,

- 2A1-N05, 2014.
- [41] 阿妻, 吉留, 河原崎, 小型フレキシブルロボットハンドの開発, ロボティクス・メカトロニクス講演会講演概要集, 1P2-D10, 2015.
- [42] S.Takamuku,A.Fukuda,K.Hosoda, Repetitive grasping with anthropomorphic skin-covered hand enables robust haptic recognition, Proceedings of IEEE/RSJ International Conference on Intelligent Robots and Systems, pp.3212-3217, 2008.
- [43] K. Koganezawa, A Mechanical Musculo-Skeletal System for a Human-Shaped Robot Arm, Actuators 2014, Vol.3, pp.124-141, 2014.
- [44] R. Schiavi, G. Grioli, S. Sen, A. Bicchi, VSA-II: a Novel Prototype of Variable Stiffness Actuator for Safe and Performing Robots Interacting with Humans, Proceedings of the IEEE International Conference on Robotics and Automation, pp.2171-2176, 2008.
- [45] S. Wolf, G. Hirzinger, A New Variable Stiffness Design: Matching Requirements of the Next Robot Generation, Proceedings of the IEEE International Conference on Robotics and Automation, pp.1741-1746, 2008.
- [46] 矢田恒二, 歯車応用機構の設計, 機械技術協会, pp.3-21, 2011.
- [47] ハーモニック・ドライブ・システムズ, ハーモニックドライブの原理, https://www.hds.co.jp/products/hd_theory/, アクセス 2016/10/1.
- [48] 小笠原工業株式会社, 遊星歯車機構, https://www.khkgears.co.jp/gear_technology/intermediate_guide/KHK388.html, アクセス 2016/10/1.
- [49] K.Takeda, H.Chiba, K.Koganezawa, The Artificial Finger using The Double Planetary Gear System, Proceedings of the 8th Asian Conference on Multibody Dynamics, ROB-2(3), 2016.
- [50] 小金澤鋼一, 遊星歯車機構を用いた 5 指ハンド-最小アクチュエータによる「手」の日常動作の実現-, 電子情報通信学会技術研究報告, ヒューマン情報処理, Vol.112, No.483, pp.87-92, 2013.
- [51] Y.Sato, K.Koganezawa, Five finger robot hand with a planetary gear system, Proceedings of the 8th Asian Conference on Multibody Dynamics, ROB-2(2), 2016.
- [52] 内田, 下野, 小金澤, 多関節グリッパの新機構, 第 28 回日本ロボット学会学術講演会予稿集, 1M1-3, 2010.

- [53] 下野, 玉本, 伊藤, 小金澤, 剛性可変機構を有する多関節グリッパ, 計測自動制御学会論文集, Vol.49, No.1, pp.11-17, 2013.
- [54] 下野, 小金澤, 第 12 回計測自動制御学会システムインテグレーション部門講演会, 3J2-1, 2011.

付録

付録 A

Mathematica によるプログラム

- シミュレーションベース部分 -

(Mathematica のバージョン : 11.0.1)

Mathematica の設定/初期処理

```
1 (* ログビューワーを閉じる - 2回目以降の全コード実行用 *)
2 LAB'LogClose[];
3 (* ダイアログを全て閉じる - 2回目以降の全コード実行用 *)
4 LAB'Simulation["close", All];
5 LAB'Simulation["close:analysis", All];
6 (* 履歴保存数を0に設定する *)
7 $HistoryLength = 0;
8 (* コンテキストが[Global],[LAB]であるシンボルを除去する *)
9 If[Length@Names["Global'*" ] != 0, Remove["Global'*" ]];
10 If[Length@Names["LAB'*" ] != 0, Remove["LAB'*" ]];
11 (* FEMパッケージのインストール *)
12 Needs["NDSolve'FEM'"];
13 (* Cコンパイラパッケージをロード *)
14 Needs["CCompilerDriver'"];
15 Needs["CCompilerDriver'GenericCCompiler'"];
16 (* Cコードの操作に使うデフォルトのCコンパイラを設定する *)
17 $CCompiler = {
18     "Compiler" -> CCompilerDriver'GenericCCompiler'GenericCCompiler,
19     "CompilerInstallation" -> "C:\\TDM-GCC-64",
20     "CompilerName" -> "x86_64-w64-mingw32-gcc.exe"
21 };
22 (* コンパイル方法のデフォルト設定 - "WVM" or "C" *)
23 $CompilationTarget = "C";
24 (* このノートブックのディレクトリを取得 *)
25 LAB'NotebookDirectory = NotebookDirectory[];
26 (* コンパイルデータを保管するビルドディレクトリ *)
27 LAB'BuildDirectory = $UserBaseDirectory <>
28     "\\ApplicationData\\CCompilerDriver\\BuildFolder";
29 (* ログビューワーを使用する *)
30 LAB'LogEnabled = 1;
31 (* ログビューワーの初期値 *)
32 LAB'LogProcess = "Finished";
33 (* 画像の登録 *)
34 LAB'Image["update"] = ***;
35 LAB'Image["setting"] = ***;
36 LAB'Image["cross"] = ***;
```

各コンテンツのリストを作成

```
37 (* データ群のモデル = データモデル *)
38 LAB'Contents["data model"] = {
39     "config", "run", "device", "system"
40 };
41 (* 実行状況の種類 - データモデル[run]に属する *)
42 LAB'Contents["run state"] = {
43     "set", "standby", "simulation", "abort", "analysis", "re-new"
```

```

44     };
45     (* デバイスモデル - データモデル[device]に属する *)
46     LAB'Contents["device model"] = {
47         "link", "motor", "rigid", "elastic"
48     };
49     (* システムモデル - データモデル[system]に属する *)
50     LAB'Contents["system model"] = {
51         "dgs-vsm"
52     };
53     (* デバイスモデル内で, 接触が起こりうるモデル *)
54     LAB'Contents["contact model"] = {
55         "link", "rigid", "elastic"
56     };
57     (* 接触が起こりうるモデル内で, 自身の構成要素同士が接触しないモデル *)
58     LAB'Contents["single body model"] = {
59         "rigid", "elastic"
60     };
61     (* 数値計算手法 *)
62     LAB'Contents["numerical integration"] = {
63         "Euler",
64         "Midpoint",
65         "Heun",
66         "Heun3",
67         "Kutta3",
68         "RK4",
69         "Kutta3/8"
70     };

```

[関数定義] LAB'LogStatus

```

function : ログビューワーの状態を取得
argument1 : Null
return   : 1 → 開いている
          : 2 → 閉じている

```

```

71     (* ログビューワーの状態を取得 *)
72     LAB'LogStatus[___] := Module[{
73         status, ret
74     },
75     (* ログビューワーのプロセスの状態を取得 *)
76     status = ProcessStatus@LAB'LogProcess;
77     (* 状態を数値に変換 *)
78     ret = Switch[status,
79         "Running", 1, (* 実行中 *)
80         "Finished", 0, (* 終了済み *)
81         _, 0 (* 一度も実行していない *)
82     ];
83     (* 戻り値 *)
84     Return@ret
85 ]

```

[関数定義] LAB'LogOpen

```

function : ログビューワーを開く
argument1 : Null
return   : Null

```

```

86     LAB'LogOpen[___] := Module[{
87         path = LAB'NotebookDirectory <> "LogViewer.exe",
88         process
89     },
90     (* 既にオープンしている場合は終了 *)
91     If[LAB'LogStatus[] === 1, Return@Null];

```

```

92 (* プログラムを開く - ウィンドウ位置,サイズを指定 *)
93 process = StartProcess[{path, "window", "-1", "-1", "800", "335"}];
94 Pause[0.5];
95 (* グローバル変数に登録 *)
96 LAB'LogProcess = process;
97 (* 項目を設定する *)
98 process = StartProcess[{path, "column", "Level", "Time", "Event"}];
99 While[ProcessStatus@process === "Running"];
100 (* 項目の幅を設定する *)
101 process = StartProcess[{path, "width", "80", "70", "610"}];
102 While[ProcessStatus@process === "Running"];
103 (* 戻り値 *)
104 Return@Null;
105 ]

```

[関数定義] LAB'LogClose

```

function : ログビューワーを閉じる
argument1 : Null
return : Null

```

```

106 LAB'LogClose[___] := Module[{
107 },
108 (* オープンしていない場合は終了 *)
109 If[! LAB'LogStatus[] === 1, Return@Null];
110 (* プロセスを終了する *)
111 KillProcess[LAB'LogProcess];
112 (* 戻り値 *)
113 Return@Null;
114 ]

```

[関数定義] LAB'LogOutput

```

function : ログの出力
argument1 : 1列目 - ログレベル (通常, 警告, エラー, etc.)
argument2 : 2列目 - 日時表示の有無
argument3 : 3列目 - イベント文字列 (リストで複数指定も可能)
return : Null

```

```

115 LAB'LogOutput[Level_, bTime_, Str_] := Module[{
116 ToAscii, process, output
117 },
118 (* ログを未使用の設定になっている場合は終了 *)
119 If[LAB'LogEnabled === 0, Return@Null];
120 (* オープンしていない場合はオープン *)
121 If[! LAB'LogStatus[] === 1, LAB'LogOpen[]];
122 (* 出力文字列, 複数ある場合は連結 *)
123 output = StringJoin[ToString@# & /@ {Str}];
124 (* UTF16に変換, 特殊文字は自作の変換ルールが必要 *)
125 ToAscii[str_] := StringReplace[
126 ToString[str, CharacterEncoding -> "ASCII"], {
127 "<" -> "\\:2190",
128 "\\[UpArrow]" -> "\\:2191",
129 "->" -> "\\:2192",
130 "\\↓" -> "\\:2193",
131 "\\●" -> "\\:25CF"
132 }];
133 (* プログラムの実行 *)
134 process = StartProcess[{
135 LAB'NotebookDirectory <> "LogViewer.exe",
136 "wolfram",
137 ToAscii@Level,
138 ToAscii@If[bTime === True,

```

```

139         DateString[{"Hour24", ":", "Minute", ":", "Second"}, " "],
140         ToAscii@output
141     }];
142     (* プログラムの処理が終了するまで待機 *)
143     While[ProcessStatus@process === "Running"];
144     (* 戻り値 *)
145     Return@Null;
146 ];

```

[関数定義] LAB'Log/LAB'Warning/LAB'Error/LAB'EmptyLog

```

function : ログの出力 (簡易版)
argument1 : 出力する文字列 - String
return   : Null

```

```

147 LAB'Log[Str_] := LAB'LogOutput["information", True, Str];
148 LAB'Warning[Str_] := LAB'LogOutput["warning", True, Str];
149 LAB'Error[Str_] := LAB'LogOutput["error", True, Str];
150 LAB'EmptyLog[Str_] := LAB'LogOutput[" ", False, Str];

```

[関数定義] LAB'NewNoteContents

```

function : 渡されたコンテンツを表示するノートブックを新規で開く
argument1 : 表示データ - 文字列データ/ボックスデータ/セルデータ/これらを要素に持つリスト
argument2 : 表示オプション
            - 文字列 -> ウィンドウタイトル
            - リスト -> ウィンドウサイズ {幅, 高さ, 左端からの距離, 上端からの距離}
return    : ノートブックハンドル

```

```

151 LAB'NewNoteContents[Data_, Option_] := Module[{
152     f, data, title, list, size, margin, handle
153 },
154     (*-----*)
155     (* 表示データの型により形式を変換する関数 *)
156     f[x_] := Which[
157         (* 文字列データの場合 - 入力形式に変換 *)
158         StringQ@x, Cell[BoxData[x], "Input"],
159         (* ボックスデータの場合 - 入力形式に変換 *)
160         MatchQ[Head@x, BoxData], Cell[x, "Input"],
161         (* セルデータの場合 - そのまま *)
162         MatchQ[Head@x, Cell], x,
163         (* その他 - そのまま *)
164         True, x
165     ];
166     (*-----*)
167     (* 表示データを変換 *)
168     data = If[ListQ@Data, f[#] & /@ Data, f[Data]];
169     (* オプションを取得 - タイトル, ウィンドウサイズ, 位置 *)
170     title = FirstCase[Option, "New Notebook", _String];
171     list = FirstCase[Option, {Automatic}, _List];
172     If[Length[list] == 1, size = {list[[1]], Automatic};
173     If[Length[list] > 1, size = {list[[1]], list[[2]]};
174     margin = {{Automatic, Automatic}, {Automatic, Automatic}};
175     If[Length[list] > 2, margin[[1, 1]] = list[[3]]; (* 左端からの距離 *)
176     If[Length[list] > 3, margin[[2, 2]] = list[[4]]; (* 上端からの距離 *)
177     (*-----*)
178     (* ノートブックを開く *)
179     handle = CreateDocument[
180         data,
181         WindowTitle -> title,
182         WindowFrame -> "ModelessDialog",
183         WindowSize -> size,
184         WindowMargins -> margin

```

```

185 ];
186 (* 戻り値 *)
187 Return@handle;
188 ]

```

[関数定義] LAB'NewNoteSymbol

function : 渡されたシンボルに関連付けられた定義情報を表示するウィンドウを新規で開く
argument1 : シンボル (主にハンドルとして用いている変数) - Symbol
argument2 : 表示オプション
- 文字列 -> ウィンドウタイトル
- リスト -> ウィンドウサイズ {幅, 高さ, 左端からの距離, 上端からの距離}
return : ノートブックハンドル

```

189 LAB'NewNoteSymbol[Data_, Option___] := Module[{
190   title, list, size, margin, handle, code, data
191 },
192 (*-----*)
193 (* オプションを取得 - タイトル&ウィンドウサイズ *)
194 title = "Definition information associated with the symbol";
195 title = FirstCase[{Option, title}, _String];
196 list = FirstCase[{Option, {Automatic}}, _List];
197 If[Length[list] == 1, size = {list[[1]], Automatic}];
198 If[Length[list] > 1, size = {list[[1]], list[[2]]}];
199 margin = {{Automatic, Automatic}, {Automatic, Automatic}};
200 If[Length[list] > 2, margin[[1, 1]] = list[[3]]]; (* 左端からの距離 *)
201 If[Length[list] > 3, margin[[2, 2]] = list[[4]]]; (* 上端からの距離 *)
202 (* ノートブックを開く *)
203 handle = CreateNotebook[
204   "Default",
205   WindowTitle -> title,
206   WindowFrame -> "ModelessDialog",
207   WindowSize -> size,
208   WindowMargins -> margin
209 ];
210 (*-----*)
211 (* 実行するコードの文字列を定義 *)
212 code = "Save[\"stdout\", \" <> ToString[Data] <> \"];";
213 (* ノートブックに展開 - 展開したセルを選択 *)
214 NotebookWrite[
215   handle,
216   Cell[BoxData[code], "Input", Background -> LightYellow],
217   All];
218 (* セルを評価 *)
219 SelectionEvaluate[handle];
220 (* ノートの先頭を選択 *)
221 SelectionMove[handle, Before, Notebook];
222 (*-----*)
223 (* 戻り値 *)
224 Return@handle;
225 ]

```

[関数定義] LAB'LocalFilePath

function : 指定したファイルの拡張子を補完し、ファイルが存在するかをチェックする
argument1 : ファイル名 (拡張子は任意) - String
argument2 : 拡張子 (は任意) - String
argument3 : オプション
- find : 指定ファイルが存在する場合は 1 を返す
- notfind : 指定ファイルが存在しない場合は 1 を返す
return : 成功 : ファイルのパス / オプションによる数値
失敗 : 0

```

226 LAB'LocalFilePath[File_, Ext_, Option___] := Module[{
227   file, path, ext,
228   option = ToLowerCase@Flatten@{Option}
229 },
230 (*-----*)
231 (* 引数の型が不正であれば0を返す *)
232 If[! StringQ@File, Return@0];
233 If[! StringQ@Ext, Return@0];
234 (*-----*)
235 (* 拡張子を取得 *)
236 ext = Which[
237   (* 未指定である場合 *)
238   Ext === "", "",
239   (* ファイル名に含む拡張子と指定した拡張子が同じである場合 *)
240   FileExtension[File] === Ext, "",
241   (* 拡張子の先頭に"."を含む場合 *)
242   StringMatchQ[Ext, ".*"], Ext,
243   (* いずれにも当てはまらない場合 *)
244   True, "." <> Ext
245 ];
246 (* ファイル名を取得 *)
247 file = File <> ext;
248 (* パスを取得, ドライブが指定されていない場合は相対パスとする *)
249 path = If[StringMatchQ[file, ".*:"],
250   file,
251   LAB'NotebookDirectory <> file
252 ];
253 (*-----*)
254 (* オプション : 指定ファイルが存在する場合は1を返す *)
255 If[MemberQ[option, "find"], If[FileExistsQ@path, Return@1]];
256 (* オプション : 指定ファイルが存在しない場合は1を返す *)
257 If[MemberQ[option, "notfind"], If[! FileExistsQ@path, Return@1]];
258 (*-----*)
259 (* 戻り値-パスを返す *)
260 Return@path;
261 ]

```

[関数定義] LAB'CheckFileName

```

function : ファイル名が正しいか確認する
argument1 : チェックするファイル名
return   :  1 : 問題がない
           0 : 文字列でない
          -1 : 禁止文字を含む
          -2 : 使用禁止の単語である
          -3 : 実体のない文字列 ("", " ") である

```

```

262 LAB'CheckFileName[Value_] := Module[{
263   banned
264 },
265 (* 文字列でない - 戻り値:0 *)
266 If[! StringQ@Value, Return@0];
267 (* 名前に禁止文字を含む - 戻り値:-1 *)
268 banned = {"\\", "/", ":", "*", "?", "\"", "<", ">", "|"};
269 If[! StringFreeQ[Value, banned], Return[-1]];
270 (* 名前が禁止単語である - 戻り値:-2 *)
271 banned = {};
272 If[! AnyTrue[(Value == #) & /@ banned, TrueQ], Return[-2]];
273 (* 名前が空白文字である - 戻り値:-3 *)
274 If[StringDelete[Value, Whitespace] == "", Return[-3]];
275 (* 全てのチェックにパス - 戻り値:1 *)
276 Return@1;
277 ]

```

[関数定義] LAB'DataConvert

```
function : 指定されたオプションに従いデータの形式を変換
argument1 : 変換元データ
argument2 : 変換オプション - 複数指定可
- int      : 整数に変換 (Listable)      "2.5" / 2.5 -> 2 , 2.51 -> 3
- float    : 小数に変換 (Listable)      "3" / 3 -> 3.
- mm       : 10-3 倍する (Listable)
- g        : 10-3 倍する (Listable)
- degree   : 180/π 倍する (Listable)
- radian   : π/180 倍する (Listable)
- micro    : 10-6 倍する (Listable)
- list     : 文字列リストを正式なリストに変換  "{1,2,3}" -> {"1","2","3"}
- str      : 文字列化                          {1,2,3} -> "{1,2,3}"
- string   : 文字列化                          {1,2,3} -> "{1,2,3}"
- strd     : 文字列化 & 空白全削除            {1,2,3} -> "{1,2,3}"
- stre     : リスト要素を文字列化            {1,{2,3}} -> {"1",{2,3}}
- strjoin  : リスト要素を文字列化して結合    {1,{2,3}} -> "123"
- sriffle:, : リスト要素間に次の文字を挿入し, 文字列化して結合 [,]
- sriffle:n : リスト要素間に次の文字を挿入し, 文字列化して結合 [\n]
- sriffle:nt : リスト要素間に次の文字を挿入し, 文字列化して結合 [\n\t]
- sriffle:,nt : リスト要素間に次の文字を挿入し, 文字列化して結合 [, \n\t]
return    : 変換されたデータ
```

```
278 LAB'DataConvert[Data_, Option__] := Module[{
279   data = Data, rule, f, s,
280   option = ToLowerCase@Flatten@{Option}
281 },
282 (*-----*)
283 (* リストの要素のみを文字列化する関数を定義 *)
284 f[x_] := If[ListQ@x, f[#] & /@ x,
285   If[StringQ@x, x, ToString[x, InputForm]]];
286 (* リストごと文字列化する関数を定義 *)
287 s[x_] := If[ListQ@x,
288   StringJoin["{", Riffle[s[#] & /@ x, ",", "}],
289   If[StringQ@x, x, ToString[x, InputForm]]];
290 (*-----*)
291 Do[
292   Switch[option[[n]],
293     (* 整数/小数に変換 *)
294     "int",      data = Round@ToExpression@data,
295     "float",    data = 1.0*ToExpression@data,
296     (* 桁を調節 *)
297     "mm",      data = data*10-3,
298     "g",       data = data*10-3,
299     "degree",  data = data*Degree,
300     "radian",  data = data/Degree,
301     "micro",   data = data*10-6,
302     (* リスト文字列を正式なリストに変換 "{1,2,3}" -> {"1","2","3"} *)
303     "list", If[StringQ@data,
304       rule = {"{" -> "{\", "}" -> "\"}", "," -> "\",\""};
305       data = StringTrim@ToExpression@StringReplace[data, rule]],
306     (* 文字列化 *)
307     "str",     data = s[data],
308     "string",  data = s[data],
309     (* 文字列化 : 空白全削除 *)
310     "strd",    data = StringDelete[s[data], Whitespace],
311     (* 文字列化 : リスト要素のみ {1,{2,3}} -> {"1",{2,3}} *)
312     "stre",    data = f@data,
313     (* 文字列化 : 全リスト要素の結合 {1,{2,3}} -> "123" *)
314     "strjoin", data = StringJoin@f@data,
315     (* 文字列化 : リスト要素間に特定の文字列を挿入し, 結合 *)
316     "sriffle:", data = StringJoin@f@Riffle[data, ","],
317     "sriffle:n", data = StringJoin@f@Riffle[data, "\n"],
```

```

318     "sriffle:nt", data = StringJoin@f@Riffle[data, "\n\t"],
319     "sriffle:,nt", data = StringJoin@f@Riffle[data, ",\n\t"],
320     (* 色つき文字に変換 *)
321     "red", data =
322         "\*StyleBox[\" \" <> s[data] <> \"\",FontColor->RGBColor[1, 0, 0]]",
323     "blue", data =
324         "\*StyleBox[\" \" <> s[data] <> \"\",FontColor->RGBColor[0, 0, 1]]",
325     (* 何れにも該当しない場合 *)
326     _, Null
327 ], {n, Length@option}
328 ];
329 (*-----*)
330 (* 戻り値 *)
331 Return@data;
332 ]

```

[関数定義] LAB'Digit

```

function : 小数値を指定桁で丸める
argument1 : 対象の小数値
argument2 : 小数点以下の桁数
return    : 丸めた数値

```

```

333 LAB'Digit[x_, digit_] := N[Round[x*10^digit]/10^digit];

```

[関数定義] LAB'CheckValue

```

function : 値が指定した型と一致するか確認する, 必要に応じて修正
argument1 : 値
argument2 : 値の型 (文字列またはヘッダーを指定)
            - int      : 整数値
            - float    : 小数値
            - bool     : True/False
            - string/str : 文字列
            - replacement : 強制で規定値
argument3 : 規定値
return    : 値

```

```

334 LAB'CheckValue[Value_, Type_, Pre_] := Module[{
335     type = Type
336 },
337 (*-----*)
338 (* 型が文字列で指定されている場合 *)
339 If[StringQ@type,
340 Switch[ToLowerCase@type,
341     (* int : 整数値 - 数値以外->規定値, 小数->変換, 整数->そのまま *)
342     "int",
343     If[! NumberQ@Value, Return@Pre];
344     If[! IntegerQ@Value, Return@Round@Value];
345     Return@Value,
346     (* float : 小数値 - 数値以外->規定値, 整数->変換, 小数->そのまま *)
347     "float",
348     If[! NumberQ@Value, Return@Pre];
349     If[IntegerQ@Value, Return[1.0*Value]];
350     Return@Value,
351     (* bool : True/False - T/F以外->規定値, T/F->そのまま *)
352     "bool",
353     If[! BooleanQ@Value, Return@Pre];
354     Return@Value,
355     (* replacement : 強制的に規定値に修正 *)
356     "replacement", Return@Pre,
357     (* 型をヘッダーに置き換える = 処理をヘッダー指定に回す *)
358     "string", type = String,

```

```

359     "str", type = String,
360     (* 該当なし *)
361     _, Return@Null
362 ];
363 (*-----*)
364 (* 型がヘッダーで指定されている場合 *)
365 If[Head[Value] === type,
366     (* 一致する->そのまま *)
367     Return@Value,
368     (* 一致しない->修正値 *)
369     Return@Pre
370 ];
371 (*-----*)
372 Return@Null;
373 ]

```

[関数定義] LAB'IniToList

```

function : INI ファイルのデータ読み込み
argument1 : ファイル名 (拡張子は任意) - String
return   : 成功 : リストデータ - {{グループ名, アイテム名, 値},{グループ名, アイテム名, 値},...}
          失敗 : 0

```

[INI] ファイルの記述

```

[***] -> グループ名
*** = *** & オプション 1 & オプション 2 ; コメント
      -> アイテム名 & 値 ※ オプションは関数 [LAB'DataConvert] のもの
;*** -> コメント

```

```

374 LAB'IniToList[File_] := Module[{
375     path, data, line, sec, key, value, option, type, list = {}
376 },
377 (*-----*)
378 (* ファイルの絶対パスを取得 - 失敗した場合は0を返す *)
379 path = LAB'LocalFilePath[File, "ini", "notfind"];
380 If[! StringQ[path], Return@0];
381 (*-----*)
382 (* INIファイルを読み込みリスト化する - 1行=1要素 *)
383 data = Import[path, "List"];
384 (* デフォルトのグループ名 *)
385 sec = "";
386 (*-----*)
387 (* 正式なリストの生成 : 1行ごとに処理 *)
388 Do[
389     (* n行目のデータ *)
390     line = data[[n]];
391     Which[
392         (* グループ名の行 : グループ名を取得 *)
393         StringMatchQ[line, "[*]"], sec = StringTake[line, {2, -2}];,
394         (* コメント行 : 何もしない *)
395         StringMatchQ[line, ";*"], Null;;,
396         (* アイテム名&値の行 *)
397         StringMatchQ[line, "***"],
398         (* アイテム名とアイテム値に分離 *)
399         {key, value} = StringSplit[line, "=", 2];
400         (* アイテム値に含まれるコメント&オプションを除外 *)
401         value = StringSplit[value, ";" | "&"][[1]];
402         (* アイテム名&値の前後の余白を除外 *)
403         {key, value} = StringTrim@{key, value};
404         (* 行内にオプションが指定してある場合は取得し反映させる *)
405         If[StringMatchQ[line, "***"],
406             type = StringCases[line, RegularExpression["&([A-z]+)"] -> "$1"];
407             value = LAB'DataConvert[value, type];

```

```

408         (* グループ名&アイテム値を小文字化し,リストに追加 *)
409         AppendTo[list, {ToLowerCase@sec, ToLowerCase@key, value}];
410         (* *)
411         ], {n, Length@data}
412     ];
413     (*-----*)
414     (* 戻り値 *)
415     Return@list;
416 ]

```

[関数定義] LAB'ListToHandle

```

function : リストデータをハンドルに関連付ける
          - Handle[グループ名][アイテム名] = アイテム値
          - Handle["Group"] = グループ名のリスト

argument1 : ハンドル
argument2 : リストデータ - {{グループ名, アイテム名, 値},{グループ名, アイテム名, 値},...}
argument3 : グループ名(任意, 指定しなければ全て)
return    : 成功 : 1
          失敗 : 0

```

```

417 LAB'ListToHandle[Handle_, Data_, Group_...] := Module[{
418     groups
419 },
420     (* データの型が不正であれば0を返す *)
421     If[! ListQ@Data, Return@0];
422     (* グループリストの取得:指定がなければリストデータから全グループを取得 *)
423     groups = Flatten@{Group};
424     groups = Select[groups, StringQ];
425     If[Length@groups == 0, groups = Union@Data[[All, 1]]];
426     (* データを関連付け *)
427     Do[If[MemberQ[groups, Data[[n, 1]]],
428         Handle[Data[[n, 1]][Data[[n, 2]]] = Data[[n, 3]]
429     ], {n, Length@Data}];
430     (* グループ名のリストを作成 : 重複分を削除 *)
431     If[! ListQ@Handle["Group"], Handle["Group"] = {}];
432     Handle["Group"] = Union@Join[Handle["Group"], groups];
433     (* 戻り値 *)
434     Return@1;
435 ]

```

[関数定義] LAB'IniToHandle

```

function : INI ファイルのデータを読み込み,ハンドルに関連付ける
          - Handle[グループ名][アイテム名] = アイテム値
          - Handle["Group"] = グループ名のリスト
          - Handle["Source"] = Ini ファイルのパス

argument1 : ハンドル
argument2 : ファイル名(拡張子は任意) - String
argument3 : グループ名(任意, 指定しなければ全て)
return    : 成功 : 1
          失敗 : 0

```

```

436 LAB'IniToHandle[Handle_, File_, Group_...] := Module[{
437     list, ret
438 },
439     (* Iniファイルからリストデータを取得 *)
440     list = LAB'IniToList[File];
441     If[list === 0, Return@0];
442     (* リストデータをハンドルデータに関連付け *)
443     ret = LAB'ListToHandle[Handle, list, Group];
444     If[ret === 0, Return@0];
445     (* Iniファイルのパスを登録 *)

```

```

446 Handle["Source"] = LAB'LocalFilePath[File, "ini"];
447 (* 戻り値 *)
448 Return@1;
449 ]

```

[関数定義] LAB'GetHandle

function : 指定モデル/グループ名のハンドルを取得
argument1 : データモデル (リスト, All, Null, Automatic)
argument2 : グループ名 (リスト, All, Null)
return : 成功 : ハンドルリスト/ハンドル (グループ名指定でハンドルが存在しない場合は Null)
失敗 : 0

```

450 LAB'GetHandle[Model_, Name_] := Module[{
451   getHndles, selectHandle, hList = {}, ret
452 },
453 (* ===== *)
454 (* データモデルが登録された指定文字から始まるシンボル *)
455 getHndles[str_] := Module[{tmp},
456   tmp = Select[Names[str <> "*"], Head@ToExpression@# === Symbol &];
457   tmp = ToExpression@tmp;
458   tmp = Select[tmp, #["data model"] === str &];
459   Union@tmp
460 ];
461 (* リストから指定したグループ名のハンドル/Nullを選択する関数 *)
462 selectHandle[list_, name_] := Module[{tmp},
463   tmp = Select[list, #["name"] === name &];
464   If[Length@tmp > 0, Return@tmp[[1]], Return@Null]
465 ];
466 (* ===== *)
467 (* 対象となるハンドルリストを作成 *)
468 Which[
469   (* モデルが単独指定 *)
470   StringQ@Model, hList = getHndles[Model],
471   (* モデルが複数指定 *)
472   ListQ@Model, hList = Flatten[getHndles[#] & /@ Model],
473   (* モデルが未指定 *)
474   Model === Automatic || Model === Null || Model === All,
475   hList = Flatten[getHndles[#] & /@ LAB'Contents["data model"]]
476 ];
477 (* ===== *)
478 (* グループ名での絞り込み *)
479 Which[
480   (* 名前が単独指定 *)
481   StringQ@Name, Return@selectHandle[hList, Name],
482   (* 名前複数指定 *)
483   ListQ@Name, Return[selectHandle[hList, #] & /@ Name],
484   (* 名前未指定 *)
485   Name === All || Name === Null,
486   Return@hList
487 ];
488 (* ===== *)
489 (* 戻り値 *)
490 Return@0;
491 ]

```

[関数定義] LAB'UsingHandle

function : ハンドルを使用中であるかチェック
argument1 : チェックするハンドル
argument2 : オプション (未使用)
return : リアルタイムで使用中の実行用ハンドル [run*] の数

```

492 LAB'UsingHandle[Handle_, Option__] := Module[{
493   ret, rets = {}, hRuns = {}, hConfigs = {}, hlist, str1, str2,
494   option = ToLowerCase@Flatten@{Option}
495 },
496 (* ===== *)
497 (* データモデルが未知のモデルである場合終了 *)
498 If[! MemberQ[LAB'Contents["data model"],
499   Handle["data model"]],
500   Return@0];
501 (* 全ての計算設定ハンドルを取得:存在しなければ全て未使用と判断 *)
502 hlist = LAB'GetHandle["config", All];
503 If[Length@hlist == 0, Return@0];
504 (* ===== *)
505 (* 関連付けられている実行処理用ハンドル[run*]を取得 *)
506 Switch[Handle["data model"],
507   (* run *)
508   "run", hRuns = {Handle},
509   (* config *)
510   "config", hRuns = {Handle["handle:run"]},
511   (* device *)
512   "device",
513     hConfigs = Select[hlist, MemberQ[#["device list"], Handle] &];
514     hRuns = #["handle:run"] & /@ hConfigs,
515   (* system *)
516   "system",
517     hConfigs = Select[hlist, MemberQ[#["system list"], Handle] &];
518     hRuns = #["handle:run"] & /@ hConfigs
519 ];
520 (* ===== *)
521 (* ハンドルの使用状況を取得 *)
522 rets = Switch[#["state"],
523   "set", 2,
524   "standby", 0,
525   "re-new", 0,
526   "simulation", 3,
527   "abort", 3,
528   "analysis", 4,
529   _, 0] & /@ hRuns;
530 (* ===== *)
531 (* 戻り値 *)
532 Return@Length@Select[rets, # > 0 &];
533 ]

```

[関数定義] LAB'SortHandle

function : データモデルを基にハンドルリストを並び替える
argument1 : ハンドルリスト
return : 並び替えたハンドルリスト

```

534 LAB'SortHandle[HList_, ___] := Module[{
535   f
536 },
537 (* 並びえの順位を返す関数 *)
538 f[x_] := Which[
539   x["data model"] === "device" && x["device model"] === "link", 1,
540   x["data model"] === "device" && x["device model"] === "motor", 2,
541   x["data model"] === "device" && x["device model"] === "rigid", 3,
542   x["data model"] === "device" && x["device model"] === "elastic", 4,
543   x["data model"] === "device", 50,
544   x["data model"] === "system" && x["system model"] === "dgs-vsm", 51,
545   x["data model"] === "system", 100,
546   x["data model"] === "config", 101,
547   x["data model"] === "run", 102,

```

```

548     True, 200
549 ];
550 (* 戻り値 *)
551 Return@SortBy [HList, f];
552 ]

```

[関数定義] LAB'SortGroup

function : データモデルを基にハンドルのグループ名リストを並び替える
argument1 : INI ファイルから読み込んだハンドルデータ
return : グループ名リスト

```

553 LAB'SortGroup [Handle_, ___] := Module[{
554   f
555 },
556 (* 並びえの順位を返す関数 *)
557 f[x_] := Module[{
558   group = Handle[x],
559   model = Handle[x]["data model"]
560 }, Which[
561   model === "device" && group["device model"] === "link", 1,
562   model === "device" && group["device model"] === "motor", 2,
563   model === "device" && group["device model"] === "rigid", 3,
564   model === "device" && group["device model"] === "elastic", 4,
565   model === "device", 50,
566   model === "system" && group["system model"] === "dgs-vsm", 51,
567   model === "system", 100,
568   model === "config", 101,
569   model === "run", 102,
570   True, 200
571 ]];
572 (* 戻り値 *)
573 Return@SortBy [Handle["Group"], f];
574 ]

```

[関数定義] LAB'NumericalIntegration["Euler"]

function : 数値積分を行う関数を定義する - オイラー法
argument1 : 速度, 座標から加速度を返す関数
argument2 : 刻み時間
return : 定義した関数
- argument : 現在値のリスト - {q,dq}
- return : Δt 秒後の値のリスト - {q',dq'}

```

575 LAB'NumericalIntegration ["Euler", Inside_, Step_] := (
576   Return@Compile[{{now, _Real, 2}}, Module[{k1},
577     k1 = Inside[now];
578     (* return *)
579     now + Step*k1
580   ]];
581 )

```

[関数定義] LAB'NumericalIntegration["Midpoint"]

function : 数値積分を行う関数を定義する - 中点法 - 改良オイラー法
argument1 : 速度, 座標から加速度を返す関数
argument2 : 刻み時間
return : 定義した関数
- argument : 現在値のリスト - {q,dq}
- return : Δt 秒後の値のリスト - {q',dq'}

```

582 LAB'NumericalIntegration ["Midpoint", Inside_, Step_] := (

```

```

583 Return@Compile[{{now, _Real, 2}}, Module[{k1, k2},
584     k1 = Inside[now];
585     k2 = Inside[now + Step*k1/2];
586     (* return *)
587     now + Step*k2
588 ]];
589 )

```

[関数定義] LAB'NumericalIntegration["Heun"]

```

function : 数値積分を行う関数を定義する - ホイン法 - 修正オイラー法
argument1 : 速度, 座標から加速度を返す関数
argument2 : 刻み時間
return : 定義した関数
        - argument : 現在値のリスト - {q,dq}
        - return :  $\Delta t$  秒後の値のリスト - {q',dq'}

```

```

590 LAB'NumericalIntegration["Heun", Inside_, Step_] := (
591     Return@Compile[{{now, _Real, 2}}, Module[{k1, k2},
592         k1 = Inside[now];
593         k2 = Inside[now + Step*k1];
594         (* return *)
595         now + Step*(k1 + k2)/2
596     ]];
597 )

```

[関数定義] LAB'NumericalIntegration["Heun3"]

```

function : 数値積分を行う関数を定義する - ホインの3次公式
argument1 : 速度, 座標から加速度を返す関数
argument2 : 刻み時間
return : 定義した関数
        - argument : 現在値のリスト - {q,dq}
        - return :  $\Delta t$  秒後の値のリスト - {q',dq'}

```

```

598 LAB'NumericalIntegration["Heun3", Inside_, Step_] := (
599     Return@Compile[{{now, _Real, 2}}, Module[{k1, k2, k3},
600         k1 = Inside[now];
601         k2 = Inside[now + Step*k1/3];
602         k3 = Inside[now + Step*k2*2/3];
603         (* return *)
604         now + Step*(k1 + 3*k3)/4
605     ]];
606 )

```

[関数定義] LAB'NumericalIntegration["Kutta3"]

```

function : 数値積分を行う関数を定義する - クッタの3次公式
argument1 : 速度, 座標から加速度を返す関数
argument2 : 刻み時間
return : 定義した関数
        - argument : 現在値のリスト - {q,dq}
        - return :  $\Delta t$  秒後の値のリスト - {q',dq'}

```

```

607 LAB'NumericalIntegration["Kutta3", Inside_, Step_] := (
608     Return@Compile[{{now, _Real, 2}}, Module[{k1, k2, k3},
609         k1 = Inside[now];
610         k2 = Inside[now + Step*k1/2];
611         k3 = Inside[now - Step*k1 + Step*k2*2];
612         (* return *)
613         now + Step*(k1 + 4*k2 + k3)/6
614     ]];

```

615)

[関数定義] LAB'NumericalIntegration["RK4"]

```
function : 数値積分を行う関数を定義する - 4 次のルンゲクッタ法
argument1 : 速度, 座標から加速度を返す関数
argument2 : 刻み時間
return   : 定義した関数
          - argument : 現在値のリスト - {q,dq}
          - return   :  $\Delta t$  秒後の値のリスト - {q',dq'}
```

```
616 LAB'NumericalIntegration["RK4", Inside_, Step_] := (
617   Return@Compile[{{now, _Real, 2}}, Module[{k1, k2, k3, k4},
618     k1 = Inside[now];
619     k2 = Inside[now + Step*k1/2];
620     k3 = Inside[now + Step*k2/2];
621     k4 = Inside[now + Step*k3];
622     (* return *)
623     now + Step*(k1 + 2*k2 + 2*k3 + k4)/6
624   ]];
625 )
```

[関数定義] LAB'NumericalIntegration["Kutta3/8"]

```
function : 数値積分を行う関数を定義する - クッタの 3/8 公式
argument1 : 速度, 座標から加速度を返す関数
argument2 : 刻み時間
return   : 定義した関数
          - argument : 現在値のリスト - {q,dq}
          - return   :  $\Delta t$  秒後の値のリスト - {q',dq'}
```

```
626 LAB'NumericalIntegration["Kutta3/8", Inside_, Step_] := (
627   Return@Compile[{{now, _Real, 2}}, Module[{k1, k2, k3, k4},
628     k1 = Inside[now];
629     k2 = Inside[now + Step*k1/3];
630     k3 = Inside[now - Step*k1/3 + Step*k2];
631     k4 = Inside[now + Step*k1 - Step*k2 + Step*k3];
632     (* return *)
633     now + Step*(k1 + 3*k2 + 3*k3 + k4)/8
634   ]];
635 )
```

[関数定義] LAB'LagrangeEquation["link"]

```
function : ラグランジュの運動方程式より加速度を計算する関数を定義する - 多関節リンク
argument1 : 必要なアイテム値が保存されている変数群のハンドル
return   : 定義した関数 : return = f[arg1, arg2, arg3]
          - arg1~3   : 一般化座標, 一般化速度, 一般化力のリスト [List]
          - return   : 一般化加速度のリスト [List]
```

```
636 LAB'LagrangeEquation["link", Handle_] := Module[{
637   dof, l, r, m, i, c, d, q0, xy, g, t, Q, Qi, q, qi, dq, ddq,
638   absq, unitVector, relativeJ, relativeP, absJ, absP, dJ, dP,
639   T, U, V, Mv, L, Eq, Hq, rule
640 },
641 (* パラメータ読み込み *)
642 dof = Round@Handle["dof"];
643 l   = Handle["length of link"];
644 r   = l*Handle["rate of center"];
645 m   = Handle["mass"];
646 i   = Handle["moment of inertia"];
647 c   = Handle["damping of rotation"];
```

```

648 d = Handle["damping of translation"];
649 xy = {0, 0};
650 q0 = 0;
651 g = Handle["g"];
652 (* 一般化力・一般化座標 *)
653 Q = Array[Qi, dof];
654 q = Array[qi[t], dof];
655 dq = D[q, t];
656 ddq = D[dq, t];
657 (* 関節絶対角度 *)
658 absq = Accumulate[q] + q0;
659 (* リンク長手方向単位ベクトル *)
660 unitVector = {Cos[#], Sin[#]} & /@ absq;
661 (* 関節相対座標・重心位置相対座標：第一関節は原点からの座標 *)
662 relativeJ = Prepend[unitVector*1, xy];
663 relativeP = unitVector*r;
664 (* 関節絶対座標・重心位置絶対座標 *)
665 absJ = Accumulate[relativeJ];
666 absP = Drop[absJ, -1] + relativeP;
667 (* 関節座標速度・重心座標速度 *)
668 dP = D[absP, t];
669 (* 運動・ポテンシャル・散逸エネルギー *)
670 T = Total[m*dP^2/2 + i*dq^2/2, Infinity];
671 U = g*m*absP[[All, 2]] // Total;
672 V = Total[d*dP^2/2 + c*dq^2/2, Infinity];
673 (* ラグランジアン *)
674 L = T - U;
675 (* ラグランジュの運動方程式 *)
676 Eq = D[D[L, #] & /@ dq, t] - (D[L, #] & /@ q) + (D[V, #] & /@ dq);
677 (* 慣性項行列 *)
678 Mv = Coefficient[Eq, #] & /@ ddq;
679 (* 遠心力・コリオリ力項行列 *)
680 Hq = Eq /. Thread[ddq -> 0];
681 (* 関数の作成 - 文字列で作成し, 式に展開する *)
682 rule = Thread[Join[q, dq, Q] -> Join[
683   Table["q[" <> ToString[j] <> "]", {j, dof}],
684   Table["dq[" <> ToString[j] <> "]", {j, dof}],
685   Table["Q[" <> ToString[j] <> "]", {j, dof}]]];
686 Mv = StringJoin[StringSplit[ToString[InputForm[Mv /. rule]], "\""];
687 Hq = StringJoin[StringSplit[ToString[InputForm[Hq /. rule]], "\""];
688 Q = StringJoin[StringSplit[ToString[InputForm[Q /. rule]], "\""];
689 (* 戻り値 *)
690 Return@ToExpression[
691   "Compile[{{q,_Real,1},{dq,_Real,1},{Q,_Real,1}},\" <>
692   \"Inverse[\" <> Mv <> \"].(\" <> Q <> \"-\" <> Hq <> \")\"
693 ];
694 ]

```

[関数定義] LAB'LagrangeEquation["motor"]

```

function : ラグランジュの運動方程式より加速度を計算する関数を定義する - モータ
argument1 : 必要なアイテム値が保存されている変数群のハンドル
return : 定義した関数 : return = f[arg1, arg2, arg3]
        - arg1~3 : 一般化座標, 一般化速度, 一般化力のリスト [List]
        - return : 一般化加速度のリスト [List]

```

```

695 LAB'LagrangeEquation["motor", Handle_] := Module[{
696   i, c, t, Q, q, q1, dq, ddq, T, U, V, L, Eq, Mv, Hq, rule
697 },
698 (* パラメータ読み込み *)
699 i = Handle["moment of inertia"];
700 c = Handle["damping of rotation"];
701 (* 一般化力・一般化座標 *)

```

```

702 q = q1[t]; dq = D[q, t]; ddq = D[dq, t];
703 (* 運動・ポテンシャル・散逸エネルギー *)
704 T = i*dq^2/2; U = 0; V = c*dq^2/2;
705 (* ラグランジアン *)
706 L = T - U;
707 (* ラグランジュの運動方程式 *)
708 Eq = D[D[L, dq], t] - D[L, q] + D[V, dq];
709 (* 慣性項 *)
710 Mv = Coefficient[Eq, ddq];
711 (* 遠心力・コリオリ力項 *)
712 Hq = Eq /. ddq -> 0;
713 (* 関数の作成 - 文字列で作成し,式に展開する *)
714 rule = Thread[{q, dq, Q} -> {"q[[1]]", "dq[[1]]", "Q[[1]]"}];
715 Mv = StringJoin[StringSplit[ToString[InputForm[Mv /. rule]], "\""];
716 Hq = StringJoin[StringSplit[ToString[InputForm[Hq /. rule]], "\""];
717 Q = StringJoin[StringSplit[ToString[InputForm[Q /. rule]], "\""];
718 (* 戻り値 *)
719 Return@ToExpression[
720   "Compile[{{q,_Real,1},{dq,_Real,1},{Q,_Real,1}}," <>
721   "{((("<> Q <> ")-(("<> Hq <> ")))/("<> Mv <> "))}]"
722 ];
723 ]

```

[関数定義] LAB'LagrangeEquation["rigid"]

```

function : ラグランジュの運動方程式より加速度を計算する関数を定義する - 剛体
argument1 : 必要なアイテム値が保存されている変数群のハンドル
return : 定義した関数 : return = f[arg1, arg2, arg3]
        - arg1~3 : 一般化座標, 一般化速度, 一般化力のリスト [List]
        - return : 一般化加速度のリスト [List]

```

```

724 LAB'LagrangeEquation["rigid", Handle_] := Module[{
725   m, i, c, d, t, Q, Qx, Qy, Qθ, q, qx, qy, qθ, dq, ddq,
726   T, U, V, Mv, L, Eq, Hq, g, rule
727 },
728 (* パラメータ読み込み *)
729 m = Handle["mass"];
730 i = Handle["moment of inertia"];
731 c = Handle["damping of rotation"];
732 d = Handle["damping of translation"];
733 (* 一般化力・一般化座標 *)
734 Q = {Qx, Qy, Qθ};
735 q = {qx[t], qy[t], qθ[t]};
736 dq = D[q, t];
737 ddq = D[dq, t];
738 (* 運動・ポテンシャル・散逸エネルギー *)
739 T = Total[m*dq[[;; 2]]^2/2 + i*dq[[3]]^2/2, Infinity];
740 U = 0;
741 V = Total[d*dq[[;; 2]]^2/2 + c*dq[[3]]^2/2, Infinity];
742 (* ラグランジアン *)
743 L = T - U;
744 (* ラグランジュの運動方程式 *)
745 Eq = D[D[L, #] & /@ dq, t] - (D[L, #] & /@ q) + (D[V, #] & /@ dq);
746 (* 慣性項行列 *)
747 Mv = Coefficient[Eq, #] & /@ ddq;
748 (* 遠心力・コリオリ力項行列 *)
749 Hq = Eq /. Thread[ddq -> 0];
750 (* 関数の作成 - 文字列で作成し,式に展開する *)
751 rule = Thread[Join[q, dq, Q] -> Join[
752   Table["q[[" <> ToString[j] <> "]]", {j, 3}],
753   Table["dq[[" <> ToString[j] <> "]]", {j, 3}],
754   Table["Q[[" <> ToString[j] <> "]]", {j, 3}]]];
755 Mv = StringJoin[StringSplit[ToString[InputForm[Mv /. rule]], "\""];

```

```

756 Hq = StringJoin[StringSplit[ToString[InputForm[Hq /. rule]], "\\"];
757 Q = StringJoin[StringSplit[ToString[InputForm[Q /. rule]], "\\"];
758 (* 戻り値 *)
759 Return@ToExpression[
760   "Compile[{{q,_Real,1},{dq,_Real,1},{Q,_Real,1}},<>
761     "Inverse["<> Mv <> "].("<> Q <> "-" <> Hq <> ")"]"
762 ];
763 ]

```

[関数定義] LAB'RectanglePoint

```

function : 幅,高さから長方形座標を計算
argument1 : 幅
argument2 : 高さ
argument3 : 基準点 - 中心を原点とした座標指定{x,y} or 数値指定
             - 0:中心, 1:左下, 2:左上, 3:右上, 4:右下,
             - 1~5の小数:各辺上の相当する場所(例:2.3->上辺を3:7で分割した位置)
argument4 : 角度 - ラジアン
return    : 座標リスト - {{x1,y1},{x2,y2},{x3,y3},{x4,y4}}

```

```

764 LAB'RectanglePoint[{Width_, Height___}, Ref_, Angle___] := Module[{
765   list, w = Width, h = Height, ref, angle
766 },
767   (* 高さの取得 *)
768   h = If[{Height} === {}, w, {Height}][[1]];
769   (* 左下=1を基準点とした場合の座標 *)
770   list = {{0, 0}, {0, h}, {w, h}, {w, 0}};
771   (* 基準座標を取得 *)
772   If[VectorQ[Ref], ref = Ref];(* {x,y}指定 *)
773   If[NumberQ[Ref] && Ref == 0, ref = {w/2, h/2}];(* 中心 *)
774   If[NumberQ[Ref] && 1 <= Ref <= 5, Which[
775     Ref == 1, ref = {0, 0},(* 左下の頂点 *)
776     Ref == 2, ref = {0, h},(* 左上の頂点 *)
777     Ref == 3, ref = {w, h},(* 右上の頂点 *)
778     Ref == 4, ref = {w, 0},(* 右下の頂点 *)
779     Ref == 5, ref = {0, 0},(* 左下の頂点 *)
780     1 < Ref < 2, ref = {0, (Ref - 1)*h},(* 左辺 *)
781     2 < Ref < 3, ref = {(Ref - 2)*w, h},(* 上辺 *)
782     3 < Ref < 4, ref = {w, h - (Ref - 3)*h},(* 右辺 *)
783     4 < Ref < 5, ref = {w - (Ref - 4)*w, 0},(* 下辺 *)
784     True, ref = {w/2, h/2}(* 中心 *)
785   ]];
786   (* 基準座標系にずらす *)
787   list = (# - ref) & /@ list;
788   (* 角度を取得,回転させる *)
789   If[! {Angle} === {},
790     angle = {Angle}[[1]];
791     list = RotationMatrix[angle].# & /@ list;
792   ];
793   (* 戻り値 *)
794   Return@list;
795 ]

```

[関数定義] LAB'PolygonAngle

```

function : ポリゴン座標から各辺の角度を計算
argument1 : ポリゴン座標リスト - 複数ポリゴンを指定可
return    : リスト - ポリゴン各辺の角度

```

```

796 LAB'PolygonAngle[Polygon_] := Module[{
797   f, list
798 },
799   (* ポリゴンに対して各辺の角度を返す関数を作成 *)

```

```

800 f[x_] := Module[{polygon = Append[x, x[[1]]],
801   Table[ArcTan[#[[1]], #[[2]]] &@(polygon[[n + 1]] - polygon[[n]])
802     , {n, Length@x}]
803 ];
804 (* 対称のポリゴンが一つか複数かで分岐 - ネストの深さで判定 *)
805 Switch[Length@Dimensions@Polygon,
806   2, list = f[#] &@Polygon, (* 一つの場合 *)
807   3, list = f[#] & /@ Polygon (* 複数の場合 *)
808 ];
809 (* 戻り値 *)
810 Return@list;
811 ]

```

[関数定義] LAB'PolygonLength

function : ポリゴン座標から各辺の長さを計算
argument1 : ポリゴン座標リスト - 複数ポリゴンを指定可
return : リスト - ポリゴン各辺の長さ

```

812 LAB'PolygonLength[Polygon_] := Module[{
813   f, list
814 },
815 (* ポリゴンに対して各辺の長さを返す関数を作成 *)
816 f[x_] := Module[{polygon = Append[x, x[[1]]],
817   Table[Norm@(polygon[[n + 1]] - polygon[[n]]), {n, Length@x}]
818 ];
819 (* 対称のポリゴンが一つか複数かで分岐 - ネストの深さで判定 *)
820 Switch[Length@Dimensions@Polygon,
821   2, list = f[#] &@Polygon, (* 一つの場合 *)
822   3, list = f[#] & /@ Polygon (* 複数の場合 *)
823 ];
824 (* 戻り値 *)
825 Return@list;
826 ]

```

[関数定義] LAB'Autocomplete["All"]

function : ハンドルに登録されている全グループのパラメータを自動補完
argument1 : 全データのハンドル / 文字列の場合は INI ファイルから読み込む
return : 登録に成功したグループ名リスト

```

827 LAB'Autocomplete["All", Handle_, ___] := Module[{
828   ret = {}, handle, groups, tmp
829 },
830 (* ===== *)
831 (* ハンドルを取得 *)
832 Which[
833   (* ハンドル指定 *)
834   Head@Handle === Symbol, handle = Handle,
835   (* INIファイルパス指定 *)
836   StringQ@Handle, LAB'IniToHandle[handle, Handle];
837 ];
838 (* ハンドルの取得に失敗した場合は0を返す *)
839 If[! Head@handle === Symbol, Return@0];
840
841 (* ===== *)
842 (* グループ名リストを取得 : デバイス->システム->計算設定 の順にソート *)
843 groups = handle // LAB'SortGroup;
844 (* 各グループの登録 : 成功したグループ名を戻り値リストに追加 *)
845 Do[
846   tmp = LAB'Autocomplete["Auto", handle, groups[[n]]];
847   If[! tmp === 0, AppendTo[ret, groups[[n]]];
848   , {n, Length@groups}];

```

```

849 (* 戻り値 *)
850 Return@ret;
851 ]

```

[関数定義] LAB'Autocomplete["Auto"]

```

function : パラメータを自動補完, 必要なパラメータが登録されているかをチェック
argument1 : 全データのハンドル / 文字列の場合は INI ファイルから読み込む
argument2 : グループ名 - String
return : 成功 : グループの独立ハンドル
        失敗 : 0

```

```

852 LAB'Autocomplete["Auto", Handle_, Group_, ___] := Module[{
853   handle, datamodel, contentmodel, hContent, ret
854 },
855 (* ===== *)
856 (* ハンドルを取得 *)
857 Which[
858   (* ハンドル指定 *)
859   Head@Handle == Symbol, handle = Handle,
860   (* INIファイルパス指定 *)
861   StringQ@Handle, LAB'IniToHandle[handle, Handle];
862 ];
863 (* ハンドルの取得に失敗した場合は0を返す *)
864 If[! Head@handle == Symbol, Return@0];
865
866 (* ===== *)
867 (* データモデルを取得 - 失敗した場合は0を返す *)
868 datamodel = handle[Group]["data model"];
869 If[! MemberQ[LAB'Contents["data model"], datamodel], Return@0];
870 (* コンテンツのモデルを取得 - 失敗した場合は0を返す *)
871 contentmodel = Switch[datamodel,
872   "device", handle[Group]["device model"],
873   "system", handle[Group]["system model"],
874   "config", "config",
875   _, Return@0];
876 (* コンテンツの独立ハンドルを作成 - 既に登録済みの場合はそのまま *)
877 hContent = LAB'GetHandle[All, Group];
878 If[hContent == Null, hContent = Unique[datamodel]];
879 (* 開始ログ *)
880 LAB'Log["● ", Group,
881   " : [", contentmodel, "]の登録を行います : ", hContent];
882 (* ハンドルを使用中の場合は処理を停止 *)
883 If[LAB'UsingHandle[hContent] > 0,
884   LAB'Warning["↓ ハンドルを使用中のため処理を中断します"]; Return@0];
885
886 (* ===== *)
887 (* モデルに応じた関数を実行 *)
888 ret = LAB'Autocomplete[contentmodel,
889   handle, hContent, Group, Automatic];
890 (* 成功した場合 - ハンドルのソースを登録 *)
891 If[ret == hContent,
892   hContent["Source"] = If[StringQ@#, #, "---"] &@handle["Source"];
893   Return@hContent;
894 ];
895 (* 失敗した場合 *)
896 Return@0;
897 ]

```

[関数定義] LAB'Autocomplete["Modification"]

```

function : 指定アイテムの値が正しいか確認する, 必要に応じて修正/規定値の使用
          LAB'Autocomplete["Registration"] で呼び出される

```

```

argument1 : Haddle[アイテム名]=アイテム値 となるハンドル
argument2 : アイテム名
argument3 : 値の型 ※ 関数 [CheckValue] で使用可能な型 (int,float,str,replacement)
            {***,num} - list[num]:* に変換
            list:*** - いずれかの型のリスト (要素数は自動判別)
            list[*]:*** - いずれかの型のリスト (要素数指定)
argument4 : 規定値
return    : 1 : 問題がない場合
            0 : 修正を行った場合
            -1 : 型の指定が不正である場合 - 値に Null が代入された場合
            -2 : 規定値の要素数が不正である場合

```

```

898 LAB'Autocomplete["Modification", Handle_, Item_, Type_, Pre_] := Module[{
899   compare, type = Type, pre = Pre, new, elements = 0, tmp,
900   old = Handle[Item]
901 },
902 (* ===== *)
903 (* 値を比較する関数 *)
904 compare[new_, old_] := Module[{bool},
905 (* 一致しているかの評価 *)
906 bool = (TrueQ[new == old] || new === old);
907 (* 戻り値 1:一致, -1:new=NULL(Typeが不正), 0:不一致(正常に修正) *)
908 Which[bool === True, 1, new === Null, -1, True, 0]];
909 (* ===== *)
910 (* 型が{リスト}である場合は修正 *)
911 If[ListQ@type,
912   type = "list[" <> ToString@type[[2]] <> "]:" <> ToString@type[[1]]];
913 (* 型を小文字に修正 *)
914 type = ToLowerCase@type;
915 (* ===== *)
916 (* 型がヘッダーで指定されている -> そのまま関数[CheckValue]を呼び出す *)
917 If[! StringQ@type,
918   Handle[Item] = new = LAB'CheckValue[old, type, pre];
919   Return@compare[new, old];
920 ];
921 (* 型が文字列で"replacement"である -> 強制置換 *)
922 If[type === "replacement",
923   Handle[Item] = Pre;
924   Return@1;
925 ];
926 (* 型が文字列で"list"を含まない -> そのまま関数[CheckValue]を呼び出す *)
927 If[! StringMatchQ[type, "*list*"],
928   Handle[Item] = new = LAB'CheckValue[old, type, pre];
929   Return@compare[new, old];
930 ];
931 (* ===== *)
932 (* 対象がリストである場合 -> 型に"list"が含まれる場合 *)
933 (* リスト要素数を取得する *)
934 (* ----- *)
935 (* 型の文字列内で "list[***]" のように要素数が指定されている場合 *)
936 If[StringContainsQ[type, "list[" ~ _ ~ " ]"],
937   elements = StringDelete[type, {"list[" ~ _ ~ " ]"}];
938   If[StringMatchQ[elements, Characters["0123456789"] ..],
939     (* "****"の部分が整数 -> その整数値 *)
940     elements = ToExpression@elements,
941     (* "****"の部分が文字 -> Handle["****"]の値, 整数でなければ-2を返す *)
942     elements = Handle[elements];
943     If[! IntegerQ@elements, Return[-2]];
944   ];
945 (* ----- *)
946 (* 型の文字列内で要素数が指定されていない場合 *)
947 (* 優先順位 - アイテム値の要素数 -> 修正値の要素数 -> 1 *)
948 If[elements == 0, elements = Length@old];

```

```

949 If[elements == 0, elements = Length@pre];
950 If[elements == 0, elements = 1];
951 (*-----*)
952 (* 型からリスト情報を削除する *)
953 type = StringDelete[
954   type, {"list[" ~~ _ _ _ ~~ "]" , "list", ":", Whitespace}];
955 (* 規定値がリストでない場合に, 同一要素でリスト化する *)
956 If[! ListQ@pre, pre = ConstantArray[pre, elements]];
957 (* 規定値の要素数が変換要素数に対し不足している場合, -2を返す *)
958 If[Length@pre < elements, Return[-2]];
959 (* アイテム値がリストでない場合に, 同一要素でリスト化する *)
960 tmp = Handle[Item];
961 If[! ListQ@old, tmp = ConstantArray[old, elements]];
962 (* アイテム値の要素数が変換要素数に対し不足している場合, Nullで埋める *)
963 If[Length@tmp < elements,
964   tmp = Join[tmp, ConstantArray[Null, elements - Length@tmp]];
965 ];
966 (* 関数[CheckValue]を呼び出す *)
967 Handle[Item] = new = Table[
968   LAB`CheckValue[tmp[[n]], type, pre[[n]], {n, elements}];
969   Return@compare[new, old];
970 ]

```

[関数定義] LAB`Autocomplete["Registration"]

```

function : コンテンツのアイテム値を登録する
argument1 : 全データのハンドル / 文字列の場合は INI ファイルから読み込む
argument2 : コンテンツのハンドル
argument3 : グループ名 (デバイス名) - String
argument4 : アイテム情報のリスト - {{名前, 型, 規定値}...}
return : 成功 : 1
        失敗 : 0

```

```

971 LAB`Autocomplete["Registration", Handle_, hContent_, Group_, Items_] :=
972 Module[{
973   name, type, pre, old, ret
974 },
975 (*-----*)
976 (* パラメータの登録 *)
977 (hContent[#] = Handle[Group][#]) & /@ Items[[All, 1]];
978
979 (*-----*)
980 (* パラメータの修正 *)
981 Do[
982   (* アイテムの名前, 型, 規定値を取得 *)
983   {name, type, pre} = Items[[n]];
984   (* 修正前の値を保存 - old=Handle[Group][name]と定義される *)
985   old = hContent[name];
986   (* アイテム値を修正する関数の実行 *)
987   Switch[
988     ret = LAB`Autocomplete["Modification", hContent, name, type, pre],
989     (* 問題がない *)
990     1, Null,
991     (* 修正が行われた *)
992     0, LAB`Warning[
993       "↓ パラメータ修正 [" , name, " ] ",
994       If[Head@old == Handle[Group], "Null", old],
995       " -> " , hContent[name]],
996     (* エラーコードが返された *)
997     _, LAB`Error[
998       "↓ パラメータ修正に失敗 [" , name, " ] return code=", ret]
999   ], {n, Length@Items}
1000 ];

```

```

1001
1002 (*=====*)
1003 (* コンテンツのアイテムリストを作成 *)
1004 If[! ListQ@hContent["Items"], hContent["Items"] = {}];
1005 If[! MemberQ[hContent["Items"], #],
1006     AppendTo[hContent["Items"], #] & /@ Items[[All, 1]];
1007
1008 (*=====*)
1009 (* アイテムを羅列する文字列を作成 *)
1010 hContent["str:Items"] = LAB'DataConvert[{
1011     hContent, "[\"", #, "\"]="",
1012     Which[
1013         StringQ@#, ToString[#, InputForm],
1014         ListQ@#, StringDelete[ToString[#, InputForm], Whitespace],
1015         True, ToString[#]
1016     ] &@hContent[#],
1017     ";\n"
1018 } & /@ hContent["Items"], "strjoin"];
1019
1020 (*=====*)
1021 (* 戻り値 *)
1022 Return@1;
1023 ]

```

[関数定義] LAB'Autocomplete["Cells"]

function : パラメータを一括表示するセルリストを作成
argument1 : コンテンツのハンドル
argument2 : セルを構成するデータ - {{表示コード1, オプション..},{表示コード2, オプション..}..
return : セルリスト

```

1024 LAB'Autocomplete["Cells", Cells_] := Module[{
1025     list, code, option, style, bgcolor, flame, flamecolor, font, fontsize
1026 },
1027 (*=====*)
1028 (* 空のリストを作成 *)
1029 list = {};
1030 (* 各要素ごとの処理 *)
1031 Do[
1032     (* 表示コード, オプションの取得 *)
1033     If[ListQ@{Cells}[[n]],
1034         code = {Cells}[[n, 1]]; option = ToLowerCase@{Cells}[[n, 2 ;;]];
1035         code = {Cells}[[n]]; option = {};
1036     ];
1037     (* セルのスタイル, デフォルトの背景色&フォントを取得 *)
1038     {style, bgcolor, flame, flamecolor, font, fontsize} = Which[
1039         (* セクション *)
1040         MemberQ[option, "section"], {"Section", Bold, Italic},
1041         LightRed, {{0, 0}, {0, 1.5}}, Red, "Consolas", 20},
1042         (* サブセクション *)
1043         MemberQ[option, "subsection"], {"Subsection", Bold},
1044         LightGreen, {{0, 0}, {0, 1.5}}, Green, "Consolas", 14},
1045         (* サブサブセクション *)
1046         MemberQ[option, "subsubsection"], {"Subsubsection", Bold},
1047         LightBlue, {{0, 0}, {0, 1.5}}, Blue, "Consolas", 14},
1048         (* 入力 = デフォルト *)
1049         True, {"Input", Bold},
1050         LightYellow, 0, Black, "Courier New", 13}
1051 ];
1052 (* リストに追加 *)
1053 AppendTo[list, Cell[
1054     BoxData[code], style, Background -> bgcolor,
1055     CellFrame -> flame, CellFrameColor -> flamecolor,

```

```

1056         FontFamily -> font, FontSize -> fontsize
1057     ]];
1058     , {n, Length@{Cells}}];
1059     (* ===== *)
1060     (* 戻り値 *)
1061     Return@list;
1062 ]

```

[関数定義] LAB'Autocomplete["link"]

function : デバイスのパラメータを自動補完 - 多関節リンク
argument1 : 全データのハンドル
argument2 : デバイスハンドル
argument3 : グループ名 (デバイス名) - String
return : デバイス用独立ハンドル (device*)

```

1063 LAB'Autocomplete["link", Handle_, hDevice_, Group_, ___] := Module[{
1064     list, mm = N[10^(-3)], g = N[10^(-3)], μ = N[10^(-6)],
1065     dof, l, h, θ, pos, basepolygon,
1066     toStr, rules
1067 },
1068     list = #[[2 ;;, 1 ;; 3]] &@ {
1069         {(* アイテム名 *), (* 型 *), (* 基準値 *) },
1070         {"data model", "replacement", "device" },
1071         {"device model", "replacement", "link" },
1072         {"name", "replacement", Group },
1073         {"dof", "int", 2 },
1074         {"length of link", "list[dof]:float", 50*mm },
1075         {"rate of center", "list[dof]:float", 0.5 },
1076         {"basic height", "list[dof]:float", 30*mm },
1077         {"mass", "list[dof]:float", 100*mm },
1078         {"moment of inertia", "list[dof]:float", 50*μ },
1079         {"damping of rotation", "list[dof]:float", 0.03 },
1080         {"damping of translation", "list[dof]:float", 0 },
1081         {"ref pos", "list[2] :float", {0, 0}*mm },
1082         {"ref angle", "float", 0*Degree },
1083         {"base length", "float", 100*mm },
1084         {"base height", "float", 30*mm },
1085         {"base angle", "float", 0*Degree },
1086         {"g", "float", 0 }
1087     };
1088
1089     (* ===== *)
1090     (* アイテム値の登録 *)
1091     LAB'Autocomplete["Registration", Handle, hDevice, Group, list];
1092     (* よく使うパラメータを変数登録 *)
1093     dof = hDevice["dof"];
1094     l = hDevice["length of link"];
1095     h = hDevice["basic height"];
1096     θ = hDevice["ref angle"] + hDevice["base angle"];
1097     pos = hDevice["ref pos"];
1098
1099     (* ===== *)
1100     (* ポリゴン, ポイントの取得: ベーシック *)
1101     hDevice["polygon"] =
1102         Table[LAB'RectanglePoint[{l[[n]], h[[n]]}, 1.5], {n, dof}];
1103     hDevice["polygon:j"] = Range@dof;
1104     hDevice["line enable"] = Table[{0, 1, 0, 1}, {n, dof}];
1105     hDevice["point"] = Table[{0, 0}, {n, dof}];
1106     hDevice["point:j"] = Range@dof;
1107     hDevice["point enable"] = Table[If[n == 1, 1, 0], {n, dof}];
1108     hDevice["point radius"] = Table[h[[n]]/2, {n, dof}];
1109     (* ポリゴン, ポイントの取得: ベース *)

```



```

1238 (* 編集用セルデータの作成[関数] *)
1239 hDevice["Cells"] := LAB'Autocomplete["Cells",
1240   {Group <> " [" <> ToString@hDevice <> "]" , "subsection"},
1241   {"Parameter", "subsection"}, hDevice["str:Items"],
1242   {"eq:q2j", "subsection"}, hDevice["str:q2j"],
1243   {"eq:q2point", "subsection"}, hDevice["str:q2point"],
1244   {"eq:q2polygon", "subsection"}, hDevice["str:q2polygon"]
1245 ];
1246 (* 戻り値 *)
1247 Return@hDevice;
1248 ]

```

[関数定義] LAB'Autocomplete["motor"]

function : デバイスのパラメータを自動補完 - モータ
argument1 : 全データのハンドル
argument2 : デバイスハンドル
argument3 : グループ名(デバイス名) - String
return : デバイス用独立ハンドル (device*)

```

1249 LAB'Autocomplete["motor", Handle_, hDevice_, Group_, ___] := Module[{
1250   list, mm = N[10^(-3)], g = N[10^(-3)], ret, old, name, type, pre
1251 },
1252   list = #[[2 ;;, 1 ;; 3]] &@ {
1253     {(* アイテム名 *), (* 型 *), (* 基準値 *)},
1254     {"data model", "replacement", "device" },
1255     {"device model", "replacement", "motor" },
1256     {"name", "replacement", Group },
1257     {"dof", "replacement", 1 },
1258     {"moment of inertia", "float", 1 },
1259     {"damping of rotation", "float", 1 },
1260     {"target", "float", 0 },
1261     {"target-max", "float", 100 },
1262     {"target-min", "float", -100 },
1263     {"target-move", "float", 0.1 },
1264     {"method", "string", "P" },
1265     {"kp", "float", 1 },
1266     {"kd", "float", 0 },
1267     {"ki", "float", 0 },
1268     {"maximum output", "float", 5 }
1269   }
1270
1271   (*=====*)
1272   (* アイテム値の登録 *)
1273   LAB'Autocomplete["Registration", Handle, hDevice, Group, list];
1274   (* パラメータ補完:初期値 *)
1275   hDevice["q0"] = ConstantArray[0, hDevice["dof"]];
1276   hDevice["dq0"] = ConstantArray[0, hDevice["dof"]];
1277   (* パラメータ補完:制御対象リスト *)
1278   hDevice["controls"] = {"target"};
1279
1280   (*=====*)
1281   (* 運動方程式の定義 *)
1282   hDevice["eq:ddq"] = LAB'LagrangeEquation["motor", hDevice];
1283   LAB'Log["↓ ラグランジュ法による運動方程式を登録しました"];
1284   (* 初期値を一括セットする関数 *)
1285   hDevice["eq:preset"][run_] := (
1286     run[hDevice, "q0"] = hDevice["q0"];
1287     run[hDevice, "dq0"] = hDevice["dq0"];
1288     run[hDevice, "target"] = hDevice["target"];
1289   );
1290   (* トルク計算式 - 制御方式に従う *)
1291   With[{

```

```

1292     kp = hDevice["kp"], kd = hDevice["kd"], ki = hDevice["ki"],
1293     max = hDevice["maximum output"]
1294   },
1295   Switch[hDevice["method"],
1296     (* P制御 *)
1297     "P", hDevice["eq:q2Q"] = Compile[{{q, _Real, 1}, {target, _Real}},
1298       Module[{out},
1299         out = ({target*Degree} - q)*kp;
1300         If[out[[1]] > max, out = {max}];
1301         If[out[[1]] < -max, out = {-max}];
1302         out
1303       ]];
1304   ];
1305 ];
1306 (*=====*)
1307 (* 編集用セルデータの作成[関数] *)
1308 hDevice["Cells"] := LAB'Autocomplete["Cells",
1309   {Group <> " [" <> ToString@hDevice <> "]"}, "subsection"},
1310   {"Parameter", "subsubsection"}, hDevice["str:Items"]
1311 ];
1312 (* 戻り値 *)
1313 Return@hDevice;
1314 ]

```

[関数定義] LAB'Autocomplete["rigid"]

function : デバイスのパラメータを自動補完 - 剛体
argument1 : 全データのハンドル
argument2 : デバイスハンドル
argument3 : グループ名(デバイス名) - String
return : デバイス用独立ハンドル (device*)

```

1315 LAB'Autocomplete["rigid", Handle_, hDevice_, Group_, ___] := Module[{
1316   list, sublist, mm = N[10^(-3)], g = N[10^(-3)], μ = N[10^(-6)],
1317   ret, old, name, type, pre, toStr, rules, form
1318 },
1319   list = #[[2 ;;, 1 ;; 3]] &@ {
1320     {(* アイテム名 *), (* 型 *), (* 基準値 *)},
1321     {"data model", "replacement", "device" },
1322     {"device model", "replacement", "rigid" },
1323     {"name", "replacement", Group },
1324     {"dof", "replacement", 3 },
1325     {"mass", "float", 100*g },
1326     {"moment of inertia", "float", 1*μ },
1327     {"damping of rotation", "float", 0.001 },
1328     {"damping of translation", "float", 0.3 },
1329     {"pos", "list[2]:float", {0, 0}*mm },
1330     {"angle", "float", 0*Degree },
1331     {"form", "string", "round" }
1332   };
1333   sublist["round"] = #[[2 ;;, 1 ;; 3]] &@ {
1334     {(* アイテム名 *), (* 型 *), (* 基準値 *)},
1335     {"radius", "float", 50*mm }
1336   };
1337   sublist["rectangle"] = #[[2 ;;, 1 ;; 3]] &@ {
1338     {(* アイテム名 *), (* 型 *), (* 基準値 *)},
1339     {"radius", "float", 5*mm },
1340     {"height", "float", 50*mm },
1341     {"width", "float", 50*mm }
1342   };
1343 ];
1344 (*=====*)
1345 (* アイテム値の登録 *)

```

```

1346 LAB'Autocomplete["Registration", Handle, hDevice, Group, list];
1347 form = hDevice["form"];
1348 LAB'Autocomplete["Registration", Handle, hDevice, Group, sublist[form]];
1349 (* パラメータ補完:形状関連 *)
1350 Switch[form,
1351   "round",
1352     hDevice["polygon"]      = {};
1353     hDevice["point"]       = {{0, 0}};
1354     hDevice["point enable"] = {1};
1355     hDevice["point radius"] = {hDevice["radius"]};
1356     hDevice["line angle"]  = {};
1357     hDevice["line length"] = {};
1358     hDevice["line enable"] = {};,
1359   "rectangle",
1360     hDevice["polygon"] =
1361       LAB'RectanglePoint[{hDevice["width"], hDevice["height"]}, 0];
1362     hDevice["point"]    = hDevice["polygon"];
1363     hDevice["point enable"] = {1, 1, 1, 1};
1364     hDevice["point radius"] = {0, 0, 0, 0};
1365     hDevice["line angle"]  = LAB'PolygonAngle@hDevice["polygon"];
1366     hDevice["line length"] = LAB'PolygonLength@hDevice["polygon"];
1367     hDevice["line enable"] = {1, 1, 1, 1};
1368 ];
1369 (* パラメータ補完:初期値 *)
1370 hDevice["q0"]      = Join[hDevice["pos"], {hDevice["angle"]}];
1371 hDevice["dq0"]    = ConstantArray[0, hDevice["dof"]];
1372 (* パラメータ補完:制御対象リスト *)
1373 hDevice["controls"] = {};
1374
1375 (*=====*)
1376 (* 運動方程式の定義 *)
1377 hDevice["eq:ddq"] = LAB'LagrangeEquation["rigid", hDevice];
1378 LAB'Log["↓ ラグランジュ法による運動方程式を登録しました"];
1379 (* 初期値を一括セットする関数 *)
1380 hDevice["eq:preset"][run_] := (
1381   run[hDevice, "q0"] = hDevice["q0"];
1382   run[hDevice, "dq0"] = hDevice["dq0"];
1383 );
1384
1385 (*=====*)
1386 (* 補助関数,データの生成 *)
1387 toStr[x_] := LAB'DataConvert[hDevice[x], "strd"];
1388 rules = {
1389   "$handle"  -> ToString@hDevice,
1390   "$point"   -> toStr["point"],
1391   "$polygon" -> toStr["polygon"],
1392   "$radius"  -> toStr["point radius"],
1393   "$nPolygon" -> ToString@Length@hDevice["polygon"],
1394   "$nPoint"  -> ToString@Length@hDevice["point"]
1395 };
1396
1397 (*=====*)
1398 (* 関数定義 : 一般化座標 -> ポイント座標 *)
1399 hDevice["str:q2point"] = StringReplace[
1400   "Compile[{{q,_Real,1}
1401   },With[{
1402     point=$point,
1403     radius=$radius
1404   },
1405     Table[{q[[1]],q\
1406 [[2]],radius[[\
1407 n]]}+{
1408     point[[n,1]]*Cos[q\
1409 [[3]]]-point[[\

```



```

1456 list = #[[2 ;;, 1 ;; 3]] &@ {
1457   {(* アイテム名 *), (* 型 *), (* 基準値 *), □ },
1458   {"data model", "replacement", "system", □ },
1459   {"system model", "replacement", "dgs-vsm", □ },
1460   {"name", "replacement", Group, □ },
1461   {"dof", "replacement", dof, □ },
1462   {"conect-link", "string", "", □ },
1463   {"conect-drive", "string", "", □ },
1464   {"conect-vsm", "string", "", □ },
1465   {"method", "string", "standard", □ },
1466   {"spring modulus", {"float", dof}, 1, "[N/mm]"},
1467   {"initial tension", {"float", dof}, 0.4, "[N]"},
1468   {"initial length", {"float", dof}, 0, "[mm]"},
1469   {"1st pulley r", {"float", dof}, 4, "[mm]"},
1470   {"vsm pulley r", {"float", dof}, 4, "[mm]"},
1471   {"z1", "int", 30, □ },
1472   {"zs", "int", 20, □ },
1473   {"direction", "int", 1, □ }
1474 }
1475
1476 (*=====*)
1477 (* システムを接続するデバイスの名前, ハンドルを取得 *)
1478 conectItem = {"conect-link", "conect-drive", "conect-vsm"};
1479 Do[
1480   item = conectItem[[n]];
1481   (* デバイス名を取得 *)
1482   sConect[item] = Handle[Group][item];
1483   If[! StringQ@sConect[item] || sConect[item] == "",
1484     LAB'Warning["↓ パラメータ取得に失敗 [" , item, "]];
1485     LAB'Warning["↓ 処理を中断します"];
1486     END];
1487   (* デバイスハンドルを取得 *)
1488   hConect[item] = LAB'GetHandle["device", sConect[item]];
1489   If[hConect[item] === Null,
1490     LAB'Warning["↓ デバイス[" , sConect[item], "]の登録が必要です"];
1491     LAB'Warning["↓ 処理を中断します"];
1492     END];
1493   (* 成功ログ *)
1494   LAB'Log["↓ デバイスを接続しました : ",
1495     hConect[item], " [" , sConect[item], "]];
1496   (* 接続するデバイスの数だけ繰り返す *)
1497   , {n, Length@conectItem}];
1498
1499 (*=====*)
1500 (* 自由度の取得 *)
1501 dof = hConect["conect-link"]["dof"];
1502 (* アイテム値の登録 *)
1503 LAB'Autocomplete["Registration", Handle, hSystem, Group, list];
1504 (* パラメータ補完: 接続デバイスハンドル *)
1505 hSystem["handle-link"] = hConect["conect-link"];
1506 hSystem["handle-drive"] = hConect["conect-drive"];
1507 hSystem["handle-vsm"] = hConect["conect-vsm"];
1508 (* パラメータ補完: 制御対象リスト *)
1509 hSystem["controls"] = {};
1510
1511 (*=====*)
1512 (* トルク計算式 - システム方式に従う *)
1513 With[{
1514   z1 = hSystem["z1"], zs = hSystem["zs"],
1515   k = hSystem["spring modulus"],
1516   it = hSystem["initial tension"], il = hSystem["initial length"],
1517   r1 = hSystem["1st pulley r"], rv = hSystem["vsm pulley r"],
1518   dir = hSystem["direction"]
1519 },

```

```

1520 Switch[hSystem["method"],
1521   (* 標準 *)
1522   "standard",
1523   hSystem["eq:q2Q"] = Compile[{
1524     {q, _Real, 1}, {drive, _Real, 1}, {vsm, _Real, 1}
1525   },
1526   Module[{qbase, stretch, tension,  $\tau$  base,  $\tau$  link},
1527     qbase = (z1^2 - zs^2)/zs^2*q - drive[[1]]*dir; (* [degree] *)
1528     qbase[[1]] *= (zs^2/z1^2);
1529     stretch = il + r1*Abs[qbase] + rv*vsm[[1]]; (* [mm] *)
1530     tension = it + k*stretch; (* [N] *)
1531      $\tau$  base = -Sign[qbase]*r1*10^(-3)*tension; (* [Nm] *)
1532      $\tau$  link = (z1^2 - zs^2)/zs^2* $\tau$  base;
1533      $\tau$  link[[1]] *= (zs^2/z1^2);
1534      $\tau$  link
1535   ]];
1536 ];
1537 (* ===== *)
1538 (* 編集用セルデータの作成 [関数] *)
1539 hSystem["Cells"] := LAB'Autocomplete["Cells",
1540   {Group <> " [" <> ToString@hSystem <> "]" , "subsection"},
1541   {"Parameter", "subsubsection"}, hSystem["str:Items"]
1542 ];
1543 (* 戻り値 *)
1544 Return@hSystem;
1545 Label["END"];
1546 Return@0;
1547 ]

```

[関数定義] LAB'Autocomplete["config"]

```

function : 各グループを統合した計算に必要なデータを生成
argument1 : 全データのハンドル
argument2 : 計算設定ハンドル
argument3 : グループ名 (計算設定名) - String
argument4 : 計算に組み込むデバイス, システムのハンドルリスト / Automatic / Null
return : 計算設定用独立ハンドル

```

```

1548 LAB'Autocomplete["config", Handle_, hConfig_, Group_, Contents_, ___] :=
1549 Module[{
1550   list, hContents = {}, tmp, handle, ret, old, name, type, pre
1551 },
1552   list = #[[2 ;;, 1 ;; 3]] &@ {
1553     (* アイテム名 *),      (* 型 *),      (* 基準値 *)},
1554     {"data model",        "float",        "config"   },
1555     {"name",              "replacement", Group      },
1556     {"contents",          "string",          "{}"       },
1557     {"target time",       "int",            5          },
1558     {"integration method", "float",          "RK4"     },
1559     {"calc/sec",          "int",            1200      },
1560     {"calc/rec",          "int",            1          },
1561     {"left",              "replacement",   -0.3      },
1562     {"right",             "replacement",   0.3       },
1563     {"bottom",            "replacement",   -0.27     },
1564     {"top",               "replacement",   0.28     },
1565     {"size",              "replacement",   500       }
1566   }
1567   (* ===== *)
1568   (* コンテンツリストの作成 - デバイス, システム *)
1569   Which[
1570     (* リストが指定されている場合 *)
1571     ListQ@Contents, tmp = Flatten@Contents,
1572     (* Automatic/Nullが指定されている場合 *)

```

```

1573     Contents === Automatic || Contents === Null,
1574     tmp = LAB'DataConvert[Handle[Group]["contents"], "list"]
1575 ];
1576 (* コンテンツのハンドルリストを作成 *)
1577 Do[Which[
1578     (* ハンドルを直接指定している場合はそのまま追加 *)
1579     Head[tmp[[n]]] === Symbol,
1580     handle = tmp[[n]];
1581     name = handle["name"];
1582     AppendTo[hContents, handle];
1583     LAB'Log["↓ コンテンツを登録しました : ", handle, " [" , name, " ]"],
1584     (* デバイス/システム名を指定している場合はハンドルを取得し追加 *)
1585     StringQ[tmp[[n]],
1586     name = tmp[[n]];
1587     handle = LAB'GetHandle[Null, tmp[[n]]];
1588     AppendTo[hContents, handle];
1589     LAB'Log["↓ コンテンツを登録しました : ", handle, " [" , name, " ]"]
1590 ], {n, Length[tmp}];
1591
1592 (*=====*)
1593 (* アイテム値の登録 *)
1594 LAB'Autocomplete["Registration", Handle, hConfig, Group, list];
1595 (* 補完パラメータの登録 *)
1596 hConfig["step"] = N[1/hConfig["calc/sec"]];
1597 hConfig["device list"] = LAB'SortHandle@
1598     Select[hContents, #["data model"] === "device" &];
1599 hConfig["system list"] = LAB'SortHandle@
1600     Select[hContents, #["data model"] === "system" &];
1601
1602 (*=====*)
1603 (* 編集用セルデータの作成[関数] *)
1604 hConfig["Cells"] := LAB'Autocomplete["Cells",
1605     {Group <> " [" <> ToString[hConfig <> " ]", "subsection"},
1606     {"Parameter", "subsubsection"}, hConfig["str:Items"]
1607 ];
1608 (* 戻り値 *)
1609 Return[hConfig];
1610 ]

```

[関数定義] LAB'String["rendering"]

function : 現在値リストからグラフィックスを生成する関数のコードを文字列で生成する
argument1 : 計算設定が保存されている変数群のハンドル
return : 文字列化された関数コード

```

1611 LAB'String["rendering", hConfig_] := Module[{
1612     hRun = hConfig["handle:run"],
1613     str, nDevs, hDevs, sDevs, nDofs, nRanges, sRanges, strJoin, sStep,
1614     left = hConfig["left"], right = hConfig["right"],
1615     bottom = hConfig["bottom"], top = hConfig["top"],
1616     size = hConfig["size"], per, list, pos
1617 },
1618     (* 横幅を100等分した長さ *)
1619     per = (right - left)/100;
1620     (* 関数[LAB'String]にハンドルを順に渡し,生成された文字列を結合する関数 *)
1621     strJoin[model_, list_, option_...] := StringJoin@Table[
1622         LAB'String[model, list[[n]], n, option], {n, Length[list]};
1623     (* デバイスの数,ハンドル,名前,自由度,自由度の始点-終点番号のリスト *)
1624     nDevs = Length[hConfig["device list"]];
1625     hDevs = hConfig["device list"];
1626     sDevs = #["name"] & /@ hDevs;
1627     nDofs = #["dof"] & /@ hDevs;
1628     nRanges = Table[

```



```

1813     Table[{"dq", n, "=arg[[2, ", sRanges[[n]], "]"}, {n, nDevs}], "sriffle:", ", ",
1814     "$Q=0" -> LAB'DataConvert[
1815     Table[{"Q", n, "=", ToString@ConstantArray[0., nDofs[[n]]}], {n, nDevs}],
1816     "sriffle:", "strd"],
1817     (* q を記録 *)
1818     "$rec4q" -> LAB'DataConvert[Table[{
1819     hRun, ["\rec:q\", \"", sDevs[[n]], "\"][count]=q", n, "; "
1820     }, {n, nDevs}], "sriffle:nt"],
1821     (* 加速度を計算する関数 *)
1822     "$eq4ddq" -> LAB'DataConvert[
1823     Table[{hDevs[[n]], ["\eq:ddq\"][q", n, ",dq", n, ",Q", n, "]",
1824     "(* ", sDevs[[n]], " *)}], {n, nDevs}], "sriffle:nt"]
1825     ]];
1826     (* 戻り値 *)
1827     Return@str
1828 ]

```

[関数定義] LAB'String["link"]

function : LAB'String["1step"] 内での各デバイスの処理を行う関数コードの文字列を生成
LAB'String["1step"] から呼び出される
argument1 : デバイスパラメータが保存されている変数群のハンドル
argument2 : デバイスの通し番号 - Number
argument3 : 取得する文字列データの内容 - String (With, Module, Record, Code)
return : 文字列化された関数コードの一部

```

1829 LAB'String["link", hDevice_, n_, Mode_, ___] := Module[{
1830     mode = ToLowerCase@Mode, name, dof, toStr
1831     },
1832     (* データモデル="device", デバイスモデル="link" でなければ "" を返す*)
1833     If[! hDevice["data model"] === "device", Return[""]];
1834     If[! hDevice["device model"] === "link", Return[""]];
1835     (* 他の引数の型のチェック *)
1836     If[! IntegerQ@n, Return[""]];
1837     If[! StringQ@Mode, Return[""]];
1838     (* 良く使うデバイスパラメータの取得 *)
1839     name = LAB'DataConvert[hDevice["name"], "blue"]<> " [=<>ToString@n<>"];
1840     dof = hDevice["dof"];
1841     (* 各モードごとの処理 *)
1842     Switch[mode,
1843     (* ===== *)
1844     (* 置換変数 *)
1845     "with",
1846     toStr[x_] := LAB'DataConvert[hDevice[x], "strd"];
1847     Return@StringReplace[LAB'DataConvert[{{
1848     {"\n\t(* ", name, " *)\n\t"},
1849     {"dof$●=", dof, ", " },
1850     {"q0$●=", toStr["ref angle"], ", " },
1851     {"x0y0$●=", toStr["ref pos"], ", " },
1852     {"link$●=", toStr["length of link"], ", \n\t" },
1853     {"polygon$●=", toStr["polygon"], ", \n\t" },
1854     {"nPolygon$●=", Length@hDevice["polygon"], ", \n\t" },
1855     {"jPolygon$●=", toStr["polygon:j"], ", \n\t" },
1856     {"lineEnable$●=", toStr["line enable"], ", \n\t" },
1857     {"angle$●=", toStr["line angle"], ", \n\t" },
1858     {"length$●=", toStr["line length"], ", \n\t" },
1859     {"point$●=", toStr["point"], ", \n\t" },
1860     {"nPoint$●=", Length@hDevice["point"], ", \n\t" },
1861     {"jPoint$●=", toStr["point:j"], ", \n\t" },
1862     {"pointEnable$●=", toStr["point enable"], ", \n\t" },
1863     {"radius$●=", toStr["point radius"], ", " }
1864     }}, "strjoin"], {"●" -> ToString@n}],
1865     (* ===== *)

```

```

1866     (* 局所変数 *)
1867     "module",
1868     Return@StringReplace[LAB'DataConvert[{
1869         "\n\t", "absq●, jpos●, polygon●, angle●, point●, "
1870     }, "strjoin"], {"●" -> ToString@n}],
1871     (***** *)
1872     (* 実行コード *)
1873     "code",
1874     Return@StringReplace[LAB'DataConvert[{
1875 "\n(* ", name, " *)
1876 absq●=q0$●+Accumulate[q●];
1877 jpos●=FoldList[Plus,x0y0$●,
1878     Table[link$●[[n]]*{Cos[absq●[[n]],Sin[absq●[[n]]},{n,dof$●}]];
1879 polygon●=Table[jnum=jPolygon$●[[n]];
1880     If[jnum==0,polygon$●[[n,i]],jpos●[[jnum]]+{
1881         polygon$●[[n,i,1]]*Cos[absq●[[jnum]]]
1882         -polygon$●[[n,i,2]]*Sin[absq●[[jnum]]],
1883         polygon$●[[n,i,2]]*Cos[absq●[[jnum]]]
1884         +polygon$●[[n,i,1]]*Sin[absq●[[jnum]]]
1885     }],{n,nPolygon$●},{i,4}];
1886 angle●=Table[jnum=jPolygon$●[[n]];
1887     If[jnum==0,angle$●[[n]],absq●[[jnum]]+angle$●[[n]]
1888     ],{n,nPolygon$●};
1889 point●=Table[jnum=jPoint$●[[n]];
1890     If[jnum==0,point$●[[n]],jpos●[[jnum]]+{
1891         point$●[[n,1]]*Cos[absq●[[jnum]]]
1892         -point$●[[n,2]]*Sin[absq●[[jnum]]],
1893         point$●[[n,2]]*Cos[absq●[[jnum]]]
1894         +point$●[[n,1]]*Sin[absq●[[jnum]]]
1895     }],{n,nPoint$●}];"
1896     }, "strjoin"], {"●" -> ToString@n}],
1897     (***** *)
1898     (* 記録 *)
1899     "record",
1900     Return@StringReplace[LAB'DataConvert[{
1901         ""
1902     }, "strjoin"], {"●" -> ToString@n}],
1903     (***** *)
1904     (* コンパイルオプション *)
1905     "option",
1906     Return@StringReplace[LAB'DataConvert[{
1907         ""
1908     }, "strjoin"], {"●" -> ToString@n}],
1909     (***** *)
1910     (* 該当なし *)
1911     _, Return@" "
1912 ]
1913 ]

```

[関数定義] LAB'String["motor"]

```

function : LAB'String["1step"] 内での各デバイスの処理を行う関数コードの文字列を生成
          LAB'String["1step"] から呼び出される
argument1 : デバイスパラメータが保存されている変数群のハンドル
argument2 : デバイスの通し番号 - Number
argument3 : 取得する文字列データの内容 - String (With, Module, Record, Code)
argument4 : 計算設定が保存されている変数群のハンドル
return    : 文字列化された関数コードの一部

```

```

1914 LAB'String["motor", hDevice_, n_, Mode_, hConfig_, ___] := Module[{
1915     mode = ToLowerCase@Mode, name, dof, toStr,
1916     hRun = hConfig["handle:run"]
1917 },

```

```

1918 (* データモデル="device", デバイスモデル="motor" でなければ "" を返す*)
1919 If[! hDevice["data model"] === "device", Return[""];
1920 If[! hDevice["device model"] === "motor", Return[""];
1921 (* 他の引数の型のチェック *)
1922 If[! IntegerQ@n, Return[""];
1923 If[! StringQ@Mode, Return[""];
1924 (* 良く使うデバイスパラメータの取得 *)
1925 name = LAB'DataConvert[hDevice["name"],"blue"]<>" [= "<>ToString@n<>"];
1926 (* 各モードごとの処理 *)
1927 Switch[mode,
1928 (* ===== *)
1929 (* 置換変数 *)
1930 "with",
1931 Return@StringReplace[LAB'DataConvert[{
1932 ""
1933 }, "strjoin"], {"●" -> ToString@n}],
1934 (* ===== *)
1935 (* 局所変数 *)
1936 "module",
1937 Return@StringReplace[LAB'DataConvert[{
1938 ""
1939 }, "strjoin"], {"●" -> ToString@n}],
1940 (* ===== *)
1941 (* 実行コード *)
1942 "code",
1943 Return@StringReplace[LAB'DataConvert[{
1944 "\n(* ", name, " *)\n",
1945 "Q●+=$device[\"eq:q2Q\"] [q●,$run[$device,\"target\"]];"
1946 }, "strjoin"], {"●" -> ToString@n,
1947 "$device" -> ToString@hDevice,
1948 "$run" -> ToString@hRun}],
1949 (* ===== *)
1950 (* 記録 *)
1951 "record",
1952 Return@StringReplace[LAB'DataConvert[{
1953 ""
1954 }, "strjoin"], {"●" -> ToString@n}],
1955 (* ===== *)
1956 (* コンパイルオプション *)
1957 "option",
1958 Return@StringReplace[LAB'DataConvert[{
1959 ""
1960 }, "strjoin"], {"●" -> ToString@n}],
1961 (* ===== *)
1962 (* 該当なし *)
1963 _, Return@""
1964 ]
1965 ]

```

[関数定義] LAB'String["rigid"]

function : LAB'String["1step"] 内での各デバイスの処理を行う関数コードの文字列を生成
LAB'String["1step"] から呼び出される
argument1 : デバイスパラメータが保存されている変数群のハンドル
argument2 : デバイスの通し番号 - Number
argument3 : 取得する文字列データの内容 - String (With, Module, Record, Code)
return : 文字列化された関数コードの一部

```

1966 LAB'String["rigid", hDevice_, n_, Mode_, ___] := Module[{
1967 mode = ToLowerCase@Mode, name, dof, toStr
1968 },
1969 (* データモデル="device", デバイスモデル="rigid" でなければ "" を返す*)
1970 If[! hDevice["data model"] === "device", Return[""];

```

```

1971 If[! hDevice["device model"] === "rigid", Return[""];
1972 (* 他の引数の型のチェック *)
1973 If[! IntegerQ@n, Return[""];
1974 If[! StringQ@Mode, Return[""];
1975 (* 良く使うデバイスパラメータの取得 *)
1976 name = LAB'DataConvert[hDevice["name"],"blue"]<>" [= "<>ToString@n<>"];
1977 (* 各モードごとの処理 *)
1978 Switch[mode,
1979   (* ===== *)
1980   (* 置換変数 *)
1981   "with",
1982   toStr[x_] := LAB'DataConvert[hDevice[x], "strd"];
1983   Return@StringReplace[LAB'DataConvert[{
1984     {"\n\t(* ", name, " *)\n\t"},
1985     {"point$●=", toStr["point"], "\n\t" },
1986     {"nPoint$●=", Length@hDevice["point"], "\n\t" },
1987     {"pointEnable$●=", toStr["point enable"], "\n\t" },
1988     {"radius$●=", toStr["point radius"], "" }
1989   },If[Length@hDevice["polygon"] != 0, {
1990     {"\n\tpolygon$●=", toStr["polygon"], "\n\t" },
1991     {"nPolygon$●=", Length@hDevice["polygon"], "\n\t" },
1992     {"lineEnable$●=", toStr["line enable"], "\n\t" },
1993     {"angle$●=", toStr["line angle"], "\n\t" },
1994     {"length$●=", toStr["line length"], "" }
1995   } , ""]
1996   }, "strjoin"], {"●" -> ToString@n}],
1997   (* ===== *)
1998   (* 局所変数 *)
1999   "module",
2000   Return@StringReplace[LAB'DataConvert[{
2001     "\n\t",
2002     "pos●,polygon●,angle●,point●,"
2003   }, "strjoin"], {"●" -> ToString@n}],
2004   (* ===== *)
2005   (* 実行コード *)
2006   "code",
2007   Return@StringReplace[LAB'DataConvert[{
2008     "\n(* ", name, " *)
2009     pos●={q●[[1]],q●[[2]]};
2010     point●=Table[pos●+{
2011       point$●[[n,1]]*Cos[q●[[3]]]-point$●[[n,2]]*Sin[q●[[3]]],
2012       point$●[[n,2]]*Cos[q●[[3]]]+point$●[[n,1]]*Sin[q●[[3]]]
2013     },{n,nPoint$●}];" <>
2014     If[Length@hDevice["polygon"] != 0, "
2015     polygon●=Table[pos●+{
2016       polygon$●[[n,1]]*Cos[q●[[3]]]-polygon$●[[n,2]]*Sin[q●[[3]]],
2017       polygon$●[[n,2]]*Cos[q●[[3]]]+polygon$●[[n,1]]*Sin[q●[[3]]]
2018     },{n,nPolygon$●}];
2019     angle●=q●[[3]]+angle$●;" , ""]
2020     }, "strjoin"], {"●" -> ToString@n}],
2021   (* ===== *)
2022   (* 記録 *)
2023   "record",
2024   Return@StringReplace[LAB'DataConvert[{
2025     ""
2026   }, "strjoin"], {"●" -> ToString@n}],
2027   (* ===== *)
2028   (* コンパイルオプション *)
2029   "option",
2030   Return@StringReplace[LAB'DataConvert[{
2031     ""
2032   }, "strjoin"], {"●" -> ToString@n}],
2033   (* ===== *)
2034   (* 該当なし *)

```

```

2035     _, Return@"
2036 ]
2037 ]

```

[関数定義] LAB'String["elastic"]

```

function : LAB'String["1step"] 内での各デバイスの処理を行う関数コードの文字列を生成
          LAB'String["1step"] から呼び出される
argument1 : デバイスパラメータが保存されている変数群のハンドル
argument2 : デバイスの通し番号 - Number
argument3 : 取得する文字列データの内容 - String (With, Module, Record, Code)
return    : 文字列化された関数コードの一部

```

```

2038 LAB'String["elastic", hDevice_, n_, Mode_, ___] := Module[{
2039 mode = ToLowerCase@Mode, name, dof, toStr
2040 },
2041 (* データモデル="device", デバイスモデル="rigid" でなければ "" を返す*)
2042 If[! hDevice["data model"] === "device", Return[""];
2043 If[! hDevice["device model"] === "elastic", Return[""];
2044 (* 他の引数の型のチェック *)
2045 If[! IntegerQ@n, Return[""];
2046 If[! StringQ@Mode, Return[""];
2047 (* 良く使うデバイスパラメータの取得 *)
2048 name = LAB'DataConvert[hDevice["name"], "blue"]<>" [= "<>ToString@n<>"];
2049 (* 各モードごとの処理 *)
2050 Switch[mode,
2051 (* ===== *)
2052 (* 置換変数 *)
2053 "with",
2054 toStr[x_] := LAB'DataConvert[hDevice[x], "strd"];
2055 Return@StringReplace[LAB'DataConvert[{
2056 ""
2057 }, "strjoin"], {"●" -> ToString@n}],
2058 (* ===== *)
2059 (* 局所変数 *)
2060 "module",
2061 Return@StringReplace[LAB'DataConvert[{
2062 ""
2063 }, "strjoin"], {"●" -> ToString@n}],
2064 (* ===== *)
2065 (* 実行コード *)
2066 "code",
2067 Return@StringReplace[LAB'DataConvert[{
2068 ""
2069 }, "strjoin"], {"●" -> ToString@n}],
2070 (* ===== *)
2071 (* 記録 *)
2072 "record",
2073 Return@StringReplace[LAB'DataConvert[{
2074 ""
2075 }, "strjoin"], {"●" -> ToString@n}],
2076 (* ===== *)
2077 (* コンパイルオプション *)
2078 "option",
2079 Return@StringReplace[LAB'DataConvert[{
2080 ""
2081 }, "strjoin"], {"●" -> ToString@n}],
2082 (* ===== *)
2083 (* 該当なし *)
2084 _, Return@"
2085 ]
2086 ]

```

[関数定義] LAB'String["dgs-vsm"]

function : LAB'String["1step"] 内での各システムの処理を行う関数コードの文字列を生成
LAB'String["1step"] から呼び出される
argument1 : システムパラメータが保存されている変数群のハンドル
argument2 : システムの通し番号 - Number
argument3 : 取得する文字列データの内容 - String (With, Module, Record, Code)
argument4 : 計算設定が保存されている変数群のハンドル
return : 文字列化された関数コードの一部

```
2087 LAB'String["dgs-vsm", hSystem_, n_, Mode_, hConfig_, ___] := Module[{
2088   mode = ToLowerCase@Mode, name, dof, toStr, link, drive, vsm, hList
2089 },
2090 (* データモデル="system", デバイスモデル="dgs-vsm" でなければ "" を返す*)
2091 If[! hSystem["data model"] === "system", Return[""];
2092 If[! hSystem["system model"] === "dgs-vsm", Return[""];
2093 (* 他の引数の型のチェック *)
2094 If[! IntegerQ@n, Return[""];
2095 If[! StringQ@Mode, Return[""];
2096 (* 良く使うデバイスパラメータの取得 *)
2097 name = LAB'DataConvert[hSystem["name"],"blue"]<> ["<>ToString@n<>"];
2098 hList = Join[hConfig["device list"], hConfig["system list"]];
2099 link = ToString@FirstPosition[hList, hSystem["handle-link"]][[1]];
2100 drive = ToString@FirstPosition[hList, hSystem["handle-drive"]][[1]];
2101 vsm = ToString@FirstPosition[hList, hSystem["handle-vsm"]][[1]];
2102
2103 (* 各モードごとの処理 *)
2104 Switch[mode,
2105   (* ===== *)
2106   (* 置換変数 *)
2107   "with",
2108   Return@StringReplace[LAB'DataConvert[{
2109     ""
2110   }, "strjoin"], {"●" -> ToString@n}],
2111   (* ===== *)
2112   (* 局所変数 *)
2113   "module",
2114   Return@StringReplace[LAB'DataConvert[{
2115     ""
2116   }, "strjoin"], {"●" -> ToString@n}],
2117   (* ===== *)
2118   (* 実行コード *)
2119   "code",
2120   Return@StringReplace[LAB'DataConvert[{
2121     "\n(* ", name, " *)\n",
2122     "Q[●l]+=", hSystem,
2123     "[\"eq:q2Q\"] [q[●l], q[●d], q[●v]];\"
2124   }, "strjoin"], {"[●l]" -> link,
2125     "[●d]" -> drive,
2126     "[●v]" -> vsm}],
2127   (* ===== *)
2128   (* 記録 *)
2129   "record",
2130   Return@StringReplace[LAB'DataConvert[{
2131     ""
2132   }, "strjoin"], {"●" -> ToString@n}],
2133   (* ===== *)
2134   (* コンパイルオプション *)
2135   "option",
2136   Return@StringReplace[LAB'DataConvert[{
2137     ""
2138   }, "strjoin"], {"●" -> ToString@n}],
2139   (* ===== *)
2140   (* 該当なし *)
```

```

2141     _, Return@""
2142 ]
2143 ]

```

[関数定義] LAB'String["contact"]

```

function : LAB'String["1step"] 内での接触処理を行う関数コードの文字列を生成
          LAB'String["1step"] から呼び出される
argument1 : デバイスハンドル
argument2 : デバイスの通し番号 - Number
argument3 : デバイスハンドル
argument4 : デバイスの通し番号 - Number
argument5 : 取得する文字列データの内容 - String (Code)
return    : 文字列化された関数コードの一部

```

```

2144 LAB'String["contact", hD1_, n1_, hD2_, n2_, Mode_, ___] := Module[{
2145   mode = ToLowerCase@Mode, tmp, name1, name2, x = 0.02, k = 5000
2146 },
2147   (* データモデル="device" でなければ "" を返す *)
2148   If[! hD1["data model"] === "device", Return[""];
2149   If[! hD2["data model"] === "device", Return[""];
2150   (* 接触が発生するデバイスモデルでなければ "" を返す *)
2151   tmp = LAB'Contents["contact model"];
2152   If[! MemberQ[tmp, hD1["device model"]], Return[""];
2153   If[! MemberQ[tmp, hD2["device model"]], Return[""];
2154   (* 同一モデル指定で自己接触が存在しない場合モデルは "" を返す *)
2155   If[hD1 == hD2 && hD1["device model"] === #, Return[""]
2156     ] & /@ LAB'Contents["single body model"];
2157   (* 他の引数の型のチェック *)
2158   If[! IntegerQ@n1, Return[""];
2159   If[! IntegerQ@n2, Return[""];
2160   If[! StringQ@Mode, Return[""];
2161   (* 良く使うデバイスパラメータの取得 *)
2162   name1 = LAB'DataConvert[hD1["name"], "blue"] <> ["<>ToString@n1 <>"];
2163   name2 = LAB'DataConvert[hD2["name"], "blue"] <> ["<>ToString@n2 <>"];
2164   (* 各モードごとの処理 *)
2165   Switch[mode,
2166     (*=====*)
2167     (* 実行コード *)
2168     "code",
2169     Return@LAB'DataConvert[{"\n
2170 (*-----*)
2171 (* contact : ", name1, " & ", name2, " *)" <> Which[
2172 (* link[1] & rigid[2] *)
2173 hD1["device model"] == "link" && hD2["device model"] == "rigid",
2174   LAB'String["contact:link & rigid", hD1, n1, hD2, n2, x, k],
2175 (* rigid[1] & link[2] *)
2176 hD1["device model"] == "rigid" && hD2["device model"] == "link",
2177   LAB'String["contact:link & rigid", hD2, n2, hD1, n1, x, k],
2178 (* link[1] & elastic[2] *)
2179 hD1["device model"] == "link" && hD2["device model"] == "elastic",
2180   LAB'String["contact:link & elastic", hD1, n1, hD2, n2, x, k],
2181 (* elastic[1] & link[2] *)
2182 hD1["device model"] == "elastic" && hD2["device model"] == "link",
2183   LAB'String["contact:link & elastic", hD2, n2, hD1, n1, x, k],
2184 (* 該当なし *)
2185 True, ""]
2186 ], "strjoin"],
2187   (*=====*)
2188   (* 該当なし *)
2189   _, Return@""
2190 ]
2191 ]

```

[関数定義] LAB'String["contact:link & rigid"]
function : LAB'String["1step"] 内での接触処理を行う関数コードの文字列を生成
LAB'String["contact"] から呼び出される
argument1 : link ハンドル
argument2 : link の通し番号
argument3 : rigid ハンドル
argument4 : rigid の通し番号
argument5 : 接触判定の最大貫入量
argument6 : ペナルティ係数
return : 文字列化された関数コードの一部

```

2192 LAB'String["contact:link & rigid", hD1_, n1_, hD2_, n2_, x_, k_, ___] :=
2193 Module[{
2194   },
2195   StringReplace[
2196     (*-----*)
2197     (* リンク-ライン & 剛体-ポイント *)
2198     "\n(* link-line & rigid-point *)
2199     Do[If[lineEnable$●1[[k,i]]==pointEnable$●2[[n]]!=0,
2200       θ=angle●1[[k,i]];
2201       origin=polygon●1[[k,i]];
2202       (* ラインとポイントの貫入量より接触を評価 *)
2203       vector={Cos[-θ],-Sin[-θ]},{Sin[-θ],Cos[-θ]}.(point●2[[n]]-origin);
2204       deform=radius$●2[[n]]-vector[[2]];
2205       If[0<vector[[1]]<length$●1[[k,i]]&&0<=deform<●x,
2206         (* Cp:接触点座標, Fm:接触力, Fv:接触力ベクトル rigid->link *)
2207         Cp=origin+{Cos[θ],Sin[θ]}*vector[[1]];
2208         Fm=deform*●k;
2209         Fv={Sin[θ],-Cos[θ]}*Fm;
2210         PrependTo[Cplist,Cp];
2211         PrependTo[Fmlist,Fm];
2212         PrependTo[Fvlist,Fv];
2213         (* 一般化力へ反映 *)
2214         Q●1+=Table[
2215           If[j<=jPolygon$●1[[k]],(Cp-jpos●1[[j]])-{Fv[[2]],-Fv[[1]]},0],
2216           {j,dof$●1}];
2217         Q●2+={-Fv[[1]],-Fv[[2]],(Cp-pos●2).{-Fv[[2]],Fv[[1]]}};
2218       ]
2219     ],{k,nPolygon$●1},{i,4},{n,nPoint$●2}];" <>
2220     (*-----*)
2221     (* リンク-ポイント & 剛体-ポイント *)
2222     "\n(* link-point & rigid-point *)
2223     Do[If[pointEnable$●1[[n1]]==pointEnable$●2[[n2]]!=0,
2224       (* ポイントとポイントの貫入量より接触を評価 *)
2225       deform=
2226         radius$●2[[n2]]+radius$●1[[n1]]-Norm[point●2[[n2]]-point●1[[n1]]];
2227       If[0<deform<●x,
2228         (* Cp:接触点座標, Fm:接触力, Fv:接触力ベクトル rigid->link *)
2229         vector=Normalize[point●2[[n2]]-point●1[[n1]];
2230         Cp=point●1[[n1]]+vector*radius$●1[[n1]];
2231         Fm=deform*●k;
2232         Fv=-vector*Fm;
2233         PrependTo[Cplist,Cp];
2234         PrependTo[Fmlist,Fm];
2235         PrependTo[Fvlist,Fv];
2236         (* 一般化力へ反映 *)
2237         Q●1+=Table[
2238           If[j<=jPoint$●1[[n1]],(Cp-jpos●1[[j]])-{Fv[[2]],-Fv[[1]]},0],
2239           {j,dof$●1}];
2240         Q●2+={-Fv[[1]],-Fv[[2]],(Cp-pos●2).{-Fv[[2]],Fv[[1]]}};
2241       ]
2242     ],{n1,nPoint$●1},{n2,nPoint$●2}];" <>
2243     (*-----*)

```

```

2244 (* リンク-ポイント & 剛体-ライン *)
2245 If[Length@hD2["polygon"] == 0, "",
2246 "\n(* link-point & rigid-line *)
2247 Do[If[lineEnable$●2[[n2]]==pointEnable$●1[[n1]]!=0,
2248   θ=angle●2[[n2]];
2249   origin=polygon●2[[n2]];
2250   (* ラインとポイントの貫入量より接触を評価 *)
2251   vector={{Cos[-θ],-Sin[-θ]},{Sin[-θ],Cos[-θ]}.(point●1[[n1]]-origin);
2252   deform=radius$●1[[n1]]-vector[[2]];
2253   If[0<vector[[1]]<length$●2[[n2]]&&0<=deform<●x,
2254     (* Cp:接触点座標, Fm:接触力, Fv:接触力ベクトル rigid->link *)
2255     Cp=point●1[[n1]]+{Sin[θ],-Cos[θ]}*radius$●1[[n1]];
2256     Fm=deform*●k;
2257     Fv={-Sin[θ],Cos[θ]}*Fm;
2258     PrependTo[Cplist,Cp];
2259     PrependTo[Fmlist,Fm];
2260     PrependTo[Fvlist,Fv];
2261     (* 一般化力へ反映 *)
2262     Q●1+=Table[
2263       If[j<=jPoint$●1[[n1]],(Cp-jpos●1[[j]])-{Fv[[2]],-Fv[[1]]},0],
2264       {j,dof$●1}];
2265     Q●2+={-Fv[[1]],-Fv[[2]],(Cp-pos●2).{-Fv[[2]],Fv[[1]]}};
2266   ]
2267 ],{n1,nPoint$●1},{n2,nPolygon$●2}];"]
2268 (*-----*)
2269 , {
2270   "●1" -> ToString@n1,
2271   "●2" -> ToString@n2,
2272   "●x" -> ToString[x],
2273   "●k" -> ToString[k]
2274 }]]
2275 ]

```

[関数定義] LAB'Simulation["set"]

```

function : 渡された計算設定ハンドルの初期化を行う
argument1 : 計算設定が保存されている変数群のハンドル
argument2 : モード
            - new      : ハンドルを新規登録する
            - reset    : ハンドルを初期化する
            - restore  : 指定ハンドルを復元する - Mode[[2]]:
argument3 : 復元する実行用ハンドル (モードが"restore"の場合のみ有効)
return    : 成功 : 1
           失敗 : 0

```

```

2276 LAB'Simulation["set", hConfig_, Mode_, Option___] := Module[{
2277   hRun = hConfig["handle:run"],
2278   mode = ToLowerCase@Mode,
2279   hRestore = If[Length@{Option} >= 1, {Option}[[1]], Null],
2280   tmp, device, backup
2281 },
2282 (*-----*)
2283 (* 開始ログ *)
2284 LAB'Log["● シミュレーションの準備を行います : ", hConfig];
2285 (* 実行用ハンドルを使用中の場合は処理を停止 *)
2286 If[LAB'UsingHandle[hRun] > 0,
2287   LAB'Warning["↓ ハンドルを使用中のため処理を中断します"];
2288   Return@0];
2289 (* モードの補正 - 初期化モードでシンボルが不正の場合は新規モードに変更 *)
2290 If[mode === "reset" && ! Head@hRun === Symbol, mode = "new"];
2291 (*-----*)
2292 (* 実行ハンドルの取得, その他のモード毎処理 *)
2293 Which[

```

```

2294 (*-----*)
2295 (* 新規モード *)
2296 mode === "new", (
2297     (* 実行処理用ハンドルを定義, データモデル&状態を登録 *)
2298     hRun = hConfig["handle:run"] = Unique@"run";
2299     hRun["data model"] = "run";
2300     hRun["state"] = "set";
2301     FinishDynamic[];
2302     LAB'Log["↓ 実行用ハンドルを新しく定義しました : ", hRun];
2303     (* 目標時間のセット *)
2304     hRun["target:str"] = ToString@hConfig["target time"];
2305     (* 初期値, 制御値のセット - run*#[#"q0"], run*#[#"dq0"], etc. *)
2306     #["eq:preset"][hRun] & /@ hConfig["device list"];
2307     (* 1ステップ計算用関数 *)
2308     hRun["str:1step"] = LAB'String["1step", hConfig];
2309     ToExpression@hRun["str:1step"];
2310     LAB'Log["↓ 1ステップ計算用関数を定義しました"];
2311     (* 数値積分関数 *)
2312     hRun["Integration"] = LAB'NumericalIntegration[
2313         hConfig["integration method"], hRun["1step"], hConfig["step"]];
2314     LAB'Log["↓ 数値積分関数を定義しました - ",
2315         hConfig["integration method"], ", fps=", hConfig["calc/sec"]];
2316     (* 描画関数 *)
2317     hRun["str:Rendering"] = LAB'String["rendering", hConfig];
2318     ToExpression@hRun["str:Rendering"];
2319     LAB'Log["↓ 描画関数を定義しました"];
2320 ),
2321 (*-----*)
2322 (* 初期化モード *)
2323 mode === "reset", (
2324     (* 退避データの項目 *)
2325     backup = {"1step", "Integration", "Rendering",
2326         "str:1step", "str:Rendering", "target:str"};
2327     (* データの退避 - 1ステップ/数値積分/描画関数, 初期値, 制御値 *)
2328     (tmp[#] = hRun[#]) & /@ backup;
2329     Do[device = hConfig["device list"][[n]];
2330         (tmp[device, #] = hRun[device, #]) & /@ {"q0", "dq0"};
2331         (tmp[device, #] = hRun[device, #]) & /@ device["controls"];
2332         , {n, Length@hConfig["device list"]]];
2333     ClearAll[#] &@hRun;
2334     (* 退避データの復元 *)
2335     (hRun[#] = tmp[#]) & /@ backup;
2336     Do[device = hConfig["device list"][[n]];
2337         (hRun[device, #] = tmp[device, #]) & /@ {"q0", "dq0"};
2338         (hRun[device, #] = tmp[device, #]) & /@ device["controls"];
2339         , {n, Length@hConfig["device list"]]];
2340     ClearAll[#] &@tmp;
2341     (* データモデル&状態を登録 *)
2342     hRun["data model"] = "run";
2343     hRun["state"] = "set";
2344     FinishDynamic[];
2345     LAB'Log["↓ 実行用ハンドルは規定値を使用します : ", hRun];
2346 ),
2347 (*-----*)
2348 (* 復元モード *)
2349 mode === "restore", (
2350     If[! Head@hRestore === Symbol,
2351         LAB'Warning["↓ 復元データが存在しません"];
2352         Return@0];
2353     (* ハンドル&状態を登録 *)
2354     hRun = hConfig["handle:run"] = hRestore;
2355     hRun["state"] = "set"; FinishDynamic[];
2356     LAB'Log["↓ 実行用ハンドルを復元します : ", hRun];
2357 ),

```

```

2358      (*-----*)
2359      (* 該当なし *)
2360      True,
2361          LAB'Error["↓ 計算準備のモードが不正のため中断します"];
2362          Return@0
2363      (*-----*)
2364  ];
2365  (*=====*)
2366  (* 新規モード/初期化モードの場合の追加処理 *)
2367  If[mode === "new" || mode === "reset",
2368      (* 各パラメータの初期化 *)
2369      hRun["count"] = 0;          (* 現在カウント値 *)
2370      hRun["time"] = 0;          (* 現在時間 *)
2371      hRun["date:run"] = "---"; (* 最終実行時刻 *)
2372      (* 目標時間 *)
2373      If[! StringQ@hRun["target:str"] ||
2374          ! NumberQ@ToExpression@hRun["target:str"],
2375          hRun["target:str"] = "0";
2376          (* 一般化座標の初期値, 現在値 *)
2377          hRun["q0"] = Flatten[hRun[#, "q0"] & /@ hConfig["device list"]];
2378          hRun["dq0"] = Flatten[hRun[#, "dq0"] & /@ hConfig["device list"]];
2379          hRun["qdq"] = {hRun["q0"], hRun["dq0"]};
2380          LAB'Log["↓ 初期値を登録しました"];
2381          (* 現在の描画を取得 *)
2382          hRun["rendering", 0] = hRun["Rendering"][hRun["q0"], {}];
2383          (* その他パラメータの取得 *)
2384          hRun["fps"] = hConfig["calc/sec"];
2385          (* GUIパラメータを初期化 *)
2386          hRun["show:count"] = 0;          (* 表示カウント値 *)
2387          hRun["show:auto"] = True;        (* 表示カウント値 *)
2388          hRun["locator:enabled"] = False; (* 初期値用ロケータの表示 *)
2389          hRun["locator:sub"] := {};      (* ロケータと重ねるグラフィック *)
2390          hRun["locator:other"] := {};    (* 初期値編集用のグラフィック *)
2391      ];
2392      (*=====*)
2393      (* 実行状態をスタンバイに設定 *)
2394      hRun["state"] = "standby";
2395      FinishDynamic[];
2396      (* 戻り値 *)
2397      Return@1;
2398  ]

```

[関数定義] LAB'Simulation["start"]

```

function : 渡された計算設定ハンドルの情報に従ってシミュレーションを開始する
argument1 : 計算設定が保存されている変数群のハンドル
return   : 成功 : 1
          失敗 : 0

```

```

2399  LAB'Simulation["start", hConfig_, ___] := With[{
2400      hRun = hConfig["handle:run"], step = hConfig["step"]
2401  }, Module[{
2402      time
2403  },
2404      (*=====*)
2405      (* 開始ログ *)
2406      LAB'Log["● シミュレーションを開始します : ", hConfig];
2407      (* 実行用ハンドルの状態がスタンバイでない場合は処理を停止 *)
2408      If[! hRun["state"] === "standby",
2409          LAB'Warning["↓ 計算の準備が完了していません"]; Return@0];
2410      (* 目標時間, 目標カウント(整数)を取得 *)
2411      hRun["target:time"] = ToExpression@hRun["target:str"];
2412      hRun["target:count"] = Floor[hConfig["calc/sec"]*hRun["target:time"]];

```

```

2413 (* 目標時間が数値でない, 計算済み時間より小さい場合は終了 *)
2414 If[! NumberQ@hRun["target:time"],
2415     LAB'Warning["↓ 目標時間が不正です"]; Return@0];
2416 If[TrueQ[hRun["target:count"] <= hRun["count"]],
2417     LAB'Warning["↓ 指定した目標時間は既に計算済みです"]; Return@0];
2418 (* 目標時間ログ *)
2419 LAB'Log["↓ カウント ", hRun["count"] + 1,
2420     " から ", hRun["target:count"], " まで計算を行います"];
2421 (*=====*)
2422 (* 最新描画を有効にする *)
2423 hRun["show:auto"] = True;
2424 (* 実行状態をシミュレーションに設定 *)
2425 hRun["state"] = "simulation";
2426 FinishDynamic[];
2427 (* 繰り返し計算 - 計算にかかった時間を取得する *)
2428 time = AbsoluteTiming[Do[
2429     (* 中断するか評価 - 計算状態が"abort"の場合はループを抜ける *)
2430     If[hRun["state"] === "abort", Break[]];
2431     (* 記録を有効化, 数値積分, 描画を更新, 計算(済)カウントを更新 *)
2432     hRun["rec"] = True;
2433     hRun["qdq"] = hRun["Integration"][hRun["qdq"]];
2434     hRun["rendering", n] = hRun["Rendering"][hRun["qdq"]][[1]], {
2435         "text" -> n*step,
2436         "Cplist" -> Most@hRun["rec:Cp"][n],
2437         "Fvlist" -> Most@hRun["rec:Fv"][n]
2438     }];
2439     hRun["count"] = n;
2440     (* ループの始点, 終点 *)
2441     , {n, hRun["count"] + 1, hRun["target:count"]}
2442 ][[1]];
2443 (* 終了ログ *)
2444 time = " - 所要時間 : " <> ToString@time <> " [s]";
2445 Switch[hRun["state"],
2446     "simulation", LAB'Log["↓ 計算が正常に終了しました", time],
2447     "abort", LAB'Log["↓ 計算が中断されました", time]];
2448 (* 計算済み時間を登録, 実行日時を登録 *)
2449 hRun["time"] = ToString@LAB'Digit[hRun["count"]*step, 2];
2450 hRun["date:run"] = DateString[{"Hour24", ":", "Minute", ":", "Second"}];
2451 (*=====*)
2452 (* 実行状態をスタンバイに設定 *)
2453 hRun["state"] = "standby";
2454 FinishDynamic[];
2455 (* 戻り値 *)
2456 Return@1;
2457 ]]

```

```

[関数定義] LAB'Simulation["analysis"]
function : シミュレーション結果の処理を行う
argument1 : 結果処理を行う実行処理ハンドル
return   : 成功 : 1
          失敗 : 0

```

```

2458 LAB'Simulation["analysis", hRun_, ___] := Module[{
2459     mode = ToLowerCase@Mode
2460 },
2461 (*=====*)
2462 (* 開始ログ *)
2463 LAB'Log["● 実行結果の解析を行います : ", hRun];
2464 (* 実行用ハンドルを使用中の場合は処理を停止 *)
2465 If[LAB'UsingHandle[hRun] > 0,
2466     LAB'Warning["↓ ハンドルを使用中のため処理を中断します"]; Return@0];
2467 (* 既に解析済みの場合は終了 *)

```

```

2468 If[hRun["date:run"] === hRun["date:analysis"],
2469     LAB'Log["↓ 既に解析済みのため処理を終了します"]; Return@1];
2470 (* 計算が1ステップも行われていない場合は終了 *)
2471 If[! NumberQ@hRun["count"] || hRun["count"] === 0,
2472     LAB'Log["↓ 計算が実行されていないため処理を終了します"]; Return@1];
2473 (* 実行状態を解析に設定 *)
2474 hRun["state"] = "set";
2475 (*=====*)
2476 (* 解析対象の実行時間を取得 *)
2477 hRun["date:analysis"] = hRun["date:run"];
2478 (*=====*)
2479 (* 実行状態をスタンバイに設定 *)
2480 hRun["state"] = "standby";
2481 FinishDynamic[];
2482 (* 戻り値 *)
2483 Return@1;
2484 ]

```

[関数定義] LAB'Simulation["open"]

```

function : コントロールダイアログを開く
argument1 : 計算設定ハンドル
return   : 成功 : 開いたノートブックのハンドル
          失敗 : 0

```

```

2485 LAB'Simulation["open", hConfig_, Option___] := With[{
2486     hRun = hConfig["handle:run"], w = 785, h = 500,
2487     option = ToLowerCase@Flatten@{Option}
2488 },
2489 (*=====*)
2490 (* 実行用ハンドルが登録されていない場合はエラー終了 *)
2491 If[! Head@hRun === Symbol,
2492     LAB'Error["● 実行用ハンドルが未登録のためウィンドウを開けません"];
2493     Return@0];
2494 (* 既に開いている場合は閉じる *)
2495 LAB'Simulation["close", hConfig];
2496
2497 (*=====*)
2498 (* 新規でノートブックを開き, ノートブックハンドルを取得 *)
2499 hConfig["handle:note"] = CreateDialog[
2500     TableForm[{
2501         (* グラフィックス描画 *)
2502         LAB'Simulation["form:rendering", hConfig],
2503         (* パラメータ設定タブ *)
2504         TabView[{
2505             "control" -> LAB'Simulation["form:control", hConfig],
2506             "preset"   -> LAB'Simulation["form:preset", hConfig],
2507             "config"   -> LAB'Simulation["form:config", hConfig],
2508             "result"   -> LAB'Simulation["form:result", hConfig]
2509         }, FrameMargins -> 8, ImageSize -> {w - 525, 1000(*h-25*)}]
2510     }, TableDirections -> Row, TableAlignments -> Top],
2511 (* サイズ *)
2512 WindowSize -> {w, h},
2513 (* 余白 - {{left, right}, {bottom, top}} *)
2514 WindowMargins -> {{0, Automatic}, {Automatic, 0}},
2515 (* タイトル *)
2516 WindowTitle -> hConfig["name"] <>
2517     " [" <> ToString@hConfig <> ", " <> ToString@hRun <> "]",
2518 (* フレームに表示する要素 *)
2519 WindowFrameElements -> {"CloseBox", "ZoomBox", "MinimizeBox", "ResizeArea"},
2520 WindowElements -> {"MagnificationPopUp"}
2521 ];
2522

```

```

2523 (*=====*)
2524 (* 戻り値 *)
2525 Return@hConfig["handle:note"];
2526 ]

```

```

[関数定義] LAB'Simulation["close"]
function : コントロールダイアログを閉じる
argument1 : 計算設定ハンドル / All
return : 成功 : 1
        失敗 : 0

```

```

2527 LAB'Simulation["close", hConfig_, ___] := Module[{
2528   hConfigs
2529 },
2530 (* 計算設定ハンドルに All が指定されている場合 *)
2531 If[hConfig === All,
2532   hConfigs = LAB'GetHandle["config", All];
2533   If[MemberQ[Notebooks[], #["handle:note"]],
2534     NotebookClose@#["handle:note"] & /@ hConfigs;
2535   Return@1
2536 ];
2537 (* 計算設定ハンドルが指定されている場合 *)
2538 If[MemberQ[Notebooks[], hConfig["handle:note"]],
2539   NotebookClose@hConfig["handle:note"];
2540 Return@1
2541 ];
2542 (* 戻り値 *)
2543 Return@0
2544 ]

```

```

[関数定義] LAB'Simulation["form:rendering"]
function : コントロールダイアログ内の表示要素を生成する
          LAB'Simulation["open"] 内で呼び出される
argument1 : 計算設定ハンドル
return : 生成したテーブルフォーム

```

```

2545 LAB'Simulation["form:rendering", hConfig_, ___] := With[{
2546   hRun = hConfig["handle:run"],
2547   left = hConfig["left"], right = hConfig["right"],
2548   bottom = hConfig["bottom"], top = hConfig["top"],
2549   size = hConfig["size"]
2550 },
2551 (* 最新グラフィック表示のチェックボックス値 *)
2552 hRun["show:auto"] =
2553   If[NumberQ@hRun["show:count"] && NumberQ@hRun["count"]
2554     && hRun["show:count"] != hRun["count"], False, True];
2555 (* 各パラメータを初期化 *)
2556 hRun["show:count"] = 0;(* 表示カウント値 *)
2557 hRun["show:auto"] = True;(* 表示カウント値 *)
2558 hRun["locator:enabled"] = False;(* 初期値用ロケータの表示 *)
2559 hRun["locator:sub"] := {};(* ロケータと重ねるグラフィック *)
2560 hRun["locator:other"] := {};(* 初期値編集用のグラフィック *)
2561
2562 (* フォームを生成 *)
2563 TableForm[{
2564   (*-----*)
2565   TableForm[{"",
2566     (* スライダー : Automatic がチェックされていれば無効 *)
2567     Slider[Dynamic@hRun["show:count"],
2568     {0, Dynamic@(If[NumberQ@#, #, 0] &@hRun["count"]), 1},
2569     Enabled -> Dynamic[! hRun["show:auto"]], ImageSize -> 280],

```

```

2570      (* 選択カウント/現在カウント = スライダー選択値/スライダー最大値 *)
2571      Dynamic@
2572      hRun["show:count"] = If[hRun["show:auto"],
2573      hRun["count"], Min[hRun["show:count"], hRun["count"]]];
2574      Row[{
2575      Text@If[NumberQ@#, #, 0] &@hRun["show:count"], " / ",
2576      Text@If[NumberQ@#, #, 0] &@hRun["count"]}],
2577      (* チェックボックス - 常に最新のグラフィックを表示 *)
2578      Row[{Checkbox[Dynamic@hRun["show:auto"], " Automatic"]}
2579      ], TableDirections -> Row],
2580      (*-----*)
2581      (* グラフィック - 2つのグラフィックを重ねる *)
2582      Dynamic@Show[
2583      (* 標準のグラフィック - 本物/ダミー *)
2584      If[Head@# === Graphics, #,
2585      Graphics[{}, Frame -> True, ImageSize -> size,
2586      PlotRange -> {{left, right}, {bottom, top}}]
2587      ] &@hRun["rendering", hRun["show:count"]],
2588      (* 初期値編集用グラフィック *)
2589      Graphics[{
2590      If[TrueQ@hRun["locator:enabled"], {
2591      hRun["locator:other"],
2592      hRun["locator:sub"],
2593      Locator@Dynamic@hRun["locator:pos"]
2594      }],
2595      ],
2596      PlotRange -> {{left, right}, {bottom, top}},
2597      Axes -> False, Frame -> True, ImageSize -> size]
2598      ]
2599      (*-----*)
2600      ], TableAlignments -> Left, TableSpacing -> 2]
2601      ]

```

[関数定義] LAB'Simulation["form:control"]

```

function : コントロールダイアログ内の表示要素を生成する
          LAB'Simulation["open"] 内で呼び出される
argument1 : 計算設定ハンドル
return    : 生成したテーブルフォーム

```

```

2602 LAB'Simulation["form:control", hConfig_, ___] := With[{
2603 hRun = hConfig["handle:run"],
2604 hlist = hConfig["device list"]
2605 }, With[{
2606 hElastic = Select[ToExpression@hlist, #["device model"] === "elastic" &],
2607 hRigid   = Select[ToExpression@hlist, #["device model"] === "rigid" &],
2608 hMotor   = Select[ToExpression@hlist, #["device model"] === "motor" &]
2609 },
2610 (* パラメータの補正 *)
2611 If[! StringQ@hRun[#], hRun[#] = "0"] &@"target:str";
2612 If[! NumberQ@hRun[#], hRun[#] = -1] &@"count";
2613 (* フォームを生成 *)
2614 Return@TableForm[{
2615 (*-----*)
2616 (* ボタン *)
2617 TableForm[{
2618 (* new *)
2619 Dynamic@Button["new", (
2620 LAB'Simulation["close", hConfig];
2621 LAB'Simulation["set", hConfig, "new", "open"];
2622 LAB'Simulation["open", hConfig];
2623 ),
2624 Method -> "Queued",

```

```

2625         Enabled -> Switch[hRun["state"],
2626             "standby", True,
2627             "re-new", True,
2628             -, False]
2629     ],
2630     (* analysis *)
2631     Dynamic@Button["analysis", (
2632         LAB'Simulation["analysis", hRun];
2633         LAB'Simulation["open:analysis", hRun];
2634     ),
2635     Method -> "Queued",
2636     Enabled -> NumberQ@hRun["count"] && hRun["count"] > 0 &&
2637         Switch[hRun["state"],
2638             "standby", True,
2639             -, False]
2640 ],
2641     (* Edit function *)
2642     ActionMenu["preferences", {
2643         "1step" -> (LAB'NewNoteContents[
2644             hRun["str:1step"], "1step", {1000}];
2645         ),
2646         "rendering" -> (LAB'NewNoteContents[
2647             hRun["str:Rendering"], "rendering", {1000}];
2648         ),
2649         "open : current directory" -> (
2650             StartProcess[{"explorer", LAB'NotebookDirectory}];
2651         ),
2652         "open : build directory" -> (
2653             StartProcess[{"explorer", LAB'BuildDirectory}];
2654         )
2655     ]}
2656     (* *)
2657 }, TableDirections -> Row, TableSpacing -> 0.3],
2658 (*-----*)
2659 (* 計算状況を操作 *)
2660 TableForm[{
2661     (* reset *)
2662     Dynamic@Button["reset", (
2663         LAB'Simulation["set", hConfig, "reset"]
2664     ),
2665     Method -> "Queued",
2666     Enabled -> Switch[hRun["state"],
2667         "standby", True,
2668         -, False]
2669 ],
2670     (* start *)
2671     Dynamic@Button["start", (
2672         LAB'Simulation["start", hConfig]
2673     ),
2674     Method -> "Queued",
2675     Enabled -> Switch[hRun["state"],
2676         "standby", True,
2677         -, False]
2678 ],
2679     (* abort *)
2680     Dynamic@Button["abort", (
2681         hRun["state"] = "abort"
2682     ),
2683     Method -> "Preemptive",
2684     Enabled -> Switch[hRun["state"],
2685         "simulation", True,
2686         -, False]
2687 ],
2688     (* state *)

```

```

2689     " state -> ",
2690     Dynamic["[" <> ToString@hRun["state"] <> "]" ]
2691     (* *)
2692 },
2693 TableDirections -> Row,
2694 TableSpacing    -> 0.2
2695 ],
2696 (*-----*)
2697 "-----",
2698 (* 時間パラメータ *)
2699 TableForm[
2700     (* 現在時間, 目標時間, +-ボタン *)
2701     { " Time",
2702       (* 現在時間 *)
2703       Dynamic@StringTake[
2704         ToString@SetPrecision[hConfig["step"]*hRun["count"], 4] <>
2705         " ", 10],
2706       "->",
2707       (* 目標時間 *)
2708       InputField[Dynamic@hRun["target:str"], String,
2709         ImageSize      -> {50, 17},
2710         Alignment      -> {Left, Center},
2711         ContinuousAction -> True],
2712       (* +-ボタン *)
2713       Row[{
2714         Button["+", hRun["target:str"] = ToString[
2715           If[NumberQ@#, # + 1, 0] &@ToExpression@hRun["target:str"]],
2716         ImageSize      -> {16, 16},
2717         FrameMargins  -> 0,
2718         Method         -> "Preemptive"],
2719         Button["-", hRun["target:str"] = ToString[
2720           If[NumberQ@#, # - 1, 0] &@ToExpression@hRun["target:str"]],
2721         ImageSize      -> {16, 16},
2722         FrameMargins  -> 0,
2723         Method         -> "Preemptive"]
2724       ]
2725     },
2726     (* 現在カウント, 目標カウント *)
2727     { " Count",
2728       (* 現在カウント *)
2729       Dynamic@(If[NumberQ@#, #, 0] &@hRun["count"]),
2730       "->",
2731       (* 目標カウント *)
2732       Dynamic@Floor[hConfig["calc/sec"]*
2733         If[NumberQ@#, #, 0] &@ToExpression@hRun["target:str"]
2734     ]
2735 },
2736 TableSpacing    -> {0.5, 1},
2737 TableAlignments -> {Left, Center}
2738 ],
2739 (*-----*)
2740 "-----",
2741 (* 制御項目 *)
2742 TableForm[
2743     Join[{{
2744       Style[" motor target angle", FontFamily -> "Helvetica"], "",
2745       Style["[deg]", FontFamily -> "Helvetica"]
2746     }}, {
2747       (* 名前ボタンリスト *)
2748       Tooltip[Button[
2749         Style[StringTake[#["name"] <> " ", 19],
2750           FontFamily -> "Helvetica", FontColor -> Black],
2751         Null,
2752         Alignment -> Left,

```

```

2753         ImageSize -> {110, 18},
2754         Enabled   -> False,
2755         Background -> LightGray, FrameMargins -> 2,
2756         Appearance -> "Palette"
2757     ], #],
2758     (* スライダー *)
2759     Slider[Dynamic@hRun[#, "target"],
2760         {#["target-min"], #["target-max"], #["target-move"]},
2761         ImageSize -> 80],
2762     (* 数値 *)
2763     Dynamic@hRun[#, "target"
2764     ] & /@ hMotor
2765 ], TableSpacing -> {0.5, 0.7}
2766 ]
2767 (*-----*)
2768 },
2769 TableAlignments -> Left,
2770 TableSpacing    -> 0.5
2771 ];
2772 ]]

```

[関数定義] LAB'Simulation["form:preset"]

```

function : コントロールダイアログ内の表示要素を生成する
          LAB'Simulation["open"] 内で呼び出される
argument1 : 計算設定ハンドル
return    : 生成したテーブルフォーム

```

```

2773 LAB'Simulation["form:preset", hConfig_, ___] := With[{{
2774     hRun = hConfig["handle:run"], mm = 10(-3),
2775     hlist = hConfig["device list"]
2776 }}, With[{{
2777     hElastic = Select[ToExpression@hlist, #["device model"] === "elastic" &],
2778     hRigid   = Select[ToExpression@hlist, #["device model"] === "rigid" &],
2779     hMotor   = Select[ToExpression@hlist, #["device model"] === "motor" &]
2780 }},
2781     DynamicModule[{{
2782         locator, x, y,  $\theta$ , getDefault, setDefault
2783     }},
2784     (* 初期値を取得する関数 & 実行 *)
2785     getDefault[] := (
2786         ({x[#[#], y[#[#],  $\theta$ [#[#]] =
2787             LAB'Digit[hRun[#, "q0"]/{mm, mm, Degree}, 1]) & /@ hRigid;
2788         ( $\theta$ [#[#] = hRun[#, "q0"][[1]]/Degree) & /@ hMotor;
2789     );
2790     getDefault[];
2791     (* 初期値を変更する関数 *)
2792     setDefault[] := (
2793         (hRun[#, "q0"] = {x[#[#], y[#[#],  $\theta$ [#[#]]*{mm, mm, Degree}) & /@ hRigid;
2794         (hRun[#, "q0"] = { $\theta$ [#[#]]*Degree) & /@ hMotor;
2795     );
2796
2797     (* フォームを生成 *)
2798     TableForm[{{
2799         (*-----*)
2800         (* ボタン *)
2801         TableForm[{{
2802             (*-----*)
2803             (* 設定ボタン *)
2804             Button[LAB'Image["setting"], (
2805                 LAB'NewNoteContents[{}, "preset"];
2806             ),
2807             Method -> "Preemptive",

```

```

2808         ImageSize      -> {22, 22},
2809         Alignment      -> Center,
2810         FrameMargins  -> 1
2811     ],
2812     (*-----*)
2813     (* apply & reset - 初期値を変更しリセットする *)
2814     Button["apply & reset", (
2815         setDefault[];
2816         LAB'Simulation["set", hConfig, "reset"];
2817     ),
2818         ImageSize -> {Automatic, 22}
2819     ],
2820     (*-----*)
2821     (* cancel - ロケールを無効化,変更前の初期値を取得 *)
2822     Button["cancel", (
2823         hRun["locator:enabled"] = False;
2824         locator = Null;
2825         getDefault[];
2826     ),
2827         ImageSize -> {Automatic, 22}
2828     ]
2829     (* *)
2830 }, TableDirections -> Row, TableSpacing -> 0.3],
2831 (*=====*)
2832 "-----",
2833 (* rigid *)
2834 TableForm[Join[{If[
2835     Length@hRigid == 0,
2836     "\"rigid\" does not exist",
2837     {Style[" \"rigid\"", FontFamily -> "Helvetica"],
2838     Style[" x [mm]      y [mm]      θ [deg]",
2839     FontFamily -> "Helvetica"]}
2840 }], {
2841 (*-----*)
2842 (* 名前ボタン *)
2843 Tooltip[Button[
2844     Style[StringTake[#["name"] <> "          ", 15],
2845     FontFamily -> "Helvetica"], (
2846     (* 初期描画を表示する *)
2847     hRun["show:auto"] = False;
2848     hRun["show:count"] = 0;
2849     (* 選択中か非選択中かで分岐 *)
2850     If[locator === #,
2851         (* 選択中 -> 非選択 - ロケール表示を無効化 *)
2852         hRun["locator:enabled"] = False;
2853         locator = Null;,
2854         (* 非選択 -> 選択中 - ロケール表示を有効化 *)
2855         hRun["locator:enabled"] = True;
2856         locator = #;
2857     (*-----*)
2858     (* その他のグラフィックの表示する関数を定義 *)
2859     hRun["locator:other"] := Module[{list, angle, pos},
2860         list = {
2861             pos = {x[#], y[#]}*{mm, mm};
2862             angle = If[NumberQ@#, #, 0] &@θ [#]*Degree;
2863             Opacity[0],
2864             EdgeForm[{Thickness[0.004], Red, Dashing[Tiny]}],
2865             Table[Disk[pos + #["point"][[n]][[; 2]],
2866                 #["point radius"][[n]], {n, Length@#["point"]}],
2867             Polygon[(pos+RotationMatrix@angle.#) & /@ #["polygon"]
2868             ] & /@ hRigid;
2869             Delete[list, #] &@FirstPosition[hRigid, #][[1]]
2870         ];
2871     (*-----*)

```

```

2872      (* ロケール座標を取得 *)
2873      If[! NumberQ@x[#], x[#] = 0];
2874      If[! NumberQ@y[#], y[#] = 0];
2875      hRun["locator:pos"] = {x[#], y[#]}*mm;
2876      (*-----*)
2877      (* ロケールに追従するグラフィック用の関数を定義 *)
2878      hRun["locator:sub"] := Module[{pos, angle}, {
2879          pos = hRun["locator:pos"];
2880          angle = If[NumberQ@#, #, 0] &@θ [#]*Degree;
2881          Opacity[0],
2882          EdgeForm[{Thickness[0.004], Red}],
2883          Table[Disk[pos + #["point"][[n]][[; 2]],
2884              #["point radius"][[n]]], {n, Length@#["point"]}],
2885          Polygon[(pos+RotationMatrix@angle.#) & /@ #["polygon"]]
2886      ]}
2887      (*-----*)
2888      ];
2889      ),
2890      Alignment      -> Left,
2891      ImageSize      -> {91, 17},
2892      Background     -> Dynamic@If[locator === #, LightRed, LightGray],
2893      Method         -> "Preemptive",
2894      FrameMargins   -> 2,
2895      Appearance     -> "Palette"
2896      ], #],
2897      (*-----*)
2898      (* x,y,θ *)
2899      Dynamic@If[locator === #,
2900          (* 選択されている項目 *)
2901          If[hRun["locator:enabled"] === False,
2902              locator = Null,
2903              {x[#], y[#]} = LAB'Digit[hRun["locator:pos"]]/mm, 1]
2904          ];
2905      Row[{
2906          InputField[Dynamic@x[#],
2907              ImageSize -> {47, 17},
2908              Alignment -> {Left, Center},
2909              Enabled -> False],
2910          InputField[Dynamic@y[#],
2911              ImageSize -> {47, 17},
2912              Alignment -> {Left, Center},
2913              Enabled -> False],
2914          InputField[Dynamic@θ [#],
2915              ImageSize -> {44, 17},
2916              Alignment -> {Left, Center},
2917              Enabled -> True]
2918      ]},
2919      (* 選択されていない項目 *)
2920      Row[{
2921          InputField[Dynamic@x[#],
2922              ImageSize -> {47, 17},
2923              Alignment -> {Left, Center}],
2924          InputField[Dynamic@y[#],
2925              ImageSize -> {47, 17},
2926              Alignment -> {Left, Center}],
2927          InputField[Dynamic@θ [#],
2928              ImageSize -> {44, 17},
2929              Alignment -> {Left, Center}]
2930      ]}
2931      ]
2932      (*-----*)
2933      } & /@ hRigid
2934      ],
2935      TableSpacing -> {0, 0},

```

```

2936     TableAlignments -> {Left, Center}
2937 ],
2938 (*=====*)
2939 "-----",
2940 (* motor *)
2941 TableForm[Join[{If[Length@hMotor == 0,
2942     "\"motor\" does not exist",
2943     {Style["\"motor\"", FontFamily -> "Helvetica"], "",
2944     Style["deg", FontFamily -> "Helvetica"]}
2945 }], {
2946     (* 名前ボタンリスト *)
2947     Tooltip[Button[
2948         Style[StringTake#[ "name" ] <> " ", 19],
2949         FontFamily -> "Helvetica", FontColor -> Black],
2950     Null,
2951     Alignment -> Left,
2952     ImageSize -> {110, 18},
2953     Enabled -> False,
2954     Background -> LightGray,
2955     FrameMargins -> 2,
2956     Appearance -> "Palette"
2957 ], #],
2958     (* スライダー *)
2959     Slider[Dynamic@# [#,
2960         {"target-min", "target-max", "target-move"}],
2961         ImageSize -> 71],
2962     (* 入力フィールド *)
2963     InputField[Dynamic@# [#,
2964         ImageSize -> {44, 17},
2965         Alignment -> {Left, Center},
2966         Enabled -> False]
2967     (* *)
2968     } & /@ hMotor
2969 ],
2970     TableSpacing -> {0.2, 0.5},
2971     TableAlignments -> {Left, Center}
2972 ]
2973 (*=====*)
2974 },
2975 TableAlignments -> Left,
2976 TableSpacing -> 0.5
2977 ]
2978 ]]]

```

[関数定義] LAB'Simulation["form:config"]

```

function : コントロールダイアログ内の表示要素を生成する
          LAB'Simulation["open"] 内で呼び出される
argument1 : 計算設定ハンドル
return    : 生成したテーブルフォーム

```

```

2979 LAB'Simulation["form:config", hConfig_, ___] := With[{
2980     hRun      = hConfig["handle:run"],
2981     hDevice  = LAB'SortHandle@LAB'GetHandle["device", All],
2982     hSystem  = LAB'SortHandle@LAB'GetHandle["system", All]
2983 }, DynamicModule[{
2984     enable, delete, update, str = ""
2985 },
2986     (* 削除対象の状況を取得 *)
2987     (delete[#] = False) & /@ hDevice; (delete[#] = False) & /@ hSystem;
2988     (* 更新対象の状況を取得 *)
2989     (update[#] = False) & /@ hDevice; (update[#] = False) & /@ hSystem;
2990     (* デバイスハンドル・システムハンドルのリスト登録状況を取得 *)

```

```

2991 (enable[#] = MemberQ[hConfig["device list"], #]) & /@ hDevice;
2992 (enable[#] = MemberQ[hConfig["system list"], #]) & /@ hSystem;
2993
2994 (* フォームを生成 *)
2995 TableForm[{
2996     (* ===== *)
2997     (* ボタン *)
2998     TableForm[{
2999         (* 設定ボタン *)
3000         Button[LAB`Image["setting"], (
3001             LAB`NewNoteContents[hConfig["Cells"], hConfig["name"]];
3002         ),
3003         Method      -> "Preemptive",
3004         ImageSize   -> {22, 22},
3005         Alignment   -> Center,
3006         FrameMargins -> 1
3007     ]},
3008     (* apply & new : ハンドルリストを取得し,新規で初期化する *)
3009     Button["apply & new", (
3010         LAB`Simulation["close", hConfig];
3011         If[delete[#], enable[#] = False; ClearAll@#] & /@ hDevice;
3012         If[delete[#], enable[#] = False; ClearAll@#] & /@ hSystem;
3013         hConfig["device list"] =
3014             LAB`SortHandle@Select[hDevice, enable[#] &];
3015         hConfig["system list"] =
3016             LAB`SortHandle@Select[hSystem, enable[#] &];
3017         LAB`Simulation["set", hConfig, "new", "open"];
3018         LAB`Simulation["open", hConfig];
3019     ),
3020     Method      -> "Queued",
3021     ImageSize   -> {Automatic, 22},
3022     Enabled     -> Switch[hRun["state"],
3023         "standby", True,
3024         "re-new",  True,
3025         -,        False]
3026 ],
3027     (* cancel : 変更項目を元に戻す *)
3028     Button["cancel", (
3029         (delete[#] = False) & /@ hDevice;
3030         (delete[#] = False) & /@ hSystem;
3031         (enable[#] = MemberQ[hConfig["device list"], #]) & /@ hDevice;
3032         (enable[#] = MemberQ[hConfig["system list"], #]) & /@ hSystem;
3033     ),
3034     ImageSize -> {Automatic, 22}
3035 ],
3036     (* 状態を知らせる文字列 *)
3037     "",
3038     Dynamic@str
3039     (* *)
3040 ],
3041 TableDirections -> Row,
3042 TableSpacing    -> 0.3
3043 ],
3044 "-----",
3045 (* ===== *)
3046 (* デバイス一覧の説明 *)
3047 Row[{
3048     "device list  ",
3049     Button["",
3050         Null,
3051         ImageSize -> {20, 13},
3052         Enabled   -> False,
3053         Appearance -> "Palette",
3054         Background -> LightRed

```

```

3055     ],
3056     " : in use  ",
3057     Style["name", FontFamily -> "Helvetica", Red, Bold],
3058     " : updated",
3059     Button["",
3060         Null,
3061         ImageSize -> {1, 18},
3062         Enabled -> False,
3063         Appearance -> "Palette",
3064         Background -> White
3065     ]
3066 }],
3067 (* デバイス一覧 *)
3068 Grid[{
3069     (*-----*)
3070     (* 使用チェック *)
3071     Checkbox[Dynamic@enable[#]], "",
3072     (*-----*)
3073     (* ハンドル *)
3074     Button[Style[StringTake[ToString@#, 7 ;;],
3075         FontColor -> Black, FontFamily -> "Helvetica"],
3076         (Null),
3077         Alignment -> Left,
3078         ImageSize -> {40, 17},
3079         Enabled -> False,
3080         FrameMargins -> 2,
3081         Appearance -> "Palette",
3082         Background ->
3083             If[MemberQ[hConfig["device list"], #], LightRed, White]
3084     ],
3085     (*-----*)
3086     (* 名前 *)
3087     Button[Style[#["name"], FontFamily -> "Helvetica",
3088         FontColor -> Dynamic@If[update[#], Red, Black],
3089         FontWeight -> Dynamic@If[update[#], Bold, Plain]],
3090         (Null),
3091         Alignment -> Left,
3092         ImageSize -> {125, 17},
3093         Enabled -> False,
3094         FrameMargins -> 2,
3095         Appearance -> "Palette",
3096         Background ->
3097             If[MemberQ[hConfig["device list"], #], LightRed, White]
3098     ],
3099     "",
3100     (*-----*)
3101     TableForm[{
3102         (* 更新ボタン *)
3103         Tooltip[Button[LAB`Image["update"], (
3104             If[LAB`UsingHandle[#] == 0,
3105                 If[!LAB`Autocomplete["Auto", #["Source"], #["name"]] == 0,
3106                     update[#] = True; hRun["state"] = "re-new";
3107                     str = Style["Please apply!", Red, Bold];
3108                 ]
3109             );
3110         ],
3111         Method -> "Preemptive",
3112         ImageSize -> {17, 17},
3113         Alignment -> Center,
3114         FrameMargins -> 0
3115     ],
3116     #["Source"]
3117     ],
3118     (* 設定ボタン *)

```

```

3119         Button[LAB'Image["setting"], (
3120             LAB'NewNoteContents[#["Cells"], #["name"]];
3121         ),
3122         Method      -> "Preemptive",
3123         ImageSize   -> {17, 17},
3124         Alignment   -> Center,
3125         FrameMargins -> 0
3126     ],
3127     (* 削除ボタン *)
3128     Button[LAB'Image["cross"], (
3129         If[delete[#], delete[#] = False,
3130         If[LAB'UsingHandle[#] == 0,
3131             delete[#] = True;
3132             enable[#] = False]];
3133     ),
3134     Method      -> "Preemptive",
3135     ImageSize   -> {17, 17},
3136     Background  -> Dynamic@If[delete[#], Red, Automatic],
3137     Alignment   -> Center,
3138     FrameMargins -> 0
3139     ],
3140     ],
3141     TableDirections -> Row,
3142     TableSpacing    -> 0
3143     ],
3144     (*-----*)
3145 } & /@ hDevice,
3146 Alignment -> {Left, Center},
3147 Dividers  -> {False, All},
3148 Spacings  -> {0.1, 0.2}
3149 ],
3150 (*=====*)
3151 (* システム一覧の説明 *)
3152 Row[{
3153     "system list  ",
3154     Button["",
3155         Null,
3156         ImageSize -> {20, 13},
3157         Enabled    -> False,
3158         Appearance -> "Palette",
3159         Background -> LightRed
3160     ],
3161     " : in use  ",
3162     Style["name", FontFamily -> "Helvetica", Red, Bold],
3163     " : updated",
3164     Button["",
3165         Null,
3166         ImageSize -> {1, 18},
3167         Enabled    -> False,
3168         Appearance -> "Palette",
3169         Background -> White
3170     ],
3171 }],
3172 (* システム一覧 *)
3173 Grid[{
3174     (*-----*)
3175     (* 使用チェック *)
3176     Checkbox[Dynamic@enable[#]],
3177     (*-----*)
3178     (* ハンドル *)
3179     Button[Style[StringTake[ToString@#, 7 ;;],
3180         FontColor -> Black, FontFamily -> "Helvetica"],
3181         (Null),
3182         Alignment -> Left,

```

```

3183         ImageSize      -> {40, 17},
3184         Enabled        -> False,
3185         FrameMargins   -> 2,
3186         Appearance     -> "Palette",
3187         Background     ->
3188             If[MemberQ[hConfig["system list"], #], LightRed, White]
3189     ],
3190     (*-----*)
3191     (* 名前 *)
3192     Button[Style[#["name"], FontFamily -> "Helvetica",
3193             FontColor -> Dynamic@If[update[#], Red, Black],
3194             FontWeight -> Dynamic@If[update[#], Bold, Plain]],
3195           (Null),
3196           Alignment    -> Left,
3197           ImageSize    -> {125, 17},
3198           Enabled      -> False,
3199           FrameMargins -> 2,
3200           Appearance   -> "Palette",
3201           Background   ->
3202             If[MemberQ[hConfig["system list"], #], LightRed, White]
3203     ],
3204     (*-----*)
3205     TableForm[{
3206         (* 更新ボタン *)
3207         Tooltip[Button[LAB`Image["update"], (
3208             If[LAB`UsingHandle[#] == 0,
3209                 If[!LAB`Autocomplete["Auto", #["Source"], #["name"]] == 0,
3210                     update[#] = True;
3211                     hRun["state"] = "re-new";
3212                     str = Style["Please apply!", Red, Bold];
3213                 ]
3214             ];
3215         ),
3216         Method      -> "Preemptive",
3217         ImageSize   -> {17, 17},
3218         Alignment   -> Center,
3219         FrameMargins -> 0
3220     ],
3221     #["Source"]
3222     ],
3223     (* 設定ボタン *)
3224     Button[LAB`Image["setting"], (
3225         LAB`NewNoteContents[#["Cells"], #["name"]];
3226     ),
3227     Method      -> "Preemptive",
3228     ImageSize   -> {17, 17},
3229     Alignment   -> Center,
3230     FrameMargins -> 0
3231     ],
3232     (* 削除ボタン *)
3233     Button[LAB`Image["cross"], (
3234         If[delete[#], delete[#] = False,
3235             If[LAB`UsingHandle[#] == 0,
3236                 delete[#] = True;
3237                 enable[#] = False
3238             ]
3239         ];
3240     ),
3241     Method      -> "Preemptive",
3242     ImageSize   -> {17, 17},
3243     Background  -> Dynamic@If[delete[#], Red, Automatic],
3244     Alignment   -> Center,
3245     FrameMargins -> 0
3246     ]

```

```

3247     },
3248     TableDirections -> Row,
3249     TableSpacing   -> 0
3250   ]
3251   (*-----*)
3252 } & /@ hSystem,
3253 Alignment -> {Left, Center},
3254 Dividers  -> {False, All},
3255 Spacings  -> {0.1, 0.2}
3256 ]
3257 (*=====*)
3258 },
3259 TableAlignments -> Left,
3260 TableSpacing    -> 0.5
3261 ]
3262 ]]

```

[関数定義] LAB'Simulation["form:result"]

```

function : コントロールダイアログ内の表示要素を生成する
          LAB'Simulation["open"] 内で呼び出される
argument1 : 計算設定ハンドル
return    : 生成したテーブルフォーム

```

```

3263 LAB'Simulation["form:result", hConfig_, ___] := With[{
3264   }, DynamicModule[{
3265     hRuns
3266   },
3267   (* ハンドルリストを取得 *)
3268   hRuns = Select[LAB'GetHandle["run", All], IntegerQ@#["count"] &];
3269
3270   (* フォームを生成 *)
3271   TableForm[{
3272     (*-----*)
3273     (* リスト更新ボタン, オールクリアボタン *)
3274     TableForm[{
3275       (* list update : ハンドルリストを取得 *)
3276       Button["list update", (
3277         hRuns = Select[LAB'GetHandle["run", All], IntegerQ@#["count"] &;
3278       ),
3279       Method -> "Preemptive"
3280     ],
3281     (* all clear : 現在のハンドル以外をクリア, ハンドルリストを取得 *)
3282     Button["all clear", (
3283       If[! hConfig["handle:run"] == #, ClearAll[#]] & /@ hRuns;
3284       hRuns = Select[LAB'GetHandle["run", All], IntegerQ@#["count"] &;
3285     ),
3286     Method -> "Preemptive"
3287   ]
3288   (* *)
3289   },
3290   TableDirections -> Row,
3291   TableSpacing    -> 0.5
3292   ],
3293   (*-----*)
3294   (* リスト *)
3295   Dynamic@Grid[Join[{{
3296     Style[" restore ", FontFamily -> "Helvetica"],
3297     Style[" last run ", FontFamily -> "Helvetica"],
3298     Style[" time     ", FontFamily -> "Helvetica"],
3299     Style[" count  ", FontFamily -> "Helvetica"]
3300   }}, {
3301     (* 復元ボタン *)

```

```

3302     Button[Style[ToString@#, FontFamily -> "Helvetica", Blue], (
3303         LAB'Simulation["close", hConfig];
3304         LAB'Simulation["set", hConfig, "restore", #];
3305         LAB'Simulation["open", hConfig];
3306     ),
3307     Alignment -> Left,
3308     ImageSize -> {50, 15},
3309     Background -> If[hConfig["handle:run"] == #, LightRed, White],
3310     Enabled -> If[hConfig["handle:run"] == #, False, True],
3311     FrameMargins -> 2,
3312     Appearance -> "Palette",
3313     Method -> "Queued"
3314 ],
3315 (* 登録日時, 計算時間, 計算カウント *)
3316 Style[#["date:run"], FontFamily -> "Helvetica"],
3317 Tooltip[
3318     Style[#["time"], FontFamily -> "Helvetica"],
3319     Magnify[#["rendering", #["count"]], 0.5]],
3320 Style[#["count"], FontFamily -> "Helvetica"],
3321 (* クリアボタン *)
3322 Button[LAB'Image["cross"], (
3323     ClearAll[#] &@#;
3324     hRuns = Select[LAB'GetHandle["run", All], IntegerQ@#["count"] &];
3325 ),
3326     Method -> "Preemptive",
3327     ImageSize -> {15, 15},
3328     Enabled -> If[hConfig["handle:run"] == #, False, True],
3329     Alignment -> Center,
3330     FrameMargins -> 0
3331 ],
3332 (* *)
3333 } & /@ Reverse@hRuns
3334 ],
3335 Alignment -> {{Left, Left, Left, Right}, Center},
3336 Dividers -> {Automatic, {2 -> True}},
3337 Frame -> {All, False}
3338 ]
3339 (*-----*)
3340 },
3341 TableAlignments -> Left,
3342 TableSpacing -> 2
3343 ]
3344 ]]

```

[関数定義] LAB'Simulation["open:analysis"]

```

function : シミュレーション結果ダイアログを開く
argument1 : 実行処理ハンドル
return   : 成功 : 開いたノートブックのハンドル
          : 失敗 : 0

```

```

3345 LAB'Simulation["open:analysis", hRun_, Option___] := With[{
3346     w = 1050, h = 700,
3347     option = ToLowerCase@Flatten@{Option}
3348 },
3349 (*-----*)
3350 (* 実行用ハンドルが登録されていない場合はエラー終了 *)
3351 If[! Head@hRun == Symbol,
3352     LAB'Error["● 実行用ハンドルが未登録のためウィンドウを開けません"];
3353     Return@0;];
3354 (* 解析結果が生成されていない場合は終了 *)
3355 If[! StringQ@hRun["date:analysis"] ||
3356     hRun["date:analysis"] == "----",

```

```

3357     LAB'Warning["● 解析結果が生成されていないためウィンドウを開けません"];
3358     Return@0;];
3359     (* 既に開いている場合は閉じる *)
3360     LAB'Simulation["close:analysis", hRun];
3361
3362     (*=====*)
3363     (* 新規でノートブックを開き, ノートブックハンドルを取得 *)
3364     hRun["handle:note"] = CreateDialog[
3365         TableForm[{
3366             (* グラフィックス描画 *)
3367             LAB'Simulation["form:animation", hRun],
3368             (* パラメータ設定タブ *)
3369             TabView[{
3370                 "control" -> ""
3371             }],
3372             FrameMargins -> 8,
3373             ImageSize -> {w - 540, 1000}
3374         ]
3375     },
3376     TableDirections -> Row,
3377     TableAlignments -> Top
3378 ],
3379     (* 背景色 *)
3380     Background -> LightBlue,
3381     (* サイズ *)
3382     WindowSize -> {w, h},
3383     (* 余白 - {{left, right}, {bottom, top}} *)
3384     WindowMargins -> {{Automatic, Automatic}, {0, Automatic}},
3385     (* タイトル *)
3386     WindowTitle -> "analysis [" <> ToString@hRun <> ", date : " <>
3387         hRun["date:analysis"] <> "]",
3388     (* フレームに表示する要素 *)
3389     WindowFrameElements ->
3390         {"CloseBox", "ZoomBox", "MinimizeBox", "ResizeArea"},
3391     WindowElements ->
3392         {"MagnificationPopUp", "HorizontalScrollBar", "VerticalScrollBar"}
3393 ];
3394     (*=====*)
3395     (* 戻り値 *)
3396     Return@hRun["handle:note"];
3397 ]

```

```

[関数定義] LAB'Simulation["close:analysis"]
function : シミュレーション結果ダイアログを閉じる
argument1 : 実行処理ハンドル / All
return   : 成功 : 1
          : 失敗 : 0

```

```

3398 LAB'Simulation["close:analysis", hRun_, ___] := Module[{
3399     hRuns
3400 },
3401     (* 計算設定ハンドルに All が指定されている場合 *)
3402     If[hRun === All,
3403         hRuns = LAB'GetHandle["run", All];
3404         If[MemberQ[Notebooks[], #["handle:note"]],
3405             NotebookClose@#["handle:note"]
3406         ] & /@ hRuns;
3407         Return@1
3408     ];
3409     (* 計算設定ハンドルが指定されている場合 *)
3410     If[MemberQ[Notebooks[], hRun["handle:note"]],
3411         NotebookClose@hRun["handle:note"];

```

```

3412     Return@1
3413 ];
3414 (* 戻り値 *)
3415 Return@0
3416 ]

```

[関数定義] LAB'Simulation["form:animation"]

```

function : シミュレーション結果ダイアログ内の表示要素を生成する
          LAB'Simulation["open:analysis"] 内で呼び出される
argument1 : 実行処理ハンドル
return    : 生成したテーブルフォーム

```

```

3417 LAB'Simulation["form:animation", hRun_, ___] := With[{
3418     count = hRun["count"],
3419     fps   = hRun["fps"],
3420     time  = hRun["count"]/hRun["fps"] // N
3421 },
3422 TableForm[{
3423     (*-----*)
3424     Manipulate[
3425         hRun["rendering", n], {
3426             (* 操作する変数, 初期位置, コントロールラベル *)
3427             {n, 1, ""},
3428             (* 最小値, 最大値, 刻み幅 *)
3429             0, count, 1,
3430             (* アニメーションタイプ : Manipulator / Animator *)
3431             ControlType -> Animator,
3432             (* 表示時に実行中にするかどうか *)
3433             AnimationRunning -> False,
3434             (* 毎秒表示枚数 *)
3435             AnimationRate -> fps
3436         },
3437         (* ステップ / 時間 *)
3438         Column[{
3439             Row@{Text[" step : "], Dynamic@Text[n], " / ", Text[count]},
3440             Row@{Text[" time : "], Dynamic@Text@N[n/fps], " / ", Text[time]}
3441         }],
3442         (* フレームの表示/非表示 *)
3443         Paneled -> False,
3444         (* フレームとの余白 *)
3445         FrameMargins -> 0,
3446         ImageMargins -> 0
3447     ]
3448     (*-----*)
3449 },
3450 TableAlignments -> Left,
3451 TableSpacing    -> 2
3452 ]
3453 ]

```

付録 B

Mathematica によるプログラム

- シミュレーションの実行例 -

Mathematica 上で実行するコード (付録 A の続き)

```
3454 LAB'Autocomplete["All", "mjpg.ini"];
3455 config = LAB'GetHandle[Null, "calc setting"];
3456 LAB'Simulation["set", config, "new"];
3457 LAB'Simulation["open", config];
```

計算パラメータが記述されている INI ファイル

```
1 [calc setting]
2 data model          =config
3 target time        =5                                &int
4 integration method  =RK4
5 calc/sec           =1200                             &int
6 calc/rec           =1                                &int
7 contents           ={right finger,driving motor right,vsm motor right,
   dgs-vsm right,left finger,driving motor left,vsm motor left,dgs-vsm left
   ,round object}
8 [right finger]
9 data model          =device
10 device model       =link
11 dof                =4                                &int
12 length of link     ={40,40,40,40}                    &float &mm
13 rate of center     ={0.5,0.5,0.5,0.5}                  &float
14 basic height       ={25,25,25,25}                    &float &mm
15 mass               ={100,100,100,100}                 &float &g
16 moment of inertia  ={50,50,50,50}                    &float &micro
17 damping of rotation={0.03,0.03,0.03,0.03}             &float
18 damping of translation={0,0,0,0}                      &float
19 ref pos            ={30,0}                            &float &mm
20 ref angle          =0                                &float &degree
21 base length        =80                                &float &mm
22 base height        =25                                &float &mm
23 base angle         =90                                &float &degree
24 [left finger]
25 data model          =device
26 device model       =link
27 dof                =4                                &int
28 length of link     ={40,40,40,40}                    &float &mm
29 rate of center     ={0.5,0.5,0.5,0.5}                  &float
30 basic height       ={25,25,25,25}                    &float &mm
31 mass               ={100,100,100,100}                 &float &g
32 moment of inertia  ={50,50,50,50}                    &float &micro
33 damping of rotation={0.03,0.03,0.03,0.03}             &float
34 damping of translation={0,0,0,0}                      &float
35 ref pos            ={-30,0}                           &float &mm
36 ref angle          =180                               &float &degree
37 base length        =80                                &float &mm
38 base height        =25                                &float &mm
39 base angle         =-90                               &float &degree
40 [driving motor right]
```

```

41 data model =device
42 device model =motor
43 moment of inertia =1 &float
44 damping of rotation =1 &float
45 target =70 &float
46 target-max =100 &float
47 target-min =-100 &float
48 target-move =0.1 &float
49 method =P
50 kp =1 &float
51 kd =0 &float
52 ki =0 &float
53 maximum output =5 &float
54 [vsm motor right]
55 data model =device
56 device model =motor
57 moment of inertia =1 &float
58 damping of rotation =1 &float
59 target =0 &float
60 target-max =100 &float
61 target-min =-100 &float
62 target-move =0.1 &float
63 method =P
64 kp =1 &float
65 kd =0 &float
66 ki =0 &float
67 maximum output =5 &float
68 [driving motor left]
69 data model =device
70 device model =motor
71 moment of inertia =1 &float
72 damping of rotation =1 &float
73 target =70 &float
74 target-max =100 &float
75 target-min =-100 &float
76 target-move =0.1 &float
77 method =P
78 kp =1 &float
79 kd =0 &float
80 ki =0 &float
81 maximum output =5 &float
82 [vsm motor left]
83 data model =device
84 device model =motor
85 moment of inertia =1 &float
86 damping of rotation =1 &float
87 target =0 &float
88 target-max =100 &float
89 target-min =-100 &float
90 target-move =0.1 &float
91 method =P
92 kp =1 &float
93 kd =0 &float
94 ki =0 &float
95 maximum output =5 &float
96 [dgs-vsm right]
97 data model =system
98 system model =dgs-vsm
99 conect-link =right finger
100 conect-drive =driving motor right
101 conect-vsm =vsm motor right
102 method =standard
103 spring modulus ={1.0, 1.0, 1.0, 1.0} &float ;[N/mm]
104 initial tension ={0.4, 0.4, 0.4, 0.4} &float ;[N]

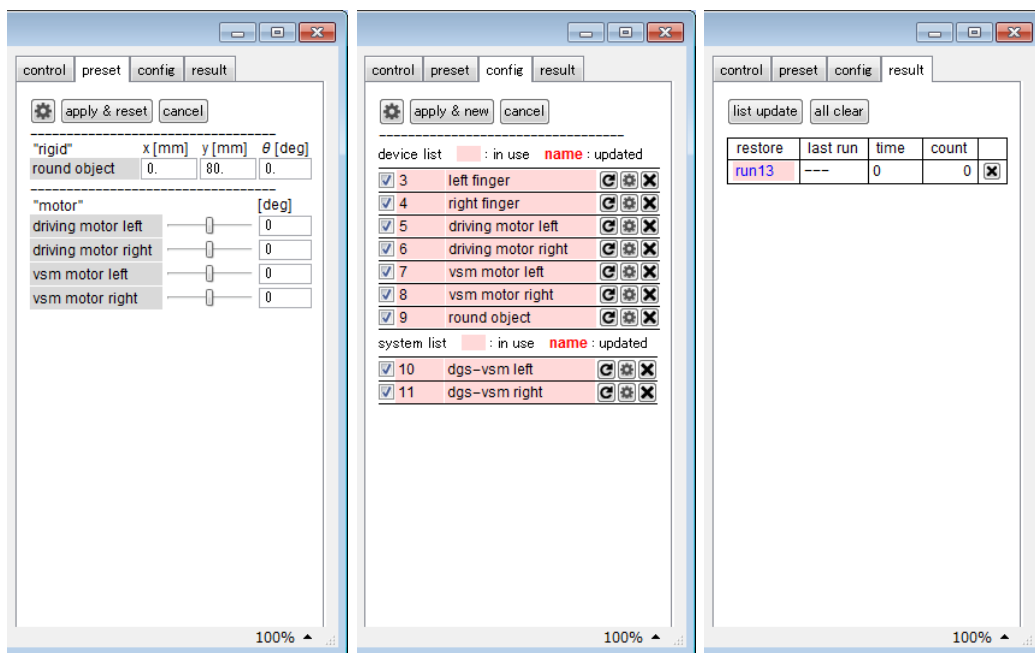
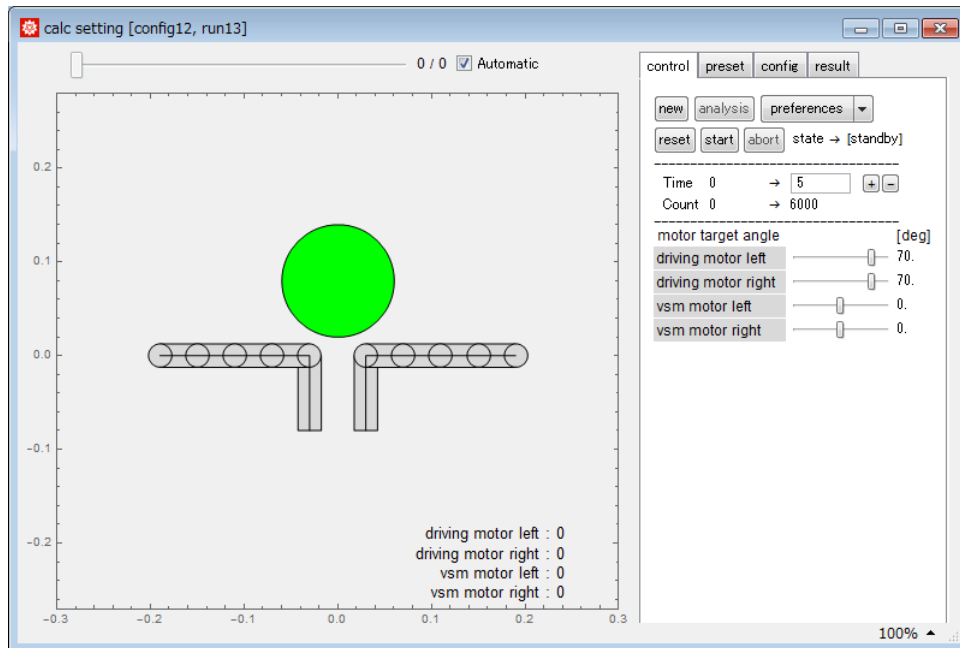
```

```

105 initial length      = {0.0, 0.0, 0.0, 0.0}  &float ;[mm]
106 1st pulley r      = {4.0, 4.0, 4.0, 4.0}  &float ;[mm]
107 vsm pulley r      = {4.0, 4.0, 4.0, 4.0}  &float ;[mm]
108 z1                 = 30                      &int
109 zs                 = 20                      &int
110 direction          = 1                      &int
111 [dgs-vsm left]
112 data model         = system
113 system model       = dgs-vsm
114 conect-link        = left finger
115 conect-drive       = driving motor left
116 conect-vsm        = vsm motor left
117 method             = standard
118 spring modulus     = {1.0, 1.0, 1.0, 1.0}  &float ;[N/mm]
119 initial tension    = {0.4, 0.4, 0.4, 0.4}  &float ;[N]
120 initial length     = {0.0, 0.0, 0.0, 0.0}  &float ;[mm]
121 1st pulley r      = {4.0, 4.0, 4.0, 4.0}  &float ;[mm]
122 vsm pulley r      = {4.0, 4.0, 4.0, 4.0}  &float ;[mm]
123 z1                 = 30                      &int
124 zs                 = 20                      &int
125 direction          = -1                     &int
126 [round object]
127 data model         = device
128 device model       = rigid
129 mass               = 100                    &float &g
130 moment of inertia  = 1                    &float &micro
131 damping of rotation = 0.001                &float
132 damping of translation = 0.3                &float
133 pos                = {0,80}                &float &mm
134 angle              = 0                    &float &degree
135 form               = round
136 radius             = 60                    &float &mm

```

シミュレーションプログラムで生成される GUI



INI ファイルの情報から自動で生成されるコード - 1 ステップを計算する関数
 ※ 改行位置やインデントは修正

```
[関数定義] run*["1step"]
function : 1ステップを計算する関数
argument1 : 一般化座標, 一般化速度のリスト
return : 一般化速度, 一般化加速度のリスト
```

```
1 run13["1step"] = Compile[{{arg, _Real, 2}
2 }, With[{
3   (* 置換変数 *)
4   q1 = arg[[1, 1 ;; 4]],
5   q2 = arg[[1, 5 ;; 8]],
6   q3 = arg[[1, 9 ;; 9]],
7   q4 = arg[[1, 10 ;; 10]],
8   q5 = arg[[1, 11 ;; 11]],
9   q6 = arg[[1, 12 ;; 12]],
10  q7 = arg[[1, 13 ;; 15]],
11  dq1 = arg[[2, 1 ;; 4]],
12  dq2 = arg[[2, 5 ;; 8]],
13  dq3 = arg[[2, 9 ;; 9]],
14  dq4 = arg[[2, 10 ;; 10]],
15  dq5 = arg[[2, 11 ;; 11]],
16  dq6 = arg[[2, 12 ;; 12]],
17  dq7 = arg[[2, 13 ;; 15]],
18  (* left finger [=1] *)
19  dof$1 = 4,
20  q0$1 = 3.141592653589793,
21  x0y0$1 = {-0.03, 0.},
22  link$1 = {0.04, 0.04, 0.04, 0.04},
23  polygon$1 = {
24    {0, -0.0125}, {0, 0.0125}, {0.04, 0.0125}, {0.04, -0.0125}},
25    {0, -0.0125}, {0, 0.0125}, {0.04, 0.0125}, {0.04, -0.0125}},
26    {0, -0.0125}, {0, 0.0125}, {0.04, 0.0125}, {0.04, -0.0125}},
27    {0, -0.0125}, {0, 0.0125}, {0.04, 0.0125}, {0.04, -0.0125}},
28    {{-0.0175, -0.08}, {-0.0425, -0.08},
29     {-0.042499999999999996, 7.654042494670958*^-19},
30     {-0.017499999999999998, -7.654042494670958*^-19}},
31  nPolygon$1 = 5,
32  jPolygon$1 = {1, 2, 3, 4, 0},
33  lineEnable$1 = {{0, 1, 0, 1}, {0, 1, 0, 1}, {0, 1, 0, 1},
34    {0, 1, 0, 1}, {0, 1, 0, 1}},
35  angle$1 = {
36    {1.5707963267948966, 0., -1.5707963267948966, 3.141592653589793},
37    {1.5707963267948966, 0., -1.5707963267948966, 3.141592653589793},
38    {1.5707963267948966, 0., -1.5707963267948966, 3.141592653589793},
39    {1.5707963267948966, 0., -1.5707963267948966, 3.141592653589793},
40    {3.141592653589793, 1.5707963267948966,
41     -6.123233995736767*^-17, -1.5707963267948966}},
42  length$1 = {
43    {0.025, 0.04, 0.025, 0.04},
44    {0.025, 0.04, 0.025, 0.04},
45    {0.025, 0.04, 0.025, 0.04},
46    {0.025, 0.04, 0.025, 0.04},
47    {0.025, 0.08, 0.024999999999999998, 0.08}},
48  point$1 = {
49    {0, 0}, {0, 0}, {0, 0}, {-0.0175, -0.08}, {-0.0425, -0.08},
50    {-0.042499999999999996, 7.654042494670958*^-19},
51    {-0.017499999999999998, -7.654042494670958*^-19}, {0.04, 0}},
52  nPoint$1 = 9,
53  jPoint$1 = {1, 2, 3, 4, 0, 0, 0, 0, 4},
54  pointEnable$1 = {1, 0, 0, 0, 0, 0, 0, 0, 1},
55  radius$1 = {0.0125, 0.0125, 0.0125, 0.0125, 0, 0, 0, 0, 0.0125},
```

```

56 (* right finger [=2] *)
57 dof$2 = 4,
58 q0$2 = 0.,
59 x0y0$2 = {0.03, 0.},
60 link$2 = {0.04, 0.04, 0.04, 0.04},
61 polygon$2 = {
62   {0, -0.0125}, {0, 0.0125}, {0.04, 0.0125}, {0.04, -0.0125}},
63   {0, -0.0125}, {0, 0.0125}, {0.04, 0.0125}, {0.04, -0.0125}},
64   {0, -0.0125}, {0, 0.0125}, {0.04, 0.0125}, {0.04, -0.0125}},
65   {0, -0.0125}, {0, 0.0125}, {0.04, 0.0125}, {0.04, -0.0125}},
66   {{0.042499999999999996, -0.08}, {0.017499999999999995, -0.08},
67    {0.017499999999999998, 7.654042494670958*^-19},
68    {0.042499999999999996, -7.654042494670958*^-19}}},
69 nPolygon$2 = 5,
70 jPolygon$2 = {1, 2, 3, 4, 0},
71 lineEnable$2 = {{0, 1, 0, 1}, {0, 1, 0, 1}, {0, 1, 0, 1},
72   {0, 1, 0, 1}, {0, 1, 0, 1}},
73 angle$2 = {
74   {1.5707963267948966, 0., -1.5707963267948966, 3.141592653589793},
75   {1.5707963267948966, 0., -1.5707963267948966, 3.141592653589793},
76   {1.5707963267948966, 0., -1.5707963267948966, 3.141592653589793},
77   {1.5707963267948966, 0., -1.5707963267948966, 3.141592653589793},
78   {3.141592653589793, 1.5707963267948966,
79    -6.123233995736767*^-17, -1.5707963267948966}},
80 length$2 = {
81   {0.025, 0.04, 0.025, 0.04},
82   {0.025, 0.04, 0.025, 0.04},
83   {0.025, 0.04, 0.025, 0.04},
84   {0.025, 0.04, 0.025, 0.04},
85   {0.025, 0.08, 0.024999999999999998, 0.08}},
86 point$2 = {
87   {0, 0}, {0, 0}, {0, 0}, {0, 0},
88   {0.042499999999999996, -0.08}, {0.017499999999999995, -0.08},
89   {0.017499999999999998, 7.654042494670958*^-19},
90   {0.042499999999999996, -7.654042494670958*^-19}, {0.04, 0}},
91 nPoint$2 = 9,
92 jPoint$2 = {1, 2, 3, 4, 0, 0, 0, 0, 4},
93 pointEnable$2 = {1, 0, 0, 0, 0, 0, 0, 0, 1},
94 radius$2 = {0.0125, 0.0125, 0.0125, 0.0125, 0, 0, 0, 0, 0.0125},
95 (* round object [=7] *)
96 point$7 = {{0, 0}},
97 nPoint$7 = 1,
98 pointEnable$7 = {1},
99 radius$7 = {0.06},
100 (* 計算カウント *)
101 count = Round[run13["count"] + 1]
102 }, Module[{
103   (* 局所変数 *)
104   ddq, jnum,  $\theta$ , origin, vector, deform, Cp, Fm, Fv,
105   Cplist = {{0., 0.}}, Fm1ist = {0.}, Fv1ist = {{0., 0.}},
106   absq1, jpos1, polygon1, angle1, point1,
107   absq2, jpos2, polygon2, angle2, point2,
108   pos7, polygon7, angle7, point7,
109   Q1 = {0., 0., 0., 0.},
110   Q2 = {0., 0., 0., 0.},
111   Q3 = {0.},
112   Q4 = {0.},
113   Q5 = {0.},
114   Q6 = {0.},
115   Q7 = {0., 0., 0.}
116 },
117 (*-----*)
118 (* left finger [=1] *)
119 absq1 = q0$1 + Accumulate[q1];

```

```

120 jpos1 = FoldList[Plus, x0y0$1,
121   Table[link$1[[n]]*{Cos[absq1[[n]]], Sin[absq1[[n]]}], {n, dof$1}];
122 polygon1 = Table[jnum = jPolygon$1[[n]];
123   If[jnum == 0,
124     polygon$1[[n, i]], jpos1[[jnum]] + {
125       polygon$1[[n, i, 1]]*Cos[absq1[[jnum]]] -
126       polygon$1[[n, i, 2]]*Sin[absq1[[jnum]]],
127       polygon$1[[n, i, 2]]*Cos[absq1[[jnum]]] +
128       polygon$1[[n, i, 1]]*Sin[absq1[[jnum]]]
129     }
130   ], {n, nPolygon$1}, {i, 4}];
131 angle1 = Table[jnum = jPolygon$1[[n]];
132   If[jnum == 0,
133     angle$1[[n]],
134     absq1[[jnum]] + angle$1[[n]]
135   ], {n, nPolygon$1}];
136 point1 = Table[jnum = jPoint$1[[n]];
137   If[jnum == 0,
138     point$1[[n]],
139     jpos1[[jnum]] + {
140       point$1[[n, 1]]*Cos[absq1[[jnum]]] -
141       point$1[[n, 2]]*Sin[absq1[[jnum]]],
142       point$1[[n, 2]]*Cos[absq1[[jnum]]] +
143       point$1[[n, 1]]*Sin[absq1[[jnum]]]
144     }
145   ], {n, nPoint$1}];
146 (* right finger [=2] *)
147 absq2 = q0$2 + Accumulate[q2];
148 jpos2 = FoldList[Plus, x0y0$2,
149   Table[link$2[[n]]*{Cos[absq2[[n]]], Sin[absq2[[n]]}], {n, dof$2}];
150 polygon2 = Table[jnum = jPolygon$2[[n]];
151   If[jnum == 0,
152     polygon$2[[n, i]], jpos2[[jnum]] + {
153       polygon$2[[n, i, 1]]*Cos[absq2[[jnum]]] -
154       polygon$2[[n, i, 2]]*Sin[absq2[[jnum]]],
155       polygon$2[[n, i, 2]]*Cos[absq2[[jnum]]] +
156       polygon$2[[n, i, 1]]*Sin[absq2[[jnum]]]
157     }
158   ], {n, nPolygon$2}, {i, 4}];
159 angle2 = Table[jnum = jPolygon$2[[n]];
160   If[jnum == 0,
161     angle$2[[n]],
162     absq2[[jnum]] + angle$2[[n]]
163   ], {n, nPolygon$2}];
164 point2 = Table[jnum = jPoint$2[[n]];
165   If[jnum == 0,
166     point$2[[n]],
167     jpos2[[jnum]] + {
168       point$2[[n, 1]]*Cos[absq2[[jnum]]] -
169       point$2[[n, 2]]*Sin[absq2[[jnum]]],
170       point$2[[n, 2]]*Cos[absq2[[jnum]]] +
171       point$2[[n, 1]]*Sin[absq2[[jnum]]]
172     }
173   ], {n, nPoint$2}];
174 (* driving motor left [=3] *)
175 Q3 += device5["eq:q2Q"][q3, run13[device5, "target"]];
176 (* driving motor right [=4] *)
177 Q4 += device6["eq:q2Q"][q4, run13[device6, "target"]];
178 (* vsm motor left [=5] *)
179 Q5 += device7["eq:q2Q"][q5, run13[device7, "target"]];
180 (* vsm motor right [=6] *)
181 Q6 += device8["eq:q2Q"][q6, run13[device8, "target"]];
182 (* dgs-vsm left [=8] *)
183 Q1 += system10["eq:q2Q"][q1, q3, q5];

```

```

184 (* dgs-vsm right [=9] *)
185 Q2 += system11["eq:q2Q"][q2, q4, q6];
186 (* round object [=7] *)
187 pos7 = {q7[[1]], q7[[2]]};
188 point7 = Table[pos7 + {
189     point$7[[n, 1]]*Cos[q7[[3]]] - point$7[[n, 2]]*Sin[q7[[3]]],
190     point$7[[n, 2]]*Cos[q7[[3]]] + point$7[[n, 1]]*Sin[q7[[3]]]
191 }, {n, nPoint$7}];
192
193 (*-----*)
194 (* contact : left finger [=1] & left finger [=1] *)
195
196 (*-----*)
197 (* contact : left finger [=1] & right finger [=2] *)
198
199 (*-----*)
200 (* contact : left finger [=1] & round object [=7] *)
201 (* link-line & rigid-point *)
202 Do[If[lineEnable$1[[k, i]] == pointEnable$7[[n]] != 0,
203      $\theta$  = angle1[[k, i]]; origin = polygon1[[k, i]];
204     (* ラインとポイントの貫入量より接触を評価 *)
205     vector = {
206         {Cos[- $\theta$ ], -Sin[- $\theta$ ]}, {Sin[- $\theta$ ], Cos[- $\theta$ ]}.(point7[[n]] - origin);
207     deform = radius$7[[n]] - vector[[2]];
208     If[0 < vector[[1]] < length$1[[k, i]] && 0 <= deform < 0.02,
209         (* Cp:接触点座標, Fm:接触力, Fv:接触力ベクトル rigid->link *)
210         Cp = origin + {Cos[ $\theta$ ], Sin[ $\theta$ ]}*vector[[1]];
211         Fm = deform*5000;
212         Fv = {Sin[ $\theta$ ], -Cos[ $\theta$ ]}*Fm;
213         PrependTo[Cplist, Cp];
214         PrependTo[Fmlist, Fm];
215         PrependTo[Fvlist, Fv];
216         (* 一般化力へ反映 *)
217         Q1 += Table[
218             If[j <= jPolygon$1[[k]],
219                 (Cp - jpos1[[j]]).{Fv[[2]], -Fv[[1]]}, 0
220             ], {j, dof$1}];
221         Q7 += {-Fv[[1]], -Fv[[2]], (Cp - pos7).{-Fv[[2]], Fv[[1]]}};
222     ]
223 ], {k, nPolygon$1}, {i, 4}, {n, nPoint$7}];
224 (* link-point & rigid-point *)
225 Do[If[pointEnable$1[[n1]] == pointEnable$7[[n2]] != 0,
226     (* ポイントとポイントの貫入量より接触を評価 *)
227     deform = radius$7[[n2]] + radius$1[[n1]]
228         - Norm[point7[[n2]] - point1[[n1]]];
229     If[0 < deform < 0.02,
230         (* Cp:接触点座標, Fm:接触力, Fv:接触力ベクトル rigid->link *)
231         vector = Normalize[point7[[n2]] - point1[[n1]]];
232         Cp = point1[[n1]] + vector*radius$1[[n1]];
233         Fm = deform*5000;
234         Fv = -vector*Fm;
235         PrependTo[Cplist, Cp];
236         PrependTo[Fmlist, Fm];
237         PrependTo[Fvlist, Fv];
238         (* 一般化力へ反映 *)
239         Q1 += Table[
240             If[j <= jPoint$1[[n1]],
241                 (Cp - jpos1[[j]]).{Fv[[2]], -Fv[[1]]}, 0
242             ], {j, dof$1}];
243         Q7 += {-Fv[[1]], -Fv[[2]], (Cp - pos7).{-Fv[[2]], Fv[[1]]}};
244     ]
245 ], {n1, nPoint$1}, {n2, nPoint$7}];
246
247 (*-----*)

```

```

248 (* contact : right finger [=2] & right finger [=2] *)
249
250 (*-----*)
251 (* contact : right finger [=2] & round object [=7] *)
252 (* link-line & rigid-point *)
253 Do[If[lineEnable$2[[k, i]] == pointEnable$7[[n]] != 0,
254    $\theta$  = angle2[[k, i]];
255   origin = polygon2[[k, i]];
256   (* ラインとポイントの貫入量より接触を評価 *)
257   vector = {
258     {Cos[- $\theta$ ], -Sin[- $\theta$ ]}, {Sin[- $\theta$ ], Cos[- $\theta$ ]}.(point7[[n]] - origin);
259   deform = radius$7[[n]] - vector[[2]];
260   If[0 < vector[[1]] < length$2[[k, i]] && 0 <= deform < 0.02,
261     (* Cp:接触点座標, Fm:接触力, Fv:接触力ベクトル rigid->link *)
262     Cp = origin + {Cos[ $\theta$ ], Sin[ $\theta$ ]}*vector[[1]];
263     Fm = deform*5000;
264     Fv = {Sin[ $\theta$ ], -Cos[ $\theta$ ]}*Fm;
265     PrependTo[Cplist, Cp];
266     PrependTo[Fmlist, Fm];
267     PrependTo[Fvlist, Fv];
268     (* 一般化力へ反映 *)
269     Q2 += Table[
270       If[j <= jPolygon$2[[k]],
271         (Cp - jpos2[[j]].{Fv[[2]], -Fv[[1]]}, 0
272         ], {j, dof$2}];
273       Q7 += {-Fv[[1]], -Fv[[2]], (Cp - pos7).{-Fv[[2]], Fv[[1]]}};
274     ]
275   ], {k, nPolygon$2}, {i, 4}, {n, nPoint$7}];
276 (* link-point & rigid-point *)
277 Do[If[pointEnable$2[[n1]] == pointEnable$7[[n2]] != 0,
278   (* ポイントとポイントの貫入量より接触を評価 *)
279   deform = radius$7[[n2]] + radius$2[[n1]]
280     - Norm[point7[[n2]] - point2[[n1]]];
281   If[0 < deform < 0.02,
282     (* Cp:接触点座標, Fm:接触力, Fv:接触力ベクトル rigid->link *)
283     vector = Normalize[point7[[n2]] - point2[[n1]]];
284     Cp = point2[[n1]] + vector*radius$2[[n1]];
285     Fm = deform*5000;
286     Fv = -vector*Fm;
287     PrependTo[Cplist, Cp];
288     PrependTo[Fmlist, Fm];
289     PrependTo[Fvlist, Fv];
290     (* 一般化力へ反映 *)
291     Q2 += Table[
292       If[j <= jPoint$2[[n1]],
293         (Cp - jpos2[[j]].{Fv[[2]], -Fv[[1]]}, 0
294         ], {j, dof$2}];
295       Q7 += {-Fv[[1]], -Fv[[2]], (Cp - pos7).{-Fv[[2]], Fv[[1]]}};
296     ]
297   ], {n1, nPoint$2}, {n2, nPoint$7}];
298
299 (*-----*)
300 (* contact : round object [=7] & round object [=7] *)
301
302 (*-----*)
303 (* 記録 *)
304 If[run13["rec"],
305   run13["rec"] = False;
306   run13["rec:q", "left finger"][count] = q1;
307   run13["rec:q", "right finger"][count] = q2;
308   run13["rec:q", "driving motor left"][count] = q3;
309   run13["rec:q", "driving motor right"][count] = q4;
310   run13["rec:q", "vsm motor left"][count] = q5;
311   run13["rec:q", "vsm motor right"][count] = q6;

```

```

312     run13["rec:q", "round object"][count] = q7;
313     run13["rec:Cp"][count] = Cplist;
314     run13["rec:Fm"][count] = Fmlist;
315     run13["rec:Fv"][count] = Fvlist;
316 ];
317 (* 加速度 *)
318 ddq = Join[
319     device3["eq:ddq"][q1, dq1, Q1](* left finger *),
320     device4["eq:ddq"][q2, dq2, Q2](* right finger *),
321     device5["eq:ddq"][q3, dq3, Q3](* driving motor left *),
322     device6["eq:ddq"][q4, dq4, Q4](* driving motor right *),
323     device7["eq:ddq"][q5, dq5, Q5](* vsm motor left *),
324     device8["eq:ddq"][q6, dq6, Q6](* vsm motor right *),
325     device9["eq:ddq"][q7, dq7, Q7](* round object *)
326 ];
327 (* 戻り値 *)
328 {arg[[2]], ddq}
329 ]], {
330     (* コンパイルオプション *)
331     {run13["count"], _Integer},
332     {run13["rec"], True | False},
333     {_Symbol["eq:q2Q"][___], _Real, 1},
334     {_Symbol["eq:ddq"][___], _Real, 1}
335 }, CompilationTarget -> "C"]

```

INI ファイルの情報から自動で生成されるコード - 一般化座標からグラフィックを生成する関数
 ※ 改行位置やインデントは修正

[関数定義] run*["Rendering"]
 function : 一般化座標からグラフィックを生成
 argument1 : 一般化座標
 return : 生成したグラフィック

```

336 run13["Rendering"] = Function[{arg, Option},
337 Module[{
338     q1 = arg[[1 ;; 4]],
339     q2 = arg[[5 ;; 8]],
340     q3 = arg[[9 ;; 9]],
341     q4 = arg[[10 ;; 10]],
342     q5 = arg[[11 ;; 11]],
343     q6 = arg[[12 ;; 12]],
344     q7 = arg[[13 ;; 15]],
345     text = "text" /. Option,
346     Cplist = "Cplist" /. Option,
347     Fvlist = "Fvlist" /. Option,
348     j
349 },
350     If[text === "text", text = ""];
351     If[! ListQ@Cplist, Cplist = {}];
352     If[! ListQ@Fvlist, Fvlist = {}];
353
354     (* グラフィック生成 *)
355     Graphics[{
356         (* left finger *)
357         LightGray,
358         EdgeForm[{Thickness[0.002], Black}],
359         Polygon[#] &@device3["eq:q2polygon"][q1],
360         Disk[#[[;; 2]], #[[3]]] & /@ device3["eq:q2point"][q1],
361         Black,
362         Line[device3["eq:q2j"][q1]],
363         (* right finger *)
364         LightGray,

```

```

365     EdgeForm[{Thickness[0.002], Black}],
366     Polygon[#] &@device4["eq:q2polygon"][q2],
367     Disk#[[; 2]], #[[3]] & /@ device4["eq:q2point"][q2],
368     Black,
369     Line[device4["eq:q2j"][q2]],
370     (* driving motor left *)
371     Text[Style[SetPrecision[q3[[1]]/Degree // N, 3], 13],
372         {0.23399999999999999, -0.201}, {-1, -1}],
373     Text[Style[":", Black, 13],
374         {0.22799999999999998, -0.201}, {1, -1}],
375     Text[Style["driving motor left", Black, 13],
376         {0.21599999999999997, -0.201}, {1, -1}],
377     (* driving motor right *)
378     Text[Style[SetPrecision[q4[[1]]/Degree // N, 3], 13],
379         {0.23399999999999999, -0.222}, {-1, -1}],
380     Text[Style[":", Black, 13],
381         {0.22799999999999998, -0.222}, {1, -1}],
382     Text[Style["driving motor right", Black, 13],
383         {0.21599999999999997, -0.222}, {1, -1}],
384     (* vsm motor left *)
385     Text[Style[SetPrecision[q5[[1]]/Degree // N, 3], 13],
386         {0.23399999999999999, -0.24300000000000002}, {-1, -1}],
387     Text[Style[":", Black, 13],
388         {0.22799999999999998, -0.24300000000000002}, {1, -1}],
389     Text[Style["vsm motor left", Black, 13],
390         {0.21599999999999997, -0.24300000000000002}, {1, -1}],
391     (* vsm motor right *)
392     Text[Style[SetPrecision[q6[[1]]/Degree // N, 3], 13],
393         {0.23399999999999999, -0.264}, {-1, -1}],
394     Text[Style[":", Black, 13],
395         {0.22799999999999998, -0.264}, {1, -1}],
396     Text[Style["vsm motor right", Black, 13],
397         {0.21599999999999997, -0.264}, {1, -1}],
398     (* round object *)
399     Green,
400     EdgeForm[{Thickness[0.002], Black}],
401     Polygon[#] &@device9["eq:q2polygon"][q7],
402     Disk#[[; 2]], #[[3]] & /@ device9["eq:q2point"][q7],
403     (* contact force *)
404     Red,
405     Thick,
406     Disk[#, 0.0025] & /@ Cplist,
407     Arrow[#] & /@ Transpose[{Cplist, 0.10*Fvlist + Cplist}],
408     (* time *)
409     Text[Style[ToString[text], Black, 13],
410         {-0.282, 0.262}, {-1, 1}
411 ],
412     (* グラフィックス設定 *)
413     PlotRange -> {{-0.3, 0.3}, {-0.27, 0.28}},
414     ImageSize -> 500,
415     Axes -> False,
416     Frame -> True
417 ]];

```